

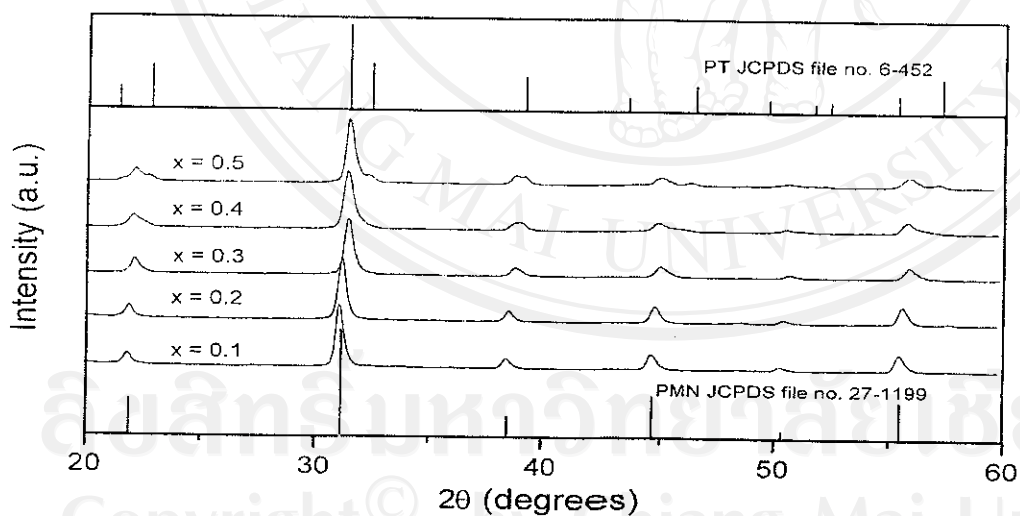
## บทที่ 4

### ผลการทดลองและอภิปรายผล

ในบทนี้จะนำเสนอผลการทดลองการเตรียมสารเซรามิกในระบบ  $(1-x)PMN-(x)PT$ ,  $(1-x)PIN-(x)PT$  และ  $(1-x)PZT-(x)PZN$  การตรวจสอบด้วยเทคนิค XRD สมบัติทางกายภาพ ผลของการเปลี่ยนแปลงอุณหภูมิและความถี่ที่มีต่อสมบัติไดอิเล็กทริก และสมบัติไดอิเล็กทริกภายใต้ความเค็มแบบแกนเดี่ยวของเซรามิกในระบบ PMN-PT, PIN-PT และ PZT-PZN โดยใช้เครื่องมืออัดแรงแบบแกนเดี่ยวที่ได้กล่าวในบทที่ 3 รวมทั้งอภิปรายผลตามลำดับ ดังต่อไปนี้

#### 4.1 ผลการตรวจสอบและวิเคราะห์ด้วยเทคนิค XRD

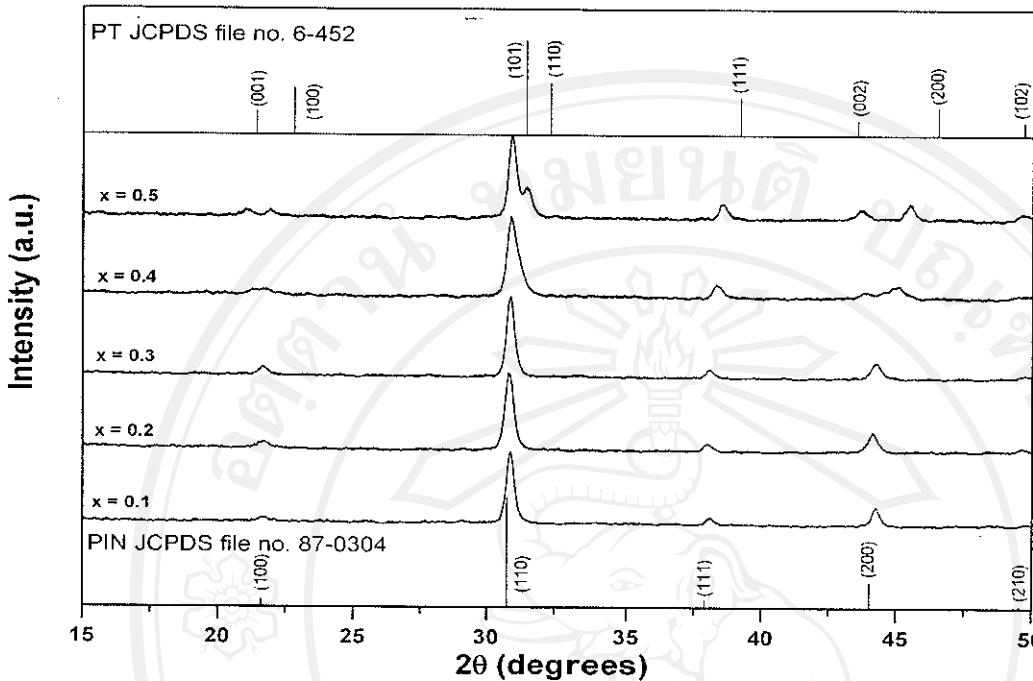
จากการตรวจสอบลักษณะการเปลี่ยนแปลงรูปแบบการเดี่ยวบนของรังสีเอ็กซ์ ด้วยเทคนิค XRD ของสารเซรามิกในระบบ  $(1-x)PMN-(x)PT$ ,  $(1-x)PIN-(x)PT$  และ  $(1-x)PZT-(x)PZN$  ที่เตรียมได้ในแต่ละอัตราส่วนโดยไมล พบว่ารูปแบบการเดี่ยวบนของรังสีเอ็กซ์ของเซรามิก PMN-PT, PIN-PT และ PZT-PZN เป็นดังรูปที่ 4.1, 4.2 และ 4.3 ตามลำดับ



รูป 4.1 การเปลี่ยนแปลงรูปแบบการเดี่ยวบนของรังสีเอ็กซ์ของเซรามิก

$(1-x)PMN-(x)PT$  ที่อัตราส่วนโดยไมลต่างๆ กัน

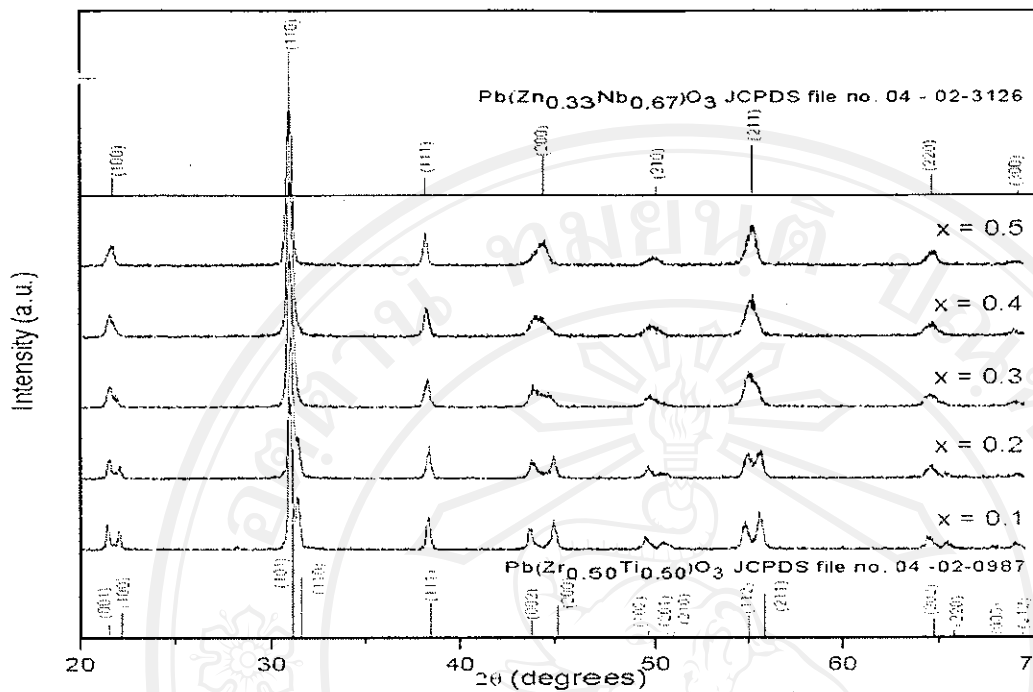
รูปแบบการเดี่ยวบนของรังสีเอ็กซ์สำหรับสารเซรามิกในระบบ PMN-PT จะมีรูปแบบการเดี่ยวบนพสมกันระหว่างสาร PMN (JCPDS file no. 27-1199) และ สาร PT (JCPDS file no. 6-452) ซึ่งขึ้นอยู่กับอัตราส่วนโดยไมล โดยมีลักษณะการเปลี่ยนแปลงของรูปแบบการเดี่ยวบนของรังสีเอ็กซ์เด่นน้อยจาก PMN ไปเป็น PT เมื่อปริมาณของ PT เพิ่มขึ้นเรื่อยๆ



รูป 4.2 การเปลี่ยนแปลงรูปแบบการเดี่ยวบนของรังสีเอ็กซ์ของเซรามิก $(1-x)PIN-(x)PT$  ที่อัตราส่วนโดยไม่ลดต่างๆ กัน

สารเซรามิกในระบบ PIN-PT จะมีรูปแบบการเดี่ยวบนของรังสีเอ็กซ์สอดคล้องกับรูปแบบการเดี่ยวของรังสีเอ็กซ์ของทั้งสาร PIN (JCPDS file no. 87-0304) และ สาร PT (JCPDS file no. 6-452) โดยขึ้นอยู่กับอัตราส่วนโดยไม่ลดของสาร PT ลักษณะการเปลี่ยนแปลงของรูปแบบการเดี่ยวบนของรังสีเอ็กซ์จะอยู่ๆเปลี่ยนแปลงจากรูปแบบการเดี่ยวบนของรังสีเอ็กซ์ของสาร PMN ไปเป็น PT เมื่อปริมาณของ PT เพิ่มขึ้นเรื่อยๆ

สำหรับรูปแบบการเดี่ยวบนของรังสีเอ็กซ์ในสารเซรามิกระบบ PZN-PZT พบร่วมกับสอดคล้องกับรูปแบบการเดี่ยวของรังสีเอ็กซ์ของสาร PZT (JCPDS file no. 04-02-0987) และ สาร PZN (JCPDS file no. 04-02-3126) โดยขึ้นอยู่กับอัตราส่วนโดยไม่ลดของสาร PZN และรูปแบบการเดี่ยวบนของรังสีเอ็กซ์จะเปลี่ยนแปลงทีละเล็กทีละน้อยจากรูปแบบการเดี่ยวบนของรังสีเอ็กซ์ของสาร PZT ไปเป็น PZN เมื่อเพิ่มปริมาณของ PZN ขึ้น



รูป 4.3 การเปลี่ยนแปลงรูปแบบการเดี่ยวเบนของรังสีเอกซ์ของเซรามิก $(1-x)$ PZT-( $x$ )PZN ที่อัตราส่วนโดยไม่ต่างกัน

#### 4.2 ผลการตรวจสอบความหนาแน่นของเซรามิก

เมื่อนำเซรามิก PMN-PT, PIN-PT และ PZT-PZN ที่เตรียมได้มาหาค่าความหนาแน่น ผลที่ได้แสดงดังตาราง 4.1

ตาราง 4.1 ค่าความหนาแน่นของสารเซรามิก PMN-PT, PIN-PT และ PZT-PZN ที่เตรียมได้

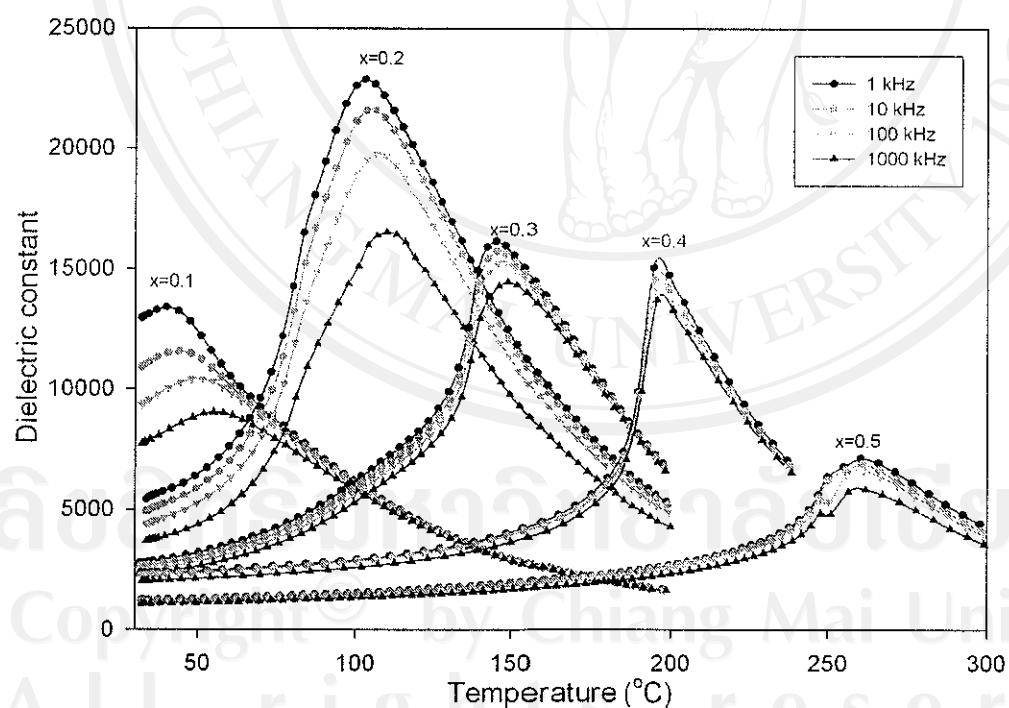
อัตราส่วน	( $1-x$ )PMN-( $x$ )PT	( $1-x$ )PIN-( $x$ )PT	( $1-x$ )PZT-( $x$ )PZN
	ค่าความหนาแน่น ( $\text{g}/\text{cm}^3$ )	ค่าความหนาแน่น ( $\text{g}/\text{cm}^3$ )	ค่าความหนาแน่น ( $\text{g}/\text{cm}^3$ )
X = 0.1	7.98	7.78	6.95
X = 0.2	7.94	7.85	6.34
X = 0.3	7.86	7.81	7.45
X = 0.4	7.80	7.85	7.54
X = 0.5	7.77	7.8	7.75

การเปลี่ยนแปลงค่าความหนาแน่นของสารเซรามิก PMN-PT ขึ้นอยู่กับการเพิ่มขึ้นหรือลดลงของอัตราส่วนโดยไม่ต้องค่าความหนาแน่นมีค่าเพิ่มจาก  $7.77 \text{ g}/\text{cm}^3$  ใน 0.5PMN-0.5PT ไปเป็น  $7.98 \text{ g}/\text{cm}^3$  ใน 0.9PMN-0.1PT ซึ่งมีแนวโน้มลดคลื่นกับค่าความหนาแน่นทางทฤษฎีของ

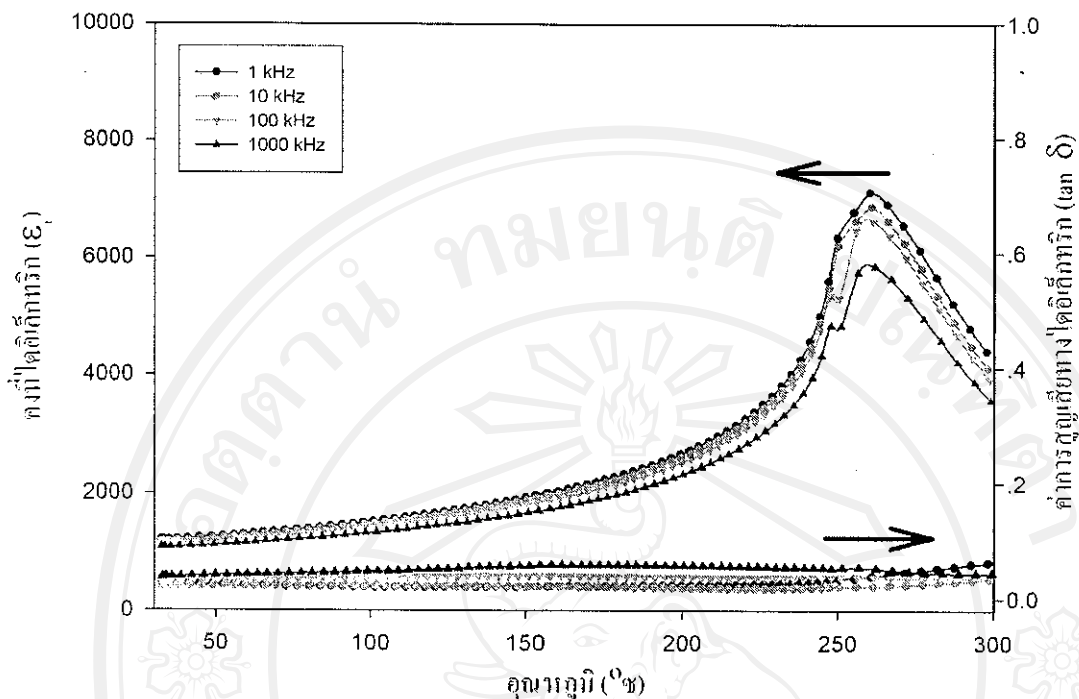
สาร PMN ( $8.13 \text{ g/cm}^3$ ) และสาร PT ( $7.97 \text{ g/cm}^3$ ) ส่วนการเปลี่ยนแปลงค่าความหนาแน่นของสารเซรามิก PIN-PT ที่เตรียมได้นั้นไม่แน่นอน โดยไม่มีแนวโน้มที่สอดคล้องกับค่าความหนาแน่นทางทฤษฎีของสาร PIN ( $8.588 \text{ g/cm}^3$ ) และสาร PT สำหรับสารเซรามิก PZT-PZN มีการเปลี่ยนแปลงค่าความหนาแน่นลดลงจาก  $7.75 \text{ g/cm}^3$  ใน 0.5PZT-0.5PZN ไปเป็น  $6.95 \text{ g/cm}^3$  ใน 0.9PZT-0.1PZN ซึ่งมีแนวโน้มสอดคล้องกับค่าความหนาแน่นทางทฤษฎีของสาร PZT ( $8.13 \text{ g/cm}^3$ ) และสาร PZN ( $7.97 \text{ g/cm}^3$ ) ยกเว้น 0.8PZT-0.2PZN ซึ่งมีค่าความหนาแน่น  $6.34 \text{ g/cm}^3$  ซึ่งเป็นค่าที่น้อยที่สุด

#### 4.3 การศึกษาการเปลี่ยนแปลงสมบัติไฟอิเล็กทริกกับอุณหภูมิและความถี่ของสารเซรามิก PMN-PT

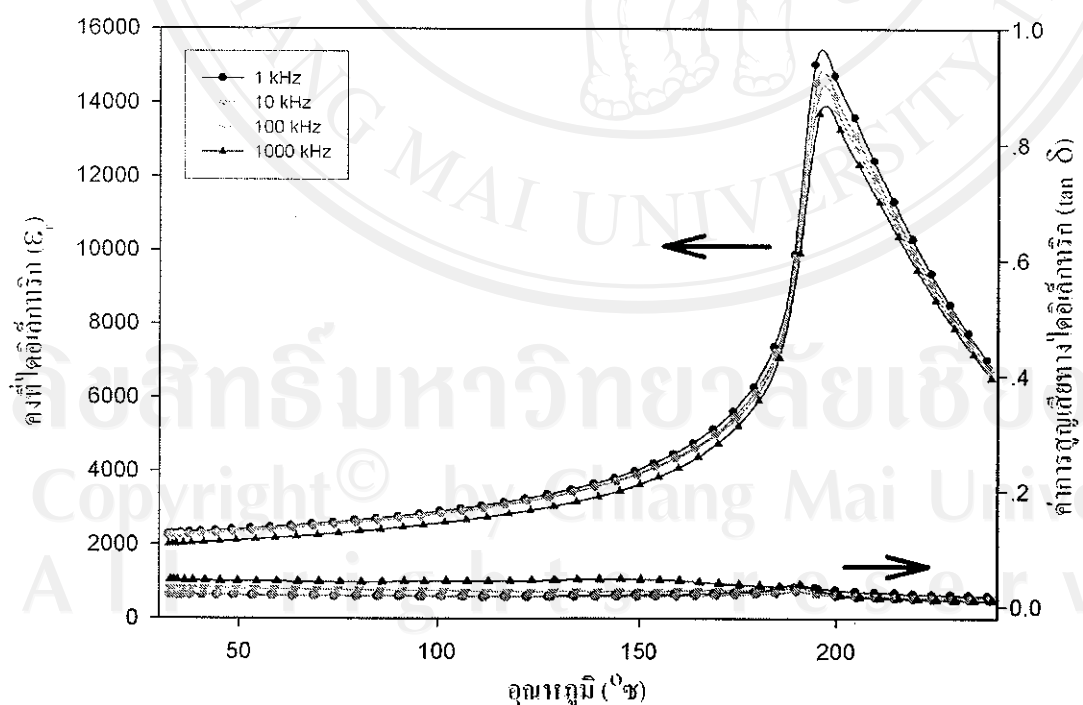
เมื่อนำสารเซรามิก PMN-PT ที่เตรียมได้มาศึกษาถึงการเปลี่ยนแปลงสมบัติไฟอิเล็กทริกกับอุณหภูมิและความถี่ โดยใช้เครื่องมือและอุปกรณ์ดังที่ได้กล่าวในบทที่ 3 ได้ผลการทดลองดังรูป 4.4 - 4.9



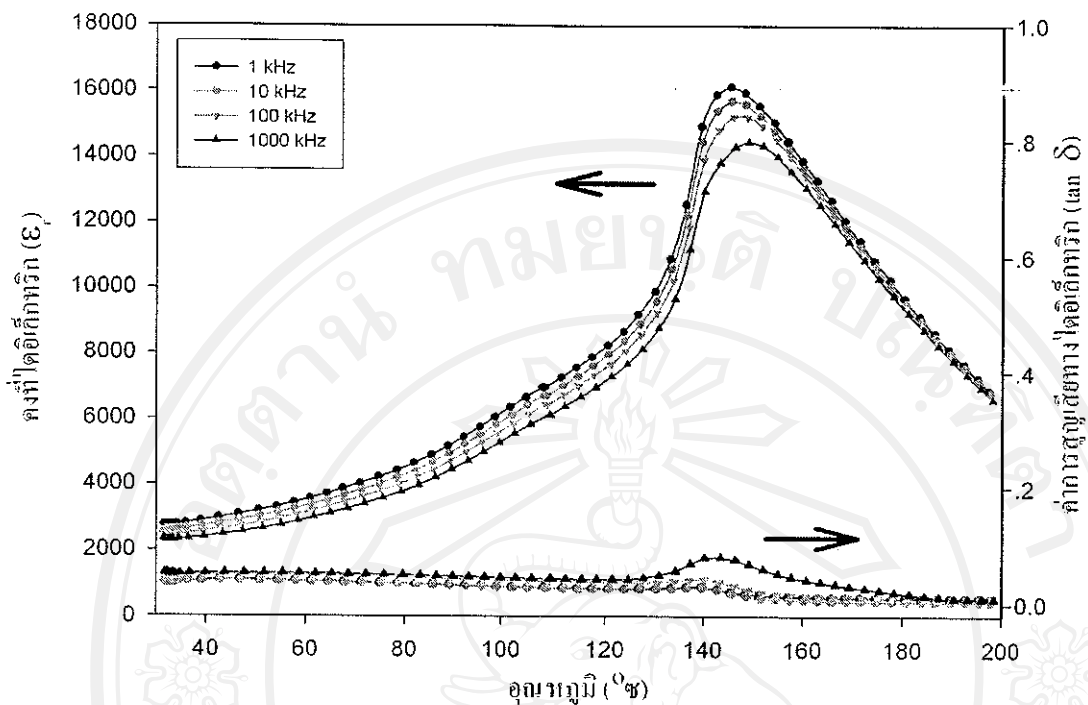
รูปที่ 4.4 กราฟแสดงความสัมพันธ์ระหว่างค่าคงที่ไฟอิเล็กทริกกับอุณหภูมิและความถี่ของสารเซรามิกในระบบ PMN-PT



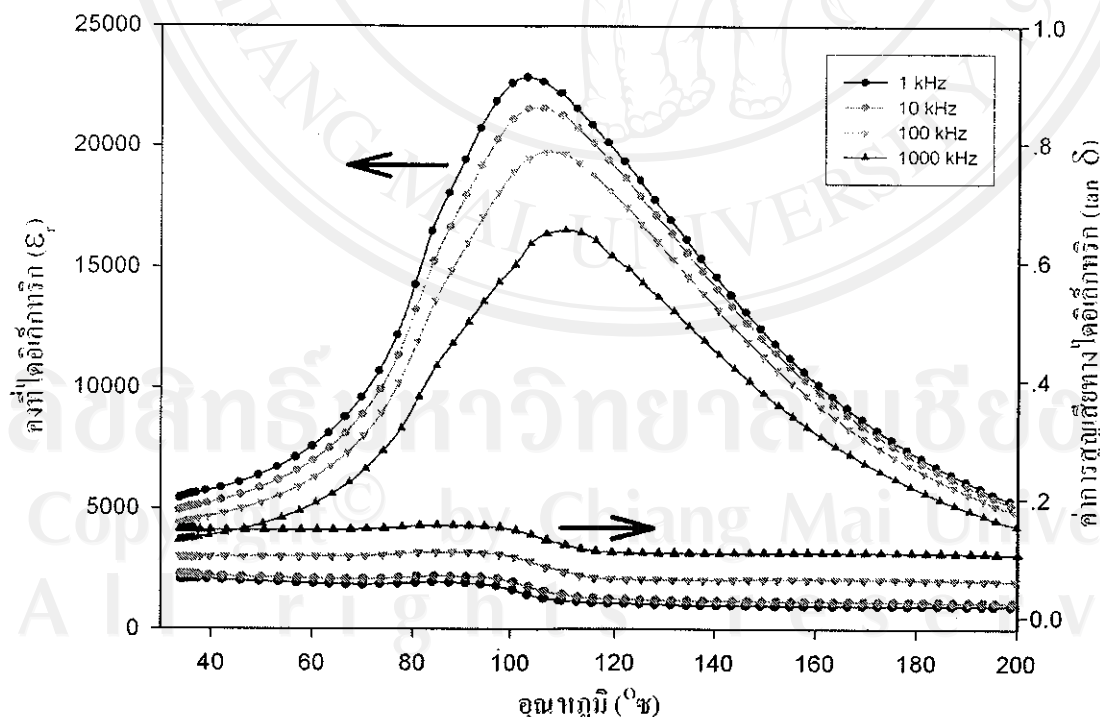
รูปที่ 4.5 กราฟแสดงความสัมพันธ์ระหว่างค่าคงที่ที่ได้อิเล็กทริกและค่าการสูญเสียทางไคลอิเด็กทริกกับอุณหภูมิและความถี่ของเซรามิก 0.5PMN-0.5PT



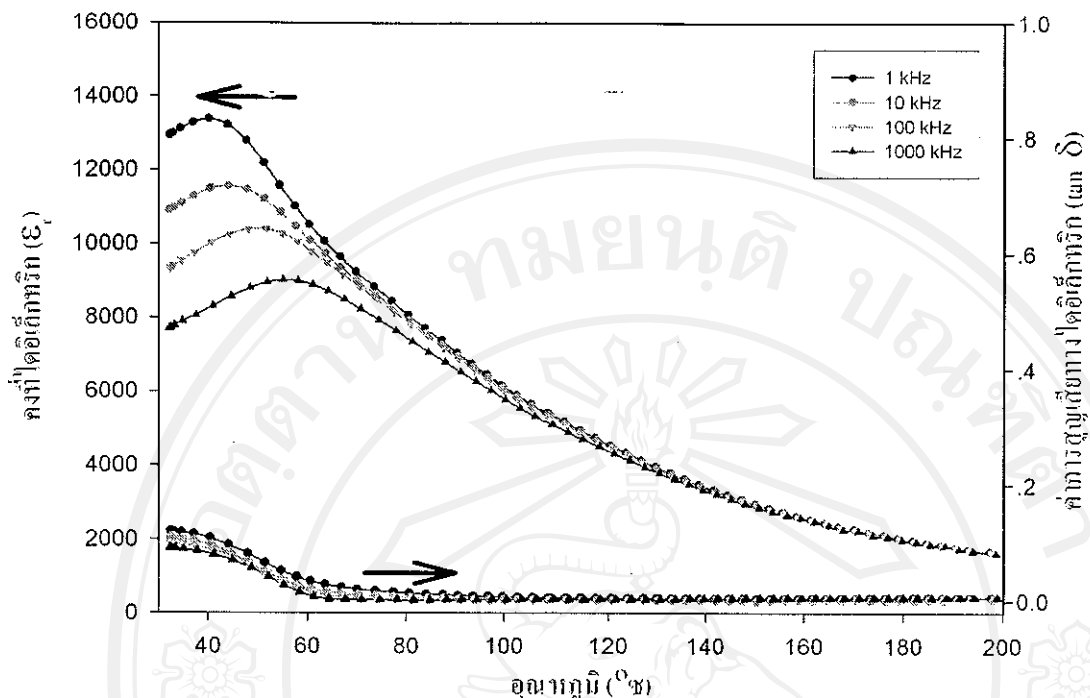
รูปที่ 4.6 กราฟแสดงความสัมพันธ์ระหว่างค่าคงที่ที่ได้อิเล็กทริกและค่าการสูญเสียทางไคลอิเด็กทริกกับอุณหภูมิและความถี่ของเซรามิก 0.6PMN-0.4PT



รูปที่ 4.7 กราฟแสดงความสัมพันธ์ระหว่างค่าคงที่ไดอิเล็กทริกและค่าการสูญเสียทางไดอิเล็กทริก กับอุณหภูมิและความถี่ของเซรามิก 0.7PMN-0.3PT



รูปที่ 4.8 กราฟแสดงความสัมพันธ์ระหว่างค่าคงที่ไดอิเล็กทริกและค่าการสูญเสียทางไดอิเล็กทริก กับอุณหภูมิและความถี่ของเซรามิก 0.8PMN-0.2PT



รูปที่ 4.9 กราฟแสดงความสัมพันธ์ระหว่างค่าคงที่ไดอิเล็กทริกและค่าการสูญเสียทางไดอิเล็กทริกกับอุณหภูมิและความถี่ของเซรามิก 0.9PMN-0.1PT

จากผลการทดลองพบว่าอุณหภูมิคิรี (Curie temperature,  $T_c$ ) จะมีค่าสูงขึ้นเมื่อมีปริมาณของ PT มากขึ้นเนื่องมาจากการ PT มีอุณหภูมิคิรีสูงกว่า (PMN-PT มีอุณหภูมิคิรี 495 °C ในขณะที่ PMN มีอุณหภูมิคิรี -10 °C) ทั้งนี้การเพิ่มปริมาณของ PT เข้าไปในระบบมากขึ้น จะทำให้อุณหภูมิคิรีของเซรามิก PMN-PT มีค่าสูงขึ้นโดยที่  $T_c$  (1 kHz) ของ (1-x)PMN-xPT จะมีค่าเป็น 40, 103, 145, 195 และ 260 °C เมื่อ  $x = 0.1, 0.2, 0.3, 0.4$  และ 0.5 ตามลำดับ และจะเห็นว่าสมบัติไดอิเล็กทริกของระบบจะเปลี่ยนแปลงจากพกุติกรรมแบบบริสแลกเซอร์ใน 0.9PMN-0.1PT ไปเป็นแบบเฟร์โรอิเล็กทริกแบบอ่อน (soft ferroelectric)[14] ส่วนค่าจุดสูงสุดของค่าคงที่ไดอิเล็กทริก ( $\epsilon_{max}$ ) จะมีค่าเพิ่มขึ้นตามอัตราส่วนโดยไมลของ PMN จนถึง 0.8PMN-0.2PT และเมื่ออัตราส่วนโดยไมลของ PMN เพิ่มขึ้นเป็น 0.9PMN-0.1PT ค่า  $\epsilon_{max}$  จะลดลงดังแสดงในตารางที่ 4.2 นอกจากนี้ยังพบว่าเซรามิก PMN-PT ที่มีอัตราส่วนโดยไมลของ PMN มากกว่าจะแสดงลักษณะของสารประเกศทรีแลกเซอร์อย่างชัดเจน กล่าวคือมีอุณหภูมิการเปลี่ยนโครงสร้างที่แตกต่างกันมากขึ้นและมีสมบัติไดอิเล็กทริกที่ขึ้นอยู่กับความถี่[14] ทำให้จุดสูงสุดของค่าคงที่ไดอิเล็กทริกมีการครอบคลุมกว้างอุณหภูมิที่กว้างกว่า (broader peak) เซรามิก PMN-PT ที่มีอัตราส่วนโดยไมลของ PMN น้อยกว่า และที่อุณหภูมิห้องพบว่าค่าคงที่ไดอิเล็กทริกและค่าการสูญเสียทางไดอิเล็กทริกจะเพิ่มขึ้นตามปริมาณของ PMN โดยที่เซรามิก 0.9PMN-0.1PT มีอุณหภูมิคิรีใกล้เคียงกับอุณหภูมิห้องทำให้มีค่าคงที่ไดอิ

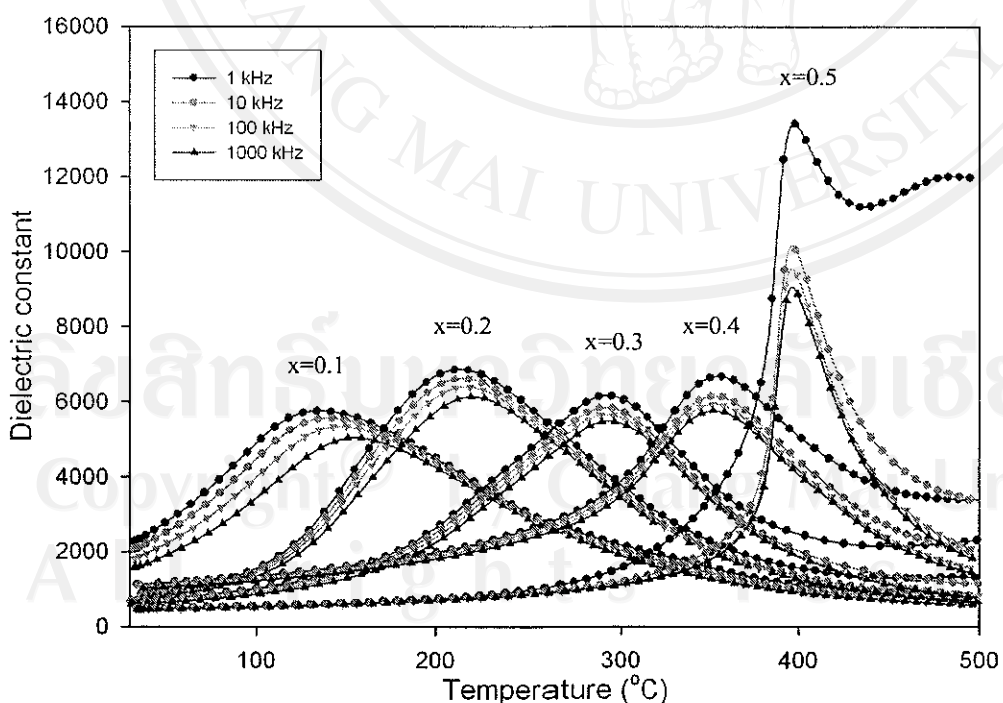
เล็กทริก ( $\epsilon_r$ ) สูงมากซึ่งจากผลการทดลองจะเห็นได้ว่าค่าคงที่ไดอิเล็กทริกสูงสุดมีค่าเท่ากับ 13388 ที่อุณหภูมิ  $45^\circ\text{C}$  และความถี่  $1 \text{ kHz}$

ตาราง 4.2 สรุปค่าคงที่ไดอิเล็กทริกของสารเซรามิก  $(1-x)\text{PMN}-(x)\text{PT}$  ที่ความถี่  $1 \text{ kHz}$

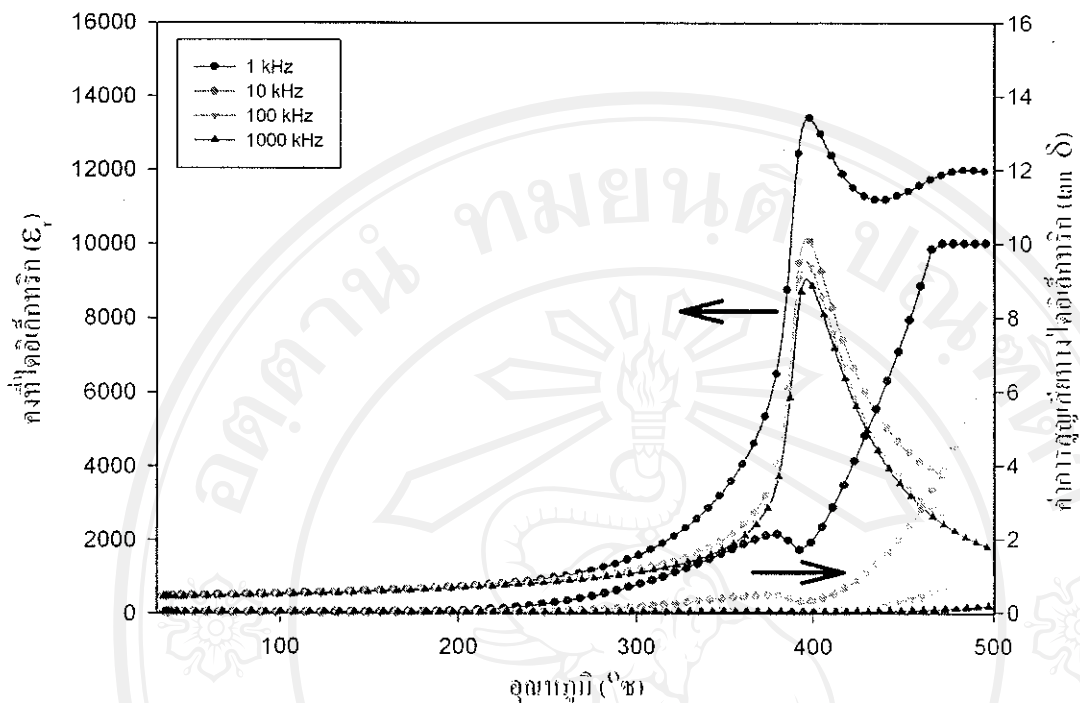
$x$	$T_c$	$\epsilon_{max}$	$\epsilon_{room}$
0.1	40	13388	12946
0.2	103	22864	5417
0.3	145	16132	2771
0.4	195	15203	2284
0.5	260	7128	1204

#### 4.4 การศึกษาการเปลี่ยนแปลงสมบัติไดอิเล็กทริกกับอุณหภูมิและความถี่ของสารเซรามิก PIN-PT

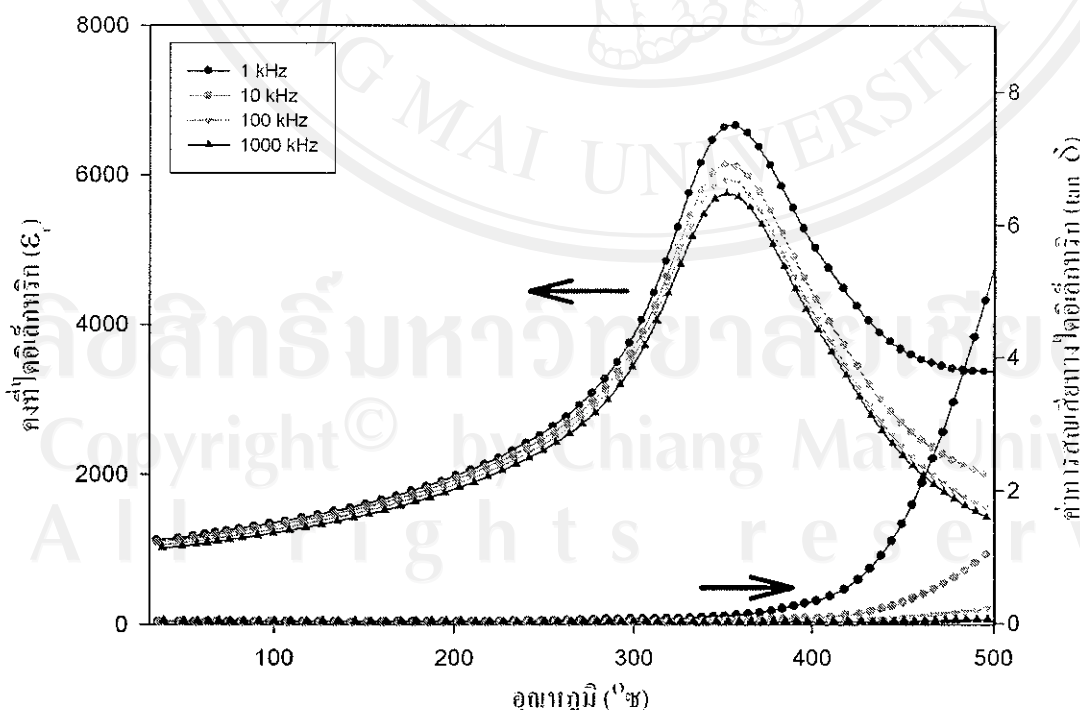
เมื่อนำสารเซรามิก PIN-PT ที่เตรียมได้มาศึกษาถึงการเปลี่ยนแปลงสมบัติไดอิเล็กทริก กับ อุณหภูมิและความถี่ ได้ผลการทดลองดังรูป 4.10 - 4.15



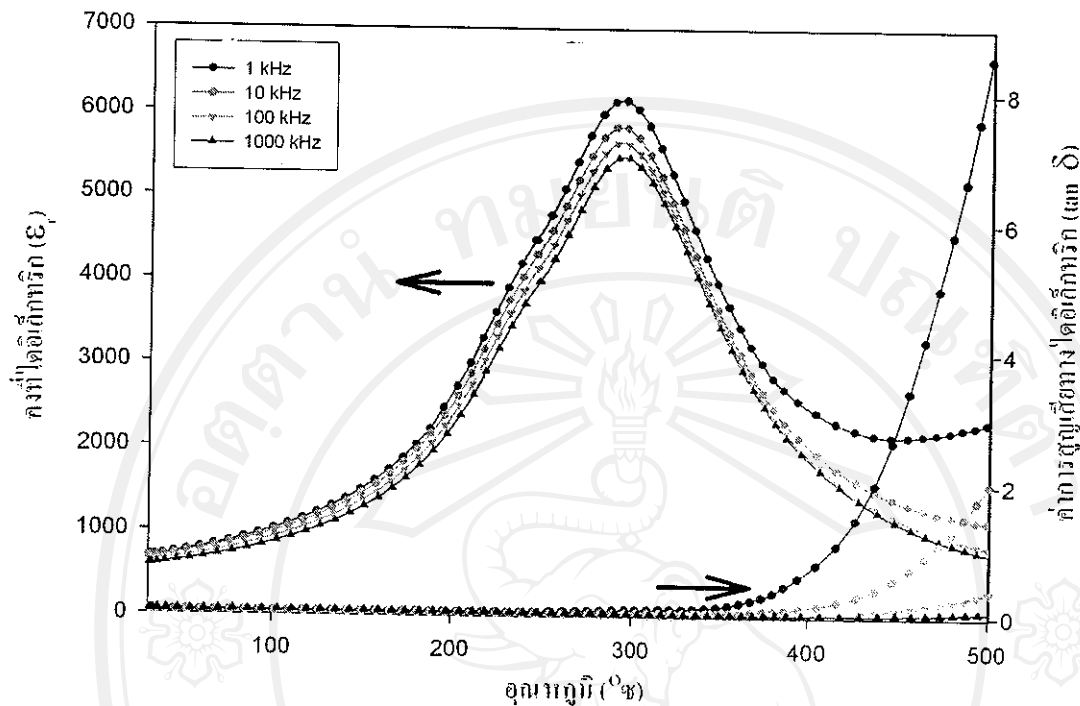
รูปที่ 4.10 กราฟแสดงความสัมพันธ์ระหว่างค่าคงที่ไดอิเล็กทริกกับอุณหภูมิและความถี่ ของสารเซรามิกในระบบ PIN-PT



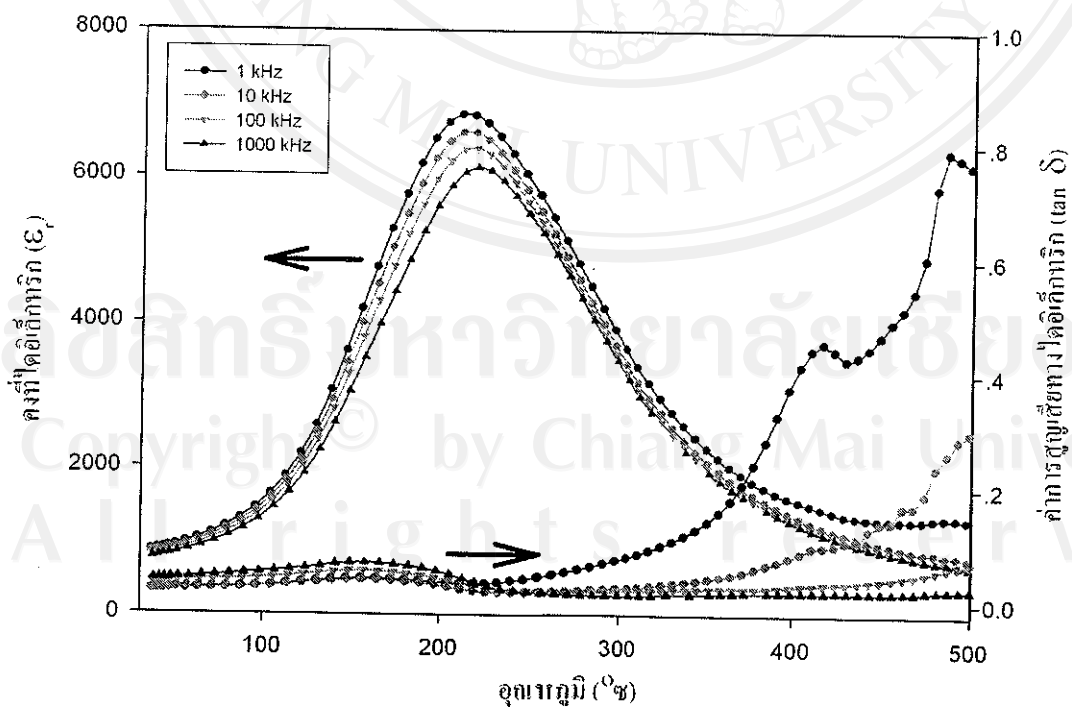
รูปที่ 4.11 กราฟแสดงความสัมพันธ์ระหว่างค่าคงที่ไดอิเล็กทริกและค่าการสูญเสียทางไดอิเล็กทริก กับอุณหภูมิและความถี่ของเซรามิก 0.5PIN-0.5PT



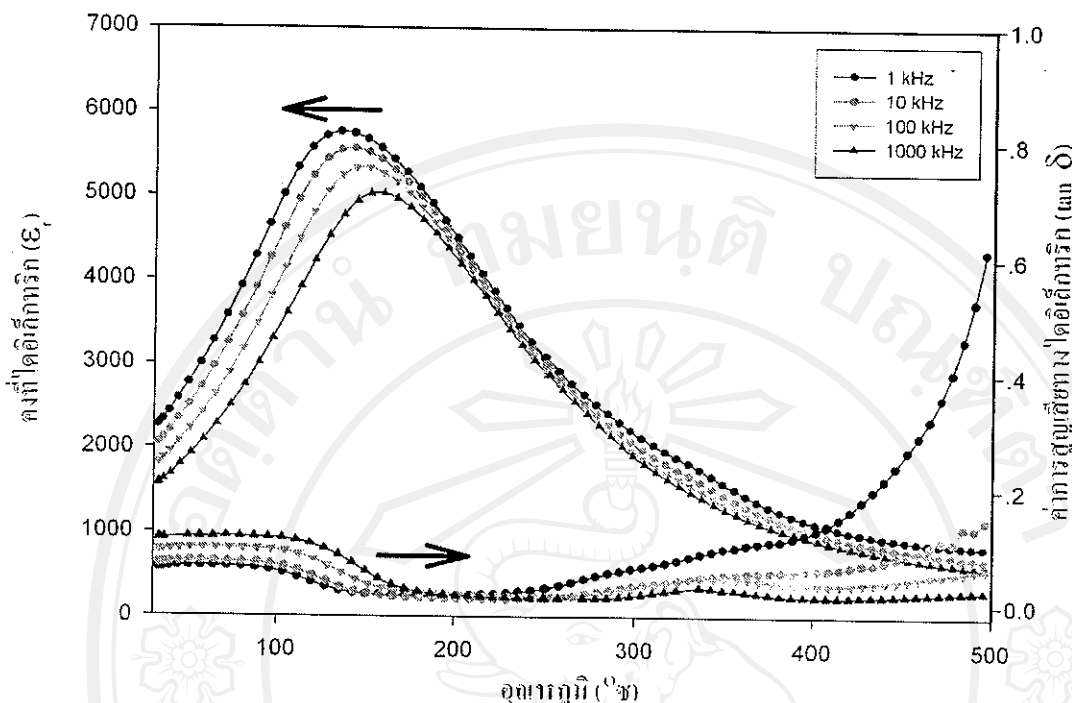
รูปที่ 4.12 กราฟแสดงความสัมพันธ์ระหว่างค่าคงที่ไดอิเล็กทริกและค่าการสูญเสียทางไดอิเล็กทริก กับอุณหภูมิและความถี่ของเซรามิก 0.6PIN-0.4PT



รูปที่ 4.13 กราฟแสดงความสัมพันธ์ระหว่างค่าคงที่ไดอิเล็กทริกและค่าการสูญเสียทางไดอิเล็กทริก กับอุณหภูมิและความถี่ของเซรามิก 0.7PIN-0.3PT



รูปที่ 4.14 กราฟแสดงความสัมพันธ์ระหว่างค่าคงที่ไดอิเล็กทริกและค่าการสูญเสียทางไดอิเล็กทริก กับอุณหภูมิและความถี่ของเซรามิก 0.8PIN-0.2PT



รูปที่ 4.15 กราฟแสดงความสัมพันธ์ระหว่างค่าคงที่ไดอิเล็กทริกและค่าการสูญเสียทางไดอิเล็กทริก กับอุณหภูมิและความถี่ของเซรามิก 0.9PIN-0.1PT

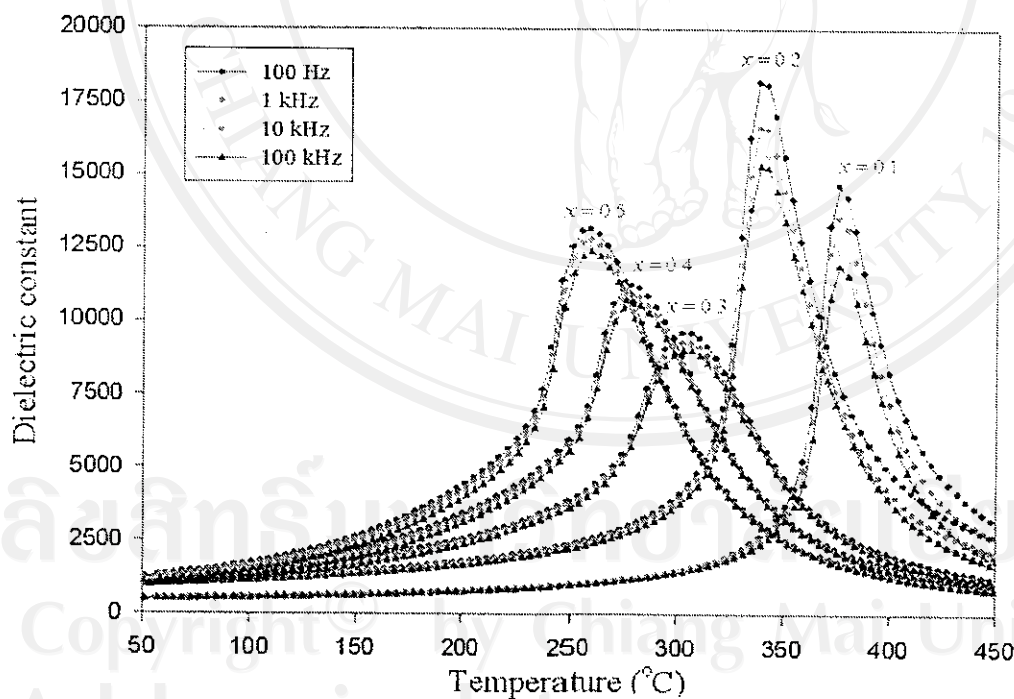
จากการทดลองพบว่าเมื่อมีปริมาณของ PT มากขึ้น อุณหภูมิคู่รีจะมีค่าสูงขึ้น เนื่องจาก PT มีอุณหภูมิคู่รีสูงกว่า PIN (PT มีอุณหภูมิคู่รี  $495^\circ\text{C}$  ในขณะที่ PIN มีอุณหภูมิคู่รี  $66^\circ\text{C}$ ) โดยการเพิ่มปริมาณของ PT เข้าไปในระบบมากขึ้น จะทำให้  $T_c$  ( $1\text{ kHz}$ ) ของ  $(1-x)\text{PIN}-x\text{PT}$  มีค่าเป็น 134, 213, 292, 355 และ  $397^\circ\text{C}$  เมื่อ  $x = 0.1, 0.2, 0.3, 0.4$  และ 0.5 ตามลำดับ และจะเห็นว่า สมบัติไดอิเล็กทริกของระบบจะแสดงพฤติกรรมแบบบริแตกต่ออย่างชัดเจน ใน 0.9PIN-0.1PT, 0.8PIN-0.2PT และ 0.7PIN-0.3PT กล่าวคือมีอุณหภูมิการเปลี่ยนโครงสร้างที่แตกต่างกันมากขึ้น และมีสมบัติไดอิเล็กทริกที่ขึ้นอยู่กับความถี่[14] ซึ่งจุดสูงสุดของค่าคงที่ไดอิเล็กทริกมีการครอบคลุมช่วงอุณหภูมิที่กว้าง (broader peak) และเปลี่ยนจากไปแสดงพฤติกรรมเป็นแบบพิโซอิเล็กทริกเมื่อมีปริมาณของ PT มากขึ้นใน 0.6PIN-0.4PT และ 0.5PIN-0.5PT และที่อุณหภูมิห้อง พบว่าค่าคงที่ไดอิเล็กทริกและค่าการสูญเสียทางไดอิเล็กทริกจะลดลงตามปริมาณของ PT ที่เพิ่มขึ้น และค่าคงที่ไดอิเล็กทริกและการสูญเสียทางไดอิเล็กทริกจะเพิ่มขึ้นอีกรึ้งเมื่อปริมาณของ PT เพิ่มขึ้นเป็น 0.6PIN-0.4PT ซึ่งเป็นเพราะว่า 0.6PIN-0.4PT อยู่ในช่วงบริเวณของรอยต่อเฟส (MPB)

ตาราง 4.3 สรุปค่าคงที่ไดอิเล็กทริกของสารเซรามิก  $(1-x)PIN-(x)PT$  ที่ความถี่ 1 kHz

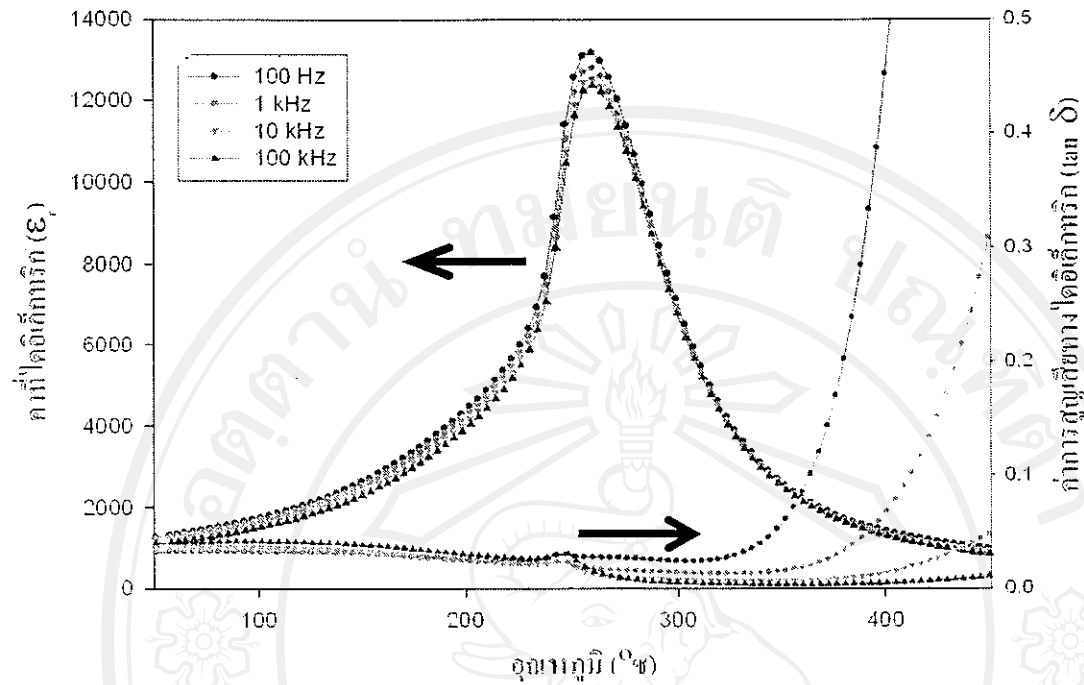
X	$T_c$	$\epsilon_{r\max}$	$\epsilon_{r_{room}}$
0.1	134	5756	2276
0.2	213	6863	863
0.3	292	6154	689
0.4	355	6674	1132
0.5	398	13423	482

#### 4.5 การศึกษาการเปลี่ยนแปลงสมบัติไดอิเล็กทริกกับอุณหภูมิและความถี่ของสารเซรามิก PZT-PZN

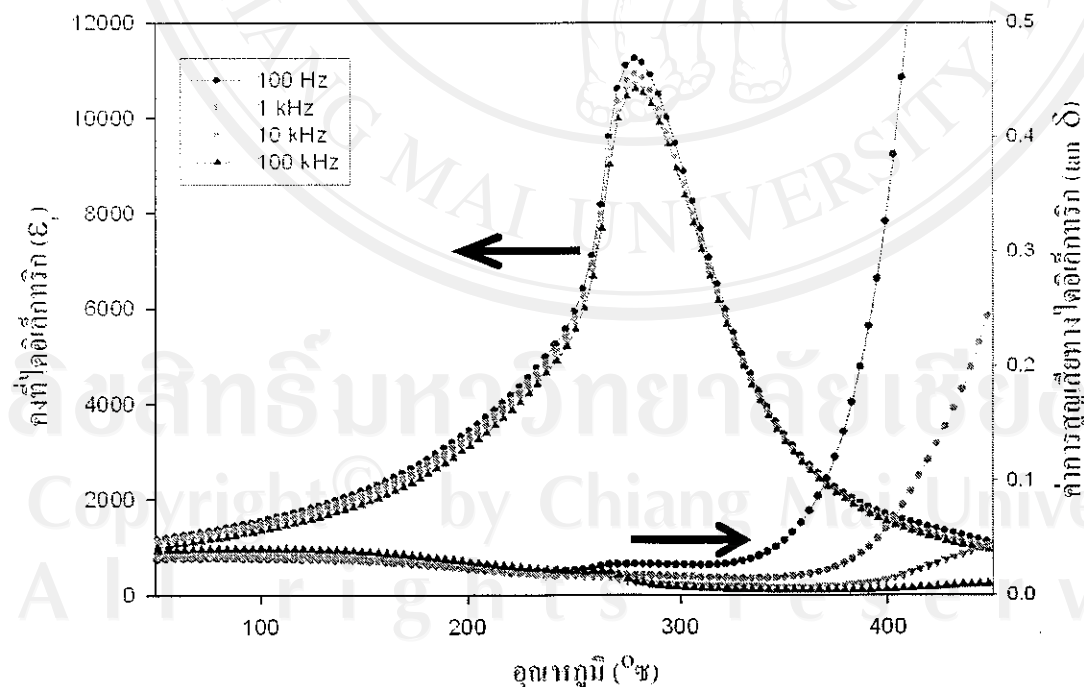
เมื่อนำสารเซรามิก PZT-PZN ที่เตรียมได้มาศึกษาถึงการเปลี่ยนแปลงสมบัติไดอิเล็กทริก กับอุณหภูมิและความถี่ ได้ผลการทดลองดังรูป 4.16 - 4.21



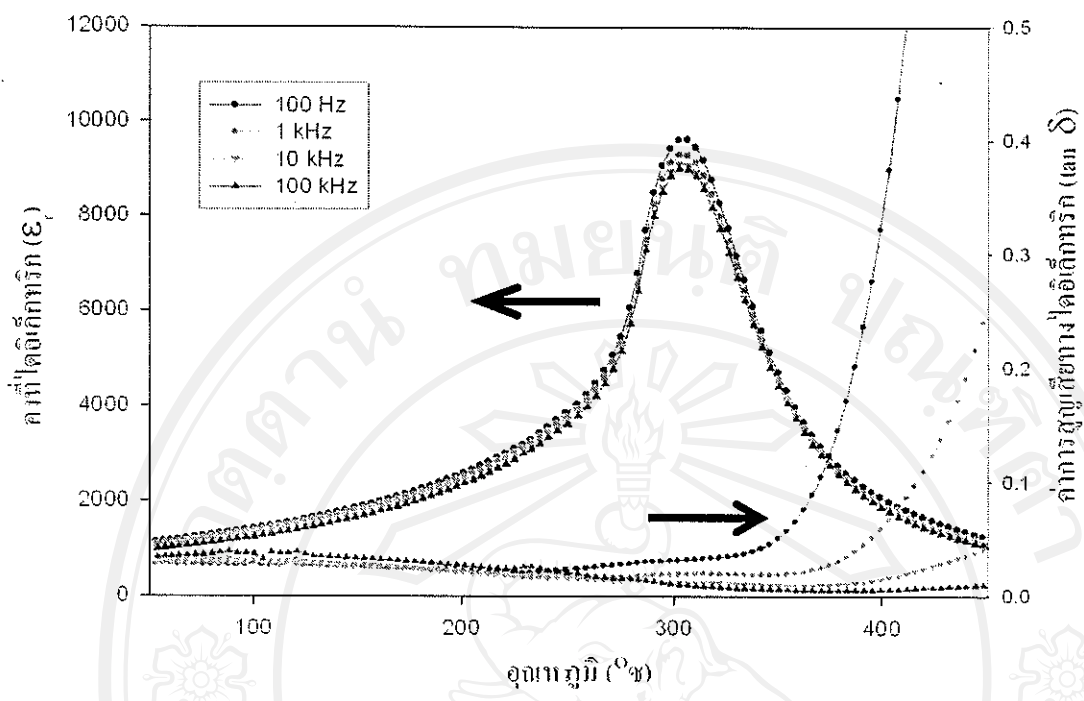
รูปที่ 4.16 กราฟแสดงความสัมพันธ์ระหว่างค่าคงที่ไดอิเล็กทริกกับอุณหภูมิและความถี่ ของสารเซรามิกในระบบ PZT-PZN



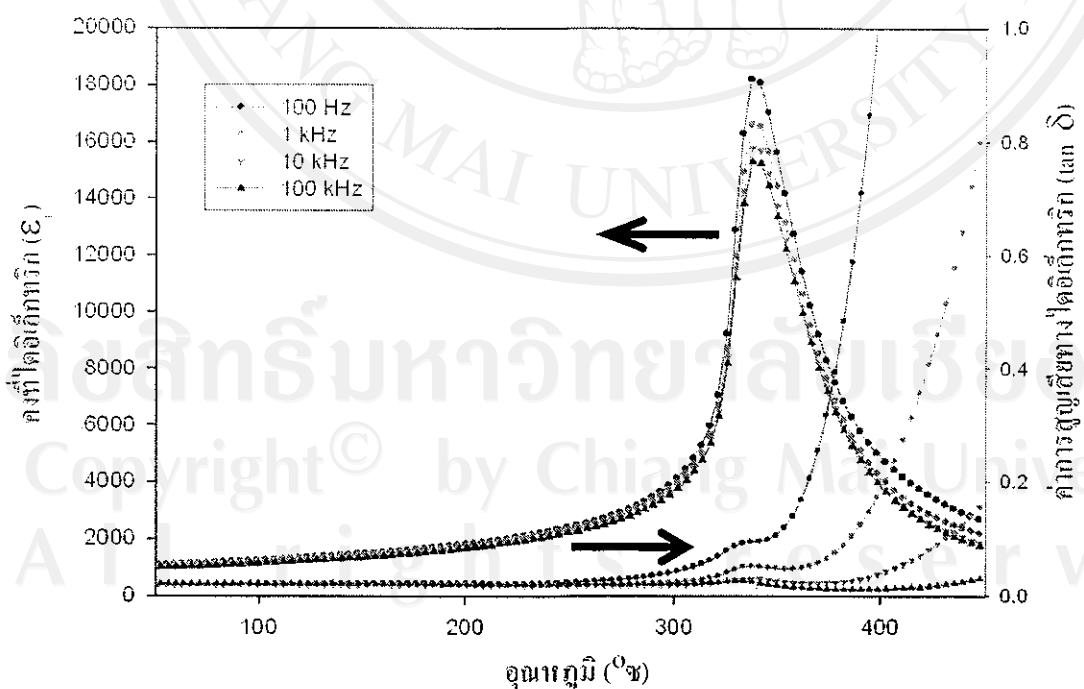
รูปที่ 4.17 กราฟแสดงความสัมพันธ์ระหว่างค่าคงที่ไดอิเล็กทริกและค่าการสูญเสียทางไดอิเล็กทริก กับอุณหภูมิและความถี่ของเซรามิก 0.5PZT-0.5PZN



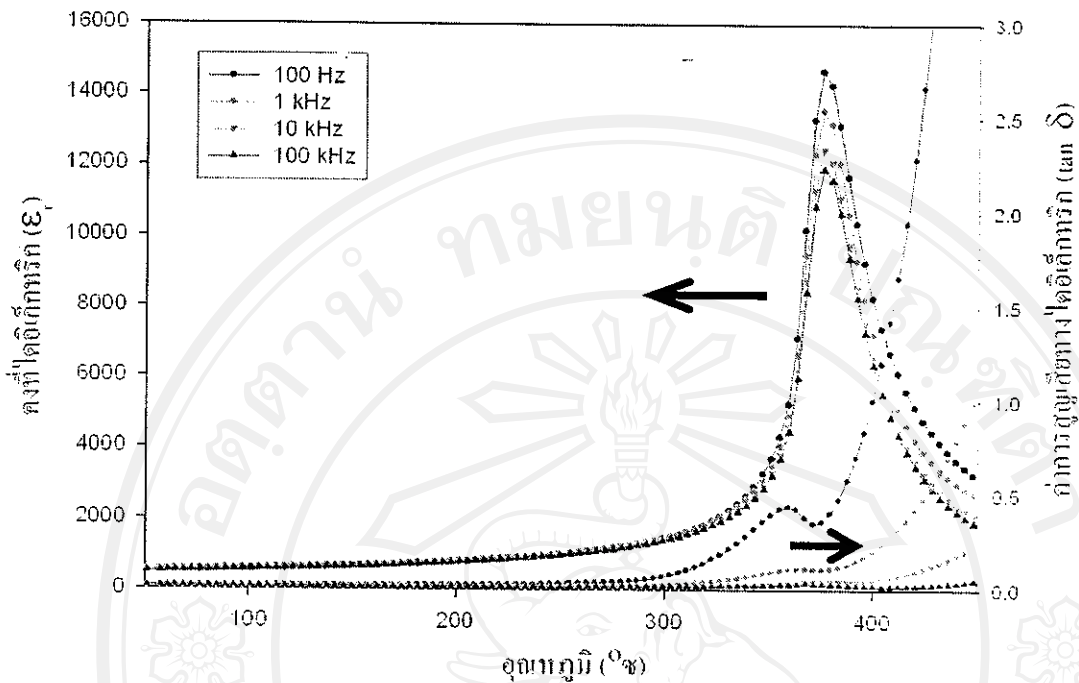
รูปที่ 4.18 กราฟแสดงความสัมพันธ์ระหว่างค่าคงที่ไดอิเล็กทริกและค่าการสูญเสียทางไดอิเล็กทริก กับอุณหภูมิและความถี่ของเซรามิก 0.6PZT-0.4PZN



รูปที่ 4.19 กราฟแสดงความสัมพันธ์ระหว่างค่าคงที่ไดอิเล็กทริกและค่าการสูญเสียทางไดอิเล็กทริก กับอุณหภูมิและความถี่ของเซรามิก 0.7PZT-0.3PZN



รูปที่ 4.20 กราฟแสดงความสัมพันธ์ระหว่างค่าคงที่ไดอิเล็กทริกและค่าการสูญเสียทางไดอิเล็กทริก กับอุณหภูมิและความถี่ของเซรามิก 0.8PZT-0.2PZN

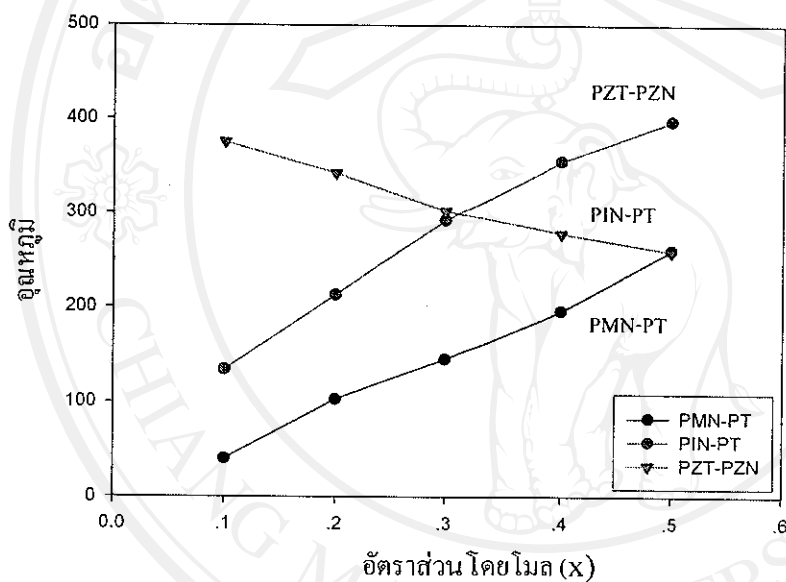


รูปที่ 4.21 กราฟแสดงความสัมพันธ์ระหว่างค่าคงที่ไดอิเล็กทริกและค่าการสูญเสียทางไดอิเล็กทริก กับอุณหภูมิและความถี่ของเซรามิก  $0.9\text{PZT}-0.1\text{PZN}$

จากการทดลองพบว่าอุณหภูมิคู่รีจะมีค่าต่ำลงเมื่อมีปริมาณของ PZN มากขึ้นเนื่องจาก PZN มีอุณหภูมิคู่รีต่ำกว่า PZT (PZT มีอุณหภูมิคู่รี  $140^\circ\text{C}$  ในขณะที่ PZT มีอุณหภูมิคู่รี  $390^\circ\text{C}$ ) โดยที่  $T_c$  (1 kHz) ของ  $(1-x)\text{PZT}-x\text{PZN}$  จะมีค่าเป็น 375, 342, 302, 278 และ  $259^\circ\text{C}$  เมื่อ  $x = 0.1, 0.2, 0.3, 0.4$  และ  $0.5$  ตามลำดับ และจะเห็นว่าสมบัติไดอิเล็กทริกของระบบแสดงพฤติกรรมแบบเฟอร์โรอิเล็กทริกแบบอ่อน(soft ferroelectric) ในสารเซรามิก  $(1-x)\text{PZT}-(x)\text{PZN}$  เมื่อ  $x = 0.1$  และ  $0.2$  และเปลี่ยนไปแสดงพฤติกรรมแบบบรีแลกเซอร์เมื่อ  $x = 0.3, 0.4$  และ  $0.5$  ในขณะที่ระบบสารเซรามิกแสดงพฤติกรรมแบบเฟอร์โรอิเล็กทริกแบบอ่อนนั้น ค่าจุดสูงสุดของค่าคงที่ไดอิเล็กทริก ( $\epsilon_{max}$ ) จะมีค่าเพิ่มขึ้นตามอัตราส่วนโดยไมลของ PZN จนถึง  $0.8\text{PZT}-0.2\text{PZN}$  และจะมีค่าลดลงเมื่อมีอัตราส่วนโดยไมลเป็น  $0.7\text{PZT}-0.3\text{PZN}$  เนื่องจากเป็นช่วงที่เกิดการเปลี่ยนแปลงโครงสร้างจากเตตระโgonอลไปเป็นรอนโนฮีดรอล และเปลี่ยนพฤติกรรมแบบเฟอร์โรอิเล็กทริกแบบอ่อนไปแสดงพฤติกรรมแบบบรีแลกเซอร์ และหลังจากนั้นค่าจุดสูงสุดของค่าคงที่ไดอิเล็กทริกจะมีค่าเพิ่มขึ้นเมื่ออัตราส่วนโดยไมลของ PZN เพิ่มขึ้น นอกจากนี้พบว่าที่อุณหภูมิห้องค่าคงที่ไดอิเล็กทริกและค่าการสูญเสียทางไดอิเล็กทริกจะเพิ่มขึ้นตามปริมาณของ PZN

ตาราง 4.4 สรุปค่าคงที่ไอดิเอล็กทริกของสารเซรามิก  $(1-x)PZT-(x)PZN$  ที่ความถี่ 1 kHz

X	$T_c$	$\epsilon_{r_{max}}$	$\epsilon_{r_{room}}$
0.1	375	14676	1011
0.2	342	18210	1153
0.3	302	9610	1265
0.4	278	11241	1349
0.5	259	13181	1561



รูปที่ 4.22 กราฟแสดงความสัมพันธ์ระหว่างอุณหภูมิคู่รี ( $T_c$ ) กับอัตราส่วนโดยไมลต่างๆของสารเซรามิกในระบบ  $(1-x)PMN-(x)PT$ ,  $(1-x)PIN-(x)PT$  และ  $(1-x)PZT-(x)PZN$  ที่ความถี่ 1 kHz

ความสัมพันธ์ระหว่างอุณหภูมิคู่รี ( $T_c$ ) กับอัตราส่วนโดยไมลต่างๆของสารเซรามิกในระบบ  $(1-x)PMN-(x)PT$ ,  $(1-x)PIN-(x)PT$  และ  $(1-x)PZT-(x)PZN$  เมื่อ  $x = 0.1, 0.2, 0.3, 0.4$ , และ  $0.5$  แสดงดังรูปที่ 4.22 พบว่าสารเซรามิกทั้งสามระบบมีความสัมพันธ์ระหว่างอุณหภูมิคู่รี ( $T_c$ ) กับอัตราส่วนโดยไมลต่างๆเป็นเชิงเส้นซึ่งสอดคล้องกับแผนผังเฟสของสารเซรามิกทั้งสามระบบซึ่งได้แสดงในบทที่ 2 โดยความสัมพันธ์ในสารเซรามิก PMN-PT และ PIN-PT มีลักษณะเหมือนกันคือ อุณหภูมิคู่รีมีค่าเพิ่มขึ้นเมื่อปริมาณของ PT เพิ่มขึ้น เมื่อจาก PT มีอุณหภูมิสูงกว่า PMN และ PIN แต่สำหรับสารเซรามิก PZT-PZN นั้นพบว่า อุณหภูมิคู่รีมีค่าลดลงเมื่อมีปริมาณของ PZN มากขึ้น ทั้งนี้ เพราะว่า อุณหภูมิคู่รีของ PZT มีค่าสูงกว่า PZN นั่นเอง

**4.6 ผลการศึกษาอิทธิพลของความเด่นแบบแกนเดี่ยวต่อสมบัติไดอิเล็กทริกของเซรามิกแลด  
แมgnีเซียมไนโอลेट-เลดทایเทเนต (PMN-PT)**

**4.6.1 สารเซรามิก PMN-PT ที่ยังไม่ผ่านการทำข้าว**

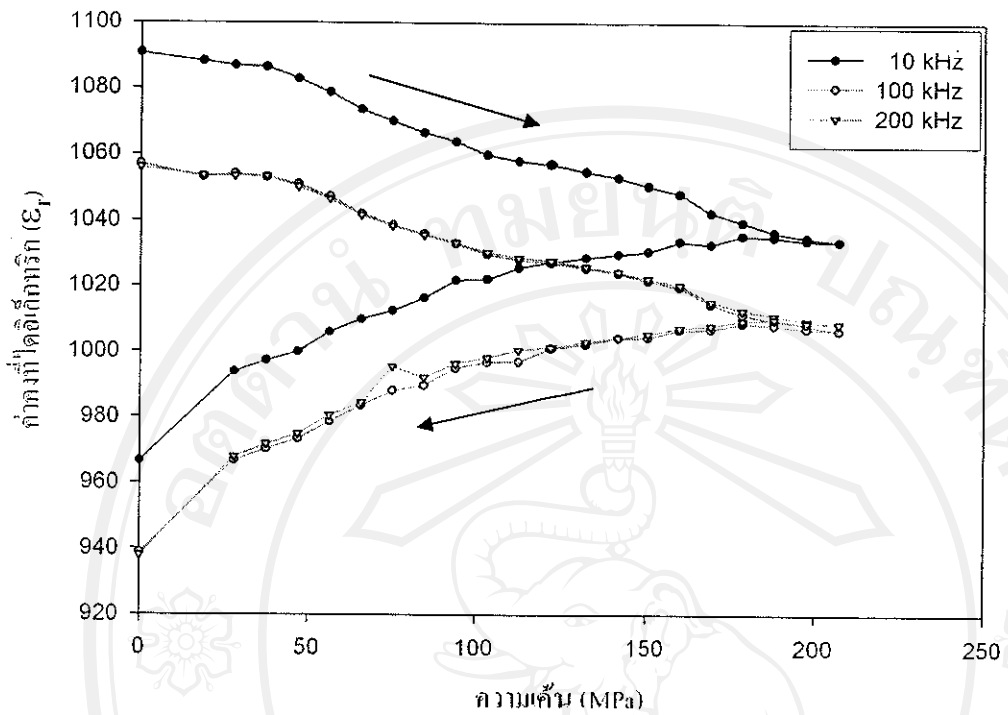
เมื่อนำสารเซรามิกในระบบ PMN-PT ที่ยังไม่ผ่านการทำข้าวมาทำการศึกษาค่าคงที่ไดอิเล็กทริกภายใต้สภาวะความเด่น (0-230 MPa) พบว่าโดยส่วนใหญ่แล้วในช่วงของการเพิ่มความเด่นนั้น ค่าคงที่ไดอิเล็กทริกมีแนวโน้มที่จะลดลง (รูป 4.23-4.32) โดยจากผลการทดลองพบว่าในเซรามิก 0.5PMN-0.5PT และ 0.9PMN-0.1PT มีค่าคงที่ไดอิเล็กทริกลดลงอย่างชัดเจนในช่วงความเด่น 0-230 MPa (รูป 4.23-4.24 และ 4.31-4.32) ซึ่งการเปลี่ยนแปลงนี้คล้ายกับผลการทดลองในเซรามิก 0.9PMN-0.1PT โดย Zhao และคณะ[16] ที่พบว่าค่าคงที่ไดอิเล็กทริกมีค่าลดลงเมื่อความเด่นเพิ่มขึ้น (0-150 MPa) ซึ่งน่าจะเป็นผลมาจากการที่ผนังโดเมนเกิดการยึดจับกัน ผนังโดเมนจึงมีการเคลื่อนที่น้อยลง ดังนั้นจึงทำให้ค่าคงที่ไดอิเล็กทริกมีค่าลดลง ส่วนในเซรามิกองค์ประกอบอื่นๆ จะพบว่ามีการเปลี่ยนแปลงของค่าคงที่ไดอิเล็กทริกที่ไม่แน่นอน โดยพบว่าค่าคงที่ไดอิเล็กทริกเพิ่มขึ้นอย่างชัดเจนในช่วง 0-75 MPa สำหรับเซรามิก 0.6PMN-0.4PT และ 0.7PMN-0.3PT (รูป 4.25-4.28) และในช่วง 0-100 MPa สำหรับเซรามิก 0.8PMN-0.2PT (รูป 4.29 และ 4.30) หลังจากนั้นค่าคงที่ไดอิเล็กทริกจะลดลงเมื่อความเด่นเพิ่มขึ้น ซึ่งคาดว่าอาจจะเป็นผลมาจากการขัดเรียงตัวของโดเมนที่เป็นแบบสุ่มในสารเซรามิกที่ยังไม่ผ่านการทำข้าว ซึ่งโดเมนบางส่วนอาจจะอยู่ในแนวที่ทำมุมกัน  $180^\circ$  และบางส่วนอาจจะอยู่ในแนวอื่น ซึ่งการเปลี่ยนแปลงโครงสร้างของโดเมนของห้องส่องกล้องทำให้มีการเปลี่ยนแปลงที่ไม่แน่นอน ซึ่งการเปลี่ยนแปลงนี้คล้ายกับในการทดลองในเซรามิก PZT-5H (Soft PZT) โดย Zhao และคณะ[16] ที่พบว่ามีค่าคงที่ไดอิเล็กทริกเพิ่มขึ้นเล็กน้อยในช่วง ความเด่น 0-40 MPa แต่หลังจากนั้นค่าคงที่ไดอิเล็กทริกจะลดลงเมื่อความเด่นมีค่าเพิ่มขึ้นจาก 40 ถึง 150 MPa ซึ่งใน Soft PZT จะมีการเปลี่ยนแปลงที่ชัดเจนกว่าใน Hard PZT เนื่องจากใน Soft PZT จะมีการเปลี่ยนแปลงของโดเมนได้ง่ายกว่าใน Hard PZT อย่างไรก็ตามลักษณะการเปลี่ยนแปลงของค่าคงที่ไดอิเล็กทริกที่พบในเซรามิก PMN-PT ทั้งสามองค์ประกอบที่กล่าวมานี้ จะมีลักษณะการเปลี่ยนแปลงในแนวโน้มที่ลดลงเมื่อความเด่นเพิ่มขึ้น ซึ่งน่าจะเป็นผลมาจากการที่ความเด่นที่ให้เข้าไปนั้น ไปยับยั้งการเคลื่อนที่ของผนังโดเมน[16] ส่งผลให้ค่าคงที่ไดอิเล็กทริกลดลง และเมื่อลดความเด่นลงพบว่า การเปลี่ยนแปลงของค่าคงที่ไดอิเล็กทริกจะแตกต่างกันโดยขึ้นอยู่กับองค์ประกอบในสารเซรามิกคือ สำหรับเซรามิก 0.5PMN-0.5PT และ 0.8PMN-0.2PT พบว่าค่าคงที่ไดอิเล็กทริกลดลงเมื่อความเด่นลดลง สำหรับเซรามิก 0.7PMN-0.3PT พบว่าค่าคงที่ไดอิเล็กทริกจะเพิ่มขึ้นเมื่อความเด่นลดลงในช่วงแรก และจากนั้นค่าคงที่ไดอิเล็กทริกจะลดลงเมื่อความเด่นลดลง สำหรับเซรามิก 0.6PMN-0.4PT และ 0.9PMN-0.1PT นั้นพบว่าค่าคงที่ไดอิเล็กทริก

และเมื่อลดความเด่นลงพบว่า การเปลี่ยนแปลงของค่าคงที่ไดอิเล็กทริกจะแตกต่างกันโดยขึ้นอยู่กับองค์ประกอบในสารเซรามิกคือ สำหรับเซรามิก 0.5PMN-0.5PT และ 0.8PMN-0.2PT พบว่าค่าคงที่ไดอิเล็กทริกลดลงเมื่อความเด่นลดลง สำหรับเซรามิก 0.7PMN-0.3PT พบว่าค่าคงที่ไดอิเล็กทริกจะเพิ่มขึ้นเมื่อความเด่นลดลงในช่วงแรก และจากนั้นค่าคงที่ไดอิเล็กทริกจะลดลงเมื่อความเด่นลดลง สำหรับเซรามิก 0.6PMN-0.4PT และ 0.9PMN-0.1PT นั้นพบว่าค่าคงที่ไดอิเล็กทริก

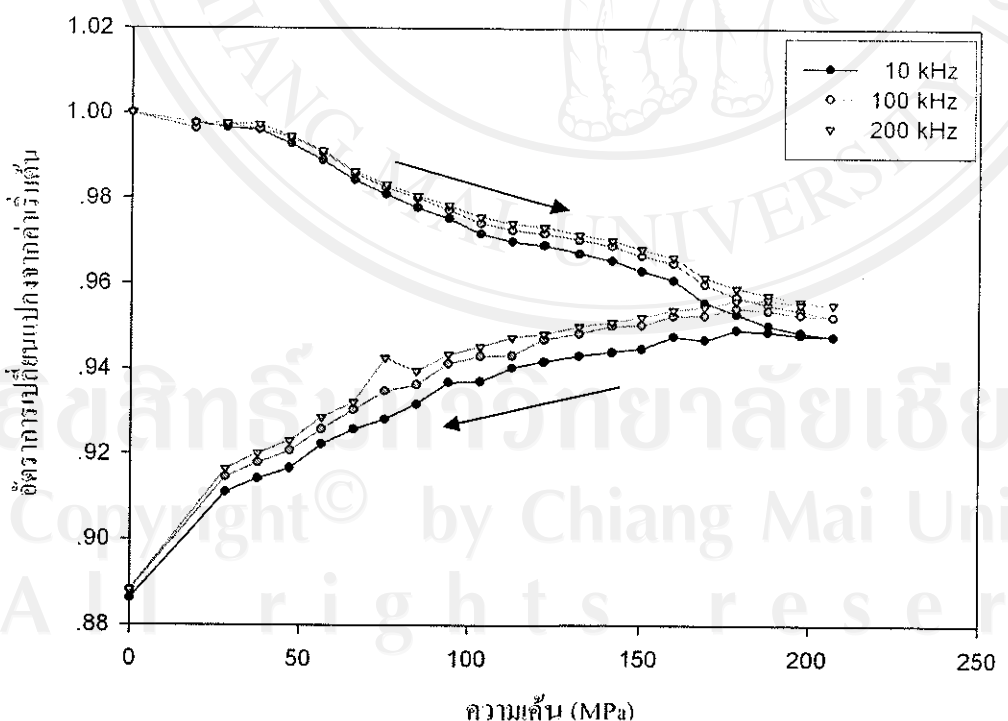
มีค่าเพิ่มขึ้นเล็กน้อยเมื่อความเค้นลดลง ซึ่งในเซรามิก PMN-PT ทุกองค์ประกอบจะพบว่าค่าคงที่ไดอิเล็กทริกในช่วงลดความเค้นของจะมีค่าที่แตกต่างกับในช่วงที่เพิ่มความเค้นมาก ซึ่งสภาวะที่เกิดขึ้นเช่นนี้แสดงว่าการให้ความเค้นในระดับนี้ ( $0\text{--}230 \text{ MPa}$ ) ก่อให้เกิดการเปลี่ยนแปลงอย่างถาวรต่อโครงสร้างหรือโครงสร้างภายใน ทำให้เมื่อลดความเค้นลงค่าคงที่ไดอิเล็กทริกมีค่าแตกต่างจากค่าเดิมมาก



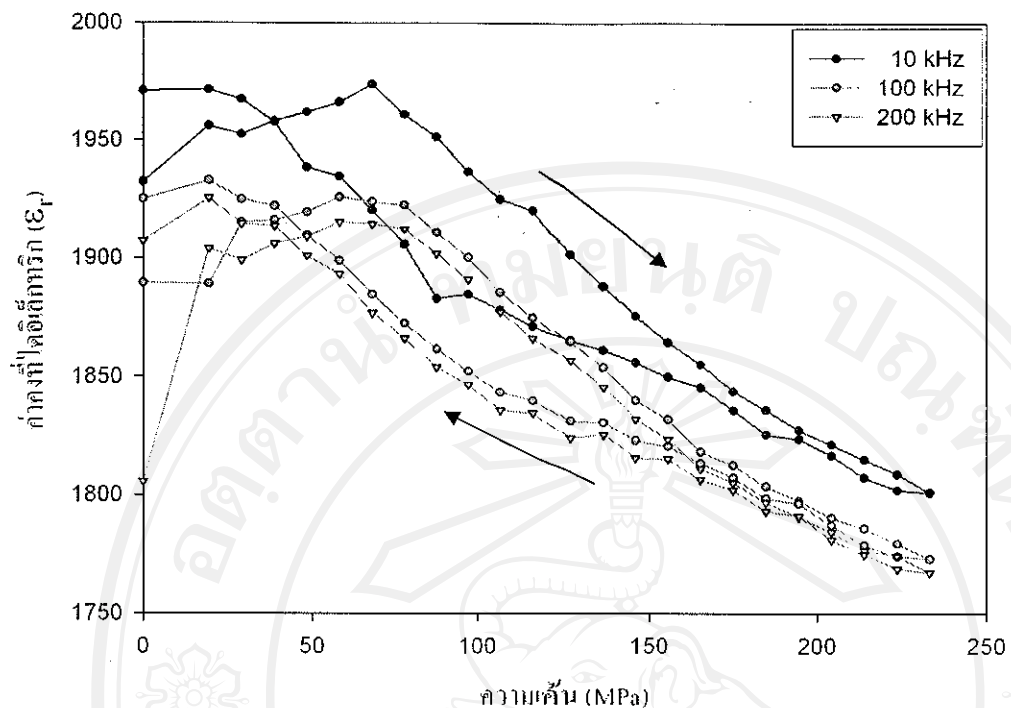
ลิขสิทธิ์มหาวิทยาลัยเชียงใหม่  
Copyright<sup>©</sup> by Chiang Mai University  
All rights reserved



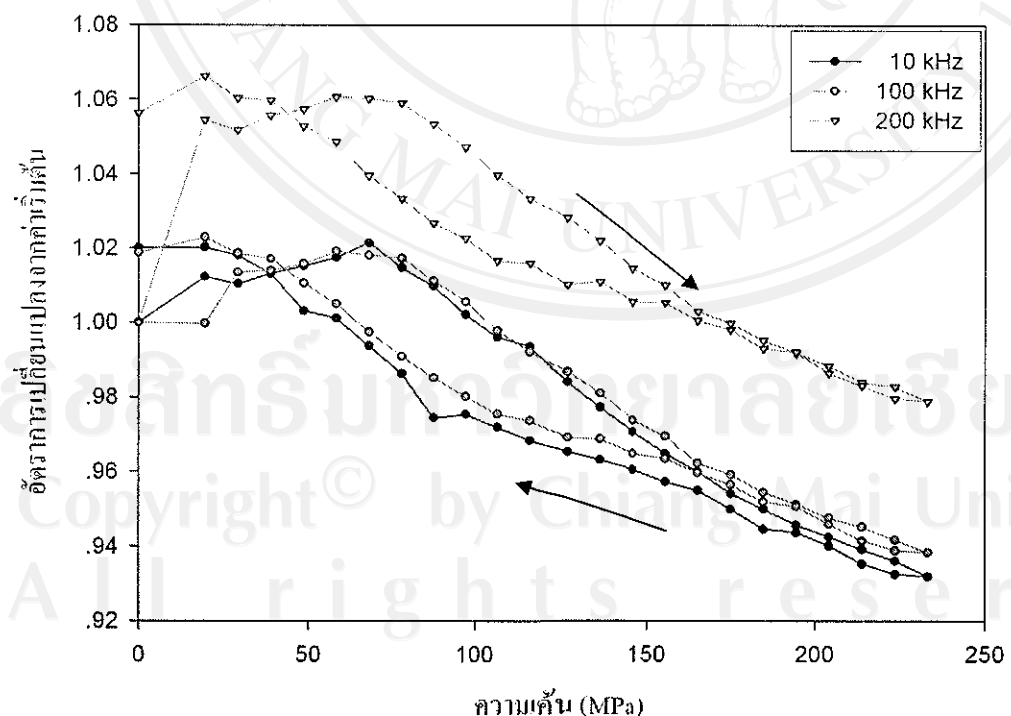
รูป 4.23 กราฟแสดงความสัมพันธ์ระหว่างค่าคงที่ไดอิเล็กทริกกับความเค้นของเซรามิก 0.5PMN-0.5PT ที่ยังไม่ผ่านการทำข้าว



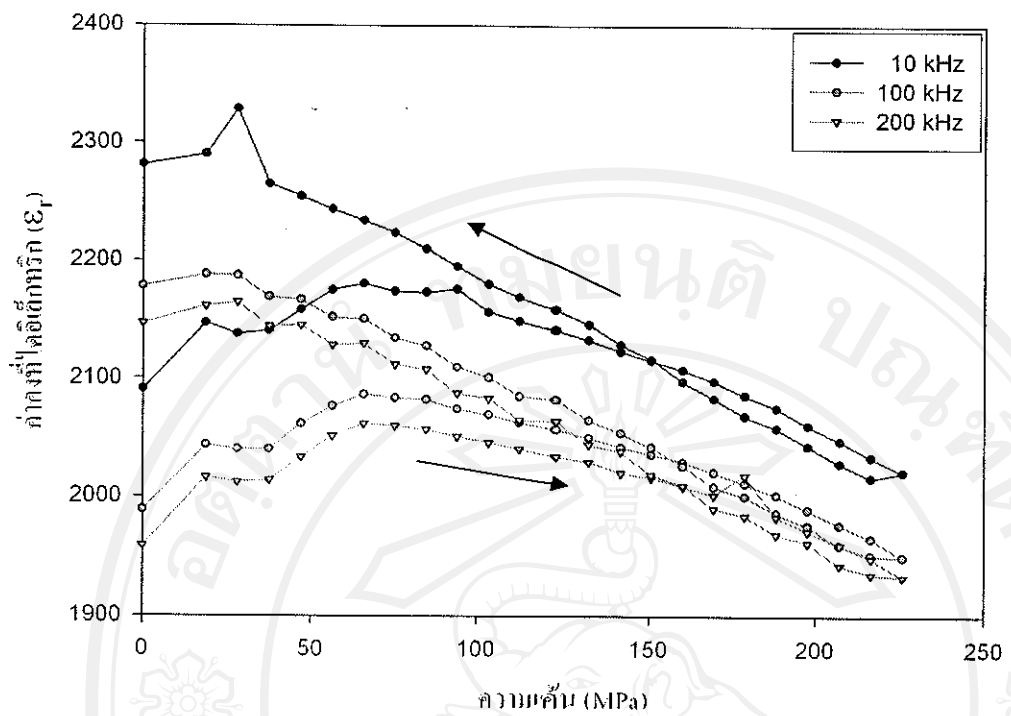
รูป 4.24 กราฟแสดงความสัมพันธ์ระหว่างอัตราการเปลี่ยนแปลงจากค่าเริ่มต้นของค่าคงที่ไดอิเล็กทริกกับความเค้นของเซรามิก 0.5PMN-0.5PT ที่ยังไม่ผ่านการทำข้าว



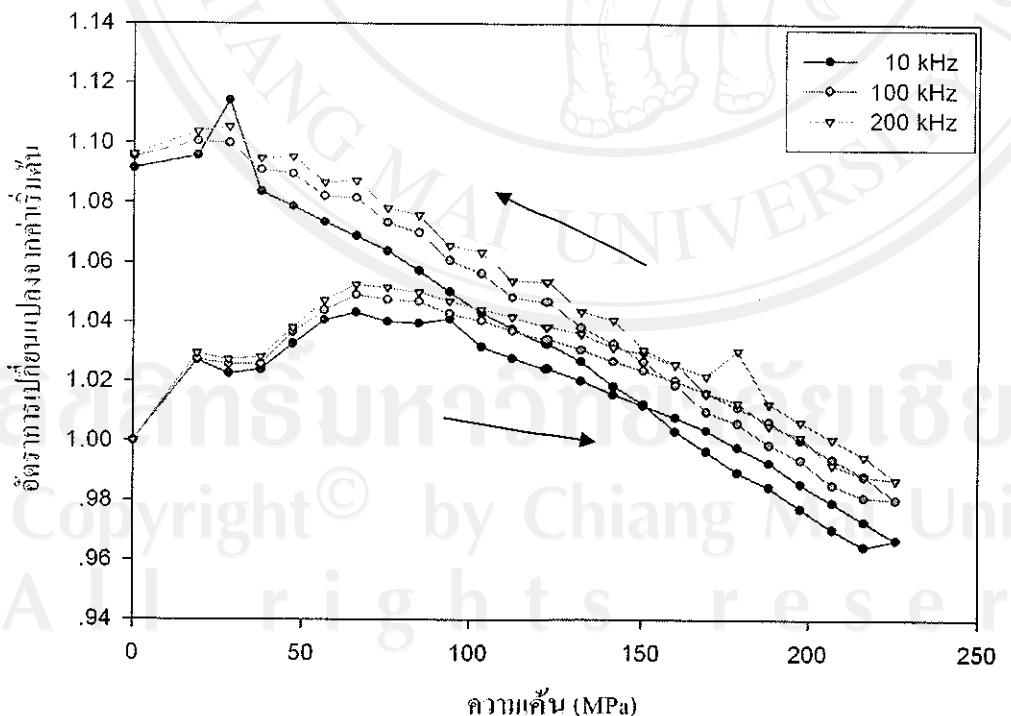
รูป 4.25 กราฟแสดงความสัมพันธ์ระหว่างค่าคงที่ไดอิเล็กทริกกับความเค้นของเซรามิก 0.6PMN-0.4PT ที่ยังไม่ผ่านการทำข้าว



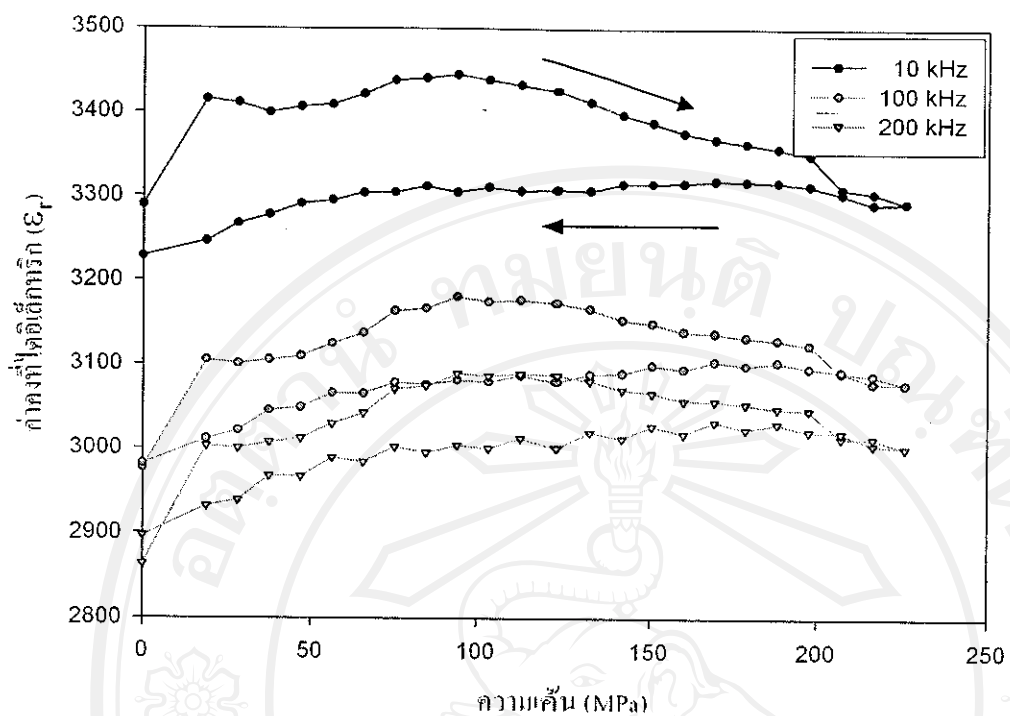
รูป 4.26 กราฟแสดงความสัมพันธ์ระหว่างอัตราการเปลี่ยนแปลงจากค่าเริ่มต้นของค่าคงที่ไดอิเล็กทริกกับความเค้นของเซรามิก 0.6PMN-0.4PT ที่ยังไม่ผ่านการทำข้าว



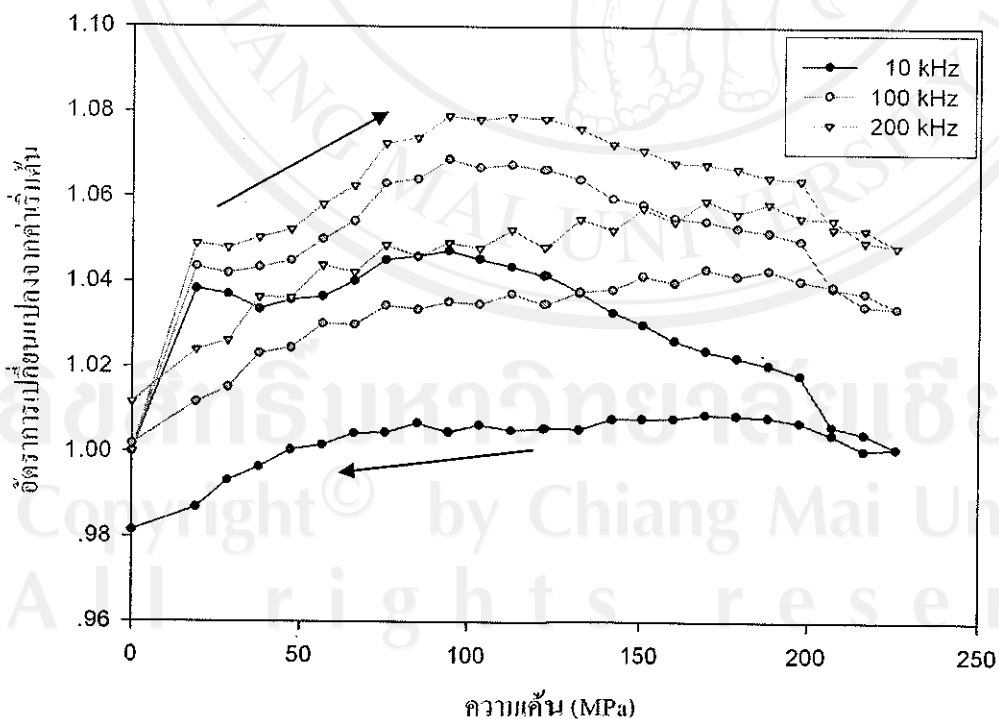
รูป 4.27 กราฟแสดงความสัมพันธ์ระหว่างค่าคงที่ไดอิเล็กทริกกับความเค็นของเซรามิก 0.7PMN-0.3PT ที่ยังไม่ผ่านการทำข้าว



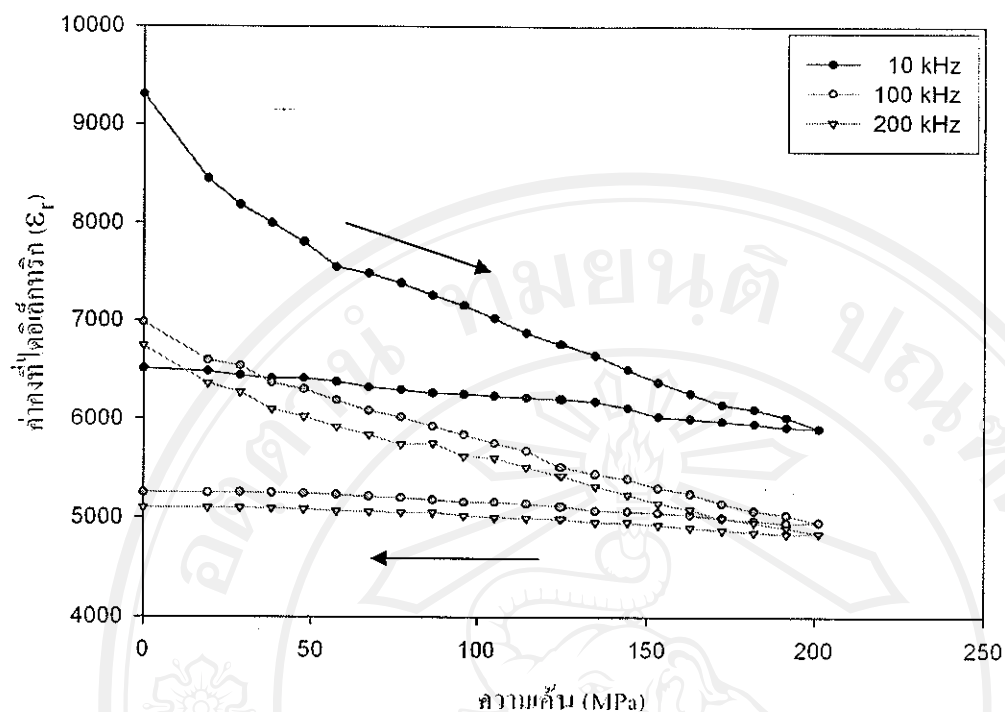
รูป 4.28 กราฟแสดงความสัมพันธ์ระหว่างอัตราการเปลี่ยนแปลงจากค่าเริ่มต้นของค่าคงที่ไดอิเล็กทริกกับความเค็นของเซรามิก 0.7PMN-0.3PT ที่ยังไม่ผ่านการทำข้าว



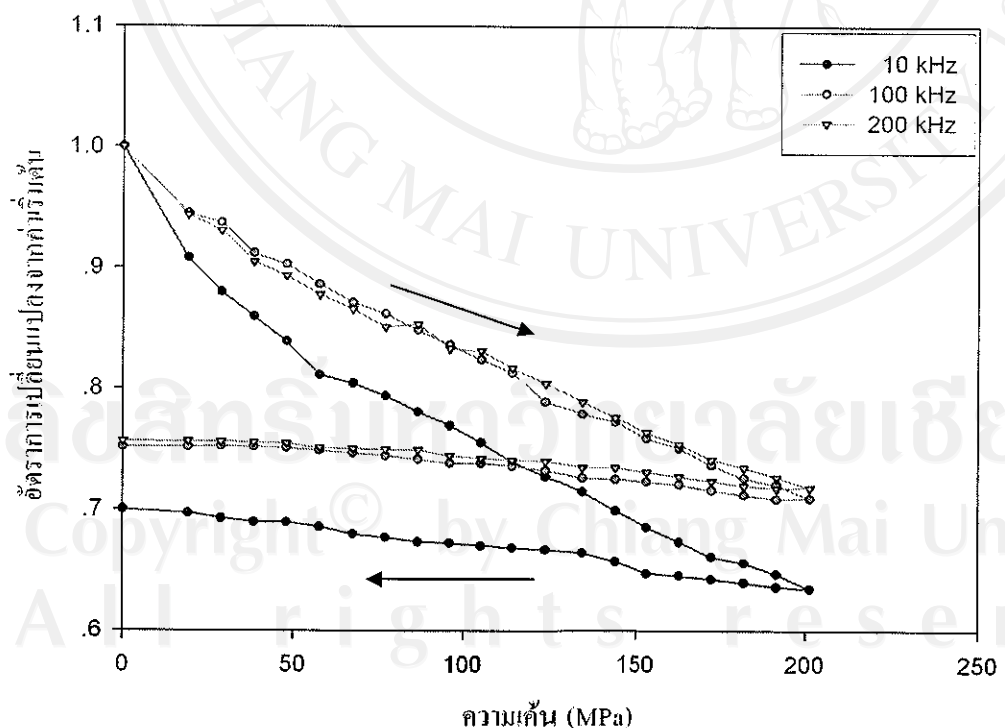
รูป 4.29 กราฟแสดงความสัมพันธ์ระหว่างค่าคงที่ไดอิเล็กทริกกับความดันของเซรามิก 0.8PMN-0.2PT ที่ยังไม่ผ่านการทำข้าว



รูป 4.30 กราฟแสดงความสัมพันธ์ระหว่างอัตราการเปลี่ยนแปลงจากค่าเริ่มต้นของค่าคงที่ไดอิเล็กทริกกับความดันของเซรามิก 0.8PMN-0.2PT ที่ยังไม่ผ่านการทำข้าว

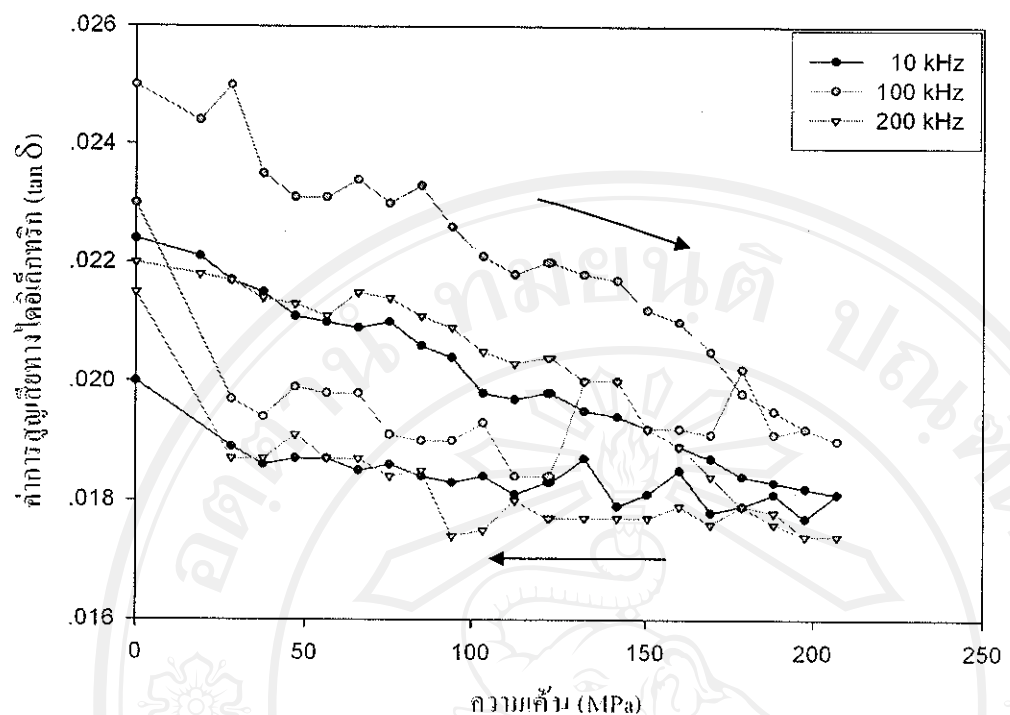


รูป 4.31 กราฟแสดงความสัมพันธ์ระหว่างค่าคงที่ไดอิเล็กทริกกับความดันของเซรามิก 0.9PMN-0.1PT ที่ยังไม่ผ่านการทำข้าว

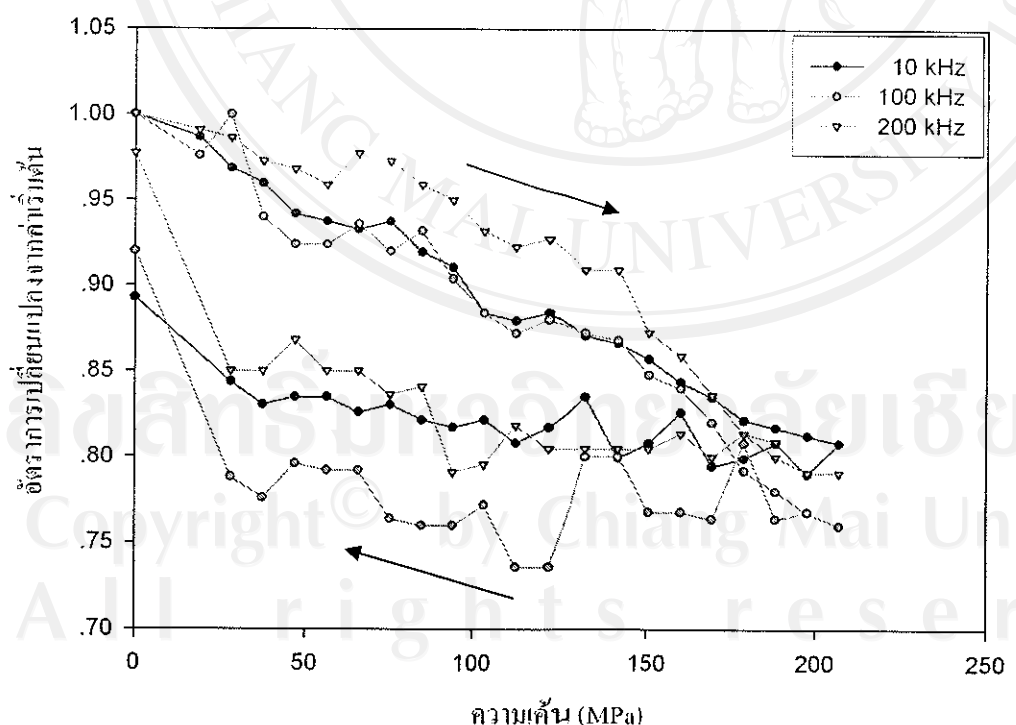


รูป 4.32 กราฟแสดงความสัมพันธ์ระหว่างอัตราการเปลี่ยนแปลงจากค่าเริ่มต้นของค่าคงที่ไดอิเล็กทริกกับความดันของเซรามิก 0.9PMN-0.1PT ที่ยังไม่ผ่านการทำข้าว

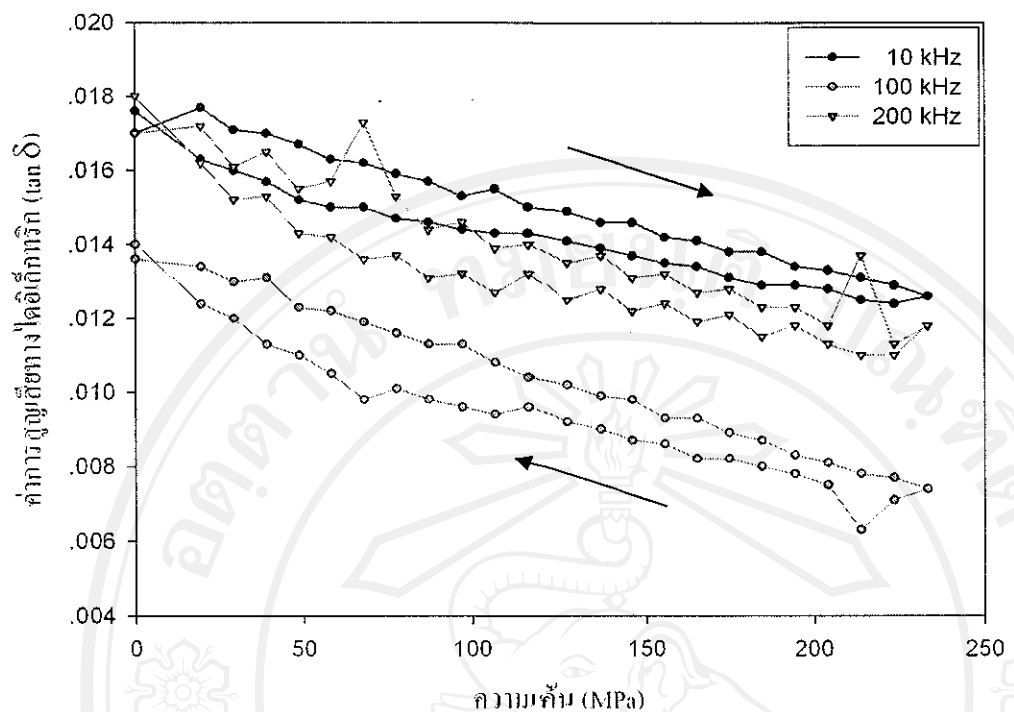
สำหรับในส่วนของค่าการสูญเสียทางไอดิลีกทริก พนว่าค่าการสูญเสียทางไอดิลีกทริกมีแนวโน้มลดลงเมื่อความเค้นเพิ่มขึ้น ดังรูป 4.33-4.42 ซึ่งคาดว่าจะเป็นผลจากการจัดเรียงตัวใหม่ของโคลเมน[15] หรือการยับยั้งการเคลื่อนที่ของผนังโคลเมนไม่ให้เคลื่อนที่[16] ในระหว่างการลดความเค้นลงนั้นพบว่าค่าการสูญเสียทางไอดิลีกทริกมีแนวโน้มเพิ่มขึ้น โดยมีลักษณะการเปลี่ยนแปลงที่แตกต่างกันขึ้นอยู่กับองค์ประกอบคือ สำหรับเซรามิก  $0.5\text{PMN}-0.5\text{PT}$ ,  $0.6\text{PMN}-0.4\text{PT}$  และ  $0.7\text{PMN}-0.3\text{PT}$  ค่าการสูญเสียทางไอดิลีกทริกมีแนวโน้มเพิ่มขึ้นเมื่อความเค้นลดลงสำหรับเซรามิก  $0.8\text{PMN}-0.2\text{PT}$  พนว่าในช่วงแรกค่าการสูญเสียทางไอดิลีกทริกมีค่าเพิ่มขึ้นเมื่อความเค้นลดลงถึงประมาณ  $70 \text{ MPa}$  ซึ่งค่าการสูญเสียทางไอดิลีกทริกในช่วงนี้จะมีค่ามากกว่าช่วงเพิ่มความเค้น จากนั้นค่าการสูญเสียทางไอดิลีกทริกจะลดลงเมื่อความเค้นลดลง ทั้งนี้อาจเป็น เพราะความเค้นที่ให้เข้าไปมีบทบาททำให้ผนังโคลเมนมีการเคลื่อนที่ผ่านจุดกดพร่องต่างๆ ทำให้เมื่อเอาความเค้นออกแล้ว จะทำให้ผนังโคลเมนเคลื่อนที่ได้มากขึ้นจึงทำให้ค่าการสูญเสียทางไอดิลีกทริกมีค่าสูงกว่าค่าเริ่มต้น[15] สำหรับเซรามิก  $0.9\text{PMN}-0.1\text{PT}$  พนว่าเมื่อลดความเค้นค่าการสูญเสียทางไอดิลีกทริกมีค่าเพิ่มขึ้นเล็กน้อย ซึ่งในเซรามิก  $\text{PMN-PT}$  ทุกองค์ประกอบจะพนว่าค่าการสูญเสียทางไอดิลีกทริกในช่วงของการลดความเค้นของเซรามิก  $\text{PMN-PT}$  จะมีค่าแตกต่างจากค่าการสูญเสียทางไอดิลีกทริกในช่วงของการเพิ่มความเค้นมาก ซึ่งแสดงให้เห็นว่าการให้ความเค้นในระดับนี้ ก่อให้เกิดการเปลี่ยนแปลงอย่างถาวรต่อโคลเมนหรือโครงสร้างภายใน ดังนั้นเมื่อลดความเค้นลงแล้วค่าการสูญเสียทางไอดิลีกทริกจะมีค่าแตกต่างจากค่าเดิมมาก



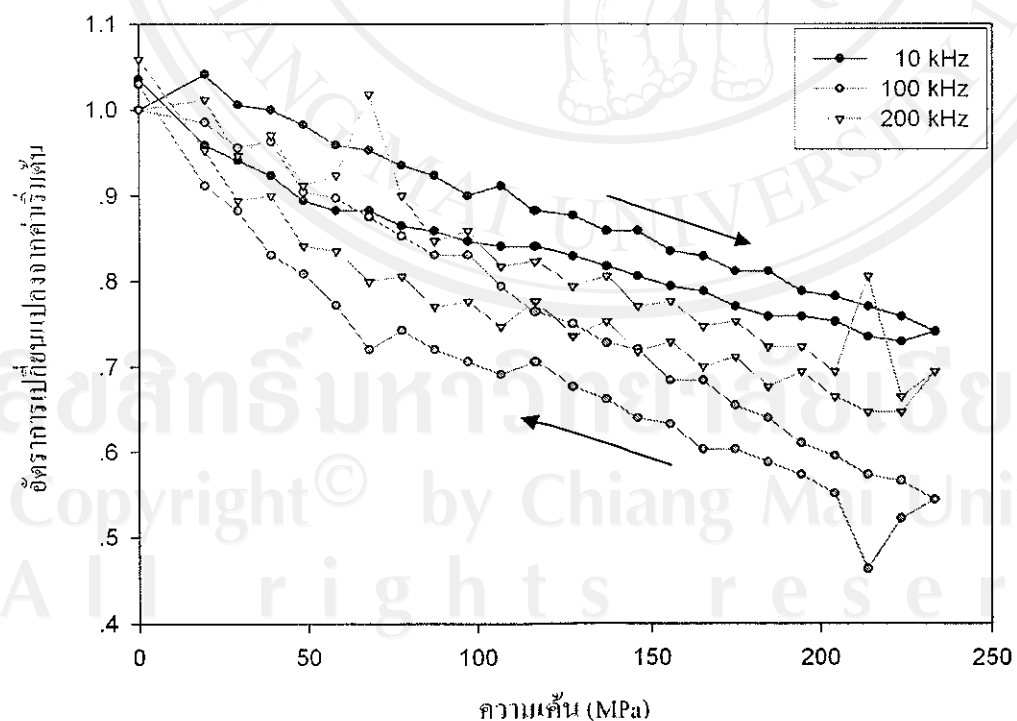
รูป 4.33 กราฟแสดงความสัมพันธ์ระหว่างค่าการสูญเสียทางไคลอเล็กทริกกับความเค้นของเซรามิก 0.5PMN-0.5PT ที่ยังไม่ผ่านการทำข้าว



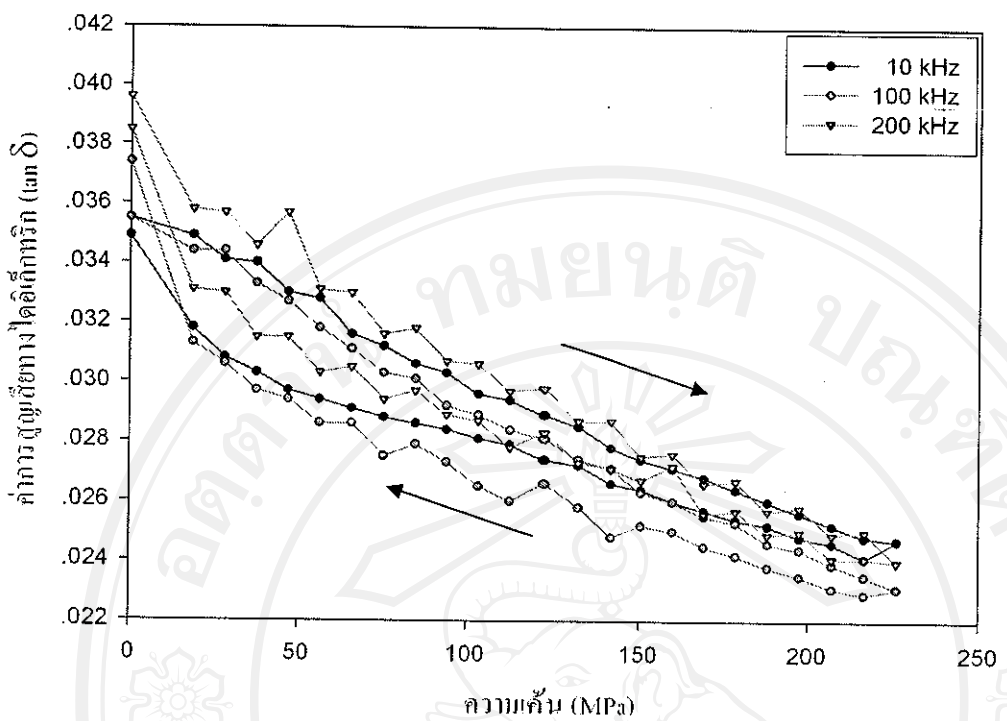
รูป 4.34 กราฟแสดงความสัมพันธ์ระหว่างอัตราการเปลี่ยนแปลงจากค่าเริ่มต้นของค่าการสูญเสียทางไคลอเล็กทริกกับความเค้นของเซรามิก 0.5PMN-0.5PT ที่ยังไม่ผ่านการทำข้าว



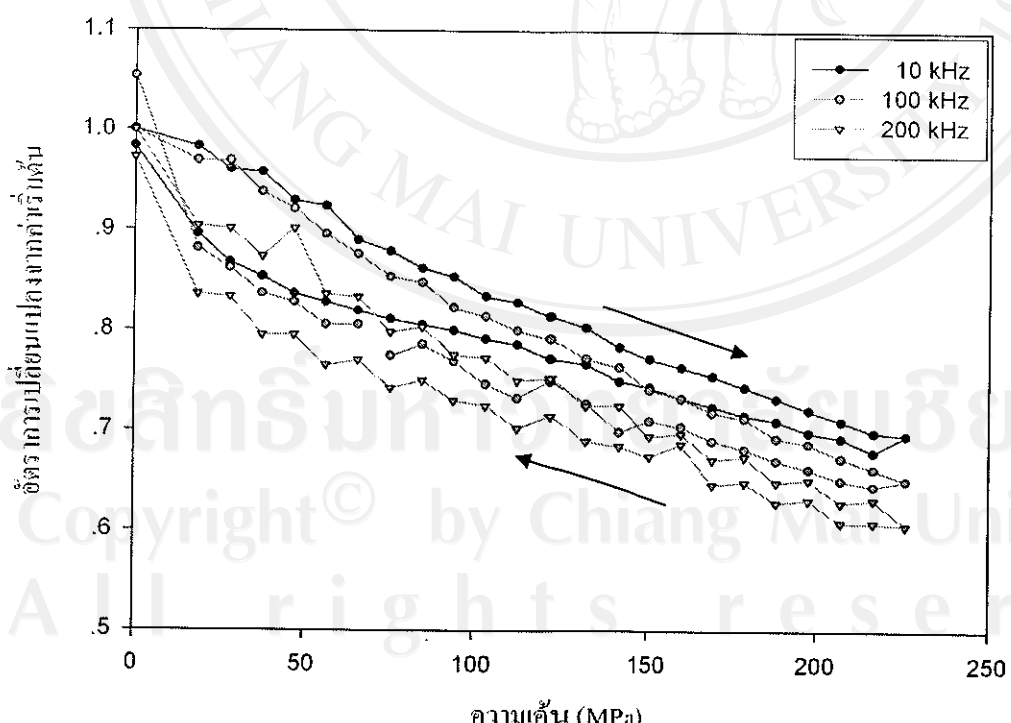
รูป 4.35 กราฟแสดงความสัมพันธ์ระหว่างค่าการสูญเสียทางไคลอเล็กทริกกับความดันของเซรามิก 0.6PMN-0.4PT ที่ยังไม่ผ่านการทำข้าว



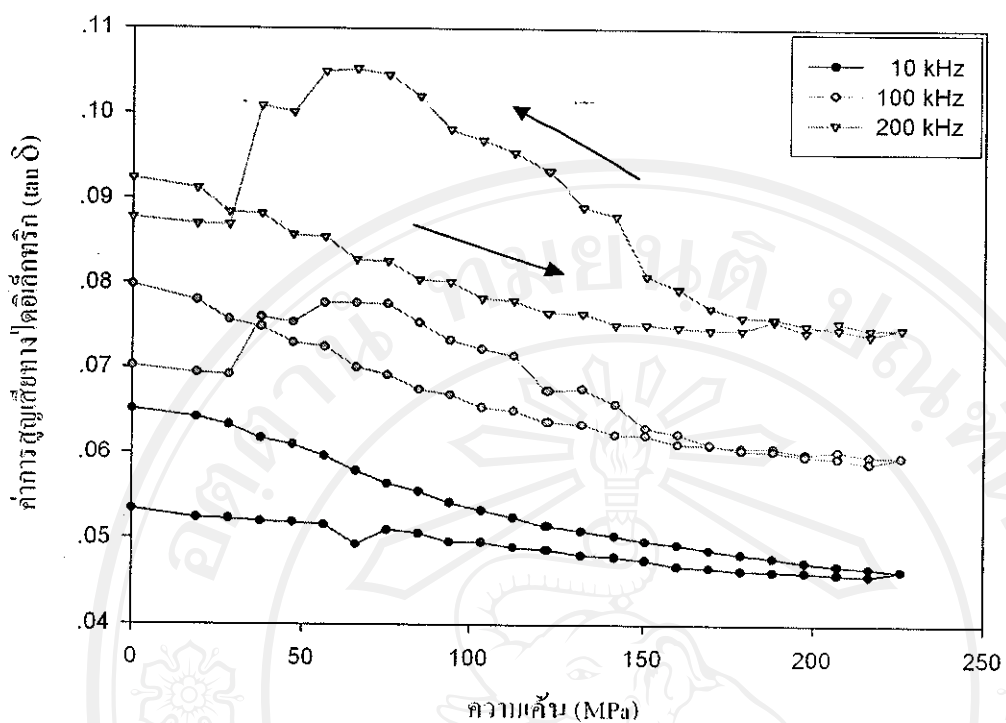
รูป 4.36 กราฟแสดงความสัมพันธ์ระหว่างอัตราการเปลี่ยนแปลงจากค่าเริ่มต้นของค่าการสูญเสียทางไคลอเล็กทริกกับความดันของเซรามิก 0.6PMN-0.4PT ที่ยังไม่ผ่านการทำข้าว



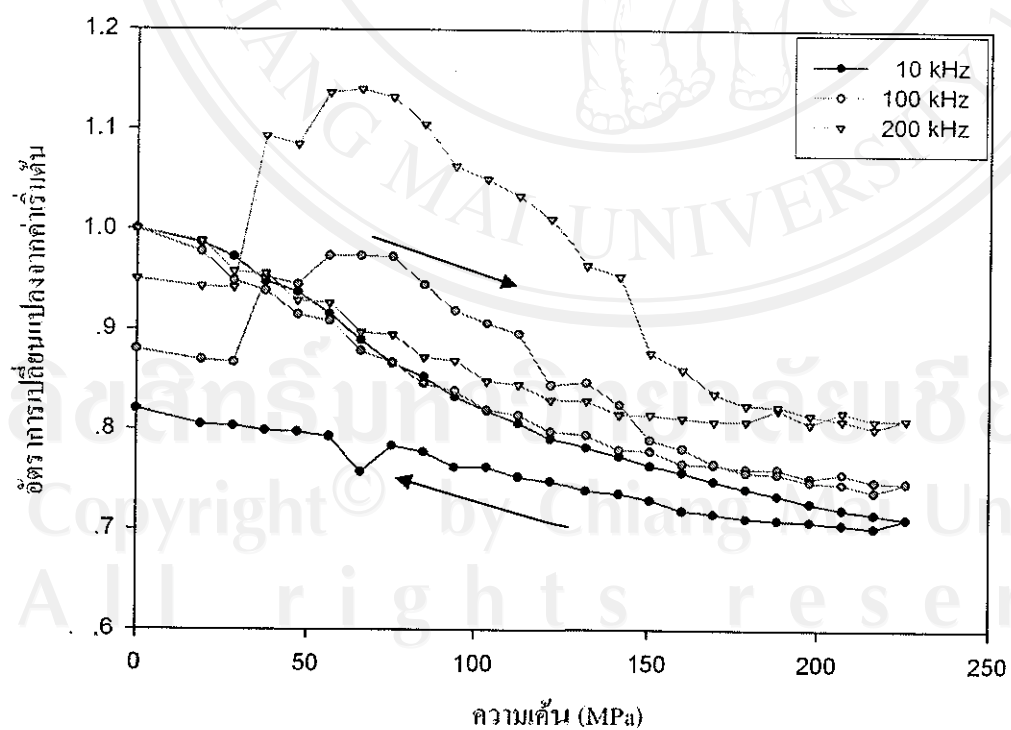
รูป 4.37 กราฟแสดงความสัมพันธ์ระหว่างค่าการสูญเสียทางไดอิเล็กทริกกับความดันของเซรามิก 0.7PMN-0.3PT ที่ยังไม่ผ่านการทำข้าว



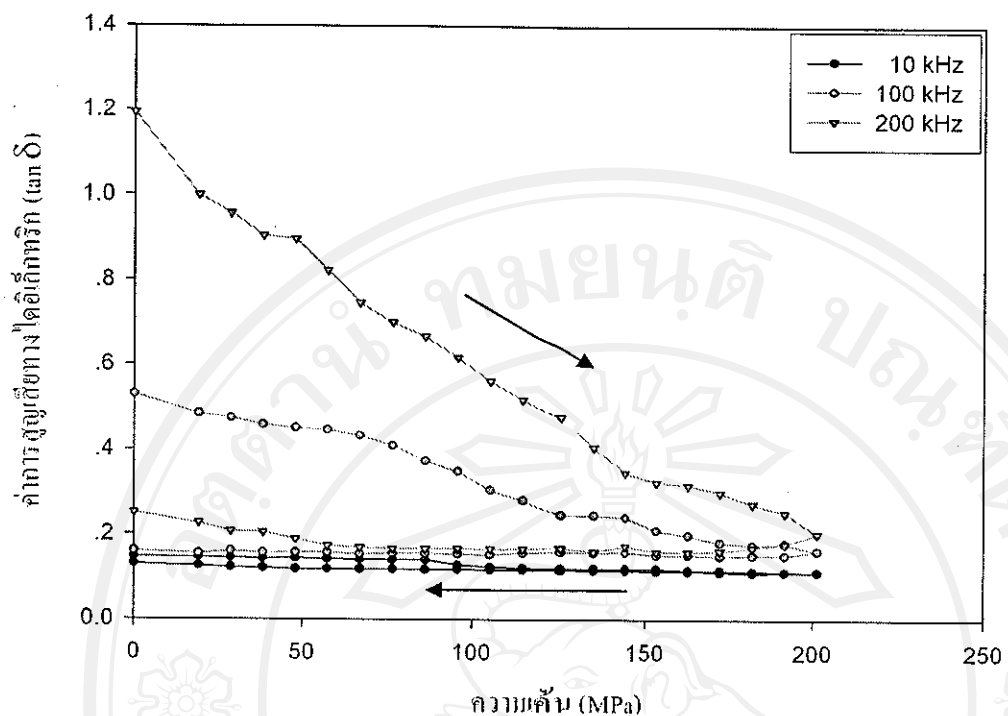
รูป 4.38 กราฟแสดงความสัมพันธ์ระหว่างอัตราการเปลี่ยนแปลงจากค่าเริ่มต้นของค่าการสูญเสียทางไดอิเล็กทริกกับความดันของเซรามิก 0.7PMN-0.3PT ที่ยังไม่ผ่านการทำข้าว



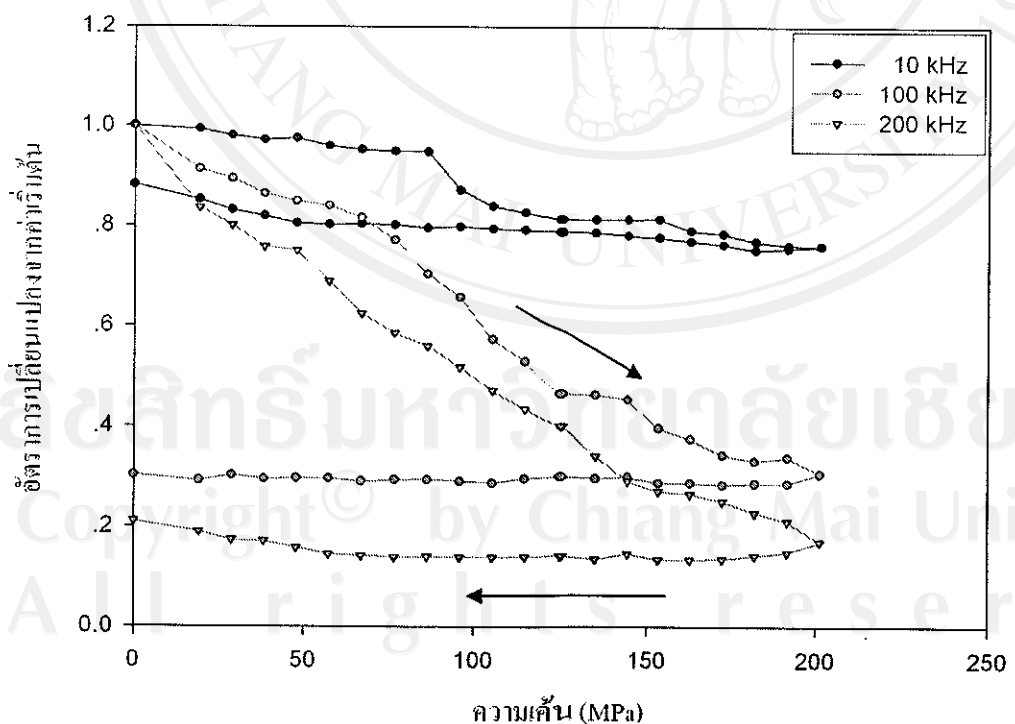
รูป 4.39 กราฟแสดงความสัมพันธ์ระหว่างค่าการสูญเสียทางไอดิเล็กทริกกับความดันของเซรามิก 0.8PMN-0.2PT ที่ยังไม่ผ่านการทำข้าว



รูป 4.40 กราฟแสดงความสัมพันธ์ระหว่างอัตราการเปลี่ยนแปลงจากค่าเริ่มต้นของค่าการสูญเสียทางไอดิเล็กทริกกับความดันของเซรามิก 0.8PMN-0.2PT ที่ยังไม่ผ่านการทำข้าว



รูป 4.41 กราฟแสดงความสัมพันธ์ระหว่างค่าการสูญเสียทางไฟอิเล็กทริกกับความเค้นของเซรามิก 0.9PMN-0.1PT ที่ยังไม่ผ่านการทำข้าว



รูป 4.42 กราฟแสดงความสัมพันธ์ระหว่างอัตราการเปลี่ยนแปลงจากค่าเริ่มต้นของค่าการสูญเสียทางไฟอิเล็กทริกกับความเค้นของเซรามิก 0.9PMN-0.1PT ที่ยังไม่ผ่านการทำข้าว

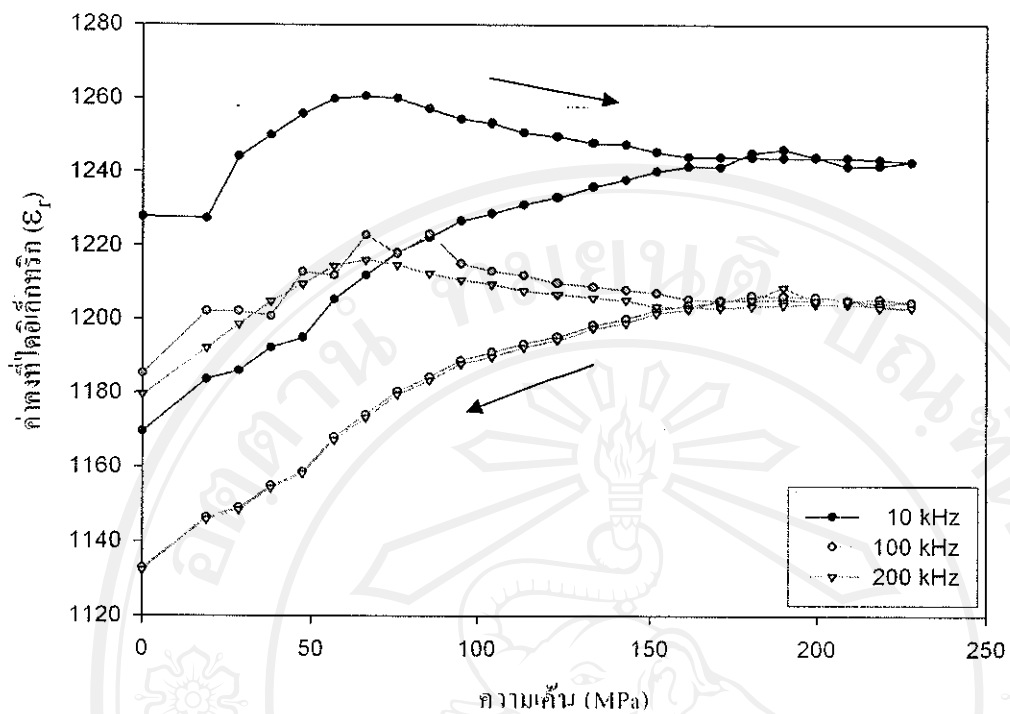
#### 4.4.2 กรณีสารเซรามิก PMN-PT ที่ผ่านการทำข้าวแล้ว

เมื่อนำเซรามิกในระบบ PMN-PT ที่ผ่านการทำข้าวแล้วมาศึกษาสมบัติไดอิเล็กทริกภาพใต้ความดัน (0-230 MPa) พบว่าค่าคงที่ไดอิเล็กทริกมีแนวโน้มการเปลี่ยนแปลงที่ลดลงเมื่อความดันเพิ่มขึ้น ดังรูป 4.43-4.52 โดยจะพบว่าเซรามิก 0.5PMN-0.5PT, 0.6PMN-0.4PT, 0.7PMN-0.3PT และ 0.8PMN-0.2PT จะมีการเปลี่ยนแปลงของค่าคงที่ไดอิเล็กทริกที่ไม่แน่นอน โดยในช่วงที่เริ่มให้ความดันค่าคงที่ไดอิเล็กทริกจะมีค่าเพิ่มขึ้น จากนั้นค่าคงที่ไดอิเล็กทริกจะลดลงเมื่อความดันเพิ่มขึ้น ซึ่งในกรณีเซรามิก PMN-PT ได้ผ่านการทำข้าวแล้วและเมื่อให้ความดันแบบแกนเดี่ยวในทิศทางที่ขนานกับทิศทางในการทำข้าว ดังนั้นการเปลี่ยนแปลงนี้จึงเป็นผลจากการเปลี่ยนแปลงโครงสร้างของโดเมน เนื่องจากความดันที่ให้เข้าไปจะไปทำให้มีความหนาแน่นของผนังโดเมนที่ไม่ได้ทำมุนกัน  $180^\circ$  เพิ่มขึ้น จึงทำให้ค่าคงที่ไดอิเล็กทริกมีค่าเพิ่มขึ้นเมื่อความดันเพิ่มขึ้น[21] และเมื่อเพิ่มความดันขึ้นจนถึงจุดๆหนึ่ง ความเด่นจากภายนอกจะทำให้โครงสร้างของโดเมนเกิดการเปลี่ยนแปลง ซึ่งโดเมนบางอันอาจจะถูกรวบกับโดเมนอื่นหรืออาจจะเกิดการเปลี่ยนแปลงรูปร่างไปเพื่อที่จะทำให้พลังงานของโดเมนภายในเซรามิกมีค่าน้อยที่สุด สำหรับภายใต้ความดันแบบแกนเดี่ยวโครงสร้างของโดเมนจะเกิดการเปลี่ยนแปลงทิศทางของโดเมน (domain switching) และการทำให้หมวดสภาพความเป็นข้าว (dc-poling)[17,24] ซึ่งในกรณีที่เกิดการหมวดสภาพความเป็นข้าวนี้นั้นเซรามิกที่ผ่านการทำข้าวแล้วจะมีสมบัติไดอิเล็กทริกที่ไม่แตกต่างไปจากเซรามิกที่ยังไม่ผ่านการทำข้าวนัก ดังนั้นค่าคงที่ไดอิเล็กทริกจึงลดลงเมื่อความดันเพิ่มขึ้น เนื่องจากทิศทางของโพลาไรซ์ เช่นนั้นบางส่วนซึ่งไปในทิศทางที่ทำมุนกัน  $180^\circ$  ทำให้ค่าคงที่ไดอิเล็กทริกมีค่าลดลงเหล่านี้เดียวกับเซรามิกที่ยังไม่ผ่านการทำข้าว สำหรับเซรามิก 0.9PMN-0.1PT นั้นพบว่าค่าคงที่ไดอิเล็กทริกมีค่าลดลงเมื่อความดันลดลง โดยมีลักษณะการเปลี่ยนแปลงที่คล้ายคลึงกับในกรณีที่เซรามิกยังไม่ผ่านการทำข้าว อาจจะเนื่องมาจากการ 0.9PMN-0.1PT มีอุณหภูมิคริออยู่ในช่วงที่ไกส์เคลิงค์บล็อกอุณหภูมิห้องซึ่งในช่วงนี้โครงสร้างจะไม่เสถียรนักและสามารถเปลี่ยนแปลงได้ง่าย ดังนั้นการทำข้าวอาจจะสามารถบังคับทิศทางของโพลาไรซ์เช่นนี้ให้ไปในทิศทางเดียวกันได้เฉพาะขณะที่กำลังให้ spanningไฟฟ้าเข้าไปเท่านั้น แต่มีนำ spanningไฟฟ้าออกอาจจะทำให้ทิศทางของโพลาไรซ์ชันเกิดการเปลี่ยนแปลงได้ ทำให้สมบัติไดอิเล็กทริกคล้ายคลึงกับกรณีที่ยังไม่ผ่านการทำข้าว

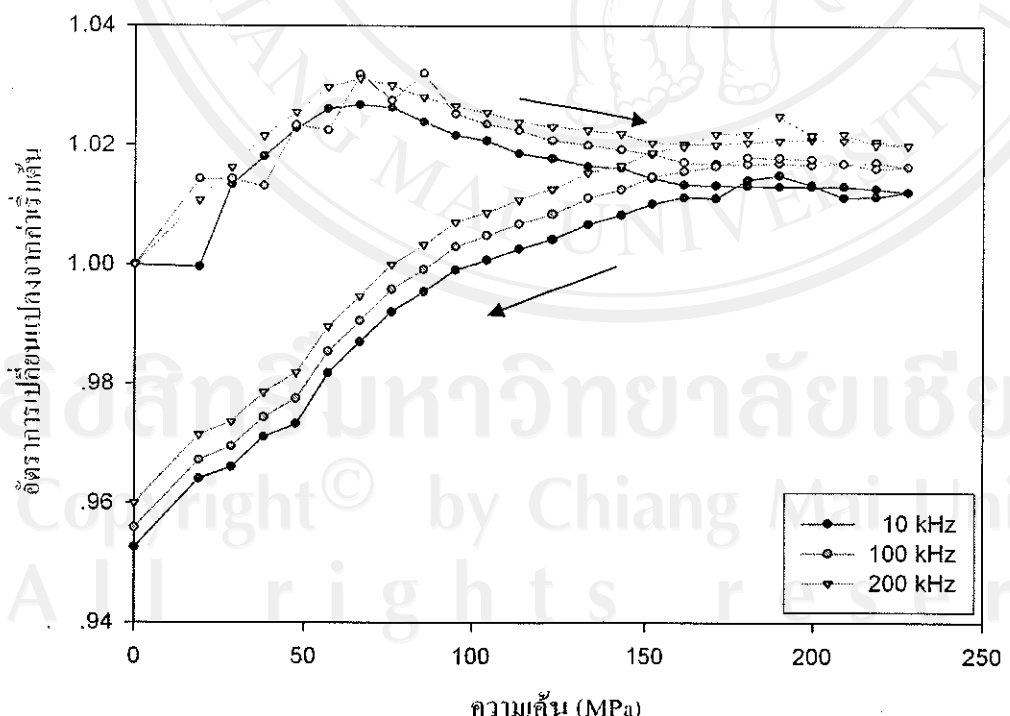
ในการนี้ของการลดความดันพบว่าในเซรามิกที่มีองค์ประกอบต่างกัน จะมีลักษณะการเปลี่ยน แปลงของค่าคงที่ไดอิเล็กทริกที่แตกต่างกัน สำหรับเซรามิก 0.5PMN-0.5PT นั้นพบว่าค่าคงที่ไดอิเล็กทริกมีค่าลดลงเมื่อความดันลดลง สำหรับเซรามิก 0.6PMN-0.4PT, 0.7PMN-0.3PT และ 0.8PMN-0.2PT นั้นพบว่าค่าคงที่ไดอิเล็กทริกมีการเปลี่ยนแปลงที่ไม่แน่นอน โดยในช่วงแรกค่าคงที่ไดอิเล็กทริกมีค่าเพิ่มขึ้น จากนั้นค่าคงที่ไดอิเล็กทริกจะลดลงเมื่อความดันลดลง สำหรับ

เซรามิก 0.9PMN-0.1PT นั้นพบว่าค่าคงที่ไอดิลีกทริกมีค่าเพิ่มขึ้นเมื่อความเค้นลดลง ซึ่งการเปลี่ยนแปลงของค่าคงที่ไอดิลีกทริกของเซรามิก PMN-PT ทุกองค์ประกอบในกรณีการลดความเค้นลงนั้น ค่าคงที่ไอดิลีกทริกมีความแตกต่างจากช่วงที่เพิ่มความเค้นมาก ซึ่งสภาวะที่เกิดขึ้นในลักษณะนี้แสดงให้เห็นว่าการให้ความเค้นในระดับนี้ (0-230 MPa) ก่อให้เกิดการเปลี่ยนแปลงอย่างถาวรต่อ โอดเมนหรือโครงสร้างภายในของเซรามิกที่ผ่านการทำขึ้นแล้ว ทำให้มีลดความเค้นลงค่าคงที่ไอดิลีกทริกซึ่งมีค่าแตกต่างจากค่าเดิมมาก และพบว่าเซรามิก 0.5PMN-0.5PT และ 0.9PMN-0.1PT มีค่าคงที่ไอดิลีกทริกในช่วงลดความเค้นมีค่าต่ำกว่าในช่วงเพิ่มความเค้นอย่างเห็นได้ชัด ซึ่งอาจจะเกิดจากการขีดขังกันบางส่วนของโอดเมน[25]

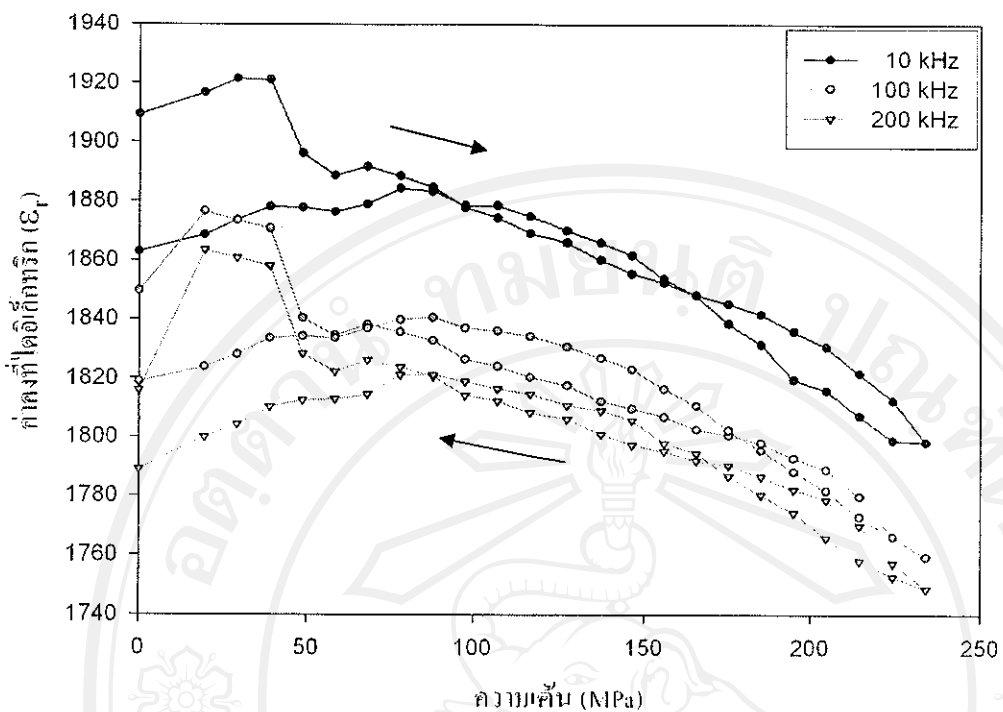
อิธสิทธิ์มหาวิทยาลัยเชียงใหม่  
Copyright<sup>©</sup> by Chiang Mai University  
All rights reserved



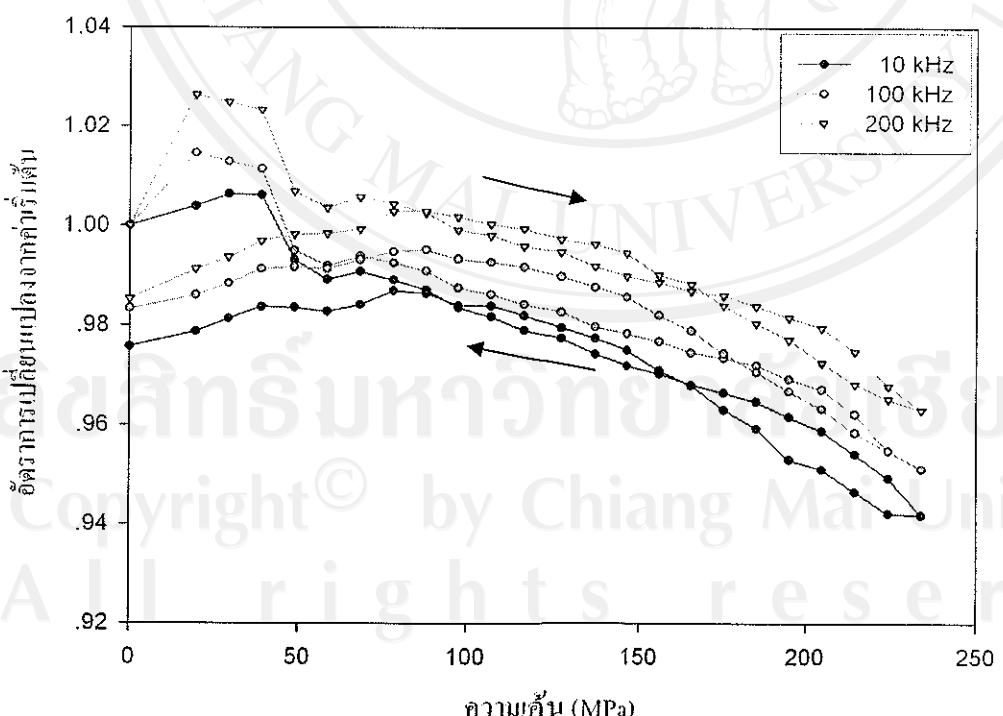
รูป 4.43 กราฟแสดงความสัมพันธ์ระหว่างค่าคงที่ไดอิเล็กทริกกับความเค้นของเซรามิก 0.5PMN-0.5PT ที่ผ่านการทำข้าวแล้ว



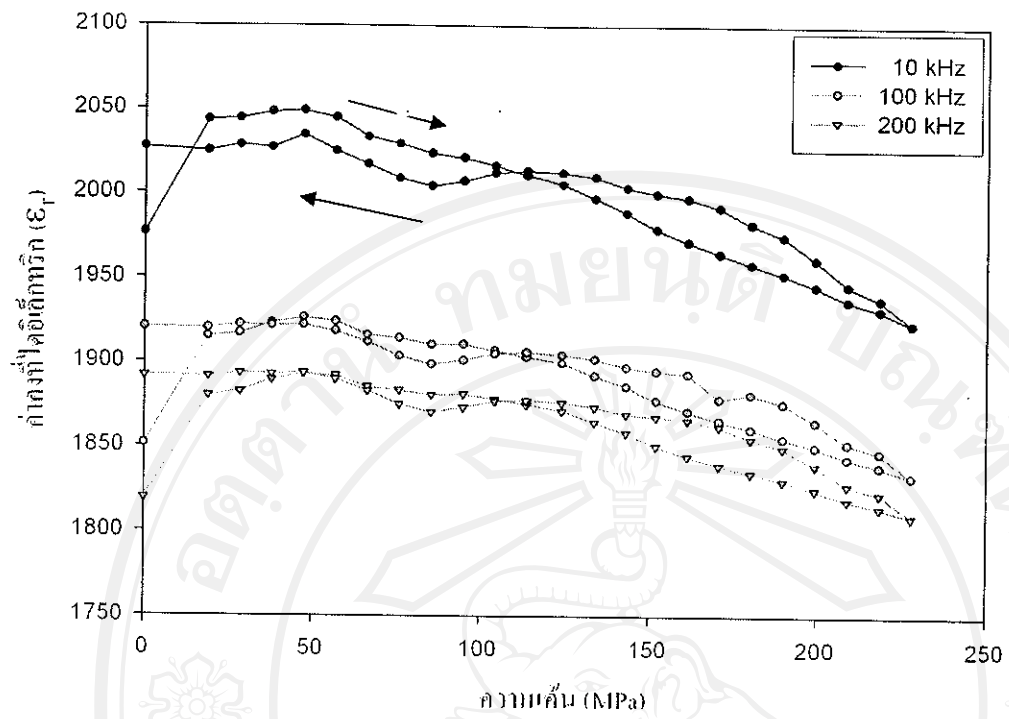
รูป 4.44 กราฟแสดงความสัมพันธ์ระหว่างอัตราการเปลี่ยนแปลงจากค่าเริ่มต้นของค่าคงที่ไดอิเล็กทริกกับความเค้นของเซรามิก 0.5PMN-0.5PT ที่ผ่านการทำข้าวแล้ว



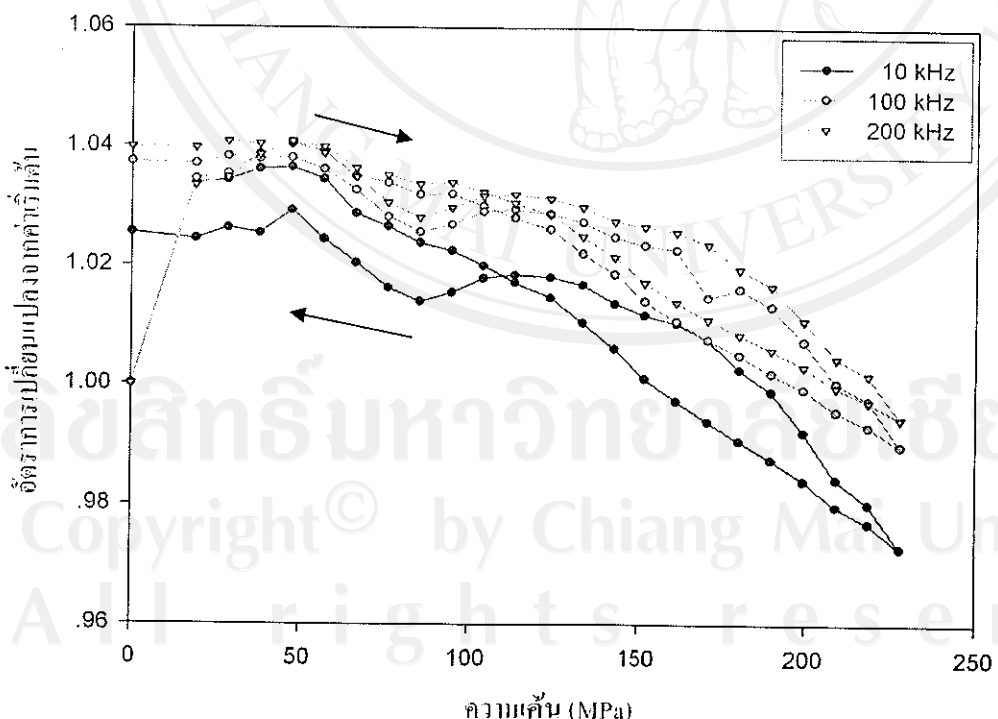
รูป 4.45 กราฟแสดงความสัมพันธ์ระหว่างค่าคงที่ไดอิเล็กทริกกับความเค้นของเซรามิก 0.6PMN-0.4PT ที่ผ่านการทำข้าวแล้ว



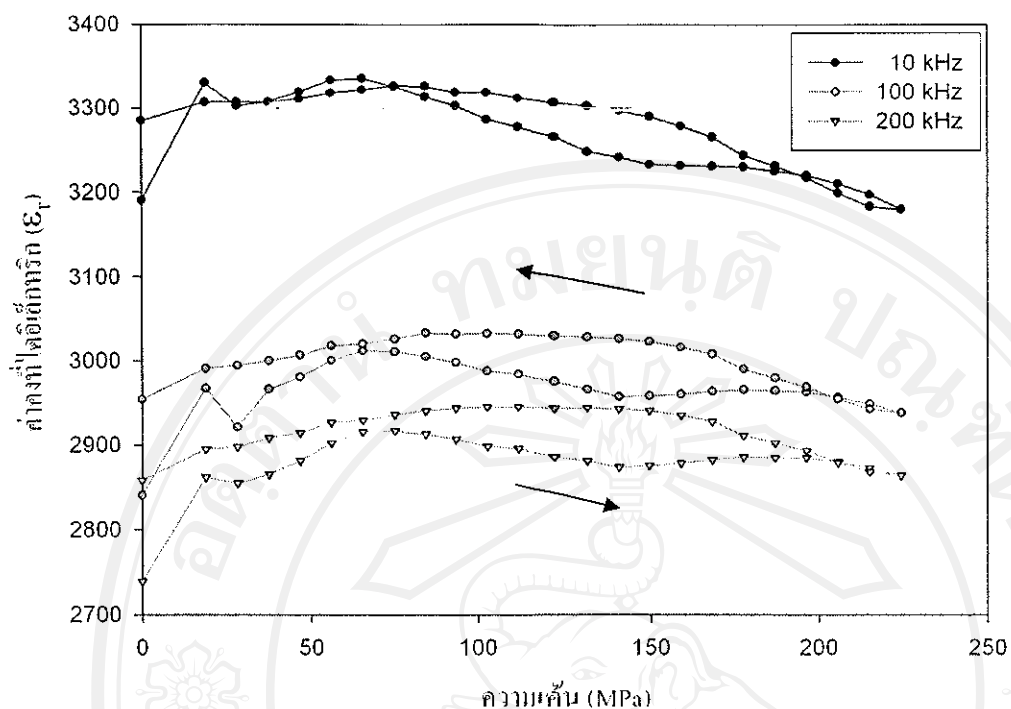
รูป 4.46 กราฟแสดงความสัมพันธ์ระหว่างอัตราการเปลี่ยนแปลงจากค่าเริ่มต้นของค่าคงที่ไดอิเล็กทริกกับความเค็นของเซรามิก 0.6PMN-0.4PT ที่ผ่านการทำข้าวแล้ว



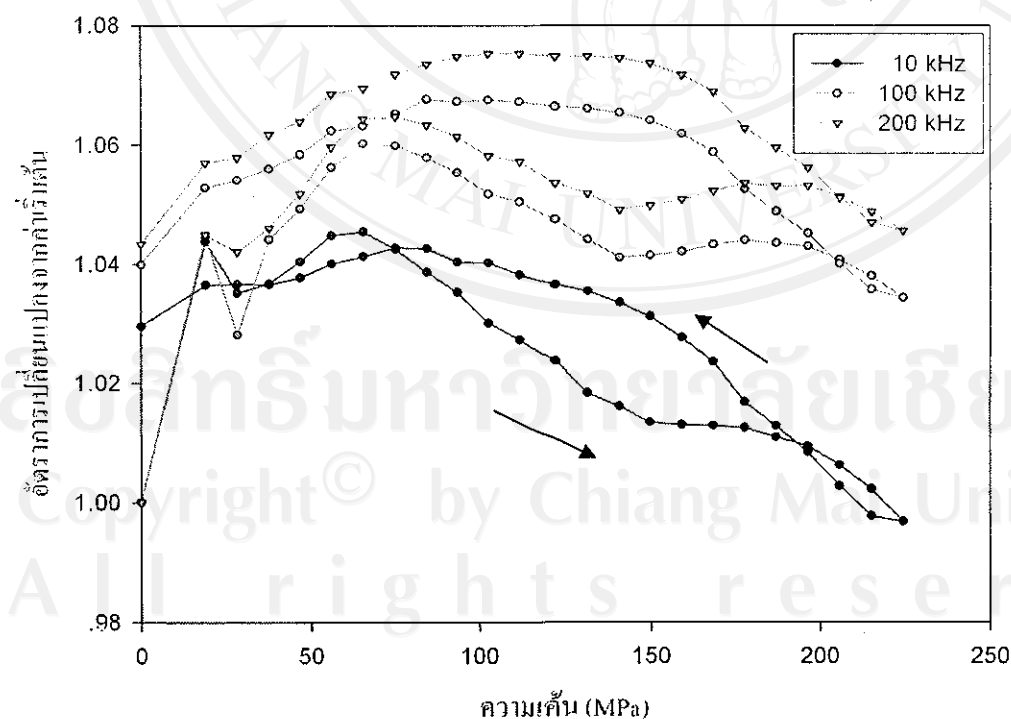
รูป 4.47 กราฟแสดงความสัมพันธ์ระหว่างค่าคงที่ไดอิเล็กทริกกับความเค้นของเซรามิก 0.7PMN-0.3PT ที่ผ่านการทำขี้วแล้ว



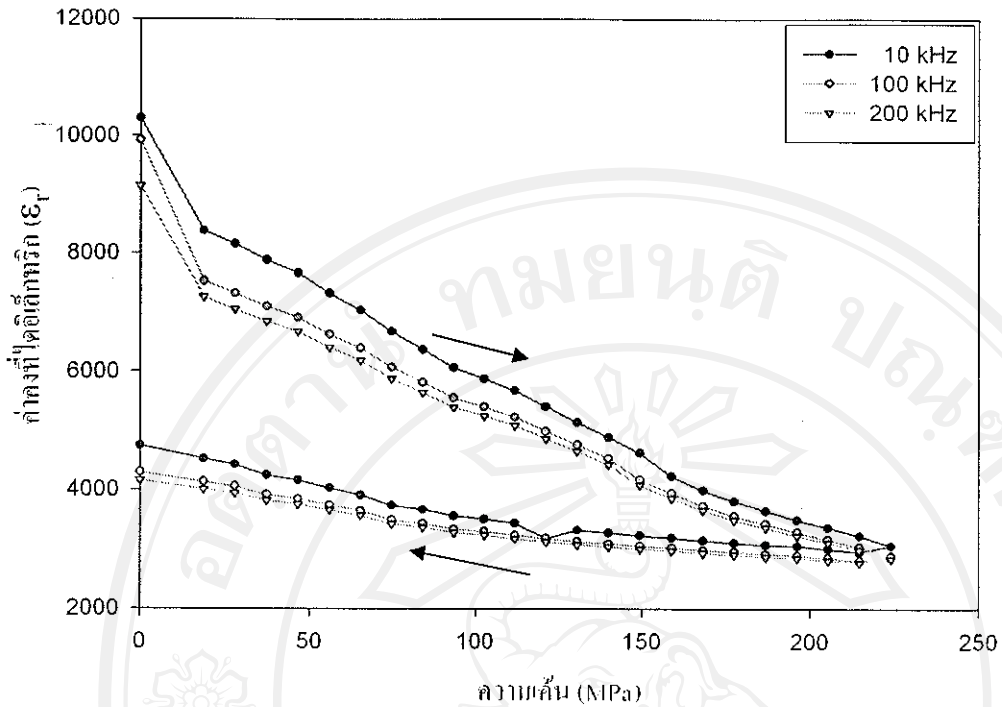
รูป 4.48 กราฟแสดงความสัมพันธ์ระหว่างอัตราการเปลี่ยนแปลงจากค่าเริ่มต้นของค่าคงที่ไดอิเล็กทริกกับความเค้นของเซรามิก 0.7PMN-0.3PT ที่ผ่านการทำขี้วแล้ว



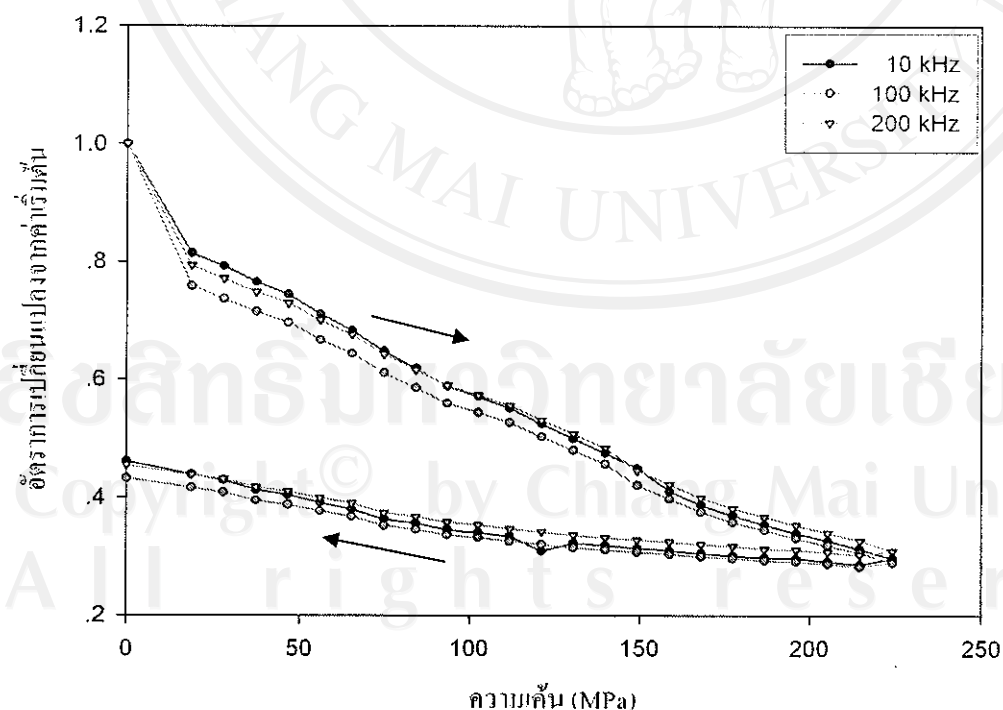
รูป 4.49 กราฟแสดงความสัมพันธ์ระหว่างค่าคงที่ไดอิเล็กทริกกับความดันของเซรามิก 0.8PMN-0.2PT ที่ผ่านการทำข้าวแส้ว



รูป 4.50 กราฟแสดงความสัมพันธ์ระหว่างอัตราการเปลี่ยนแปลงจากค่าเริ่มต้นของค่าคงที่ไดอิเล็กทริกกับความดันของเซรามิก 0.8PMN-0.2PT ที่ผ่านการทำข้าวแส้ว

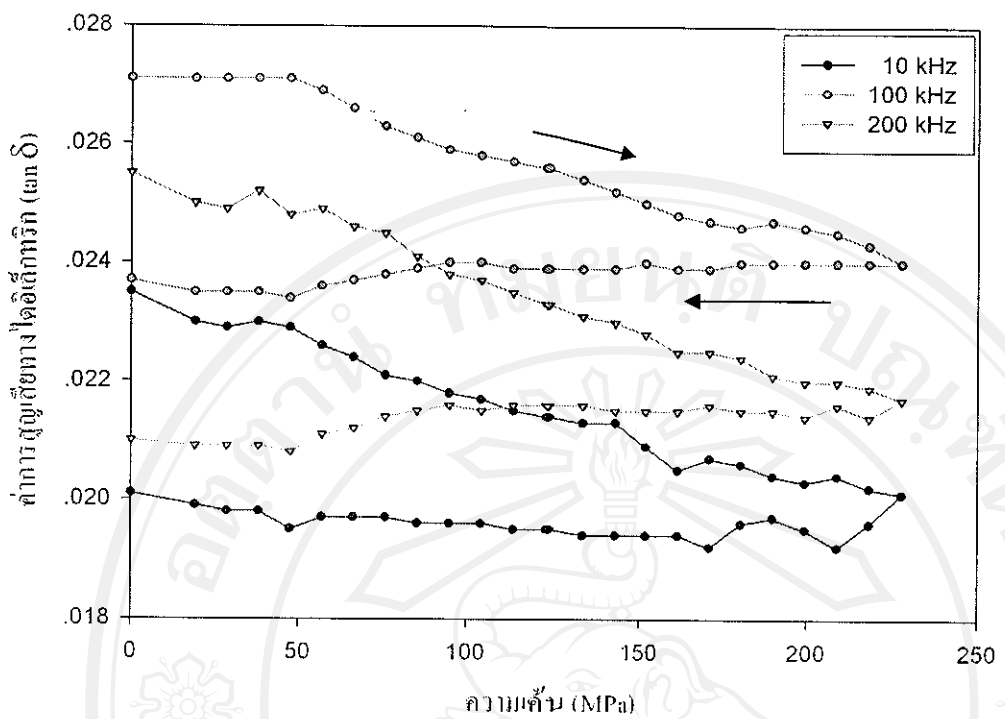


รูป 4.51 กราฟแสดงความสัมพันธ์ระหว่างค่าคงที่ไดอิเล็กทริกกับความดันของเซรามิก 0.9PMN-0.1PT ที่ผ่านการทำข้าวแล้ว

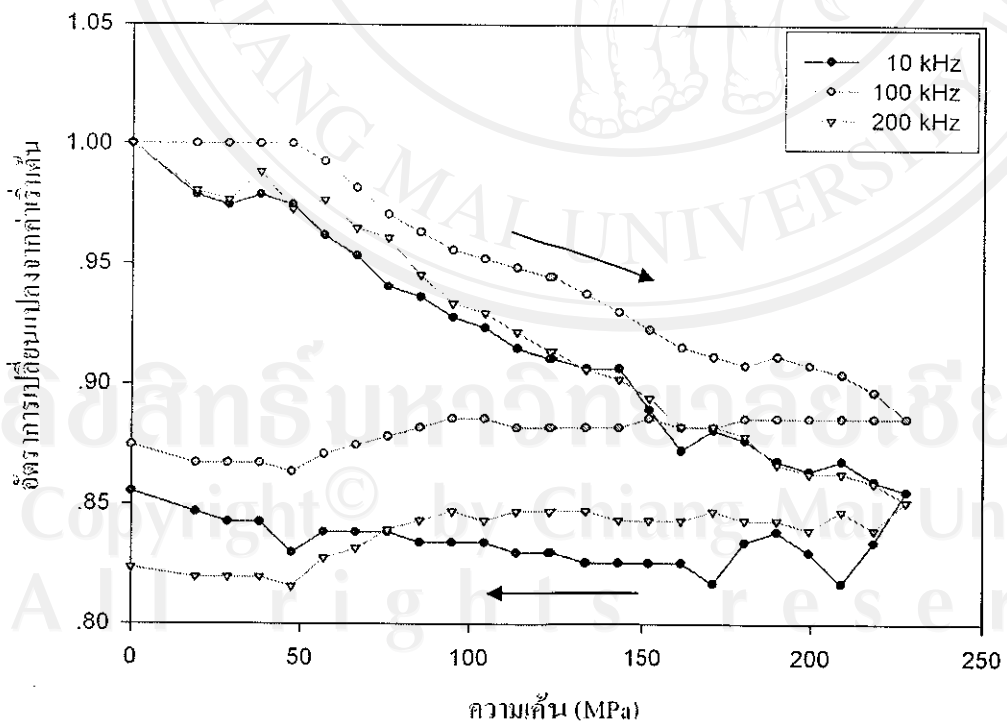


รูป 4.52 กราฟแสดงความสัมพันธ์ระหว่างอัตราการเปลี่ยนแปลงจากค่าเริ่มต้นของค่าคงที่ไดอิเล็กทริกกับความดันของเซรามิก 0.9PMN-0.1PT ที่ผ่านการทำข้าวแล้ว

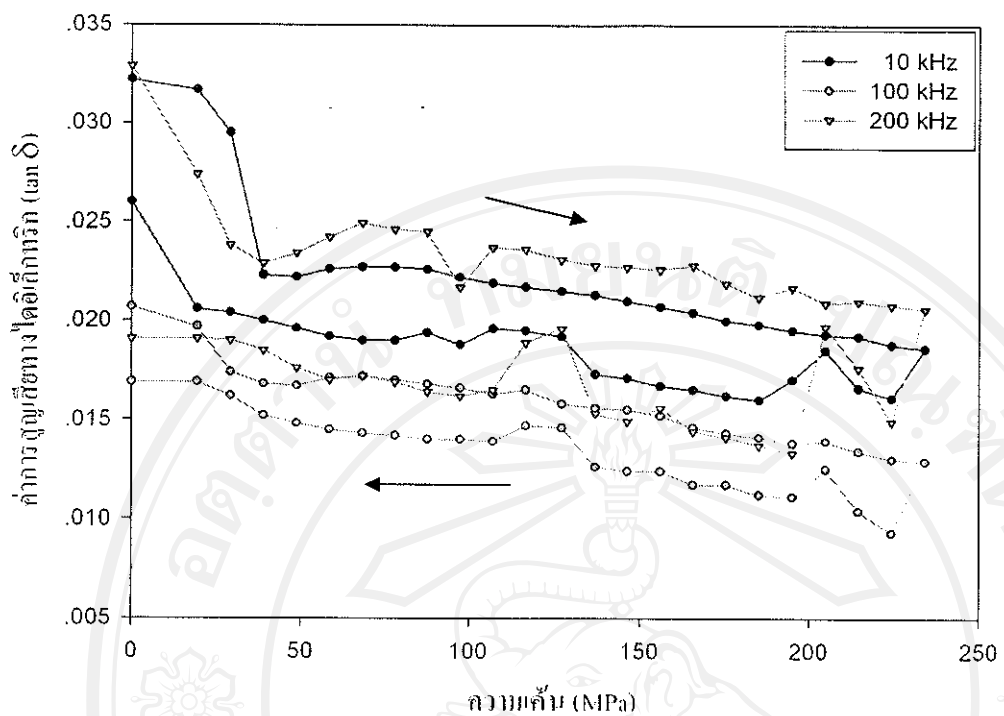
สำหรับในส่วนของค่าการสูญเสียทางไอดิลีกทริก พนวจค่าการสูญเสียทางไอดิลีกทริกมีแนวโน้มการเปลี่ยนแปลงที่ต่ำลงค่อนข้างชัดเจนเมื่อความเค้นเพิ่มขึ้น ซึ่งผลการทดลองนี้คล้ายกับผลการทดลองจากงานวิจัยของสุพัตราในเซรามิก  $0.7\text{PMN}-0.3\text{PZT}$  และ  $0.9\text{PMN}-0.1\text{PZT}$ [18] (รูป 4.53-4.62) ซึ่งคาดว่าจะเป็นผลจากการจัดเรียงตัวใหม่ของทิศทางโพลาไรซ์ เช่นเดียวกับโคเมน[15] หรือการยับยั้งการเคลื่อนที่ของผนังโคเมน และในระหว่างการลดความเค้นลงนั้นพบว่าค่าการสูญเสียทางไอดิลีกทริกมีแนวโน้มเพิ่มขึ้นเนื่องจากโคเมนที่ถูกบีบบังคับเริ่มสามารถเคลื่อนที่ได้มากขึ้นเรื่อยๆตามความเค้นที่ลดลง อย่างไรก็ตามโดยส่วนใหญ่แล้วค่าการสูญเสียทางไอดิลีกทริกในช่วงลดความเค้นมีค่าต่ำกว่าในช่วงเพิ่มความเค้น และจะมีค่าที่แตกต่างกันค่อนข้างมาก ซึ่งแสดงให้เห็นว่าความเค้นในระดับนี้ ( $0-230 \text{ MPa}$ ) ก่อให้เกิดการเปลี่ยนแปลงอย่างถาวรต่อโคเมนหรือโครงสร้างภายในของสาร  $\text{PMN-PT}$  แล้ว จึงทำให้ค่าการสูญเสียทางไอดิลีกทริกมีค่าที่เหมือนเดิมนั่นเอง



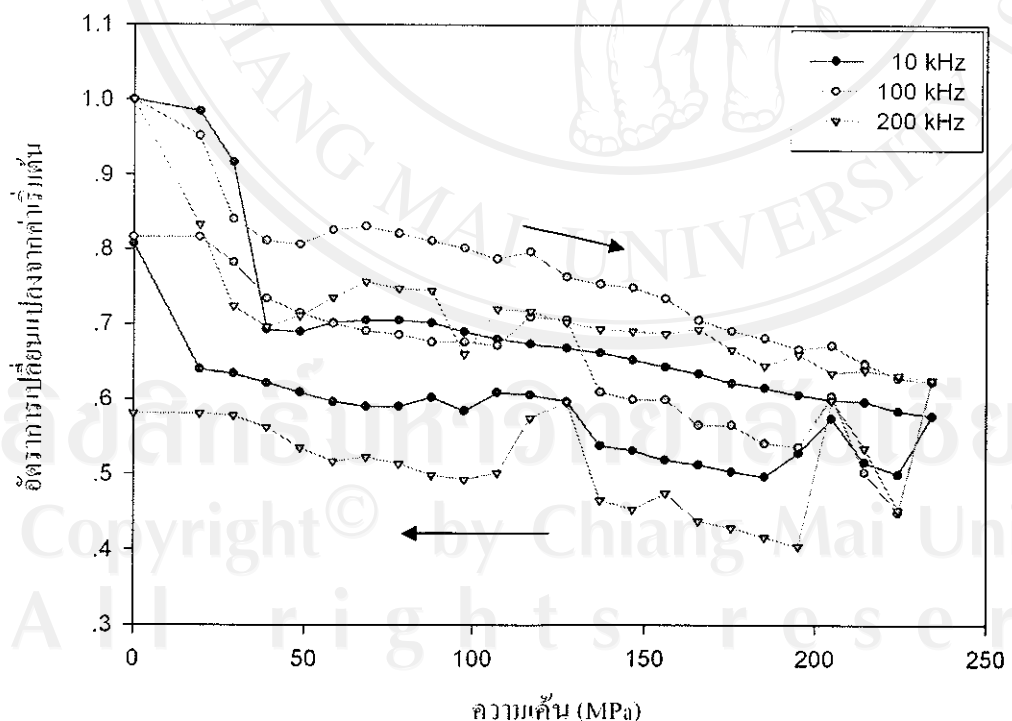
รูป 4.53 กราฟแสดงความสัมพันธ์ระหว่างค่าการสูญเสียทางไอดิอิเล็กทริกกับความเค้นของเซรามิก 0.5PMN-0.5PT ที่ผ่านการทำข้าวแล้ว



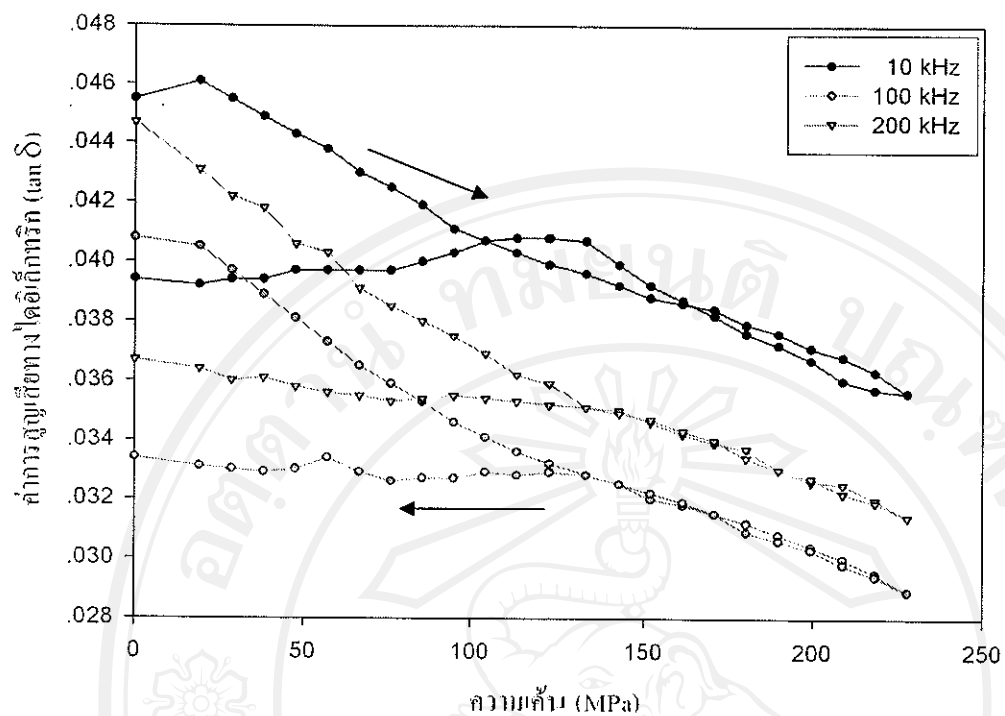
รูป 4.54 กราฟแสดงความสัมพันธ์ระหว่างอัตราการเปลี่ยนแปลงจากค่าเริ่มต้นของค่าการสูญเสียทางไอดิอิเล็กทริกกับความเค้นของเซรามิก 0.5PMN-0.5PT ที่ผ่านการทำข้าวแล้ว



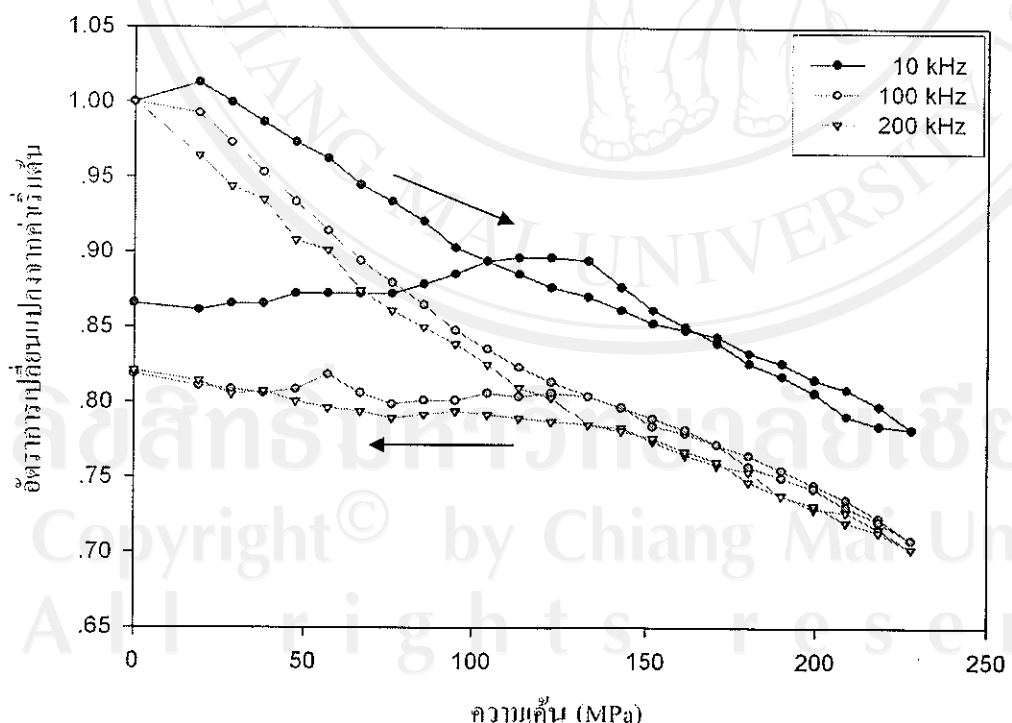
รูป 4.55 กราฟแสดงความสัมพันธ์ระหว่างค่าการสูญเสียทางไดอิเล็กทริกกับความเค้นของเซรามิก 0.6PMN-0.4PT ที่ผ่านการทำขี้วแล้ว



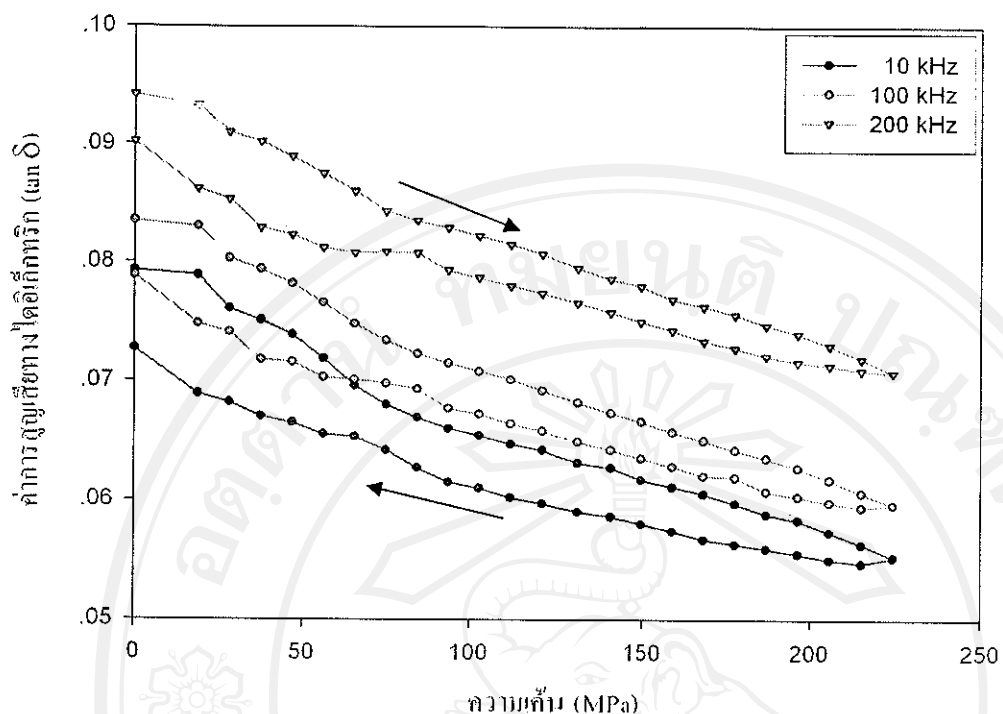
รูป 4.56 กราฟแสดงความสัมพันธ์ระหว่างอัตราการเปลี่ยนแปลงจากค่าเริ่มต้นของการสูญเสียทางไดอิเล็กทริกกับความเค้นของเซรามิก 0.6PMN-0.4PT ที่ผ่านการทำขี้วแล้ว



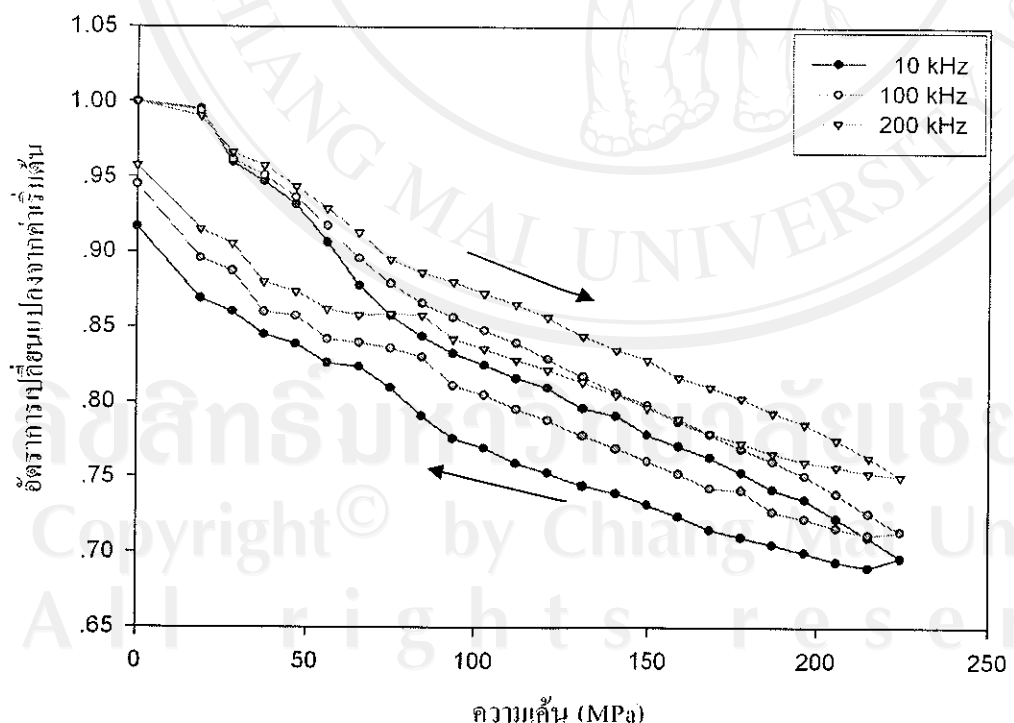
รูป 4.57 กราฟแสดงความสัมพันธ์ระหว่างค่าการสูญเสียทางไดอิเล็กทริกกับความเค้นของเซรามิก 0.7PMN-0.3PT ที่ผ่านการทำข้าวแล้ว



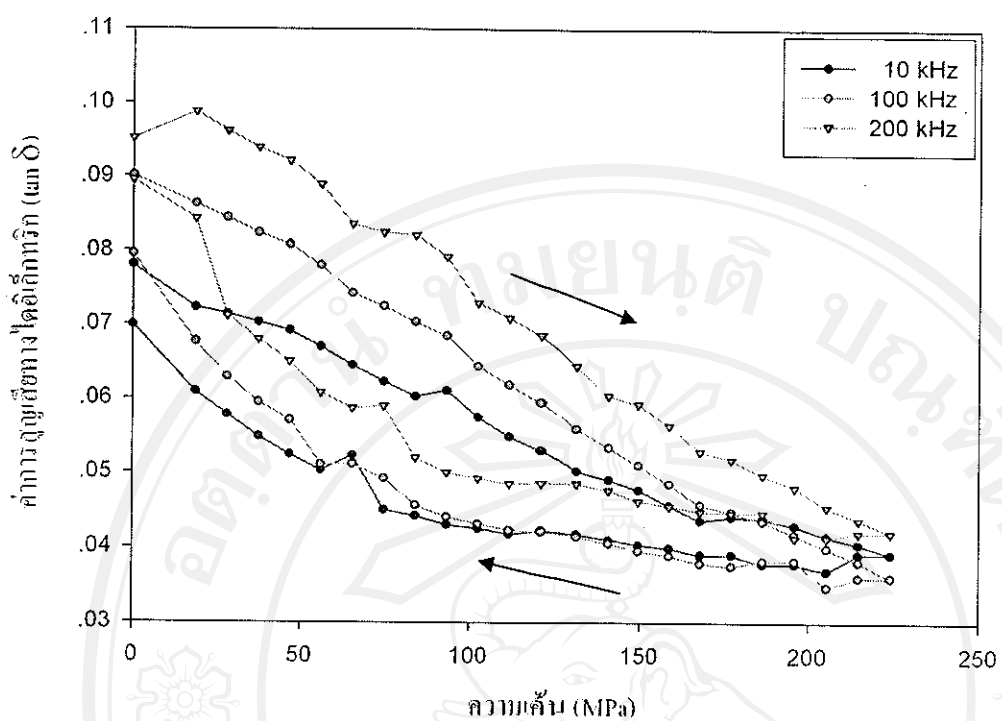
รูป 4.58 กราฟแสดงความสัมพันธ์ระหว่างอัตราการเปลี่ยนแปลงจากค่าเริ่มต้นของค่าการสูญเสียทางไดอิเล็กทริกกับความเค้นของเซรามิก 0.7PMN-0.3PT ที่ผ่านการทำข้าวแล้ว



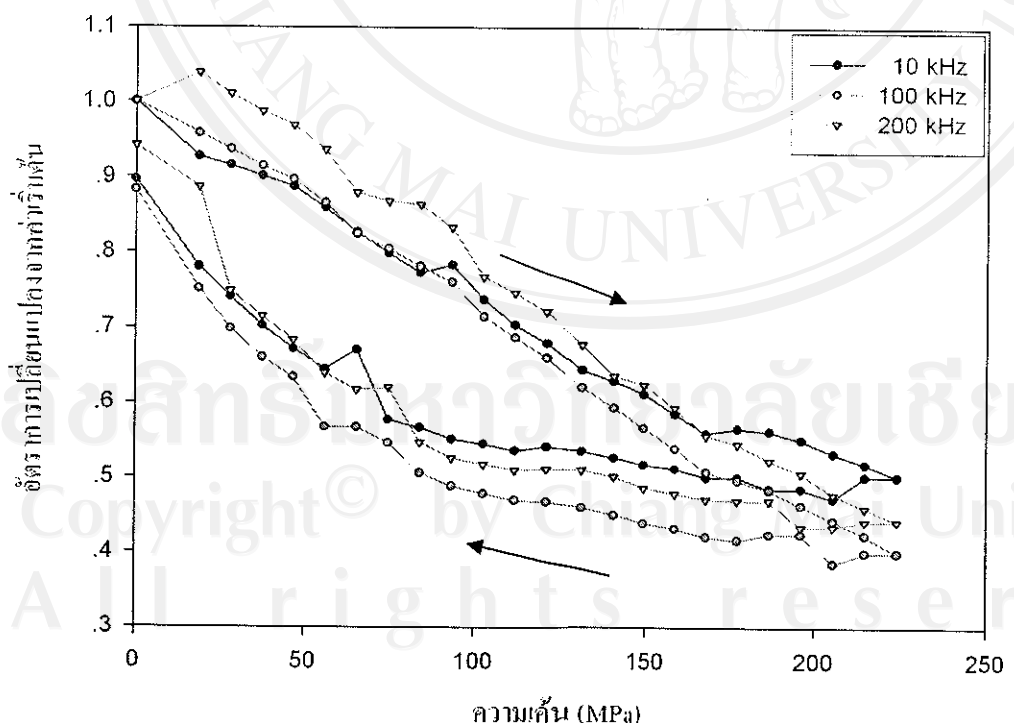
รูป 4.59 กราฟแสดงความสัมพันธ์ระหว่างค่าการสูญเสียทางไอดิอิเล็กทริกกับความเค้นของเซรามิก 0.8PMN-0.2PT ที่ผ่านการทำข้าวแล้ว



รูป 4.60 กราฟแสดงความสัมพันธ์ระหว่างอัตราการเปลี่ยนแปลงจากค่าเริ่มต้นของค่าการสูญเสียทางไอดิอิเล็กทริกกับความเค้นของเซรามิก 0.8PMN-0.2PT ที่ผ่านการทำข้าวแล้ว



รูป 4.61 กราฟแสดงความสัมพันธ์ระหว่างค่าการสูญเสียทางไคลอเล็กทริกกับความเค้นของเซรามิก 0.9PMN-0.1PT ที่ผ่านการทำข้าวแล้ว



รูป 4.62 กราฟแสดงความสัมพันธ์ระหว่างอัตราการเปลี่ยนแปลงจากค่าเริ่มต้นของค่าการสูญเสียทางไคลอเล็กทริกกับความเค้นของเซรามิก 0.9PMN-0.1PT ที่ผ่านการทำข้าวแล้ว

**4.7 ผลการศึกษาอิทธิพลของความเค้นแบบแกนเดี่ยวต่อสมบัติไคลอเล็กทริกของเซรามิกเตด  
อินเดียมไนโอลอนต์-เลดต์ไกเกเนต (PIN-PT)**

**4.7.1 สารเซรามิก PIN-PT ที่ยังไม่ผ่านการทำข้าว**

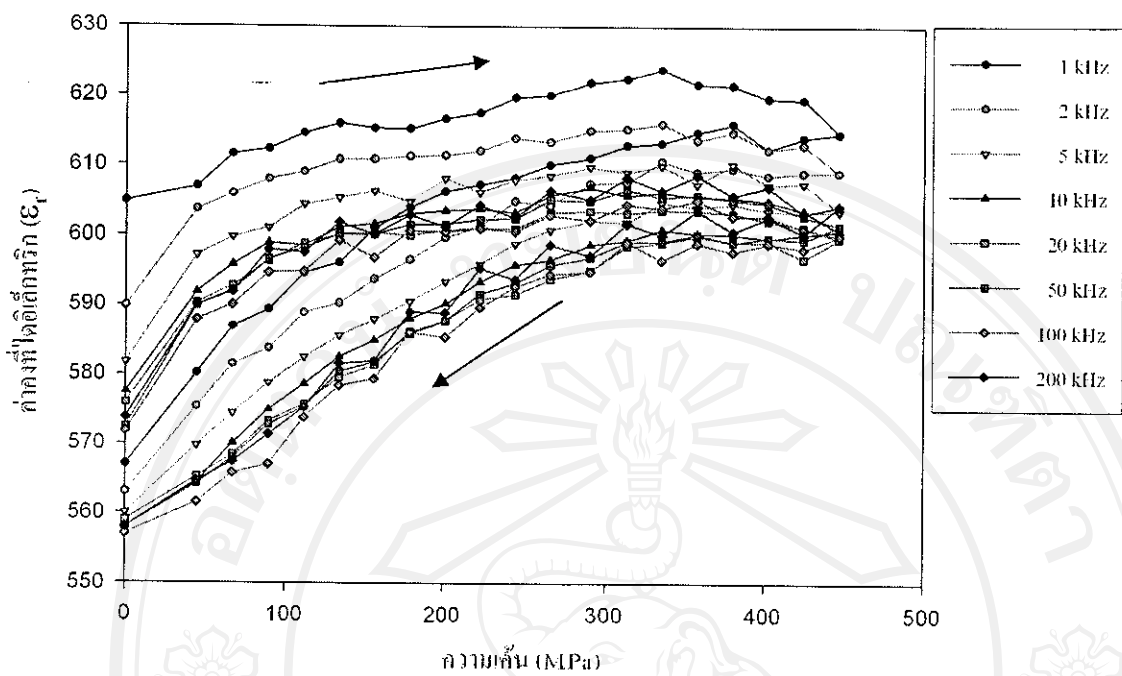
สำหรับเซรามิกในระบบ PIN-PT ที่เตรียมได้และยังไม่ผ่านการทำข้าว เมื่อนำมาทำการศึกษาค่าคงที่ไคลอเล็กทริกภายใต้สภาวะความเค้น (0-400 MPa) พบว่าโดยส่วนใหญ่แล้ว ในช่วงของการเพิ่มความเค้นนั้น ค่าคงที่ไคลอเล็กทริกมีแนวโน้มที่ไม่แน่นอน (รูป 4.63-4.72) ซึ่งคล้ายกับผลการทดลองในเซรามิก 0.6PMN-0.4PT และ 0.7PMN-0.3PT ซึ่งเป็นสารเซรามิกที่มีระบบที่คล้ายกันกล่าวคือ เป็นสารเซรามิกที่ผสมกันระหว่างสารเซรามิก蕊แทกเซอร์กับ PT โดยจากผลการทดลองพบว่าในเซรามิก 0.6PIN-0.4PT และ 0.9PIN-0.1PT จะมีค่าคงที่ไคลอเล็กทริกลดลงอย่างชัดเจนในช่วงความเค้น 0-400 MPa (รูป 4.65-4.66 และ 4.71-4.72) ส่วนในเซรามิกองค์ประกอบอื่นๆจะมีการเปลี่ยนแปลงของค่าคงที่ไคลอเล็กทริกที่ไม่แน่นอน โดยพบว่าสำหรับเซรามิก 0.5PIN-0.5PT ค่าคงที่ไคลอเล็กทริกเพิ่มขึ้นอย่างชัดเจนในช่วงความเค้น 0-400 MPa (รูป 4.65-4.66 และ 4.71-4.72) ส่วนในเซรามิกองค์ประกอบอื่นๆจะมีการเปลี่ยนแปลงของค่าคงที่ไคลอเล็กทริกที่ไม่แน่นอน โดยพบว่าสำหรับเซรามิก 0.5PIN-0.5PT ค่าคงที่ไคลอเล็กทริกเพิ่มขึ้นอย่างชัดเจนในช่วง 0-370 MPa และวิจัยเริ่มลดลงเมื่อยังคงเพิ่มความเค้น (รูป 4.63-4.70) โดยที่ลักษณะการเปลี่ยนแปลงของค่าคงที่ไคลอเล็กทริกที่พบในเซรามิก PIN-PT ทั้งสามองค์ประกอบที่กล่าวมานี้มีลักษณะการเปลี่ยนแปลงในแนวโน้มที่เพิ่มขึ้นเมื่อความเค้นเพิ่มขึ้น ซึ่งน่าจะเป็นผลมาจากการที่ความเค้นที่ให้เข้าไปนั้น เข้าไปเปลี่ยนแปลงโครงสร้างของโคเมนซึ่งจัดเรียงตัวกันอย่างสุ่ม[16] ให้เกิดการหันทิศทางของโคเมนใหม่ และทำให้เกิดการเคลื่อนที่ของผังนังโคเมนมากขึ้น จึงส่งผลให้ค่าคงที่ไคลอเล็กทริกเพิ่มขึ้น

หลังจากที่เพิ่มความเค้นจนถึงประมาณ 400 MPa จึงได้เริ่มลดความเค้นลง พบว่ามีการเปลี่ยนแปลงของค่าคงที่ไคลอเล็กทริกที่คล้ายกันในทุกองค์ประกอบในสารเซรามิก PIN-PT กล่าวคือ ค่าคงที่ไคลอเล็กทริกจะเพิ่มขึ้นในช่วงแรกของการให้ความเค้น หลังจากนั้นจึงมีคาดลดลงจนกระทั่งความเค้นลดลงจนมีค่าเป็นศูนย์ เนื่องจากโคเมนพยาຍາที่จะจัดเรียงตัวให้มีโครงสร้างเหมือนเดิม ก่อนที่จะให้ความเค้นเพื่อทำให้มีพลังงานในตัวเองที่น้อยที่สุด แต่อย่างไรก็ตามในเซรามิก PIN-PT ทุกองค์ประกอบจะพบว่าค่าคงที่ไคลอเล็กทริกในช่วงลดความเค้นของจะมีค่าที่แตกต่างกันในช่วงที่เพิ่มความเค้นมาก นั่นหมายความว่าโครงสร้างของโคเมนไม่สามารถเปลี่ยนแปลงโครงสร้างให้กลับมาเหมือนเดิมได้ ซึ่งสภาวะที่เกิดขึ้นนี้แสดงว่าการให้ความเค้นในระดับนี้ (0-400 MPa) ก่อให้เกิดการเปลี่ยนแปลงอย่างถาวรสั่งต่อโคเมนหรือโครงสร้างภายใน ทำให้เมื่อลดความเค้นลง ค่าคงที่ไคลอเล็กทริกมีค่าแตกต่างจากค่าเดิมมาก สำหรับเซรามิก 0.5PIN-0.5PT พบว่าค่าคงที่ไคลอ-

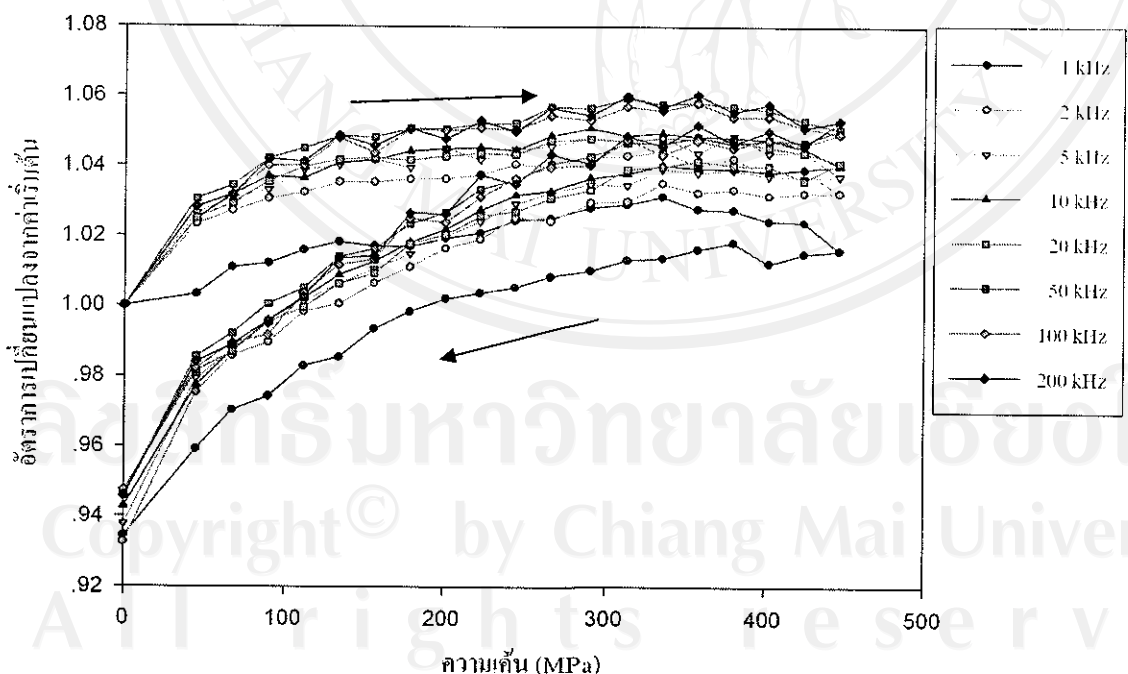
เลือกทริกเพิ่มขึ้นแล้วน้อยเมื่อความคื้นลดลงจนถึง 390 MPa และจึงเริ่มลดลง สำหรับเซรามิก 0.6PIN-0.4PT พบว่าค่าคงที่ไดอิเล็กทริกเพิ่มขึ้นเมื่อความคื้นลดลงในช่วงแรกจนถึงค่าความคื้นประมาณ 140 MPa จากนั้นค่าคงที่ไดอิเล็กทริกจะลดลงเมื่อความคื้นลดลง สำหรับเซรามิก 0.7PIN-0.3PT ,0.8PIN-0.2PT และ 0.9PIN-0.1PT นั้นพบว่าค่าคงที่ไดอิเล็กทริกมีค่าเพิ่มขึ้นเมื่อความคื้นลดลงจนถึงประมาณ 400 MPa และลดลงอย่างรวดเร็วเมื่อลดความคื้นลง



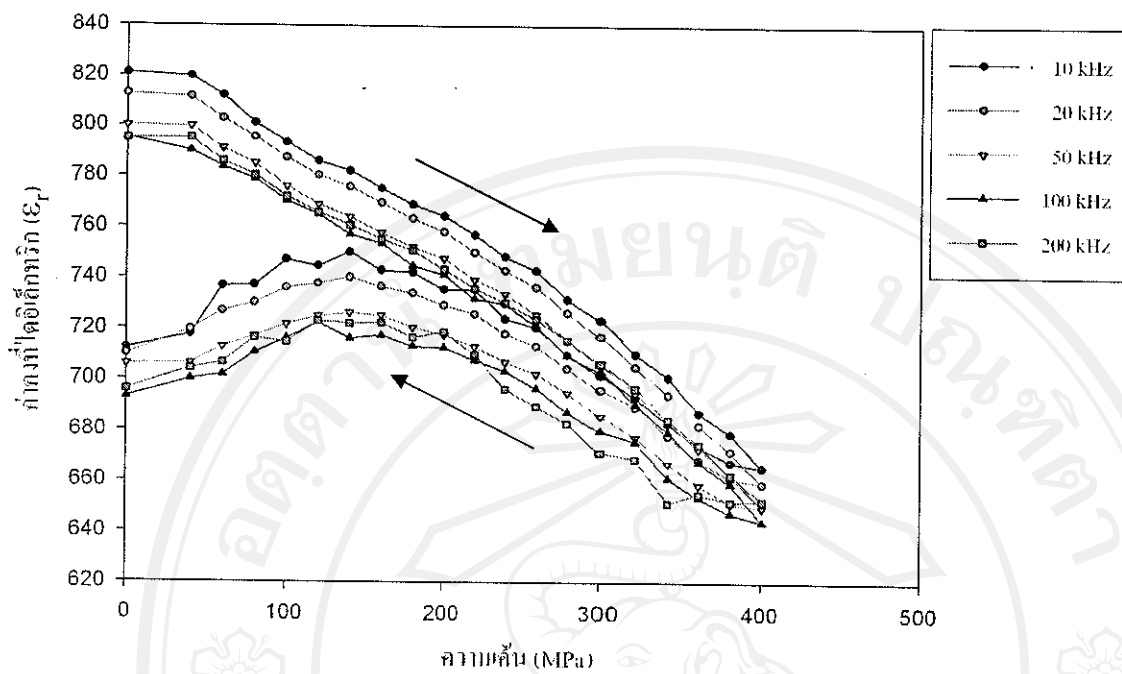
ลิขสิทธิ์มหาวิทยาลัยเชียงใหม่  
Copyright © by Chiang Mai University  
All rights reserved



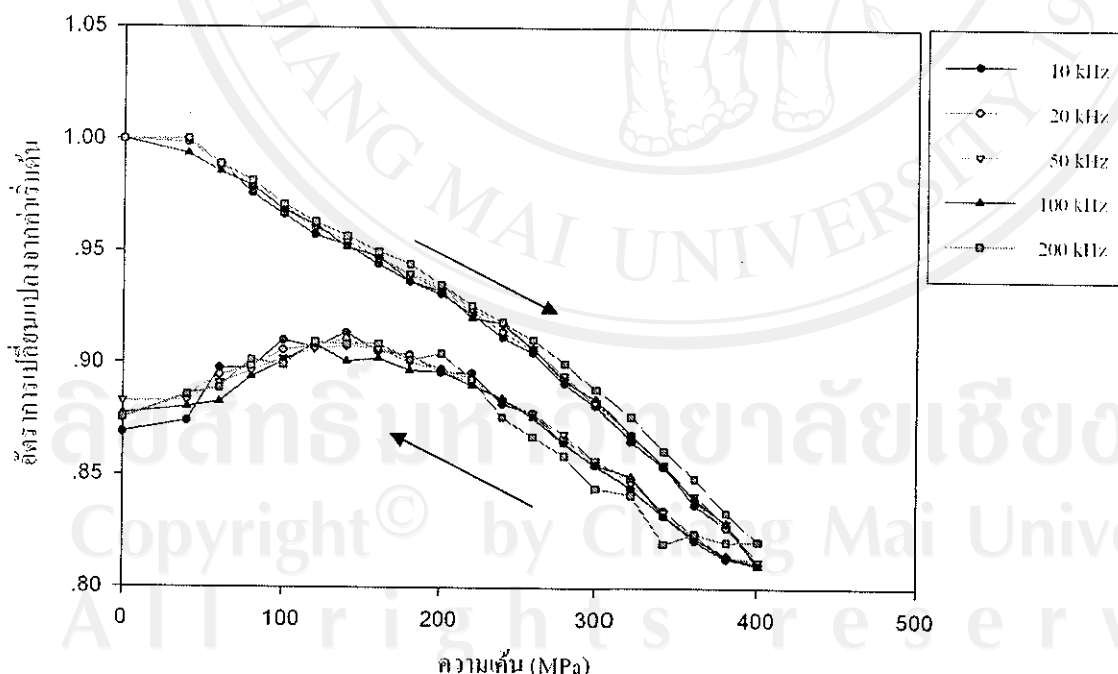
รูป 4.63 กราฟแสดงความสัมพันธ์ระหว่างค่าคงที่ไดอีเล็กทริกกับความดันของเซรามิก 0.5PIN-0.5PT ที่ยังไม่ผ่านการทำข้าว



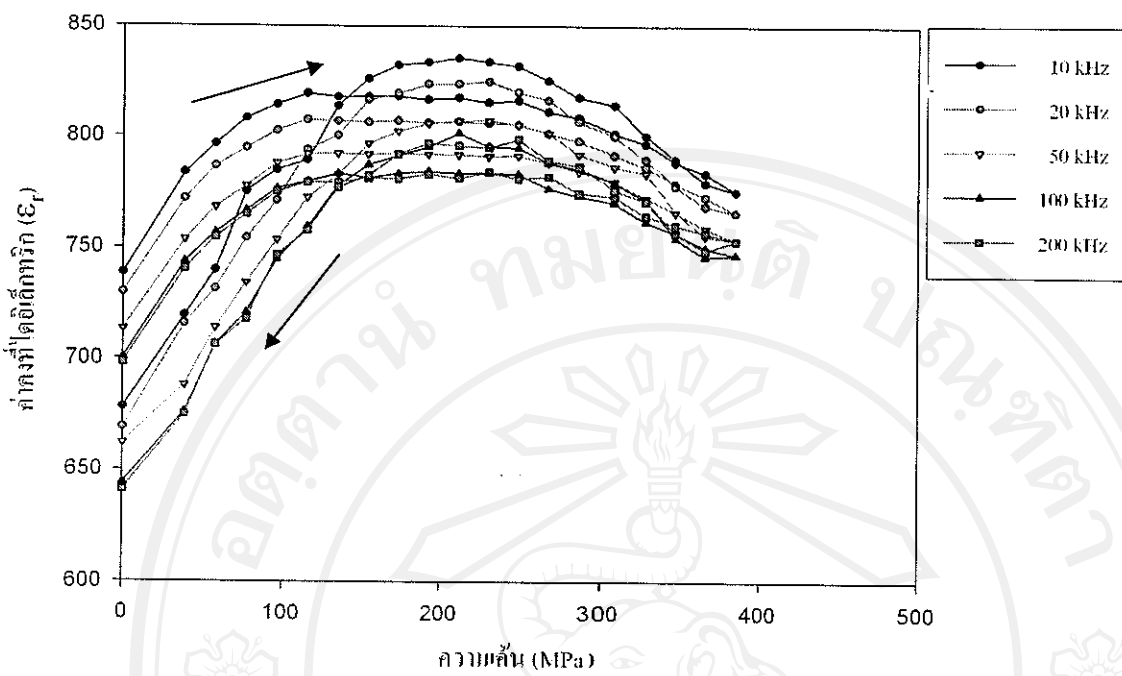
รูป 4.64 กราฟแสดงความสัมพันธ์ระหว่างอัตราการเปลี่ยนแปลงจากค่าเริ่มต้นของค่าคงที่ไดอีเล็กทริกกับความดันของเซรามิก 0.5PIN-0.5PT ที่ยังไม่ผ่านการทำข้าว



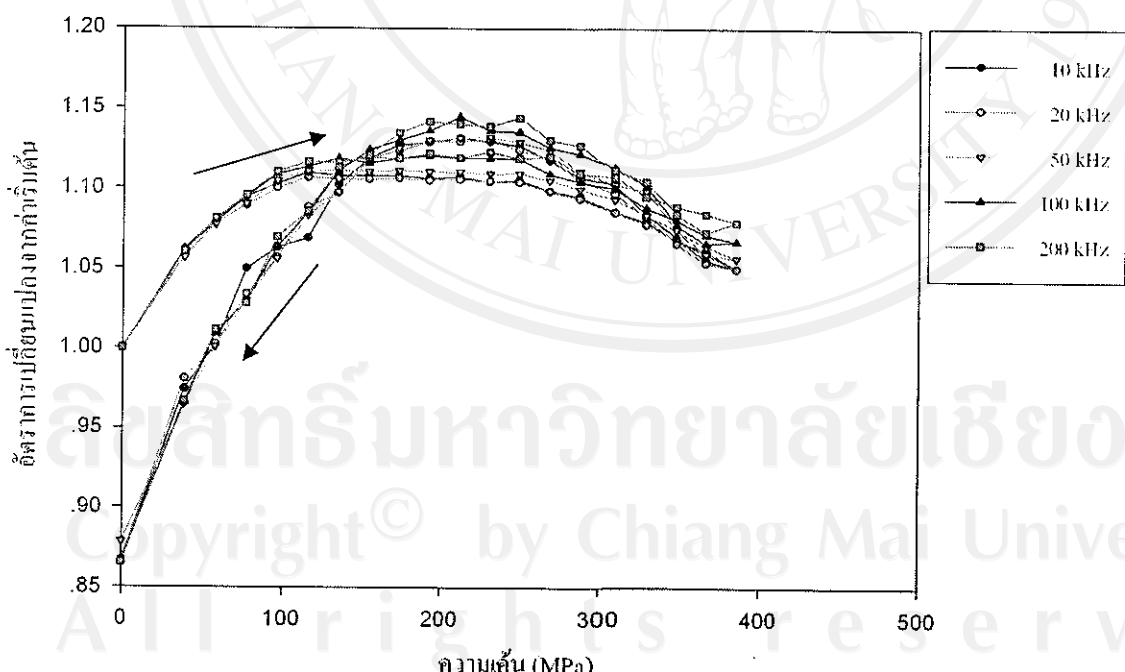
รูป 4.65 กราฟแสดงความสัมพันธ์ระหว่างค่าคงที่ไดอิเล็กทริกกับความเค้นของเซรามิก 0.6PIN-0.4PT ที่ยังไม่ผ่านการทำข้าว



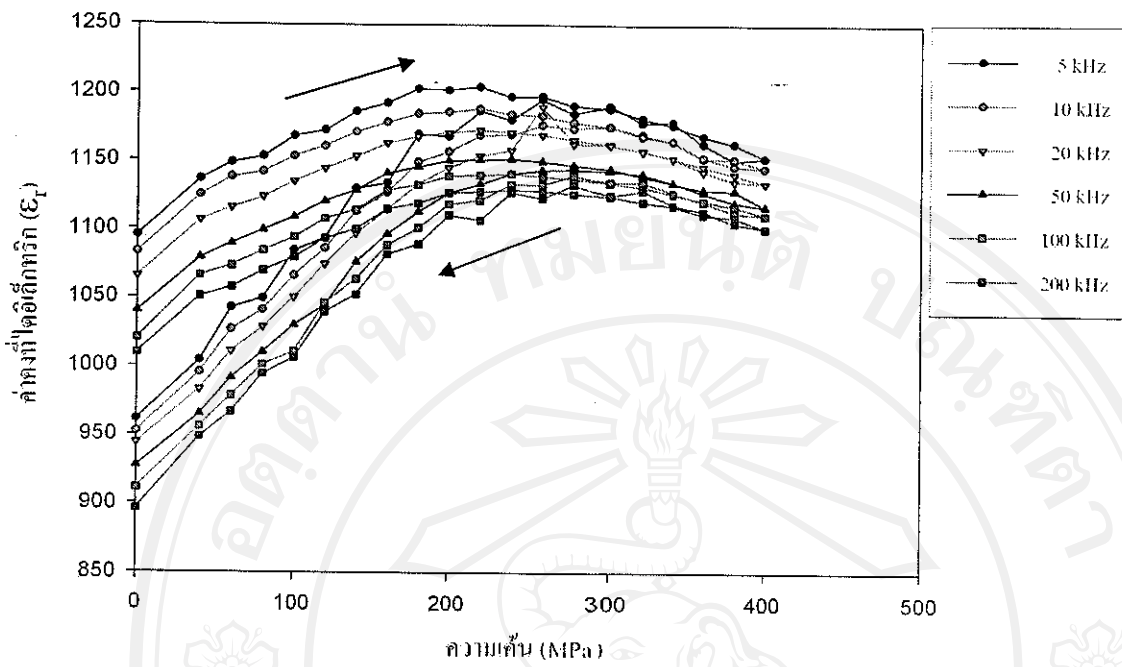
รูป 4.66 กราฟแสดงความสัมพันธ์ระหว่างอัตราการเปลี่ยนแปลงจากค่าเริ่มต้นของค่าคงที่ไดอิเล็กทริกกับความเค้นของเซรามิก 0.6PIN-0.4PT ที่ยังไม่ผ่านการทำข้าว



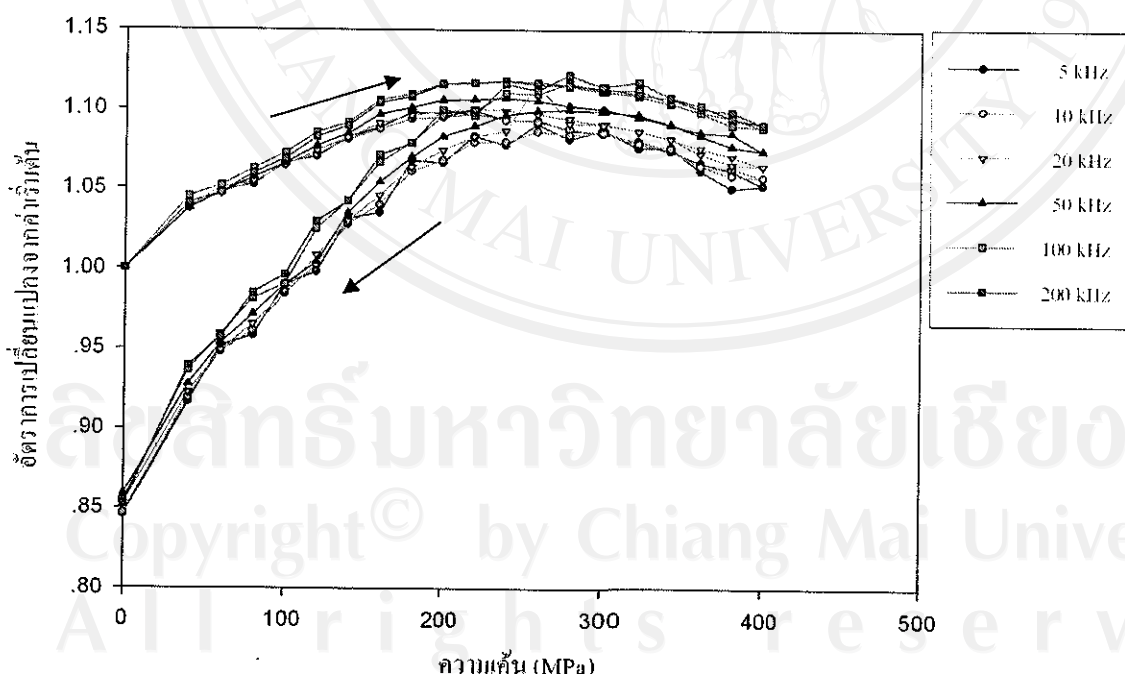
รูป 4.67 กราฟแสดงความสัมพันธ์ระหว่างค่าคงที่ไดอิเล็กทริกกับความเค้นของเซรามิก 0.7PIN-0.3PT ที่ยังไม่ผ่านการทำข้าว



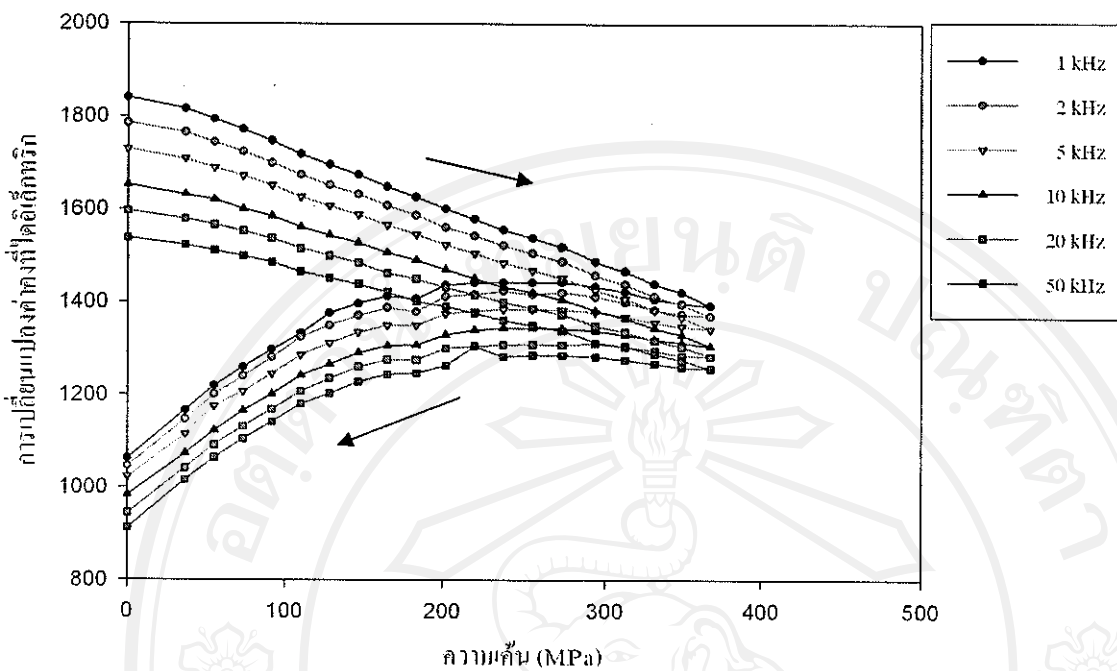
รูป 4.68 กราฟแสดงความสัมพันธ์ระหว่างอัตราการเปลี่ยนแปลงจากค่าเริ่มต้นของค่าคงที่ไดอิเล็กทริกกับความเค้นของเซรามิก 0.7PIN-0.3PT ที่ยังไม่ผ่านการทำข้าว



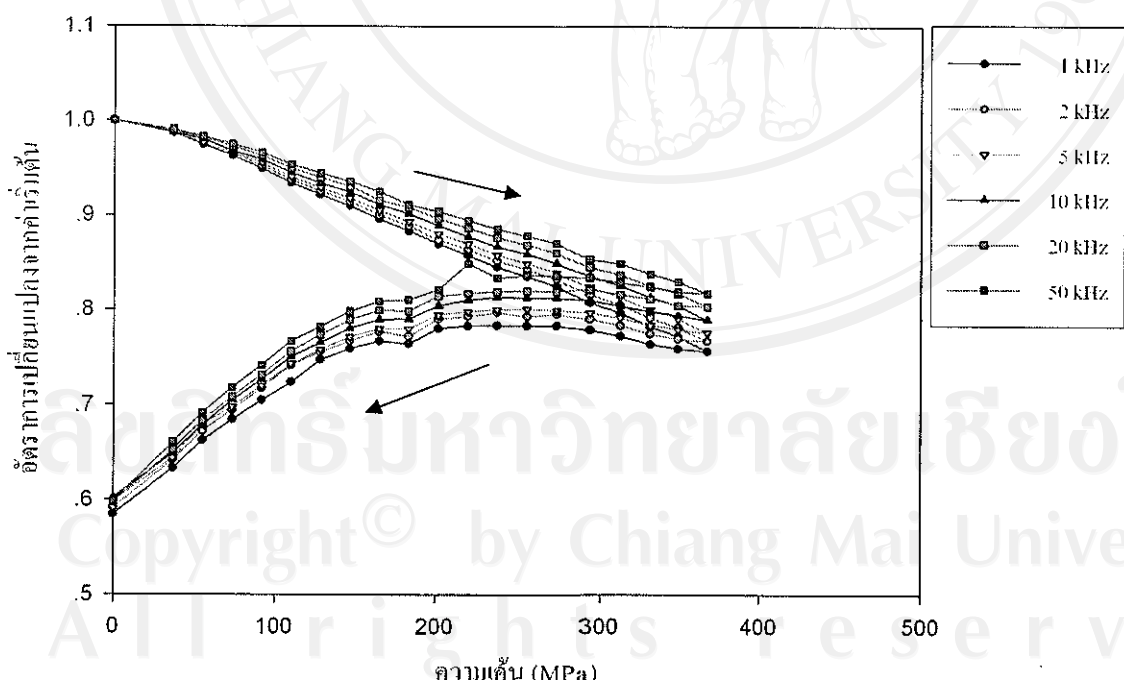
รูป 4.69 กราฟแสดงความสัมพันธ์ระหว่างค่าคงที่ไดอิเล็กทริกกับความดันของเซรามิก 0.8PIN-0.2PT ที่ยังไม่ผ่านการทำข้าว



รูป 4.70 กราฟแสดงความสัมพันธ์ระหว่างอัตราการเปลี่ยนแปลงจากค่าเริ่มต้นของค่าคงที่ไดอิเล็กทริกกับความดันของเซรามิก 0.8PIN-0.2PT ที่ยังไม่ผ่านการทำข้าว



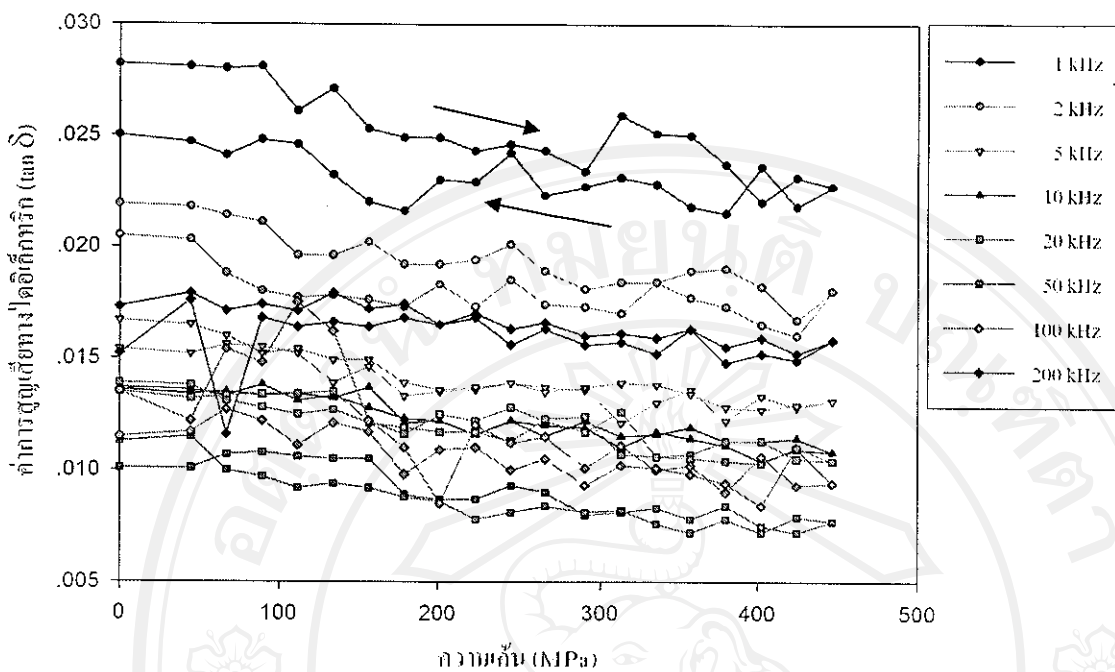
รูป 4.71 กราฟแสดงความสัมพันธ์ระหว่างค่าคงที่ไดอิเล็กทริกกับความเค็นของเซรามิก 0.9PIN-0.1PT ที่ยังไม่ผ่านการทำข้าว



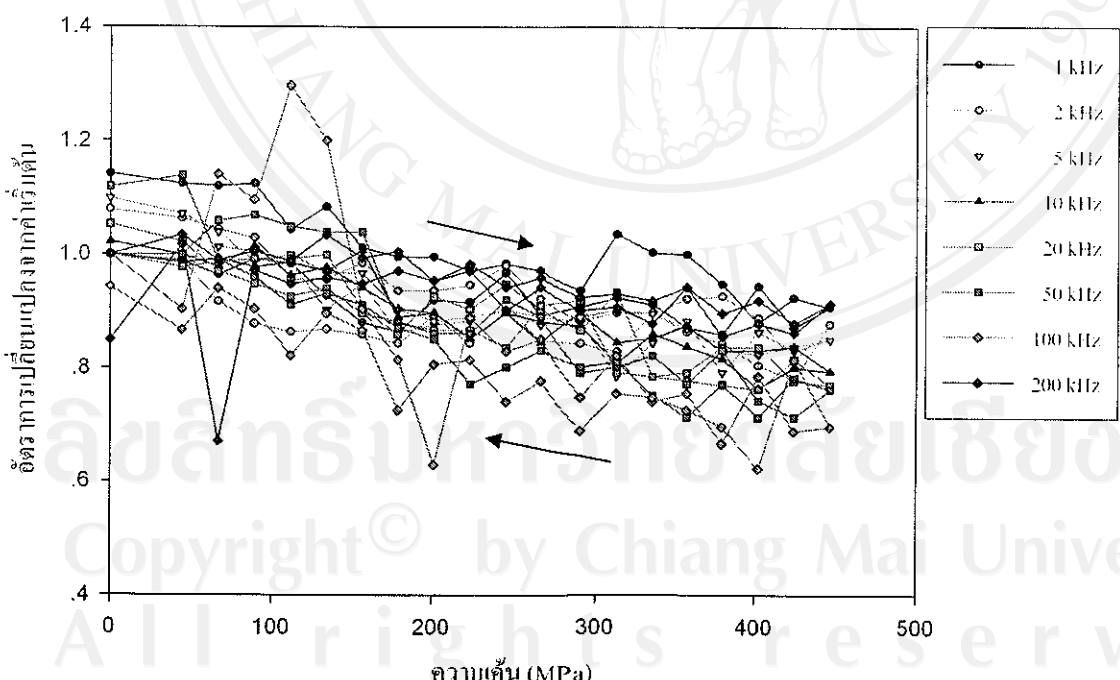
รูป 4.72 กราฟแสดงความสัมพันธ์ระหว่างอัตราการเปลี่ยนแปลงจากค่าเริ่มต้นของค่าคงที่ไดอิเล็กทริกกับความเค็นของเซรามิก 0.9PIN-0.1PT ที่ยังไม่ผ่านการทำข้าว

สำหรับในส่วนของค่าการสูญเสียทางไอดีล็อกทริก พบร่วมค่าการสูญเสียทางไอดีล็อกทริกมี การเปลี่ยนแปลงที่ไม่แน่นอนในเชิงรัฐิก PIN-PT<sup>+</sup> ทุกองค์ประกอบ แต่อย่างไรก็ต้องพบร่วมค่าการเปลี่ยนแปลงโดยรวมมีแนวโน้มลดลงเมื่อความเค้นเพิ่มขึ้น ซึ่งคล้ายกับผลการทดลองในสารเชิงรัฐิก 0.8PMN-0.2PT ซึ่งคาดว่าจะเป็นผลจากการที่ความเค้นไปบีบบังคับให้เกิดการจัดเรียงตัวใหม่ของโอดเมน[16] หรืออาจไปขับถ่ายเพื่อไม่ให้ผังโอดเมนเกิดการเคลื่อนที่[15] และในระหว่างการลดความเค้นลงนั้นพบว่าค่าการสูญเสียทางไอดีล็อกทริกมีแนวโน้มเพิ่มขึ้น ดังรูป 4.73-4.82 เนื่องจากโครงสร้างของโอดเมนเกิดการเปลี่ยนแปลงเพื่อพยายามให้มีโครงสร้างเหมือนเดิมก่อนที่ให้ความเค้น และพยายามจะรักษาพลังงานภายในตัวเองให้มีค่าน้อยที่สุดนั่นเอง

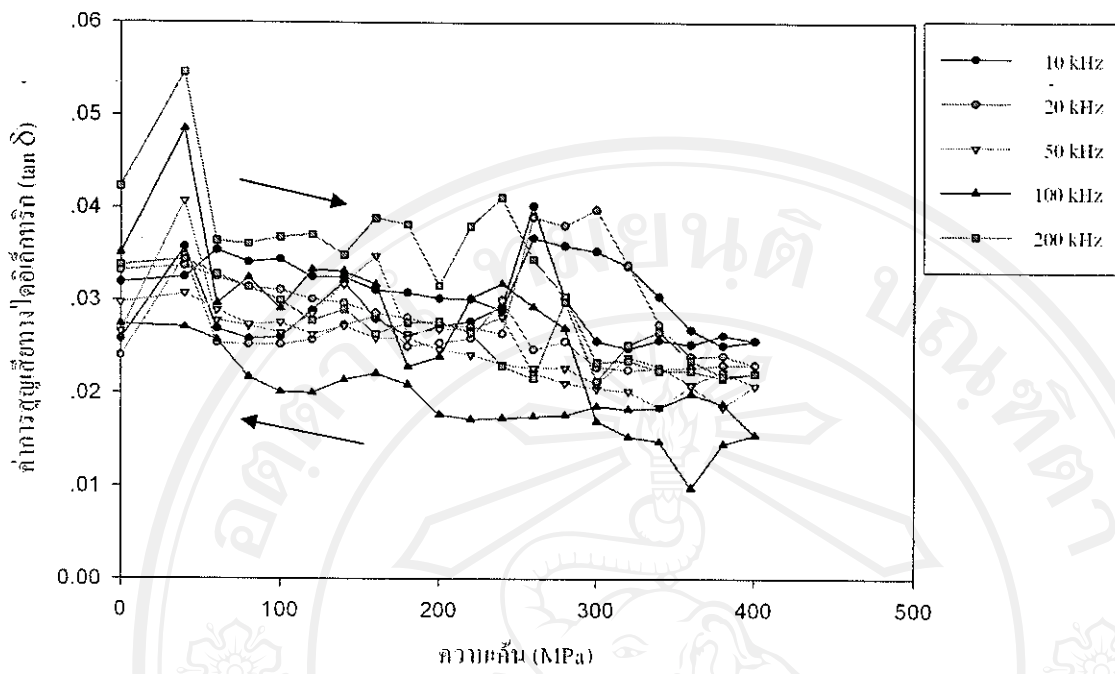
ลิขสิทธิ์มหาวิทยาลัยเชียงใหม่  
Copyright<sup>©</sup> by Chiang Mai University  
All rights reserved



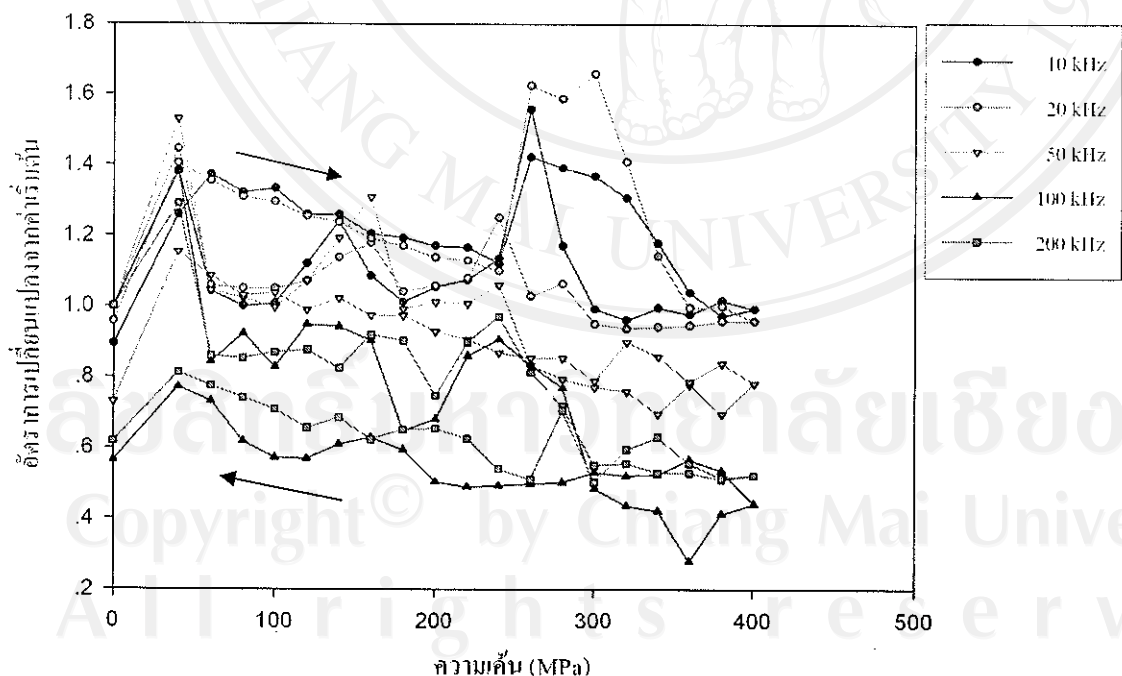
รูป 4.73 กราฟแสดงความสัมพันธ์ระหว่างค่าการสูญเสียทางไดอีเล็กทริกกับความเค้นของเซรามิก 0.5PIN-0.5PT ที่ยังไม่ผ่านการทำข้าว



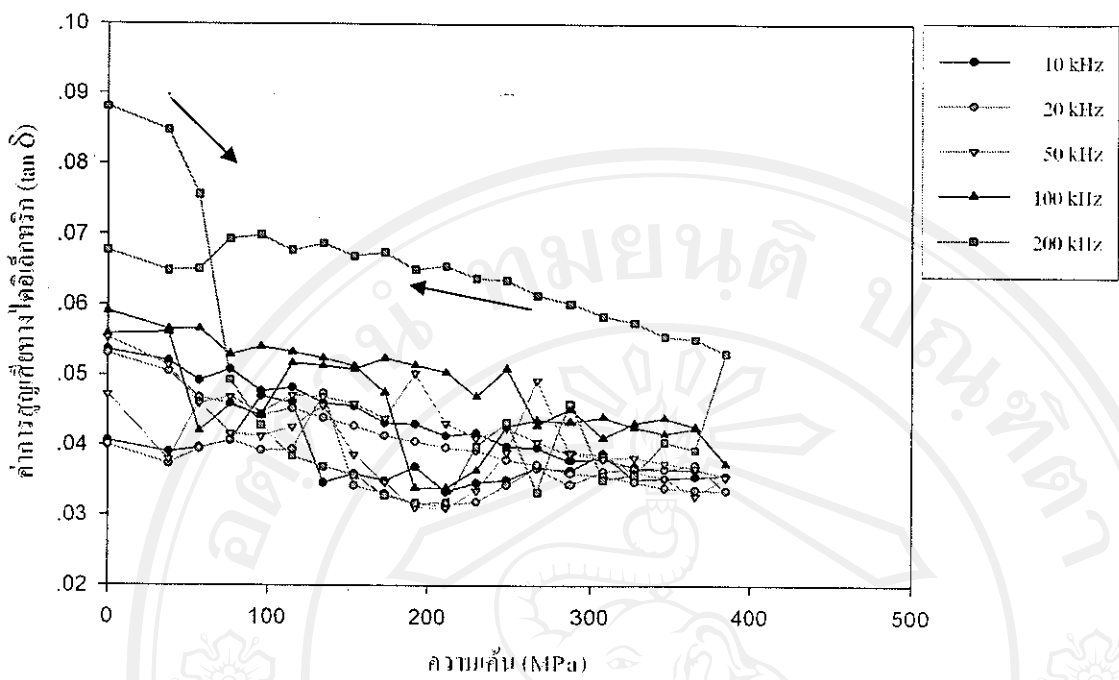
รูป 4.74 กราฟแสดงความสัมพันธ์ระหว่างอัตราการเปลี่ยนแปลงจากค่าเริ่มต้นของการสูญเสียทางไดอีเล็กทริกกับความเค้นของเซรามิก 0.5PIN-0.5PT ที่ยังไม่ผ่านการทำข้าว



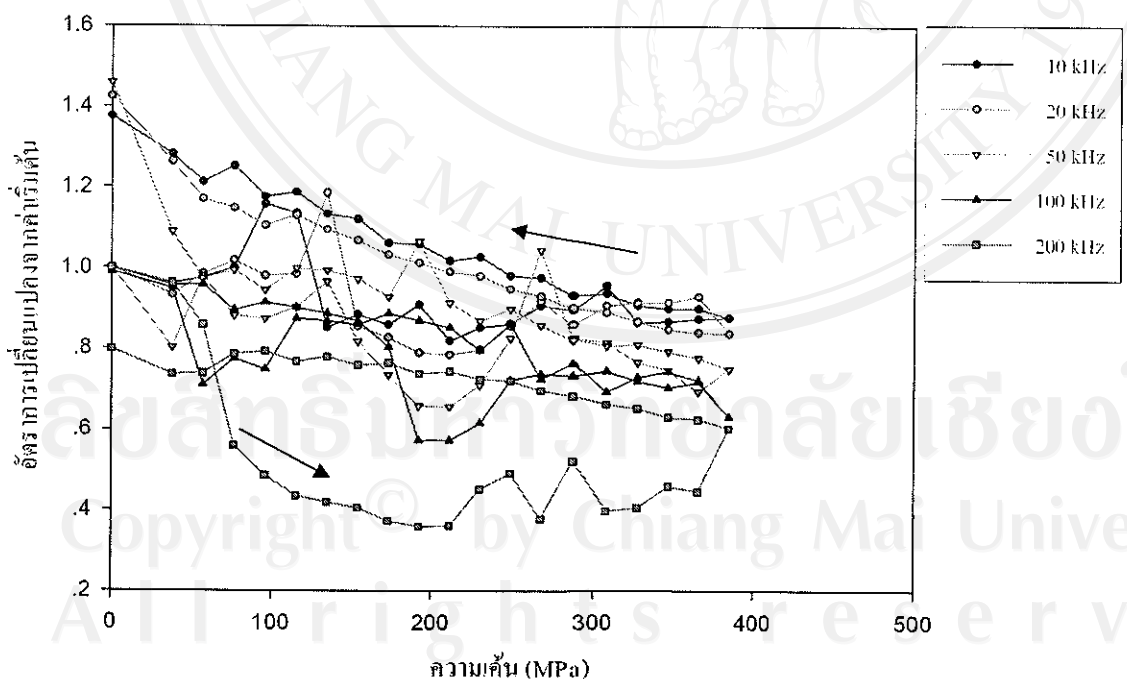
รูป 4.75 กราฟแสดงความสัมพันธ์ระหว่างค่าการสูญเสียทางໄดอิเล็กทริกกับความดันของเซรามิก 0.6PIN-0.4PT ที่ยังไม่ผ่านการทำข้าว



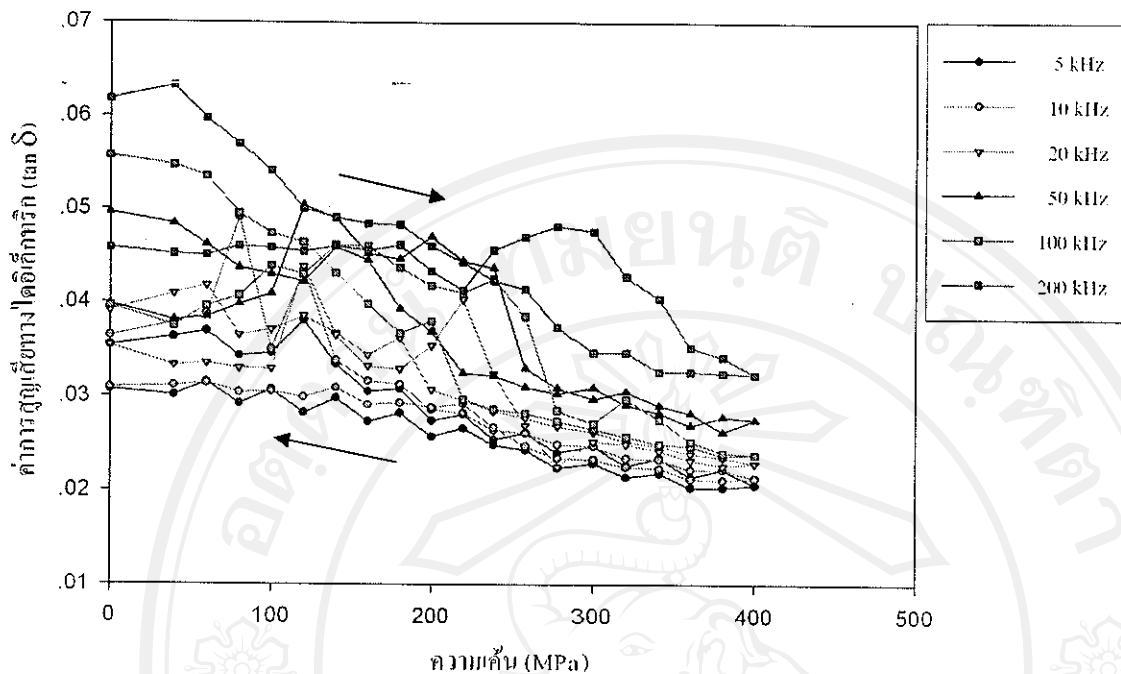
รูป 4.76 กราฟแสดงความสัมพันธ์ระหว่างอัตราการเปลี่ยนแปลงจากค่าเริ่มต้นของค่าการสูญเสียทางໄดอิเล็กทริกกับความดันของเซรามิก 0.6PIN-0.4PT ที่ยังไม่ผ่านการทำข้าว



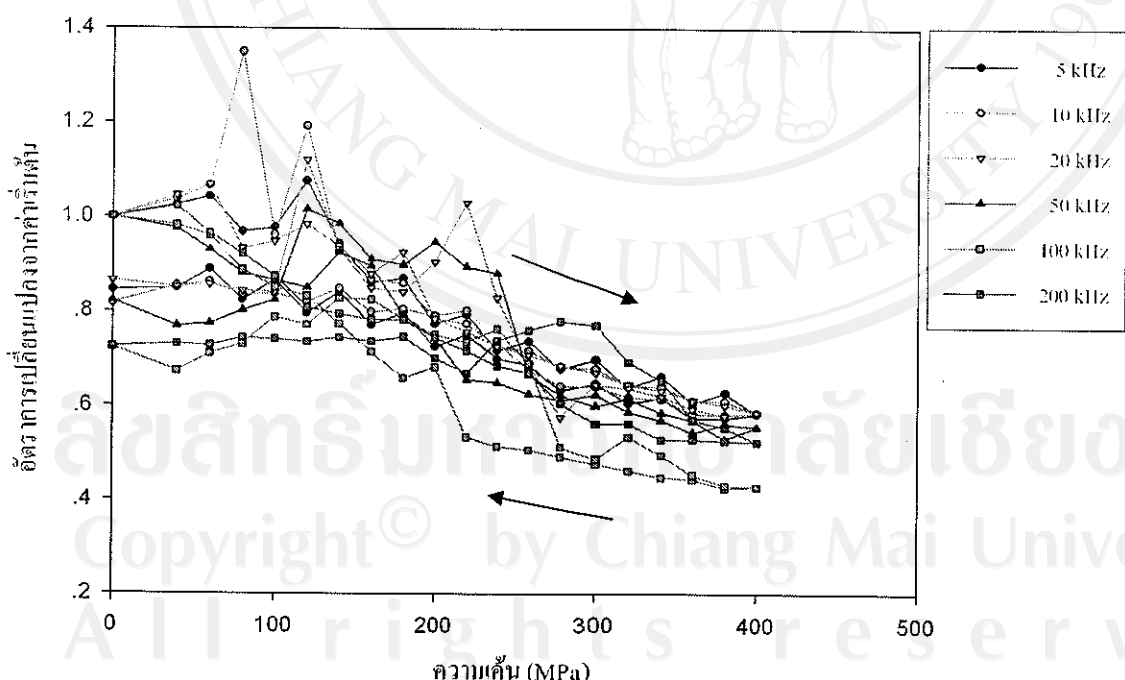
รูป 4.77 กราฟแสดงความสัมพันธ์ระหว่างค่าการสูญเสียทาง ไดโอลีกทริกกับความเค็นของเซรามิก 0.7PIN-0.3PT ที่ยังไม่ผ่านการทำข้าว



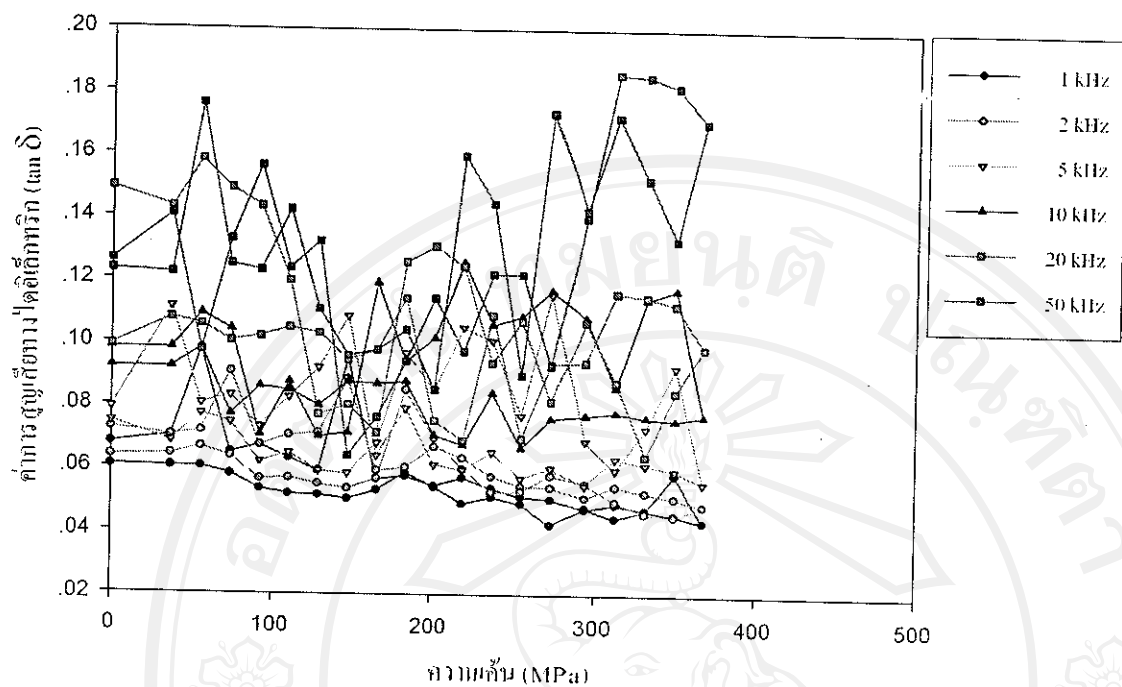
รูป 4.78 กราฟแสดงความสัมพันธ์ระหว่างอัตราการเปลี่ยนแปลงจากค่าเริ่มต้นของค่าการสูญเสียทาง ไดโอลีกทริกกับความเค็นของเซรามิก 0.7PIN-0.3PT ที่ยังไม่ผ่านการทำข้าว



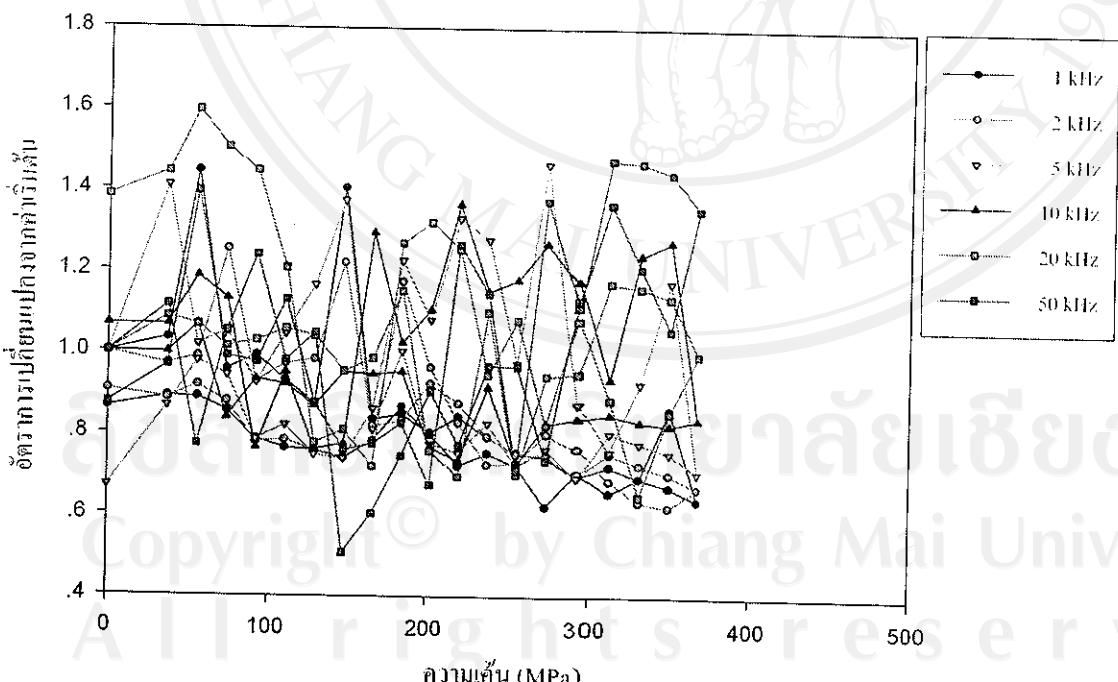
รูป 4.79 グラฟแสดงความสัมพันธ์ระหว่างค่าการสูญเสียทางไอดิอิเล็กทริกกับความเค้นของเซรามิก 0.8PIN-0.2PT ที่ยังไม่ผ่านการทำข้าว



รูป 4.80 กราฟแสดงความสัมพันธ์ระหว่างอัตราการเปลี่ยนแปลงจากค่าเริ่มต้นของค่าการสูญเสียทางไอดิอิเล็กทริกกับความเค้นของเซรามิก 0.8PIN-0.2PT ที่ยังไม่ผ่านการทำข้าว



รูป 4.81 กราฟแสดงความสัมพันธ์ระหว่างค่าการสูญเสียทางไฟอิเล็กทริกกับความคื้นของเซรามิก 0.9PIN-0.1PT ที่ยังไม่ผ่านการทำข้าว

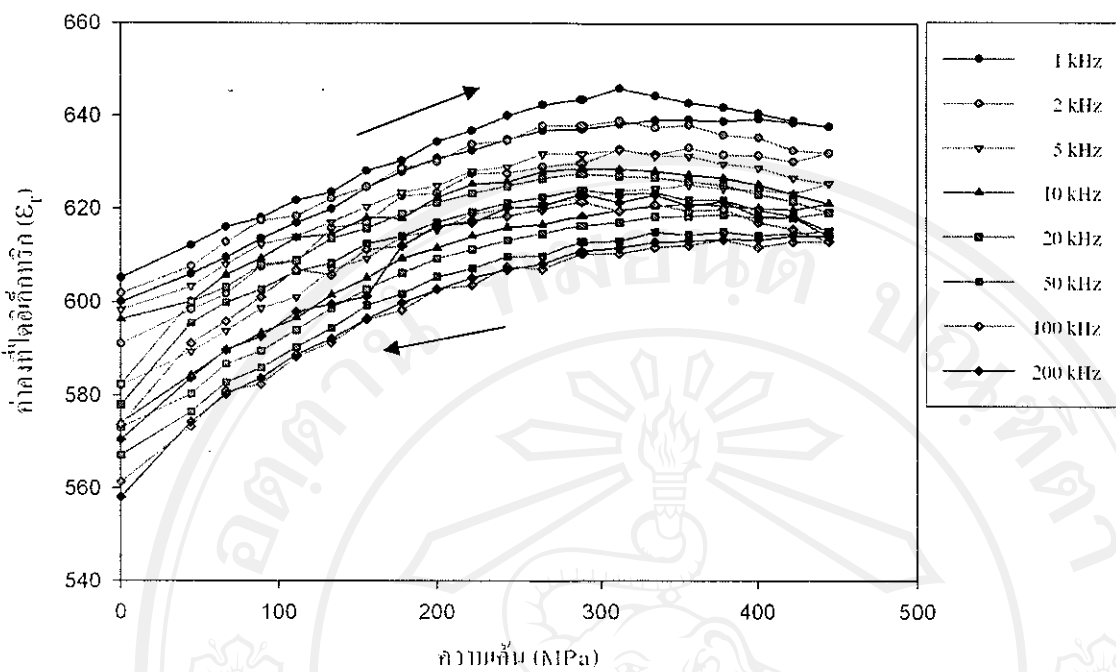


รูป 4.82 กราฟแสดงความสัมพันธ์ระหว่างอัตราการเปลี่ยนแปลงจากค่าเริ่มต้นของการสูญเสียทางไฟอิเล็กทริกกับความคื้นของเซรามิก 0.9PIN-0.1PT ที่ยังไม่ผ่านการทำข้าว

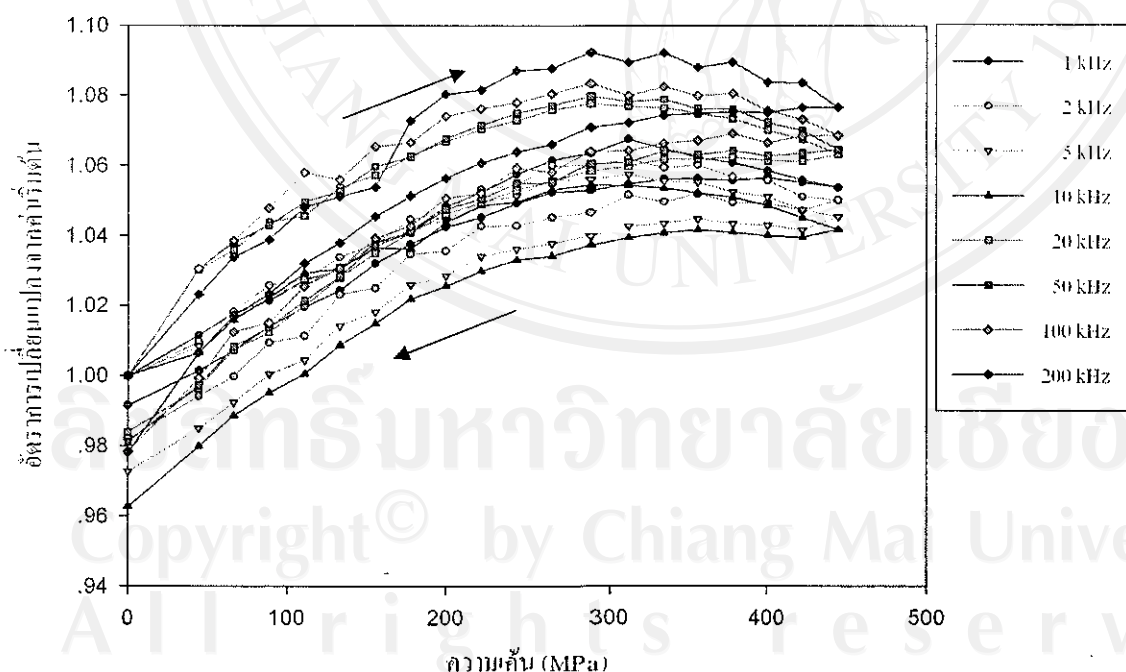
#### 4.7.2 กรณีสารเซรามิก PIN-PT ที่ผ่านการทำขั้วแล้ว

เมื่อนำเซรามิกในระบบ PIN-PT ที่ผ่านการทำขั้วแล้วมาศึกษาสมบัติได้อิเล็กทริกภายใต้ความเค้น (0-400 MPa) พบว่าค่าคงที่ได้อิเล็กทริกมีแนวโน้มการเปลี่ยนแปลงที่ต่างกันเมื่อความเค้นเพิ่มขึ้น ดังรูป 4.83-4.92 โดยจะพบว่าสำหรับเซรามิก 0.5PIN-0.5PT พบว่าการเปลี่ยนแปลงของค่าคงที่ได้อิเล็กทริกมีแนวโน้มเพิ่มขึ้นซึ่งคล้ายกับการทดลองในเซรามิก PZT 552 (soft PZT) PZT 406 (hard PZT) ของสุพัตรา[18] และสำหรับเซรามิก 0.9PIN-0.1PT นั้นพบว่าค่าคงที่ได้อิเล็กทริกมีแนวโน้มลดลงเมื่อความเค้นเพิ่มขึ้น ซึ่งคล้ายกับผลการทดลองในสารเซรามิก 0.9PMN-0.1PT ส่วนในเซรามิก 0.6PIN-0.4PT ,0.7PIN-0.3PT และ 0.8PIN-0.2PT จะมีการเปลี่ยนแปลงของค่าคงที่ได้อิเล็กทริกที่ไม่แน่นอน โดยในช่วงที่เริ่มให้ความเค้นค่าคงที่ได้อิเล็กทริกจะมีค่าเพิ่มขึ้น จากนั้นค่าคงที่ได้อิเล็กทริกจะลดลงเมื่อความเค้นเพิ่มขึ้น(0.6PIN-0.4PT เริ่มลดลงที่ความเค้น 180 MPa และใน 0.7PIN-0.3PT และ 0.8PIN-0.2PT จะเริ่มลดลงที่ความเค้น 190 MPa) ซึ่งในกรณีนี้ความเค้นแบบแคนเดียร์ที่ให้เข้าไปในเซรามิกมีทิศทางที่บานกว้างกับทิศทางในการทำขั้วเซรามิก PIN-PT ดังนั้นการเปลี่ยนแปลงนี้จึงเป็นผลจากความเค้นที่ให้เข้าไปทำให้เกิดการเปลี่ยนแปลงโครงสร้างของโอดเมนซึ่งประกอบไปด้วยโอดเมนที่มีทิศทางที่ทำมุมกัน  $180^\circ$  และโอดเมนที่มีทิศทางแบบสูม ซึ่งการเปลี่ยนแปลงนี้จะทำให้มีความหนาแน่นของผนังโอดเมนที่ไม่ได้ทำมุมกัน  $180^\circ$  เพิ่มขึ้น จึงทำให้ค่าคงที่ได้อิเล็กทริกมีค่าเพิ่มขึ้นเมื่อความเค้นเพิ่มขึ้น[21] และเมื่อเพิ่มความเค้นขึ้นจนถึงจุดๆหนึ่ง การเปลี่ยนแปลงภายในโอดเมนก็ยังคงเกิดขึ้น แต่เกิดในลักษณะที่โอดเมนบางอันอาจจะถูกรวบกับโอดเมนอื่นหรืออาจจะเกิดการเปลี่ยนแปลงรูปร่างไปเพื่อที่จะทำให้พังงานของโอดเมนภายในเซรามิกมีค่าน้อยที่สุด

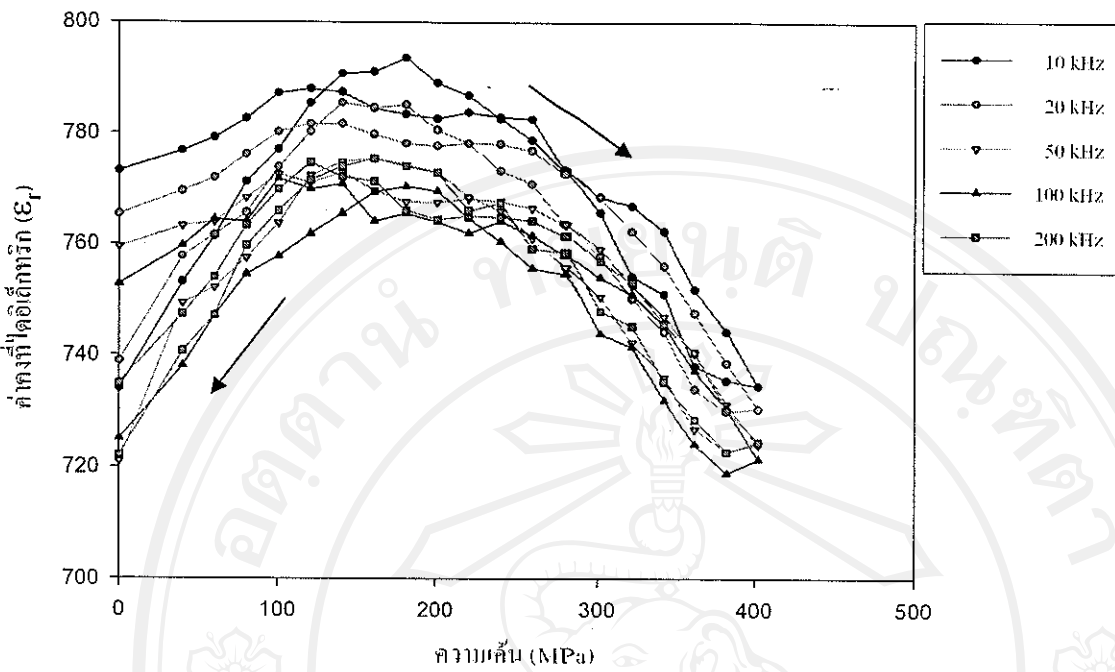
ในการนี้ของการลดความเค้นพบว่าในเซรามิกที่มีองค์ประกอบต่างกัน จะมีลักษณะการเปลี่ยน แปลงของค่าคงที่ได้อิเล็กทริกที่แตกต่างกัน สำหรับเซรามิก 0.5PIN-0.5PT และ 0.8PIN-0.2PT นั้นพบว่าค่าคงที่ได้อิเล็กทริกมีค่าลดลงเมื่อความเค้นลดลง สำหรับเซรามิก 0.6PIN-0.4PT และ 0.7PIN-0.3PT และ 0.9PIN-0.1PT นั้นพบว่าค่าคงที่ได้อิเล็กทริกมีการเปลี่ยนแปลงที่ไม่แน่นอน โดยในช่วงแรกค่าคงที่ได้อิเล็กทริกมีค่าเพิ่มขึ้น จากนั้นค่าคงที่ได้อิเล็กทริกจะลดลงเมื่อความเค้นลดลง ซึ่งการเปลี่ยนแปลงของค่าคงที่ได้อิเล็กทริกของเซรามิก PIN-PT ทุกองค์ประกอบค่าคงที่ได้อิเล็กทริกมีความแตกต่างจากช่วงที่เพิ่มความเค้นมาก ซึ่งแสดงให้เห็นว่าการให้ความเค้นในระดับนี้ 0-400 MPa แก่เซรามิก PIN-PT ทำให้เกิดการเปลี่ยนแปลงอย่างถาวรสู่ต่อโอดเมนหรือโครงสร้างภายในของเซรามิกที่ผ่านการทำขั้วแล้ว ทำให้มีลดความเค้นลงค่าคงที่ได้อิเล็กทริกจึงมีค่าแตกต่างจากค่าเดิมมาก



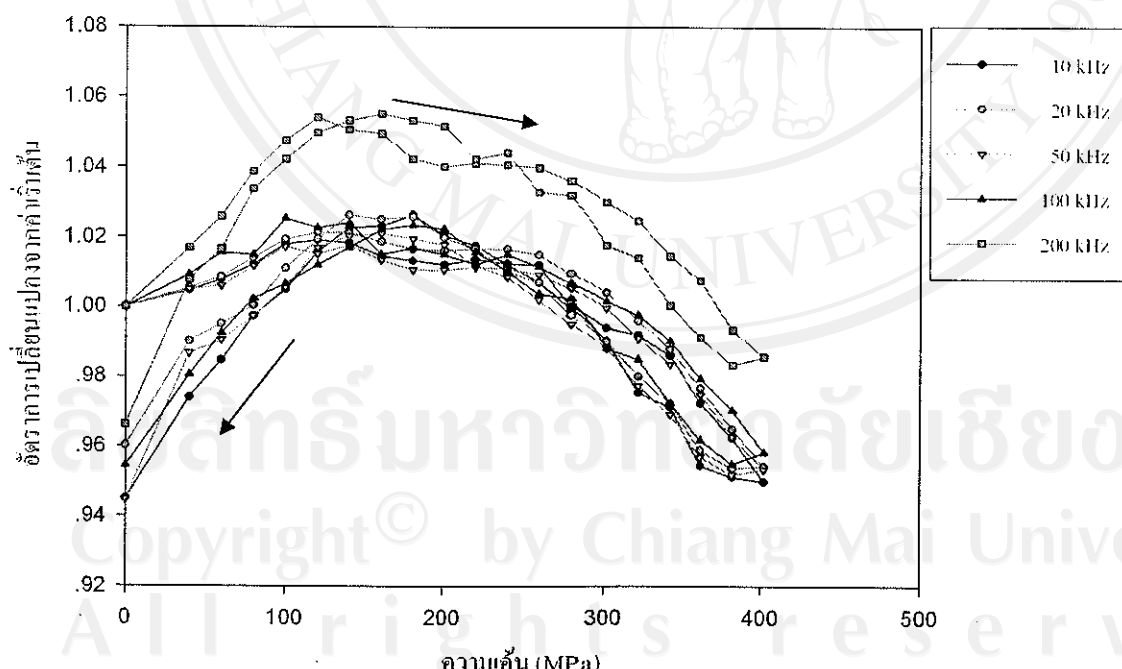
รูป 4.83 กราฟแสดงความสัมพันธ์ระหว่างค่าคงที่ไดอิเล็กทริกกับความเค้นของเซรามิก 0.5PIN-0.5PT ที่ผ่านการทำข้าวแಡ้ว



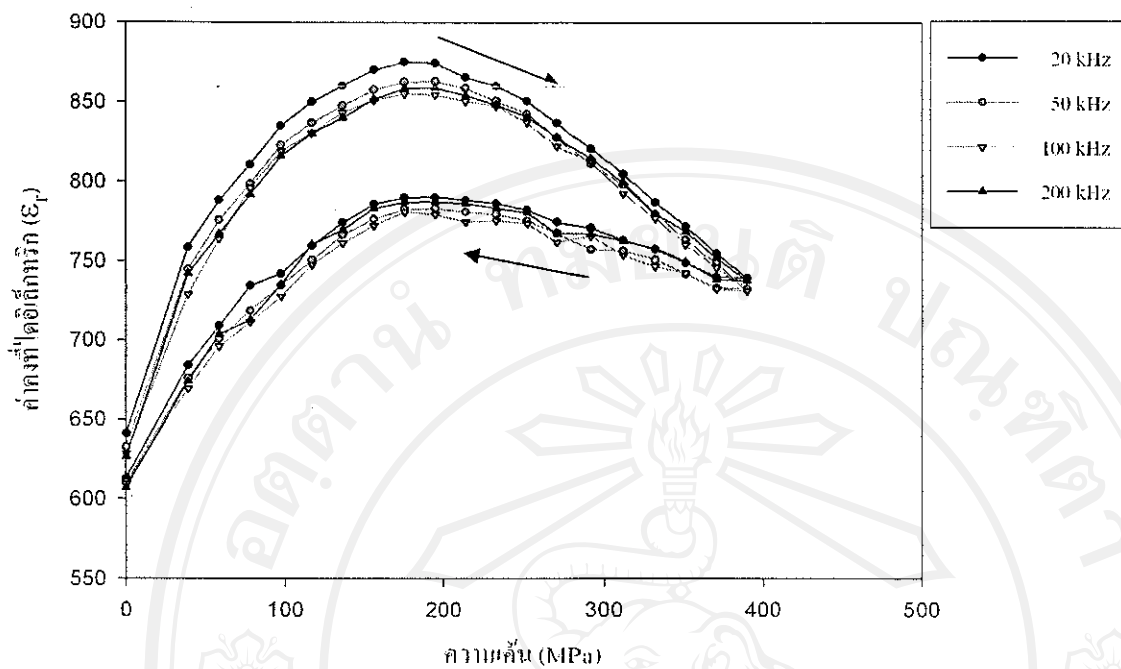
รูป 4.84 กราฟแสดงความสัมพันธ์ระหว่างอัตราการเปลี่ยนแปลงจากค่าเริ่มต้นของค่าคงที่ไดอิเล็กทริกกับความเค้นของเซรามิก 0.5PIN-0.5PT ที่ผ่านการทำข้าวแಡ้ว



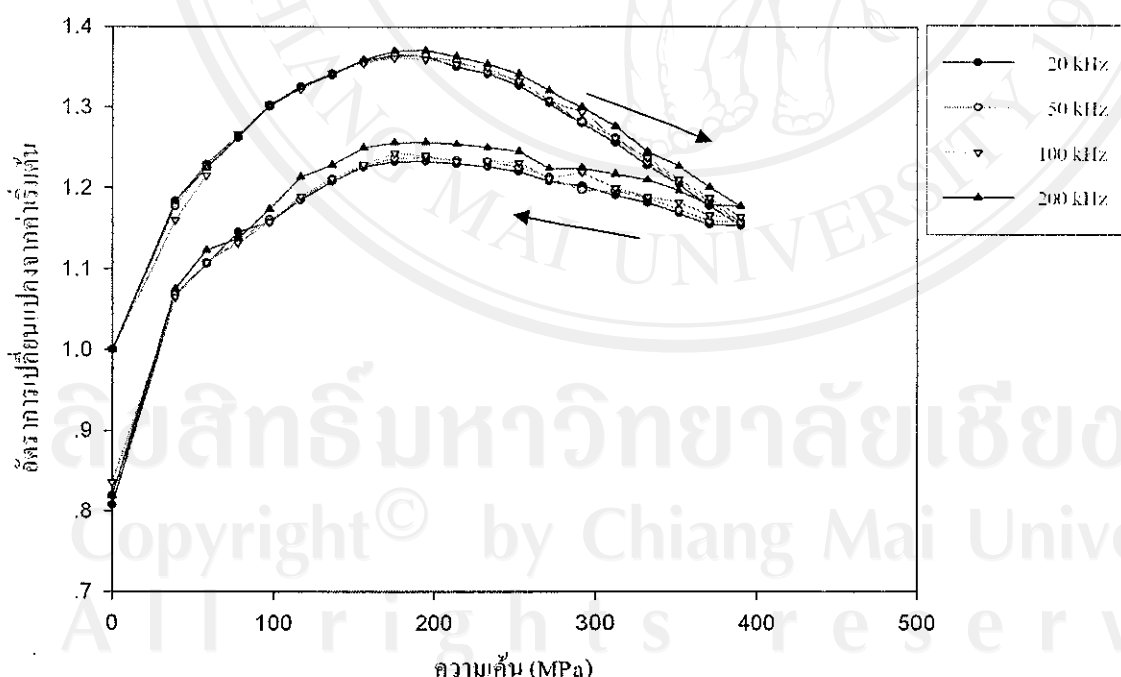
รูป 4.85 กราฟแสดงความสัมพันธ์ระหว่างค่าคงที่ไดอิเล็กทริกกับความเค้นของเซรามิก 0.6PIN-0.4PT ที่ผ่านการทำข้าวแล้ว



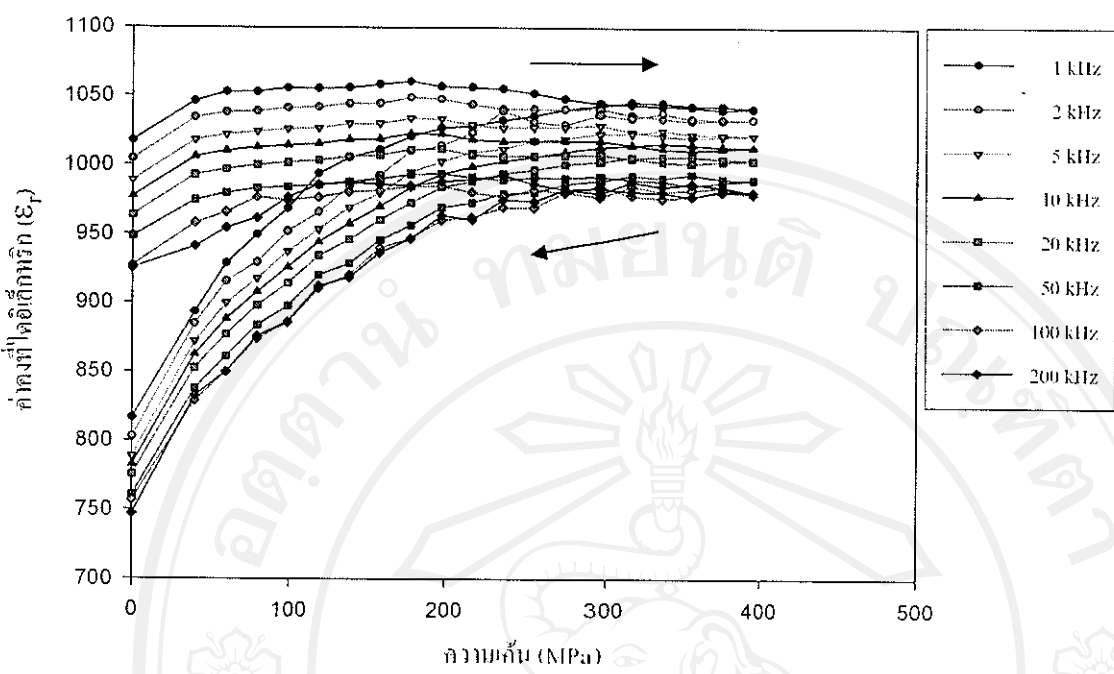
รูป 4.86 กราฟแสดงความสัมพันธ์ระหว่างอัตราการเปลี่ยนแปลงจากค่าเริ่มต้นของค่าคงที่ไดอิเล็กทริกกับความเค้นของเซรามิก 0.6PIN-0.4PT ที่ผ่านการทำข้าวแล้ว



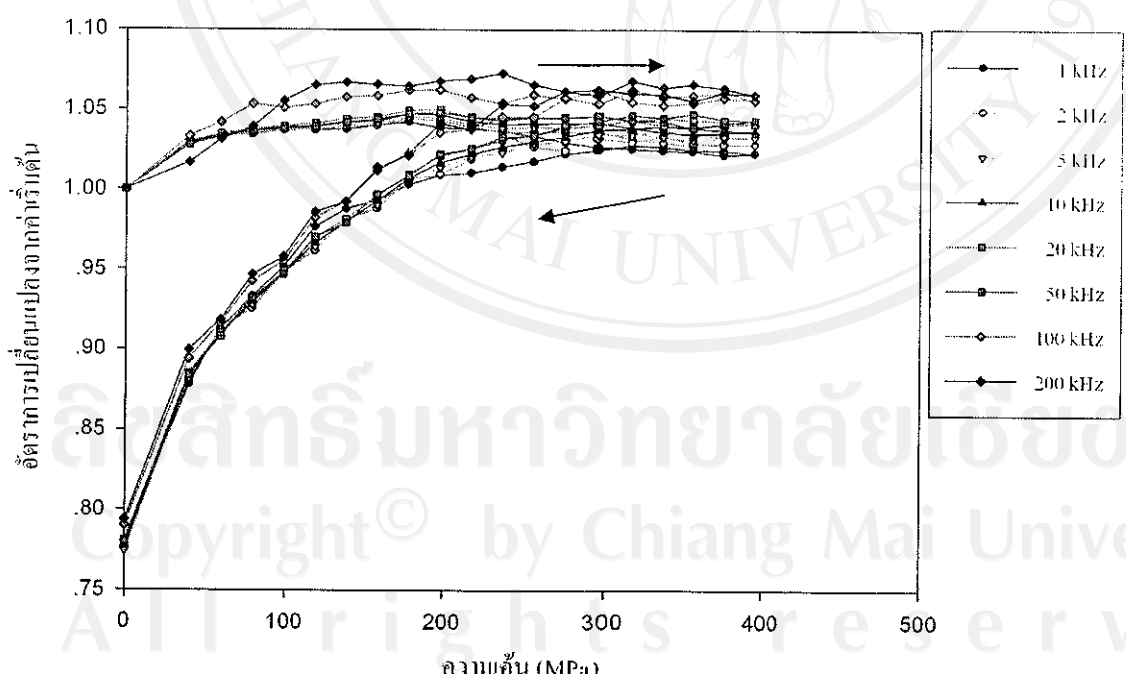
รูป 4.87 กราฟแสดงความสัมพันธ์ระหว่างค่าคงที่ไดอิเล็กทริกกับความเค้นของเซรามิก 0.7PIN-0.3PT ที่ผ่านการทำข้าวแล้ว



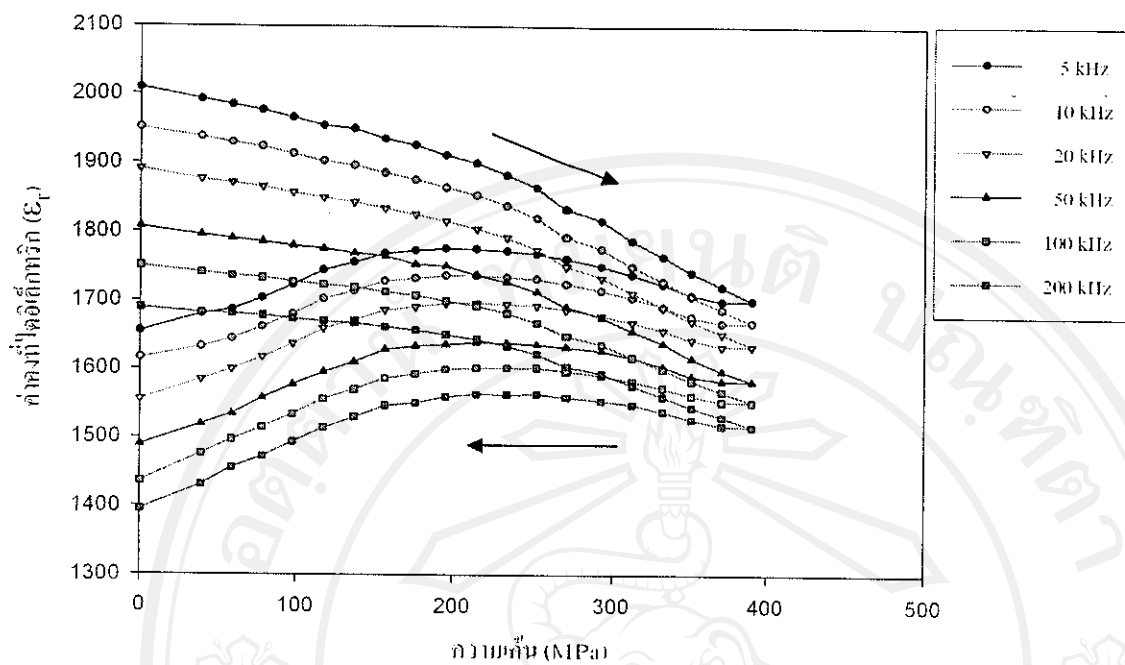
รูป 4.88 กราฟแสดงความสัมพันธ์ระหว่างอัตราการเปลี่ยนแปลงจากค่าเริ่มต้นของค่าคงที่ไดอิเล็กทริกกับความเค้นของเซรามิก 0.7PIN-0.3PT ที่ผ่านการทำข้าวแล้ว



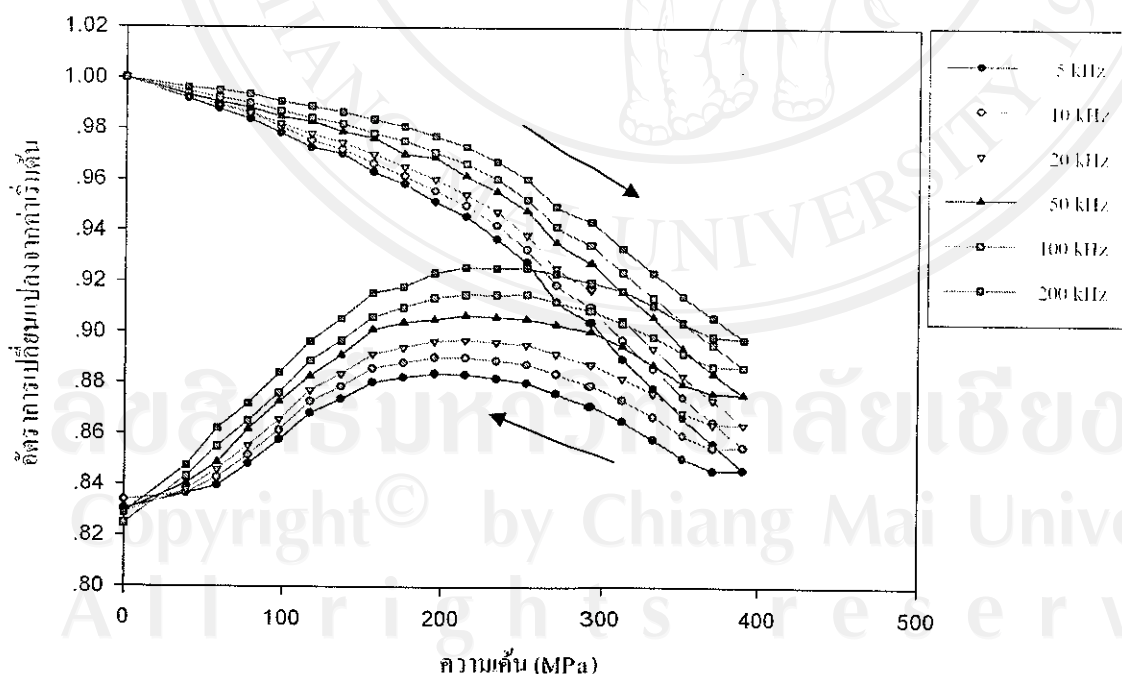
รูป 4.89 กราฟแสดงความสัมพันธ์ระหว่างค่าคงที่ไดอิเล็กทริกกับความดันของเซรามิก 0.8PIN-0.2PT ที่ผ่านการทำข้าวแล้ว



รูป 4.90 กราฟแสดงความสัมพันธ์ระหว่างอัตราการเปลี่ยนแปลงจากค่าเริ่มต้นของค่าคงที่ไดอิเล็กทริกกับความดันของเซรามิก 0.8PIN-0.2PT ที่ผ่านการทำข้าวแล้ว

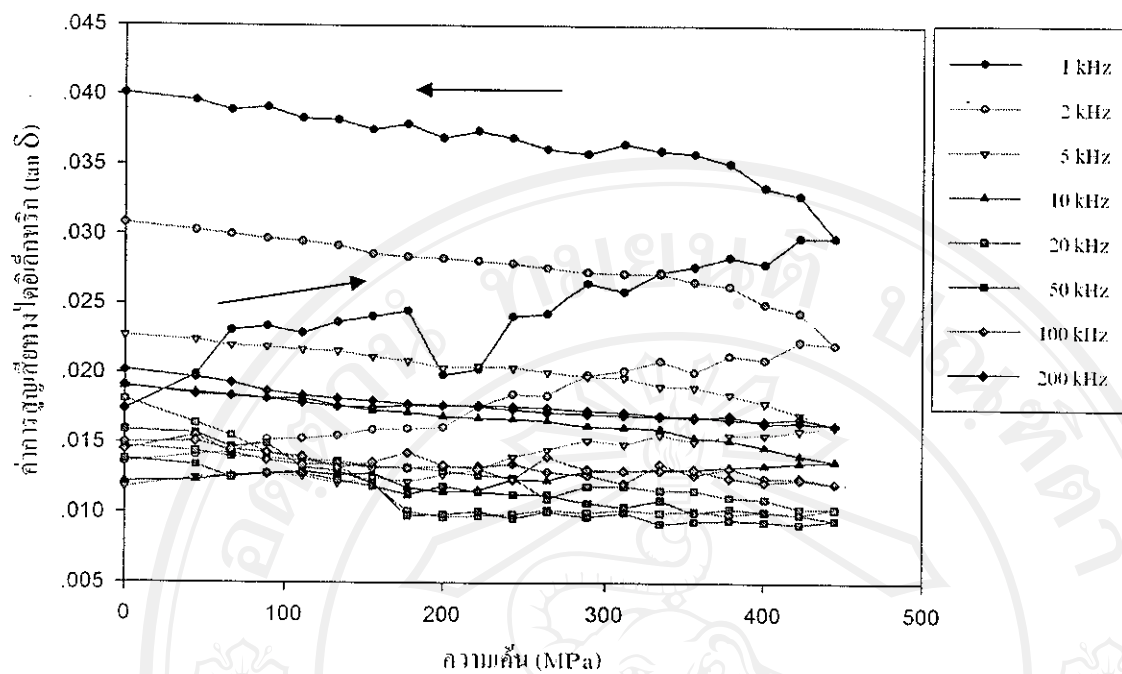


รูป 4.91 กราฟแสดงความสัมพันธ์ระหว่างค่าคงที่ไดอิเล็กทริกกับความเค้นของเซรามิก 0.9PIN-0.1PT ที่ผ่านการทำข้อแฉะ

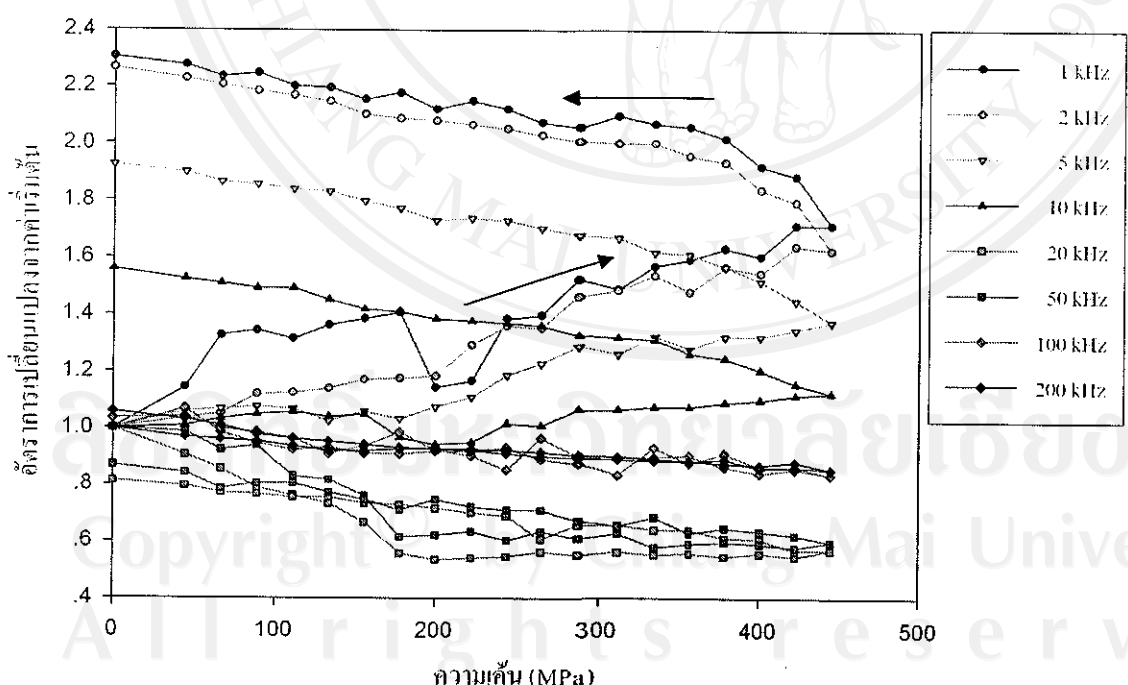


รูป 4.92 กราฟแสดงความสัมพันธ์ระหว่างอัตราการเปลี่ยนแปลงจากค่าเริ่มต้นของค่าคงที่ไดอิเล็กทริกกับความเค้นของเซรามิก 0.9PIN-0.1PT ที่ผ่านการทำข้อแฉะ

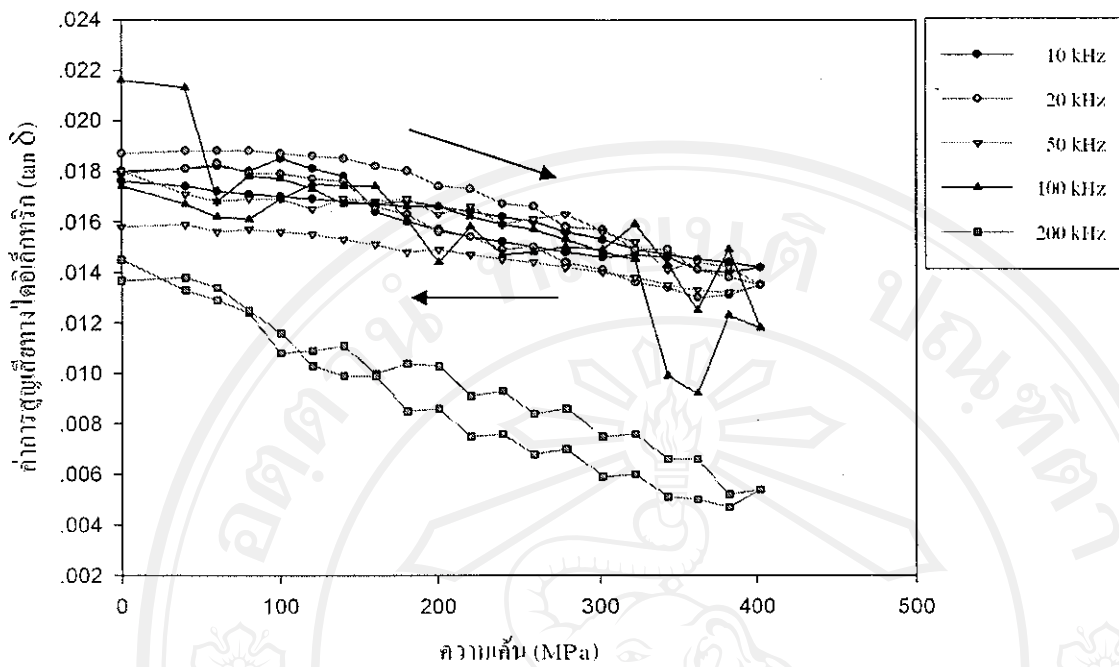
สำหรับในส่วนของการสูญเสียทางไอดิเล็กทริกของเซรามิก PIN-PT ที่ผ่านการทำข้าวแล้ว พนวจ การเปลี่ยนแปลงค่าการสูญเสียทางไอดิเล็กทริกมีแนวโน้มที่ลดลงค่อนข้างชัดเจนเมื่อความเด็นเพิ่มขึ้น (รูป 4.93-4.102) ซึ่งคล้ายกับการทดลองในสารเซรามิก PMN-PT ที่ผ่านการทำข้าวแล้ว การเปลี่ยนแปลงที่เกิดขึ้นคาดว่าจะเป็นผลจากการจัดเรียงตัวใหม่ของทิศทางโพลาไรซ์ เช่นเดียวกับในโคเมน[16] หรือการยับยั้งการเคลื่อนที่ของผนัง โคเมน[15] และในระหว่างการลดความเด็นลงนั้นพบว่าค่าการสูญเสียทางไอดิเล็กทริกมีแนวโน้มเพิ่มขึ้นซึ่งโดยบางส่วนมีค่าการสูญเสียทางไอดิเล็กทริกในช่วงลดความเด็นต่ำกว่าในช่วงเพิ่มความเด็น(เห็นได้ชัดเจนใน 0.9PIN-0.1PT) และบางส่วนมีค่าการสูญเสียทางไอดิเล็กทริกในช่วงลดความเด็นสูงกว่ากว่าในช่วงเพิ่มความเด็นอาจเป็นเพราะความเด็นที่ให้กับสารเซรามิกไปทำให้ผนังของ โคเมนเคลื่อนที่ผ่านจุดพร่องไปแล้ว ผนัง โคเมนจึงเกิดการเคลื่อนที่ได้มากขึ้นเมื่อลดความเด็นลง โดยที่ความแตกต่างของค่าการสูญเสียไอดิเล็กทริกระหว่างที่เพิ่มความเด็นและลดความเด็นมีค่าที่ค่อนข้างมาก ซึ่งแสดงว่าความเด็นในระดับนี้ (0-400 MPa) ทำให้เกิดการเปลี่ยนแปลงอย่างถาวรสู่ โคเมนหรือโครงสร้างภายในของสาร PIN-PT ได้



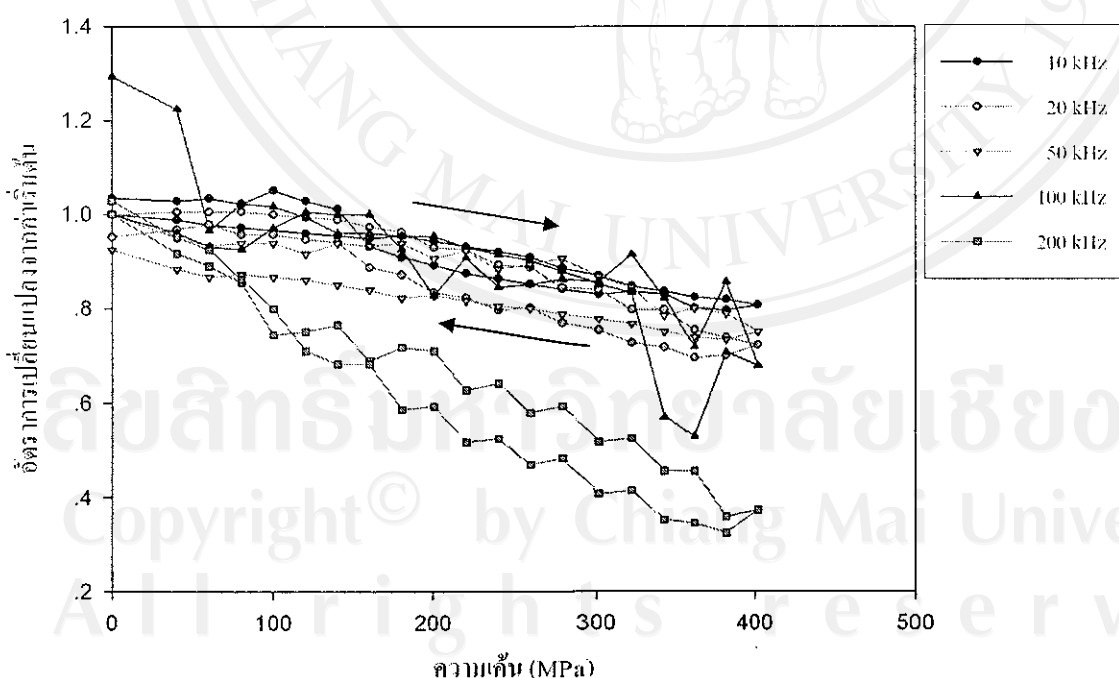
รูป 4.93 กราฟแสดงความสัมพันธ์ระหว่างค่าการสูญเสียทางไอดิเล็กทริกกับความเค้นของเซรามิก 0.5PIN-0.5PT ที่ผ่านการทำข้าวడ៉ែវ



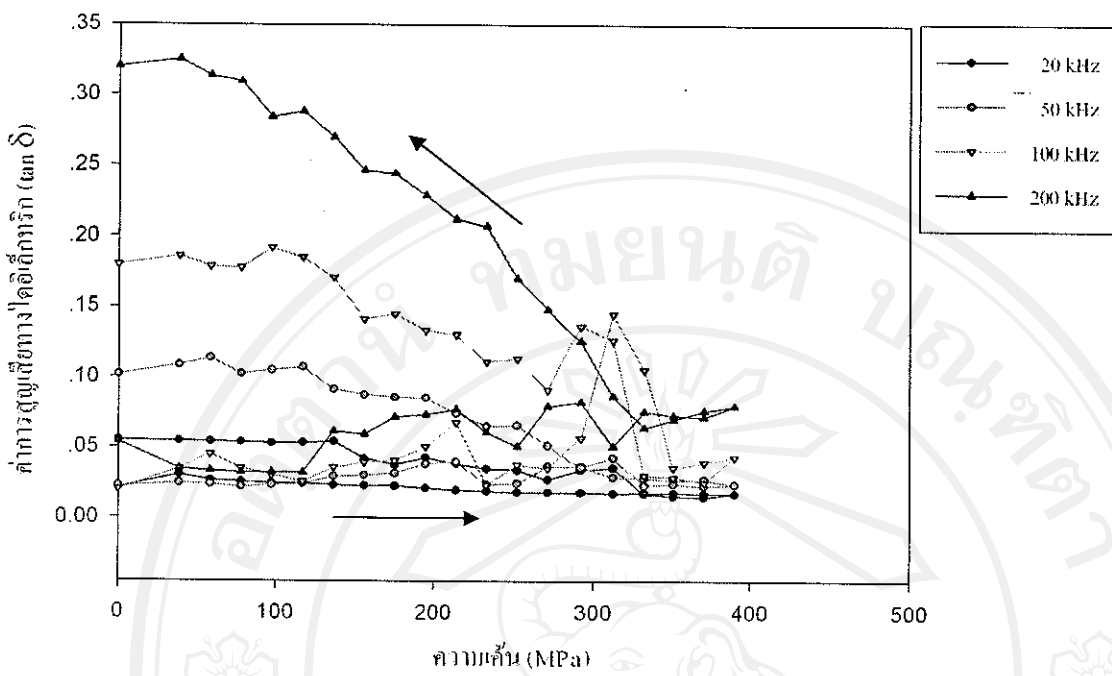
รูป 4.94 กราฟแสดงความสัมพันธ์ระหว่างอัตราการเปลี่ยนแปลงจากค่าเริ่มต้นของค่าการสูญเสียทางไอดิเล็กทริกกับความเค้นของเซรามิก 0.5PIN-0.5PT ที่ผ่านการทำข้าวడ៉ែវ



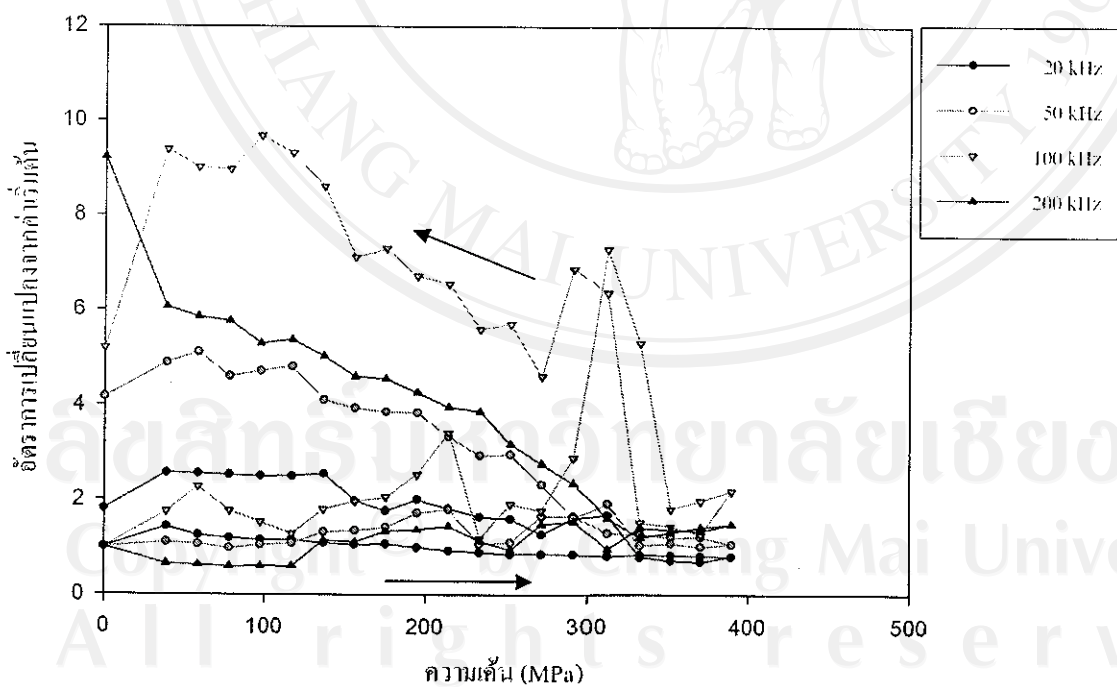
รูป 4.95 กราฟแสดงความสัมพันธ์ระหว่างค่าการสูญเสียทางไดอิเล็กทริกกับความเค้นของเซรามิก 0.6PIN-0.4PT ที่ผ่านการทำข้าวแล้ว



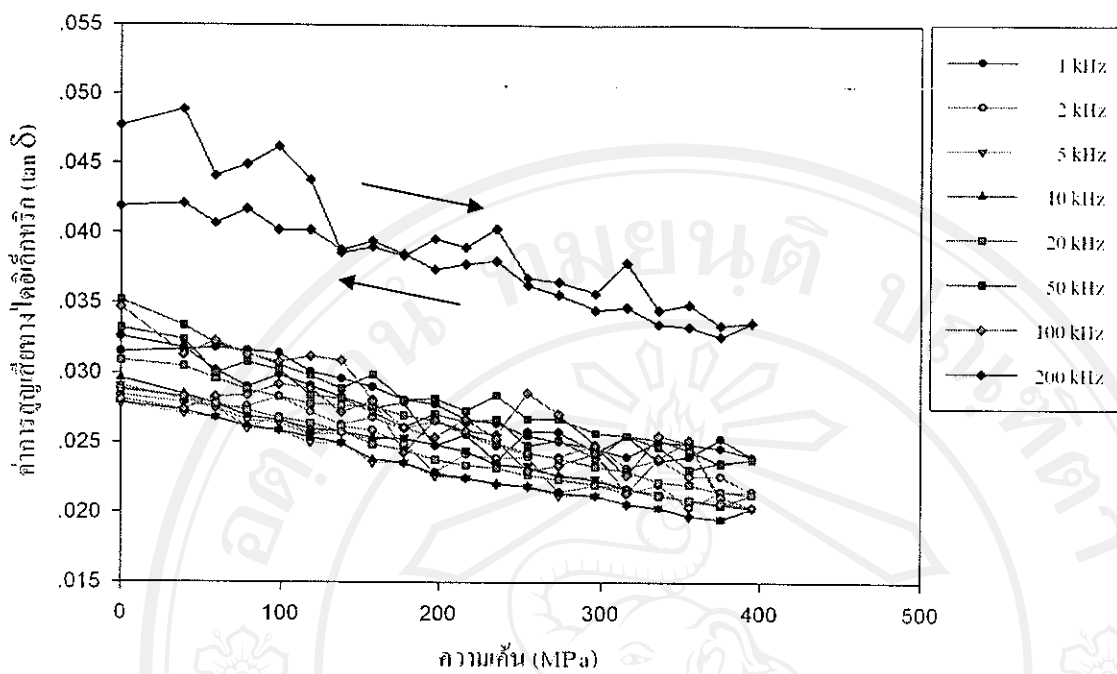
รูป 4.96 กราฟแสดงความสัมพันธ์ระหว่างอัตราการเปลี่ยนแปลงจากค่าเริ่มต้นของค่าการสูญเสียทางไดอิเล็กทริกกับความเค้นของเซรามิก 0.6PIN-0.4PT ที่ผ่านการทำข้าวแล้ว



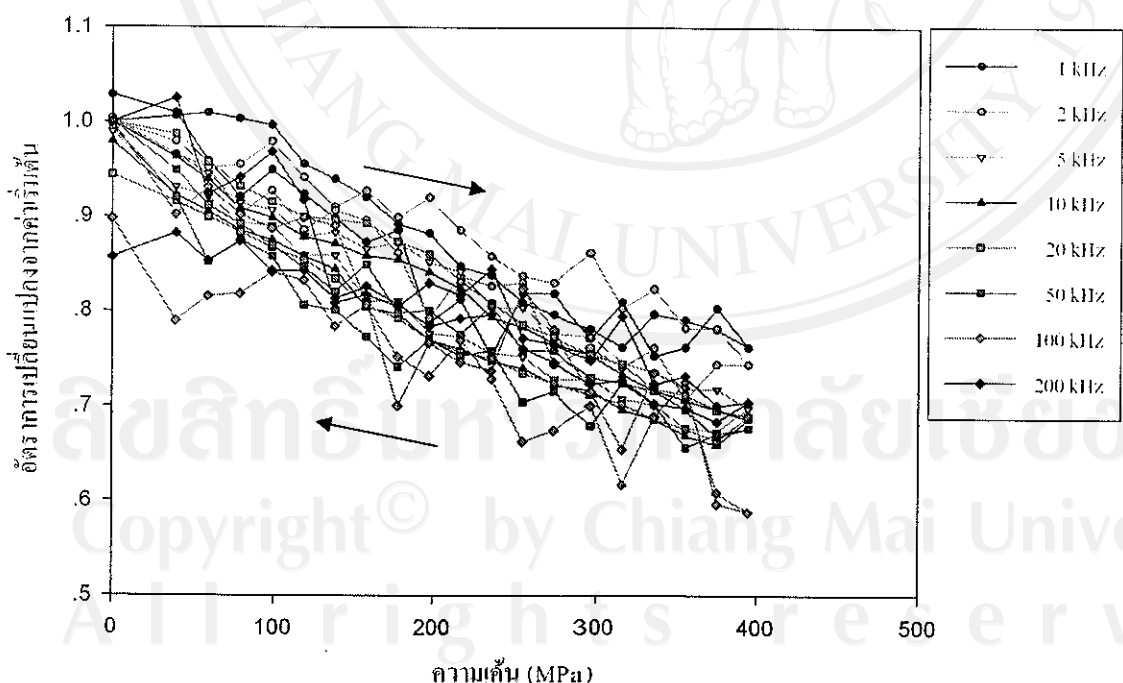
รูป 4.97 กราฟแสดงความสัมพันธ์ระหว่างค่าการสูญเสียทางไดอีเล็กทริกกับความดันของเซรามิก 0.7PIN-0.3PT ที่ผ่านการทำข้าวแล้ว



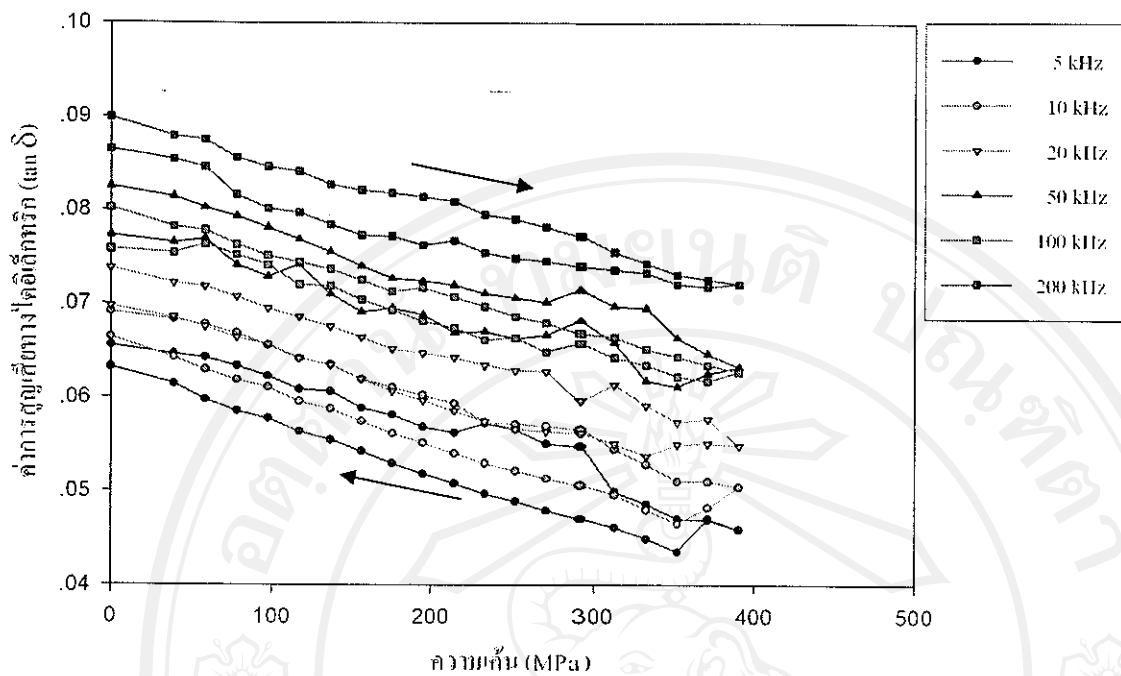
รูป 4.98 กราฟแสดงความสัมพันธ์ระหว่างอัตราการเปลี่ยนแปลงจากค่าเริ่มต้นของค่าการสูญเสียทางไดอีเล็กทริกกับความดันของเซรามิก 0.7PIN-0.3PT ที่ผ่านการทำข้าวแล้ว



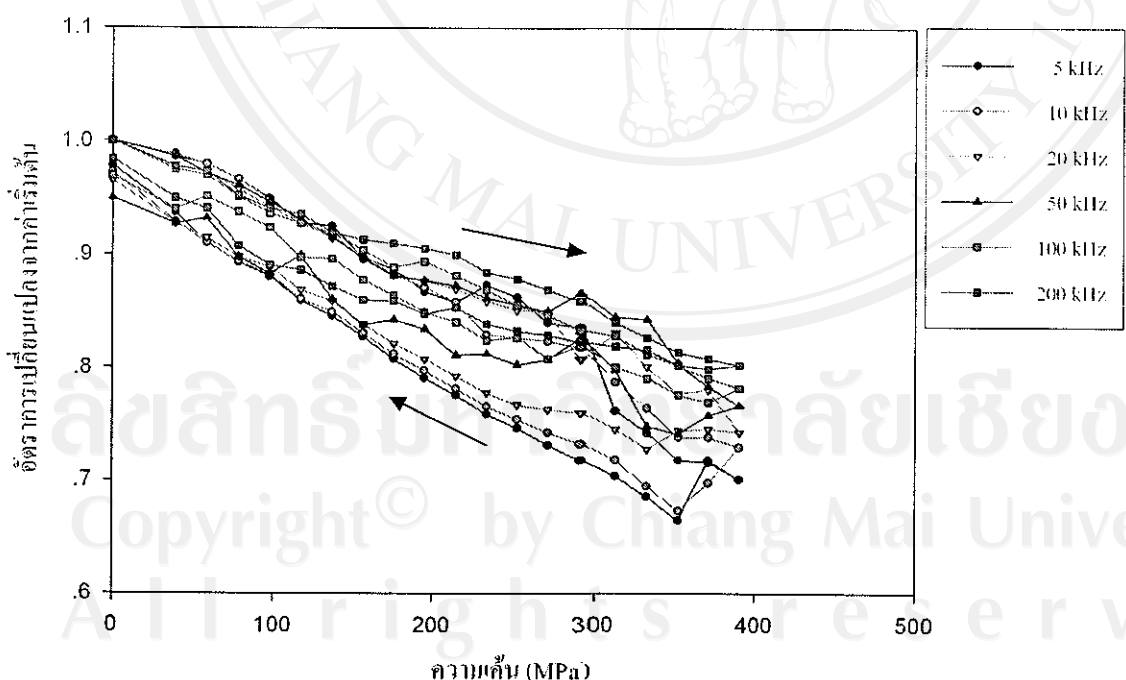
รูป 4.99 กราฟแสดงความสัมพันธ์ระหว่างค่าการสูญเสียทางไฟอิเล็กทริกกับความเค้นของเซรามิก 0.8PIN-0.2PT ที่ผ่านการทำข้าวแล้ว



รูป 4.100 กราฟแสดงความสัมพันธ์ระหว่างอัตราการเปลี่ยนแปลงจากค่าเริ่มต้นของค่าการสูญเสียทางไฟอิเล็กทริกกับความเค้นของเซรามิก 0.8PIN-0.2PT ที่ผ่านการทำข้าวแล้ว



รูป 4.101 กราฟแสดงความสัมพันธ์ระหว่างค่าการสูญเสียทางไดอิเล็กทริกกับความเค้นของเซรามิก 0.9PIN-0.1PT ที่ผ่านการทำข้าวแล้ว



รูป 4.102 กราฟแสดงความสัมพันธ์ระหว่างอัตราการเปลี่ยนแปลงจากค่าเริ่มต้นของค่าการสูญเสียทางไดอิเล็กทริกกับความเค้นของเซรามิก 0.9PIN-0.1PT ที่ผ่านการทำข้าวแล้ว

**4.8 ผลการศึกษาอิทธิพลของความเค้นแบบแคนเดี่ยวต่อสมบัติไดอิเล็กทริกของเซรามิกเคลต อินเดียมไนโตรเจน-เคลตไทเทเนต (PZT-PZN)**

**4.8.1 สารเซรามิก PZT-PZN ที่ยังไม่ผ่านการทำข้าว**

สำหรับเซรามิกในระบบ PZT-PZN ที่เตรียมໄค์และยังไม่ผ่านการทำข้าว เมื่อนำมาทำการศึกษาค่าคงที่ไดอิเล็กทริกภายใต้สภาวะความเค้น (0-450 MPa) พบว่าโดยส่วนใหญ่แล้ว ในช่วงของการเพิ่มความเค้นนั้น ค่าคงที่ไดอิเล็กทริกมีแนวโน้มที่ไม่แน่นอนซึ่งคล้ายกับผลการทดลองในสารเซรามิก PMN-PT และ PIN-PT เนื่องจากสมบัติต่างๆ ของสารเฟร์โรอิเล็กทริกจะเกิดจากการเปลี่ยนแปลงอันเนื่องมาจากผลของ โครงสร้างของโดเมนจะเกิดการเปลี่ยนแปลงทิศทางของโดเมน (domain switching) การจับกันของโดเมน (clamping of domain walls) การลดการเสื่อมสภาพ (de-aging) และการทำให้หมดสภาพความเป็นข้าว (de-poling) และการเคลื่อนที่ของผนังโดเมน (domain wall motions)[5,18,21,24] เพื่อให้โครงสร้างของโดเมนมีพัฒนาโดเมนที่ค่าน้อยที่สุด โดยยกเว้นในเซรามิก 0.8PZT-0.2PZN ซึ่งมีแนวโน้มการเปลี่ยนแปลงค่าคงที่ไดอิเล็กทริกที่ลดลงอย่างชัดเจน (รูป 4.103-4.112) ซึ่งการเปลี่ยนแปลงนี้คล้ายกับผลการทดลองในเซรามิก 0.9PMN-0.1PT โดย Zhao และคณะ[16] ที่พบว่าค่าคงที่ไดอิเล็กทริกมีค่าลดลงเมื่อความเค้นเพิ่มขึ้น (0-150 MPa) ซึ่งอาจจะเป็นผลมาจากการที่ผนังโดเมนก็ได้จับกัน ผนังโดเมนจึงมีการเคลื่อนที่น้อยลง ดังนั้นจึงทำให้ค่าคงที่ไดอิเล็กทริกมีค่าลดลง โดยจากการทดลองพบว่าการเปลี่ยนแปลงที่ไม่แน่นอนในเซรามิก 0.5PZT-0.5PZN จะมีค่าเพิ่มขึ้นในช่วงเริ่มให้ความเค้นจนถึงค่าประมาณ 50 MPa และจะค่อยๆลดลงในช่วงความเค้น 50-190 MPa หลังจากนั้นค่าคงที่ไดอิเล็กทริกจะเพิ่มขึ้นอีกรอบในช่วงความเค้น 190-300 MPa แล้วจึงมีค่าลดลงอีกรอบ โดยการเปลี่ยนแปลงของค่าคงที่ไดอิเล็กทริกโดยรวมมีแนวโน้มลดลงเล็กน้อยในช่วงความเค้น 0-450 MPa (รูป 4.103-4.104) ส่วนในเซรามิก 0.6PZT-0.4PZN ค่าคงที่ไดอิเล็กทริกเพิ่มขึ้นอย่างชัดเจนในช่วง 0-150 MPa แล้วจึงเริ่มค่อยๆลดลงเมื่อความเค้นยังคงเพิ่มขึ้น ในขณะที่เซรามิก 0.7PZT-0.3PZN การเปลี่ยนแปลงของค่าคงที่ไดอิเล็กทริกจะขึ้นอยู่กับความถี่ โดยที่ในความถี่สูงค่าคงที่ไดอิเล็กทริกมีค่าเพิ่มขึ้นอย่างเล็กน้อยในช่วง 0-200 MPa แล้วจึงเริ่มลดลงโดยยังคงมีแนวโน้มโดยรวมเพิ่มขึ้นเล็กน้อย ในขณะที่ความถี่ต่ำมีการเปลี่ยนแปลงของค่าคงที่ไดอิเล็กทริกที่ไม่แน่นอน ดังรูปที่ 4.107-4.108 และสำหรับเซรามิก 0.9PZT-0.1PZN ค่าคงที่ไดอิเล็กทริกเพิ่มขึ้นอย่างชัดเจนในช่วง 0-110 MPa หลังจากนั้นจึงเริ่มลดลงเมื่อยังคงเพิ่มความเค้น (รูป 4.111-4.112)

หลังจากที่เพิ่มความเค้นให้กับเซรามิก PZT-PZN จนถึงประมาณ 450 MPa จึงได้เริ่มลดความเค้นลง พบว่ามีการเปลี่ยนแปลงของค่าคงที่ไดอิเล็กทริกที่แตกต่างกันในแต่ละองค์ประกอบของสารเซรามิก PZT-PZN โดยในเซรามิก 0.5PZT-0.5PZN ,0.6PZT-0.4PZN และ 0.7PZT-0.3PZN

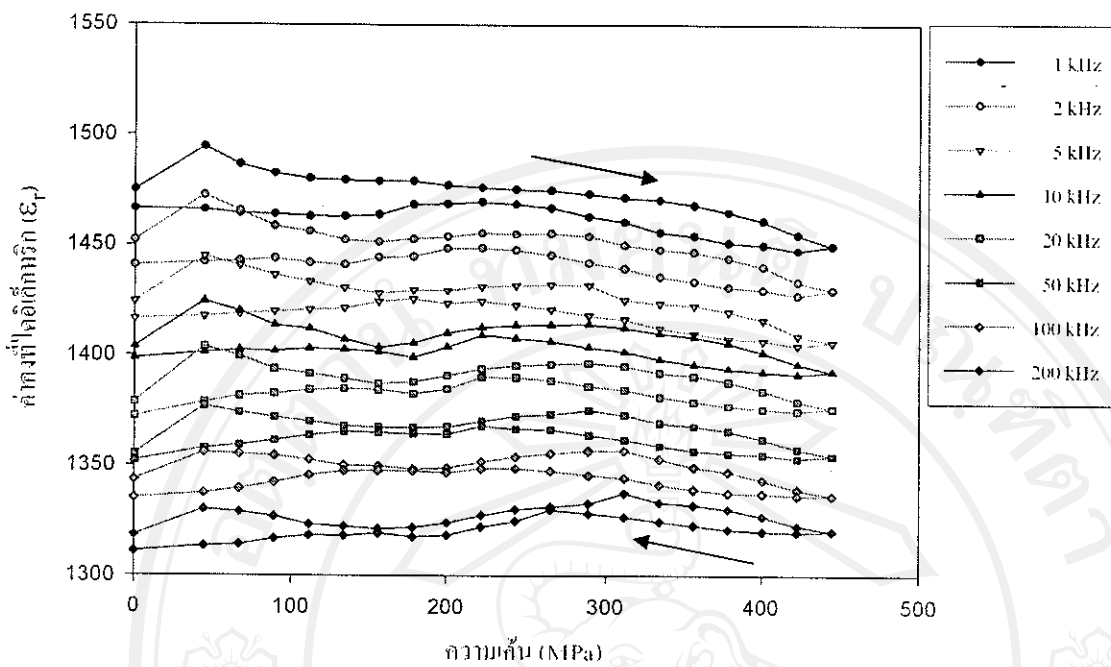
(เมื่อวัดที่ความถี่ต่ำๆ) พนวจจะมีค่าเพิ่มขึ้นเมื่อความเค้นลดลง สำหรับเซรามิก 0.7PZT-0.3PZN(เฉพาะที่ความถี่สูงๆ) ,0.8PZT-0.2PZN และ 0.9PZT-0.1PZN ค่าคงที่ไดอิเล็กทริกจะเพิ่มขึ้นในช่วงแรกของการให้ความเค้น หลังจากนั้นจะมีค่าลดลงโดยจะเพิ่มขึ้นจนกระทั่งถึงความเค้นประมาณ 200 MPa อย่างไรก็ตามค่าคงที่ไดอิเล็กทริกในช่วงลดความเค้นของเซรามิก PZT-PZN ทุกองค์ประกอบจะมีค่าที่แตกต่างกันในช่วงที่เพิ่มความเค้นมาก ซึ่งแสดงว่าการให้ความเค้นในระดับ 0-450 MPa จะก่อให้เกิดการเปลี่ยนแปลงอย่างถาวรต่อโครงสร้างหรือโครงสร้างภายในของเซรามิก PZT-PZN



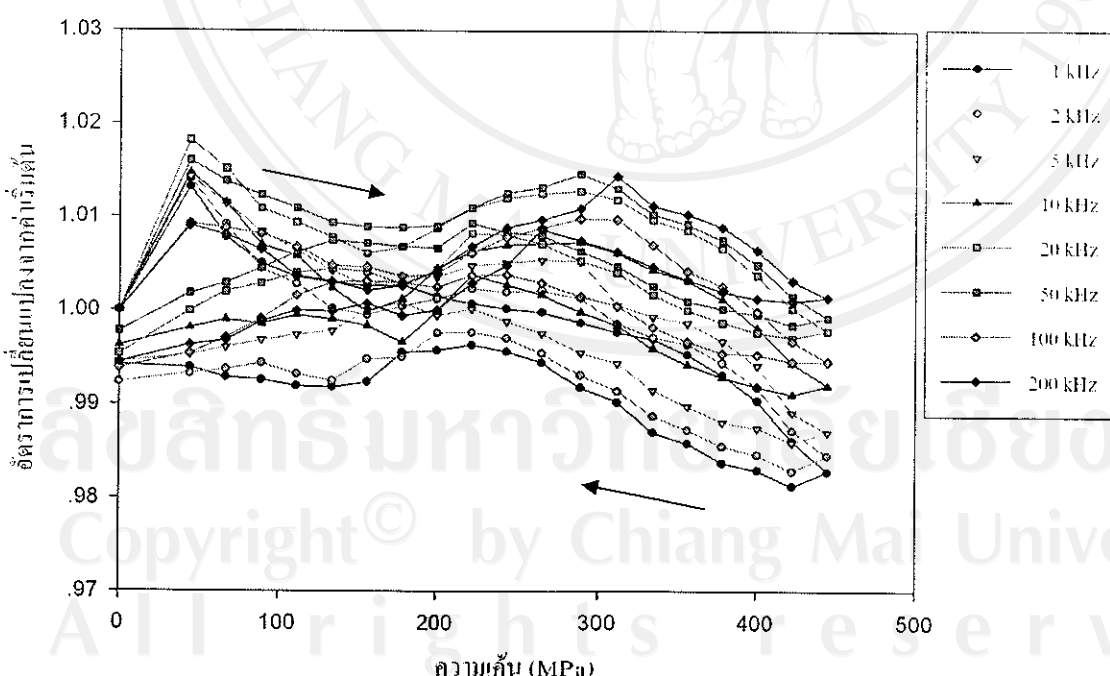
ลิขสิทธิ์มหาวิทยาลัยเชียงใหม่

Copyright<sup>©</sup> by Chiang Mai University

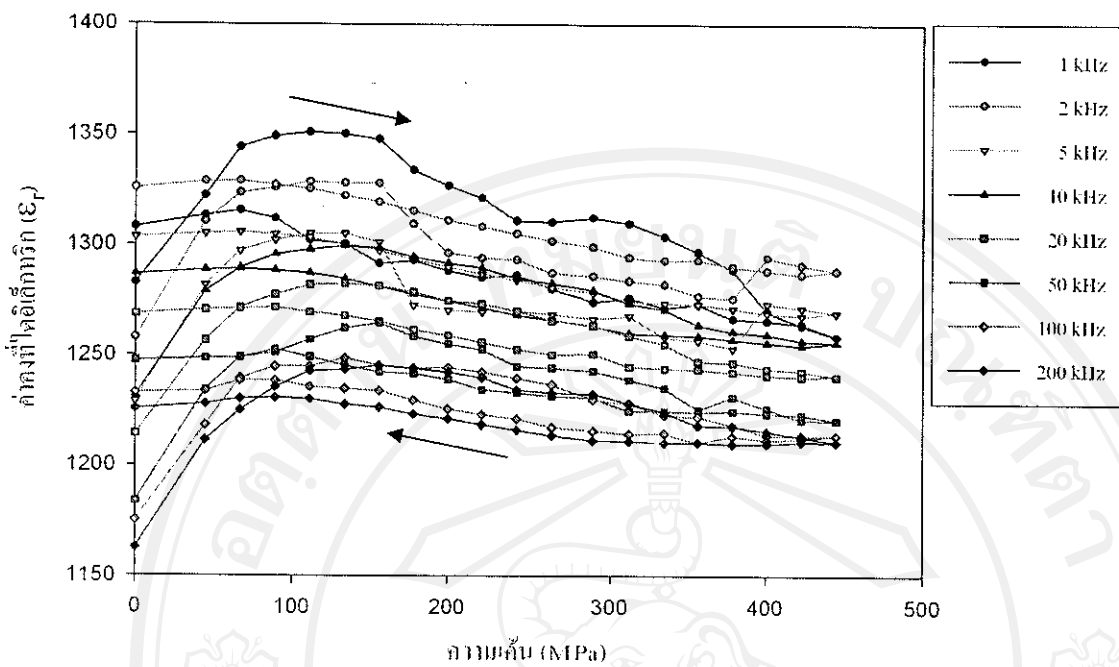
All rights reserved



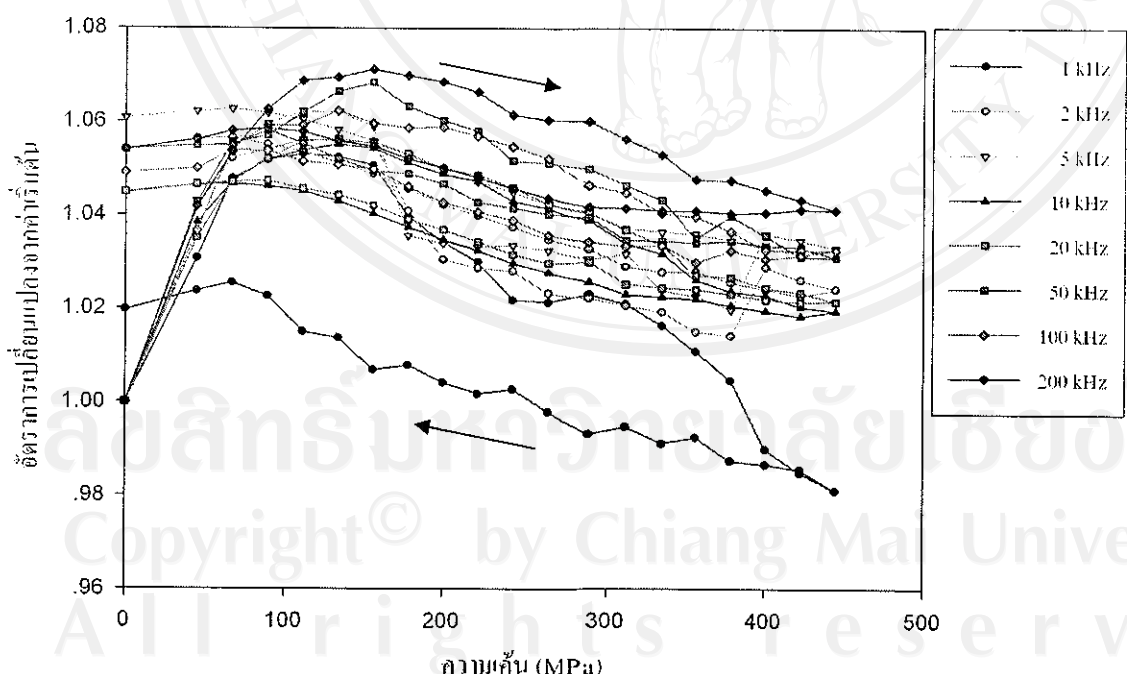
รูป 4.103 กราฟแสดงความสัมพันธ์ระหว่างค่าคงที่ไดอิเล็กทริกกับความเค้นของเซรามิก 0.5PZT-0.5PZN ที่ยังไม่ผ่านการทำข้าว



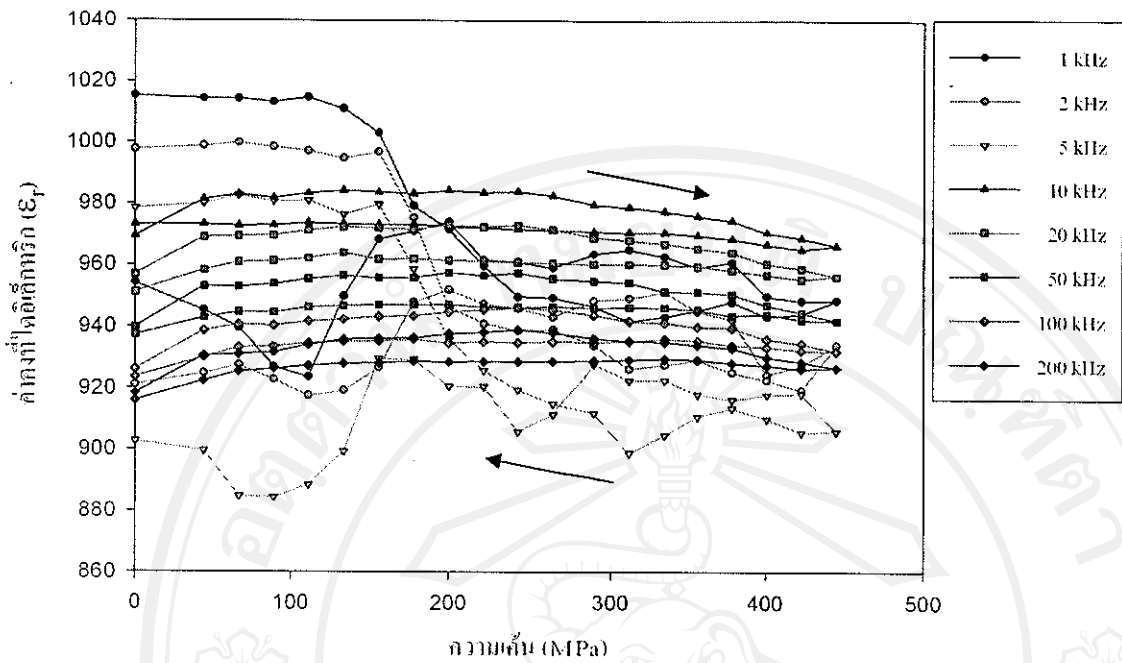
รูป 4.104 กราฟแสดงความสัมพันธ์ระหว่างอัตราการเปลี่ยนแปลงจากค่าเริ่มต้นของค่าคงที่ไดอิเล็กทริกกับความเค้นของเซรามิก 0.5PZT-0.5PZN ที่ยังไม่ผ่านการทำข้าว



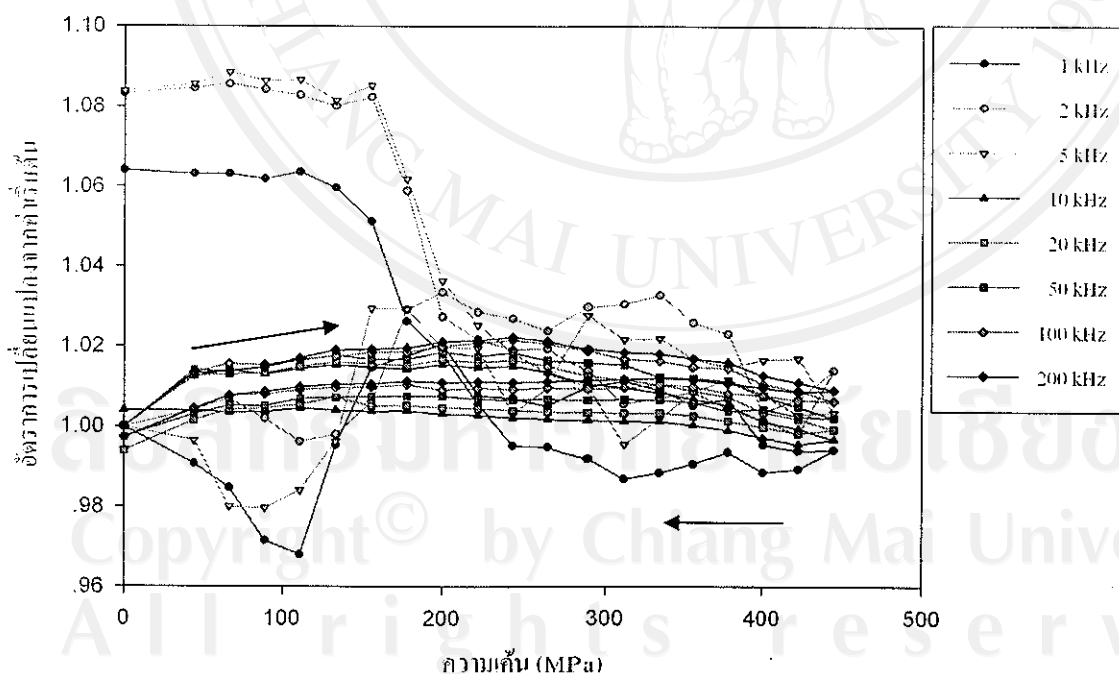
รูป 4.105 กราฟแสดงความสัมพันธ์ระหว่างค่าคงที่ไดอีเล็กทริกกับความเค้นของเซรามิก 0.6PZT-0.4PZN ที่ยังไม่ผ่านการทำข้าว



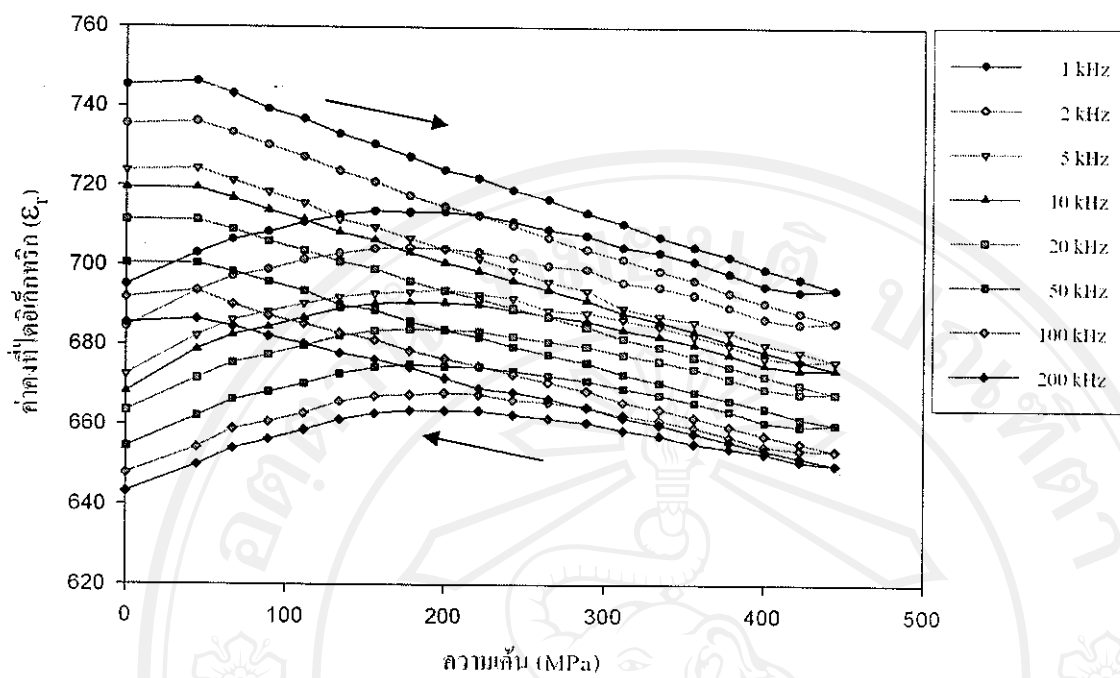
รูป 4.106 กราฟแสดงความสัมพันธ์ระหว่างอัตราการเปลี่ยนแปลงจากค่าเริ่มต้นของค่าคงที่ไดอีเล็กทริกกับความเค้นของเซรามิก 0.6PZT-0.4PZN ที่ยังไม่ผ่านการทำข้าว



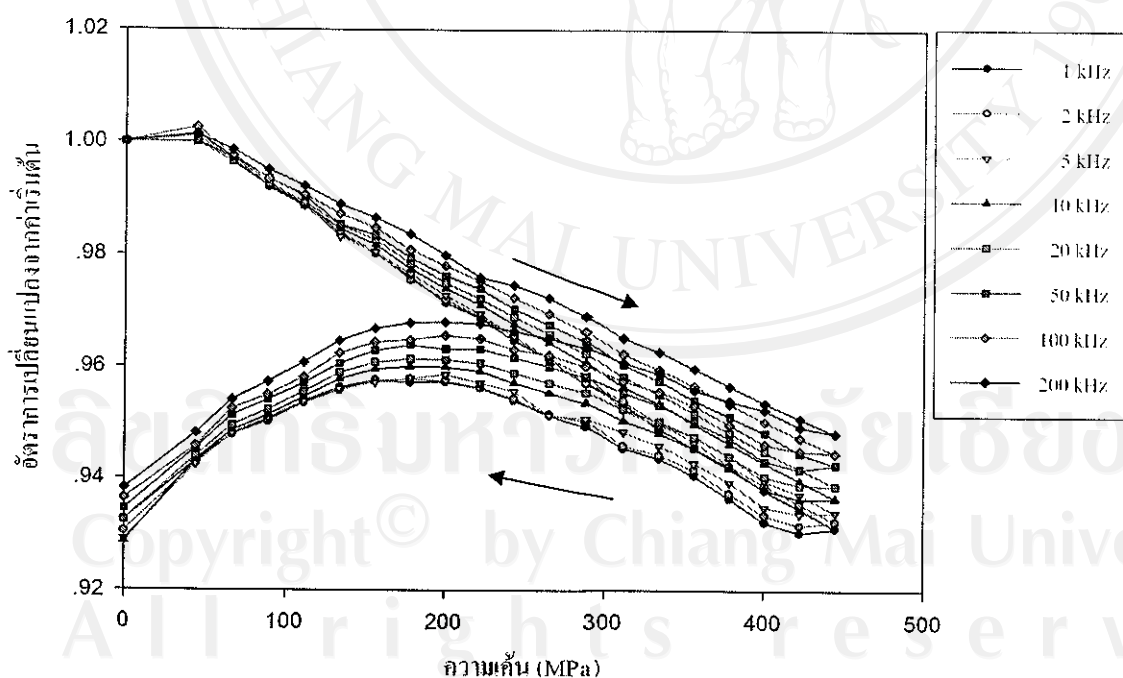
รูป 4.107 กราฟแสดงความสัมพันธ์ระหว่างค่าคงที่ไดอิเล็กทริกกับความเค้นของเซรามิก 0.7PZT-0.3PZN ที่ยังไม่ผ่านการทำขี้ว



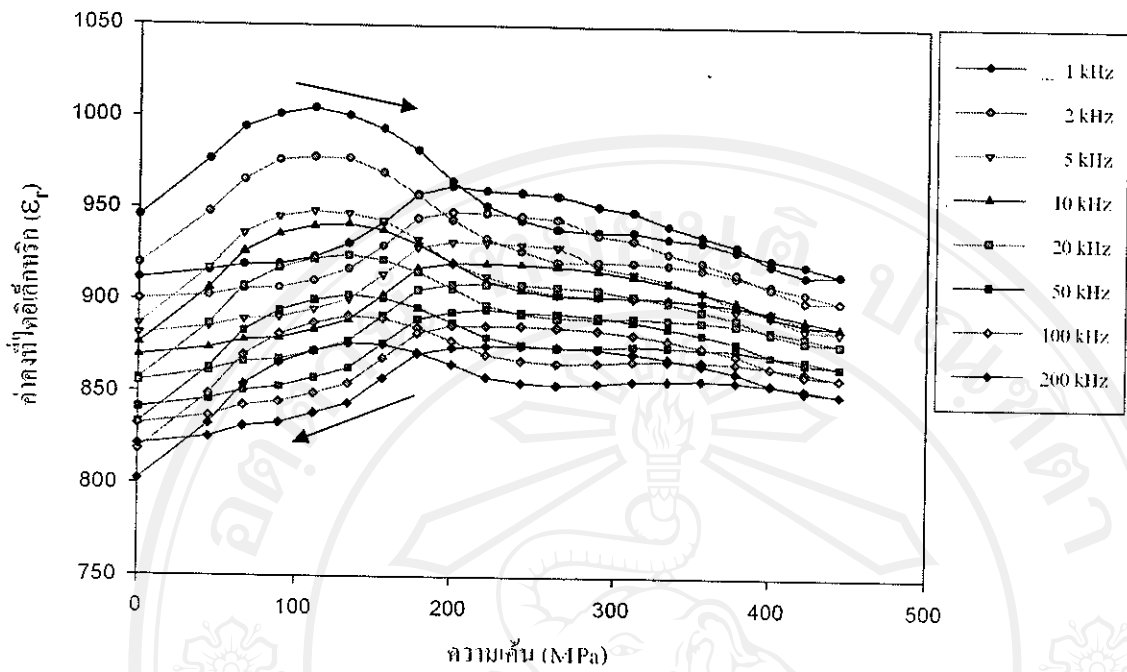
รูป 4.108 กราฟแสดงความสัมพันธ์ระหว่างอัตราการเปลี่ยนแปลงจากค่าเริ่มต้นของค่าคงที่ไดอิเล็กทริกกับความเค้นของเซรามิก 0.7PZT-0.3PZN ที่ยังไม่ผ่านการทำขี้ว



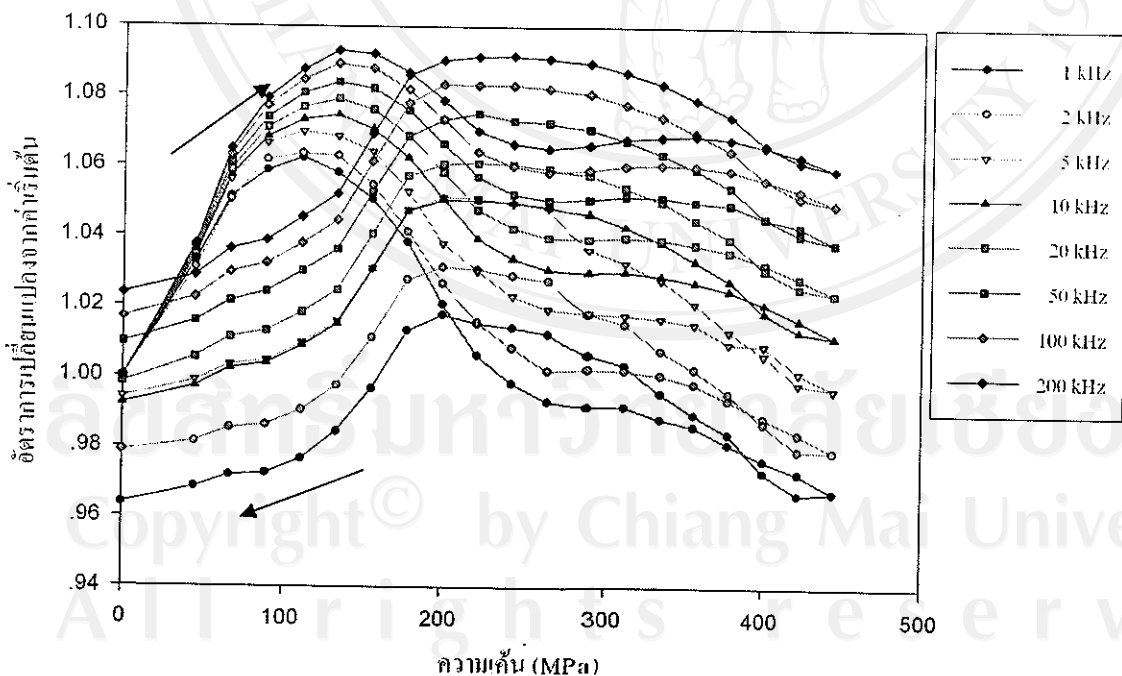
รูป 4.109 กราฟแสดงความสัมพันธ์ระหว่างค่าคงที่ไดอิเล็กทริกกับความดันของเซรามิก 0.8PZT-0.2PZN ที่ยังไม่ผ่านการทำข้าว



รูป 4.110 กราฟแสดงความสัมพันธ์ระหว่างอัตราการเปลี่ยนแปลงจากค่าเริ่มต้นของค่าคงที่ไดอิเล็กทริกกับความดันของเซรามิก 0.8PZT-0.2PZN ที่ยังไม่ผ่านการทำข้าว

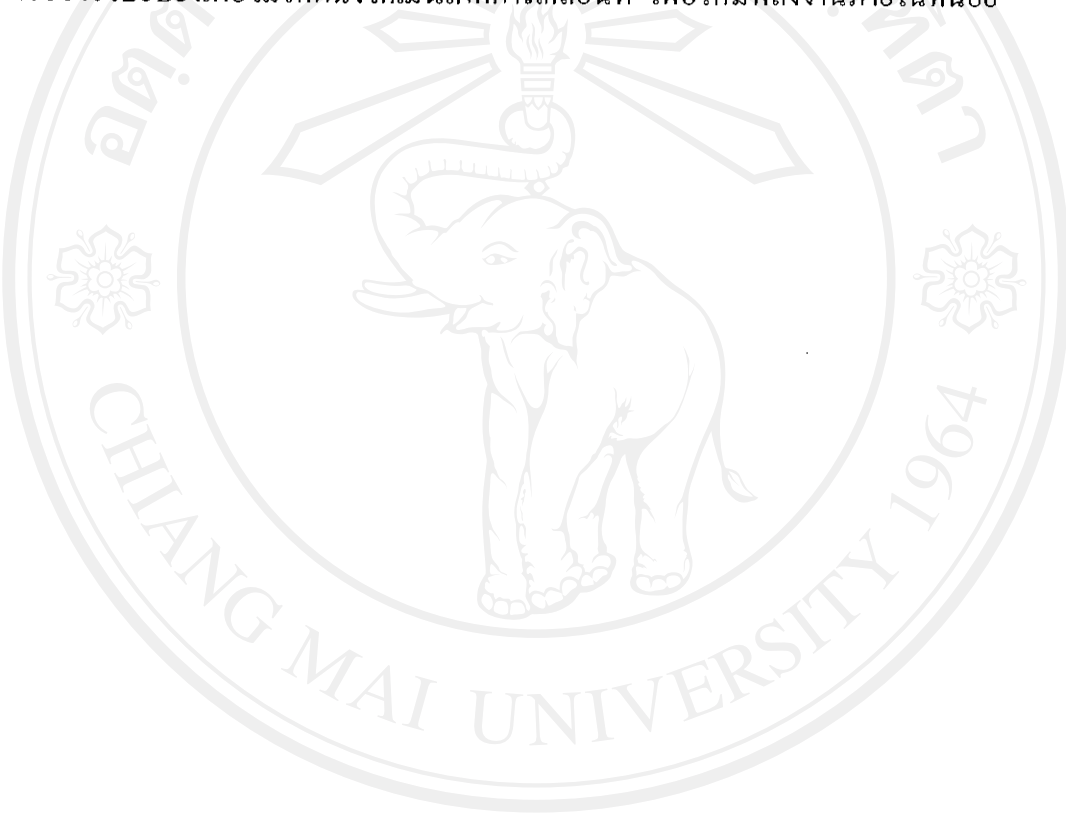


รูป 4.111 กราฟแสดงความสัมพันธ์ระหว่างค่าคงที่ไดอีเล็กทริกกับความเค็นของเซรามิก 0.9PZT-0.1PZN ที่ยังไม่ผ่านการทำข้าว

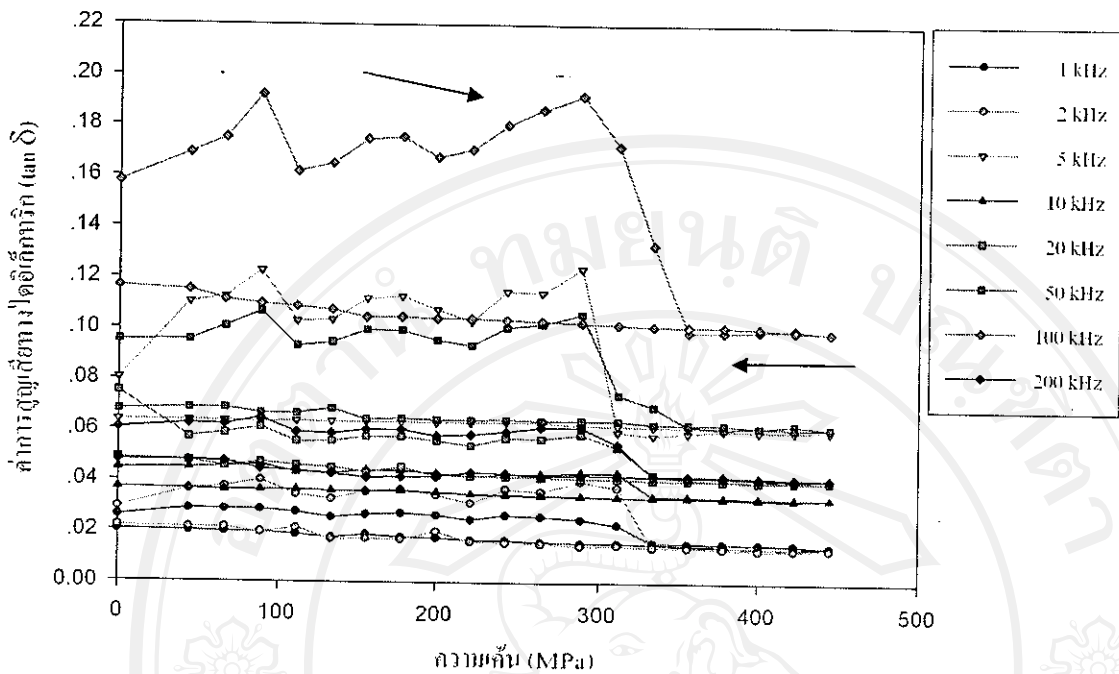


รูป 4.112 กราฟแสดงความสัมพันธ์ระหว่างอัตราการเปลี่ยนแปลงจากค่าเริ่มต้นของค่าคงที่ไดอีเล็กทริกกับความเค็นของเซรามิก 0.9PZT-0.1PZN ที่ยังไม่ผ่านการทำข้าว

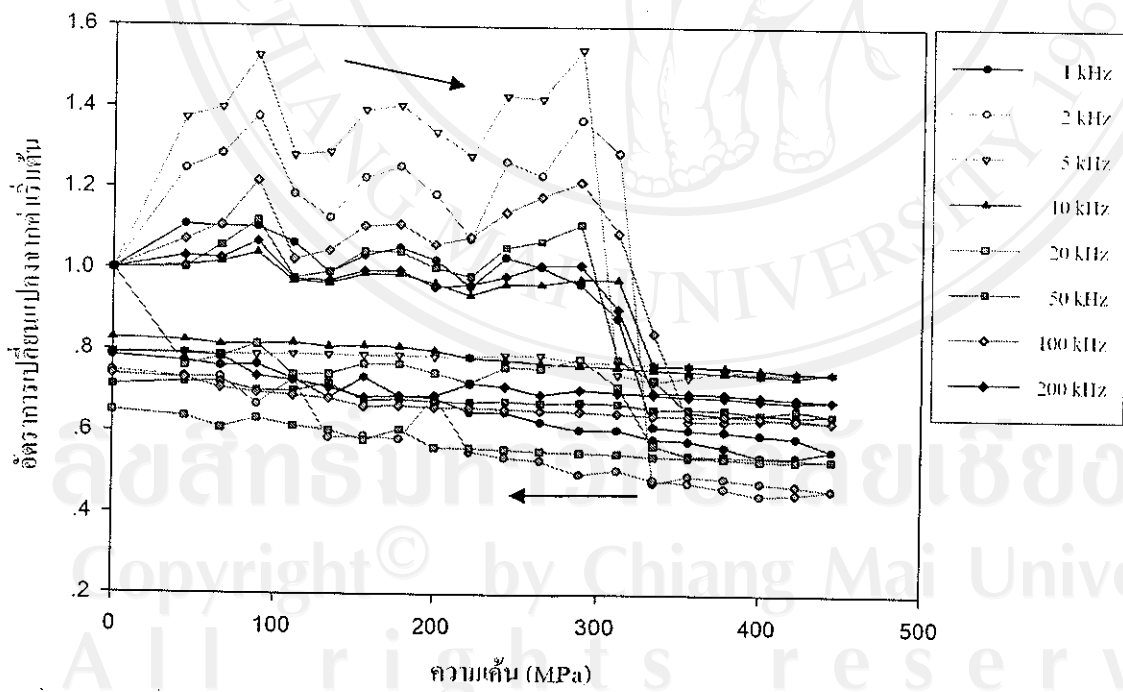
สำหรับในส่วนของค่าการสูญเสียทางไอดิจิทิกภายในอิทธิพลของความเค้น พบว่าในเซรามิก PZT-PZN ทุกอย่างที่ประกอบจะมีการเปลี่ยนแปลงของค่าการสูญเสียทางไอดิจิทิกที่ไม่แน่นอน แต่อย่างไรก็ต้องรวมของการเปลี่ยนแปลงค่าการสูญเสียทางไอดิจิทิกที่ไม่โดยรวมลดลงเมื่อความเค้นเพิ่มขึ้นซึ่งคล้ายกับผลการทดลองในสารเซรามิก PMN-PT และ PIN-PT และในระหว่างการลดความเค้นลงนั้นพบว่าค่าการสูญเสียทางไอดิจิทิกมีแนวโน้มเพิ่มขึ้น ดังรูป 4.113-4.122 ซึ่งคาดว่าน่าจะเป็นผลจากการที่ความเค้นไปบีบบังคับให้เกิดการจัดเรียงทิศทางใหม่ของโคลเมน หรืออาจไปยันยึดเพื่อไม่ให้ผันผวนโดยมีการเคลื่อนที่ เพื่อให้มีพลังงานภายในที่น้อยที่สุด[15,16]



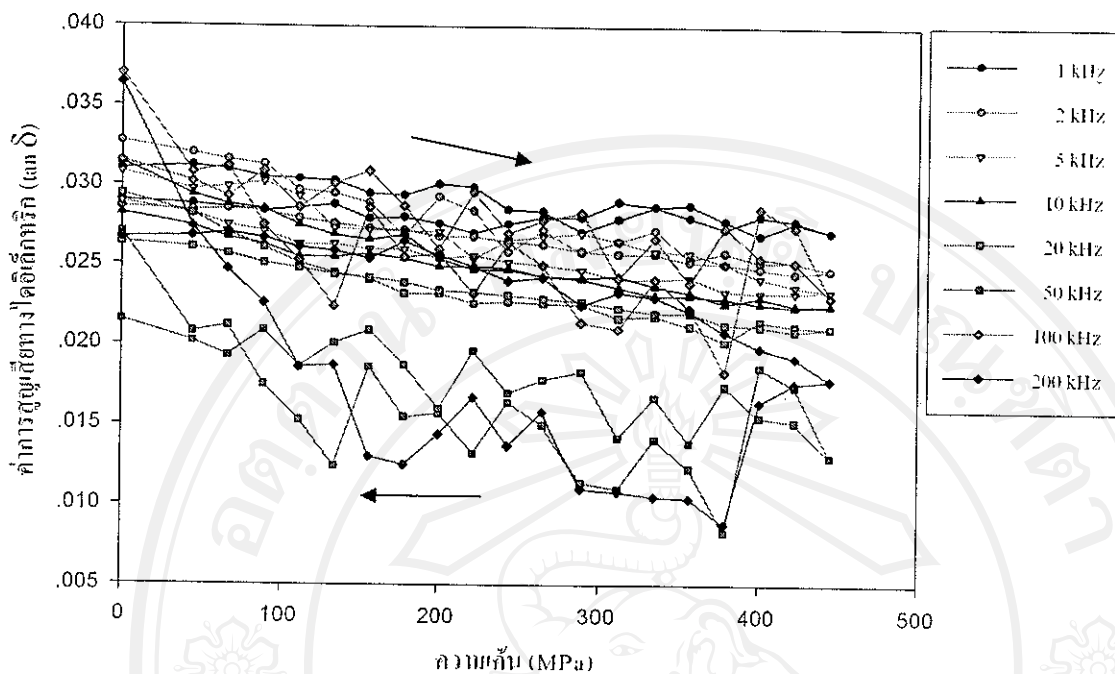
ลิขสิทธิ์มหาวิทยาลัยเชียงใหม่  
Copyright © by Chiang Mai University -  
All rights reserved



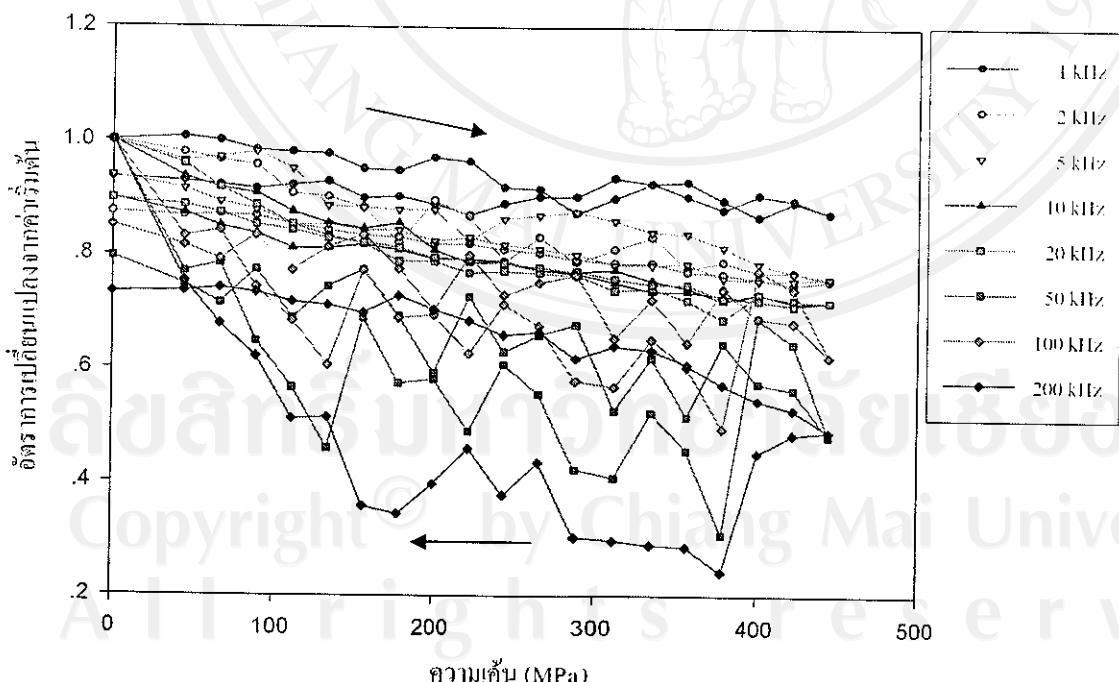
รูป 4.113 ภาพแสดงความสัมพันธ์ระหว่างค่าการสูญเสียทางไอดอลีคทริกกับความเค้นของเซรามิก



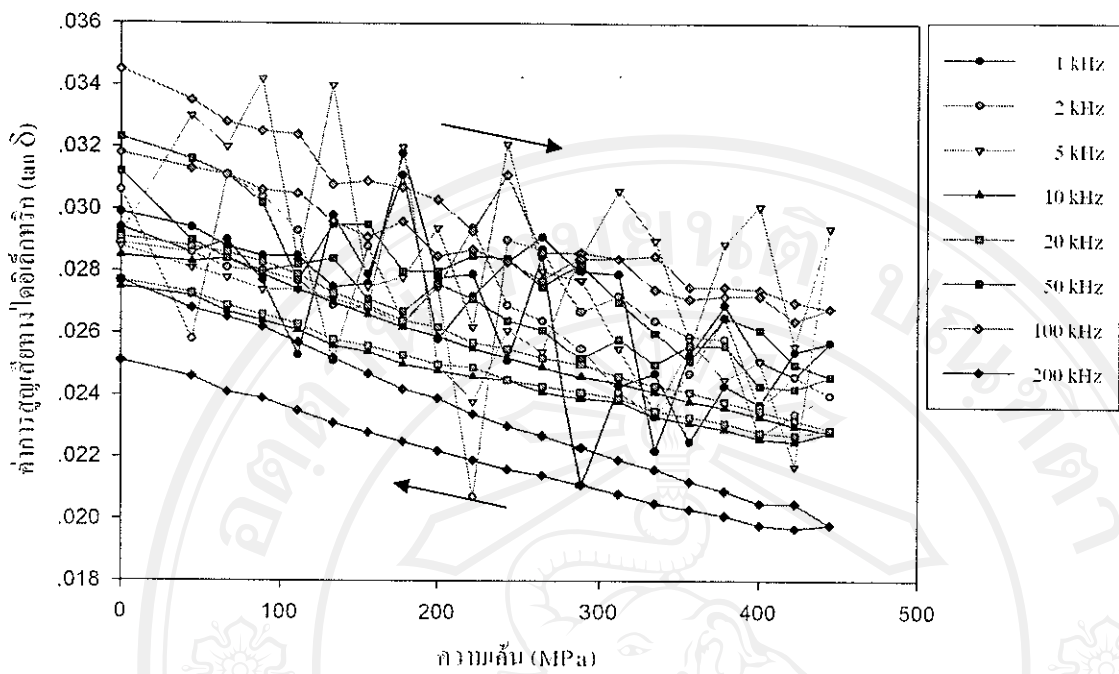
รูป 4.114 ภาพแสดงความสัมพันธ์ระหว่างอัตราการเปลี่ยนแปลงจากค่าเริ่มต้นของค่าการสูญเสียทางไอดอลีคทริกกับความเค้นของเซรามิก 0.5PZT-0.5PZN ที่ยังไม่ผ่านการทำข้าว



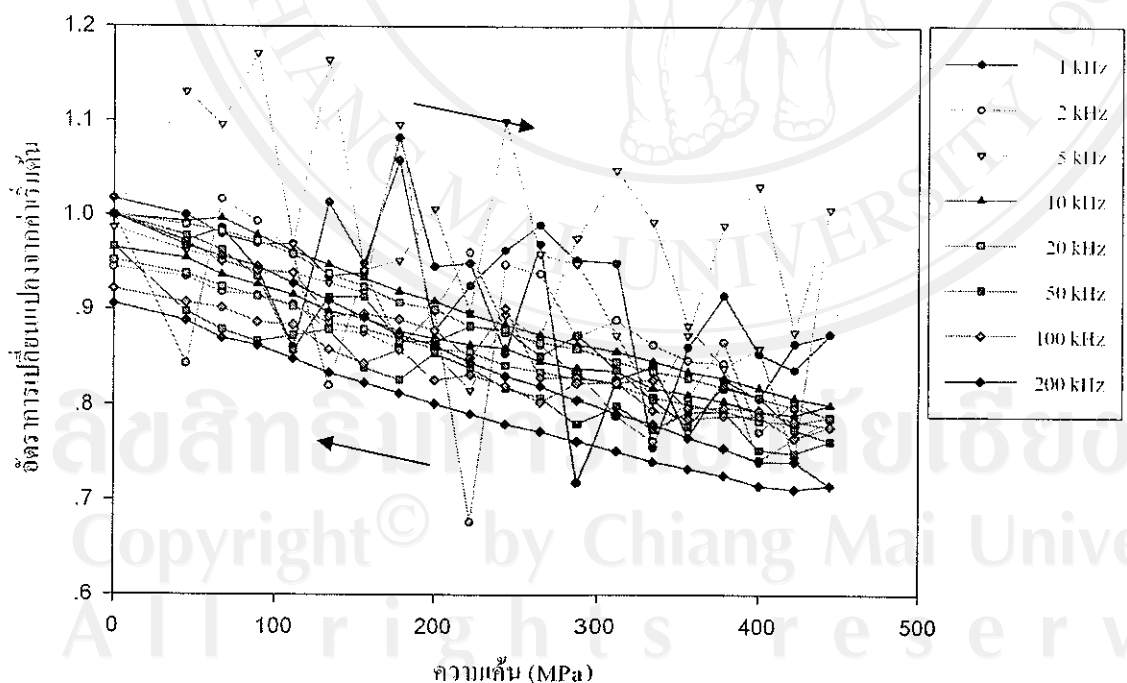
รูป 4.115 กราฟแสดงความสัมพันธ์ระหว่างค่าการสูญเสียทางไดอีเล็กทริกกับความดันของเซรามิก 0.6PZT-0.4PZN ที่ยังไม่ผ่านการทำข้าว



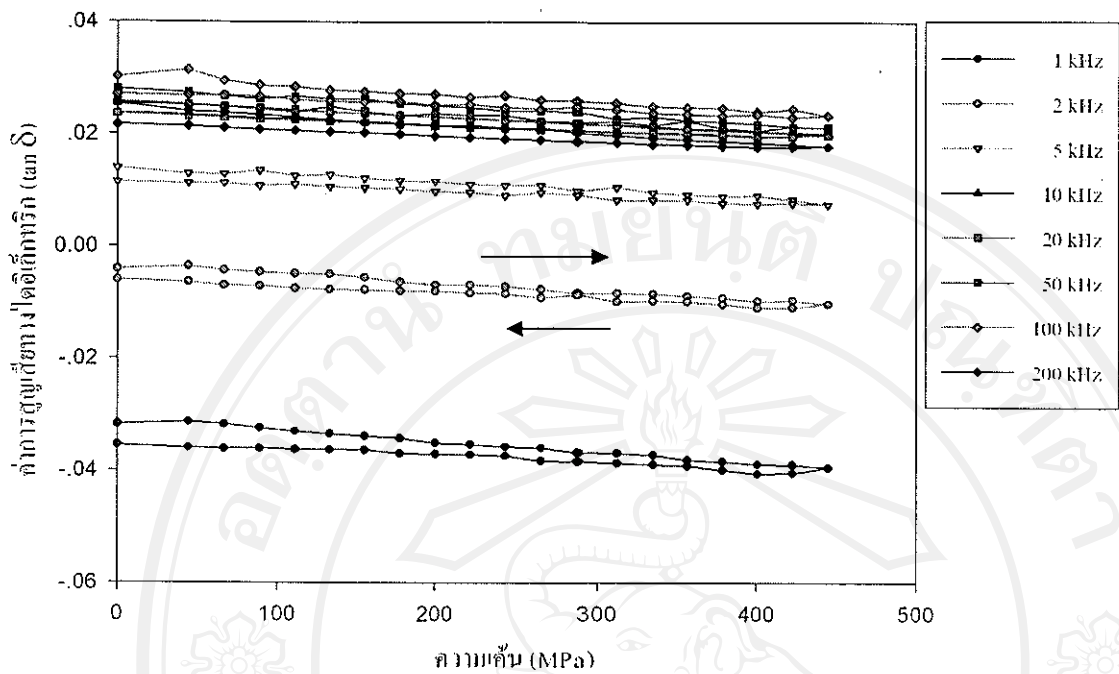
รูป 4.116 กราฟแสดงความสัมพันธ์ระหว่างอัตราการเปลี่ยนแปลงจากค่าเริ่มต้นของค่าการสูญเสียทางไดอีเล็กทริกกับความดันของเซรามิก 0.6PZT-0.4PZN ที่ยังไม่ผ่านการทำข้าว



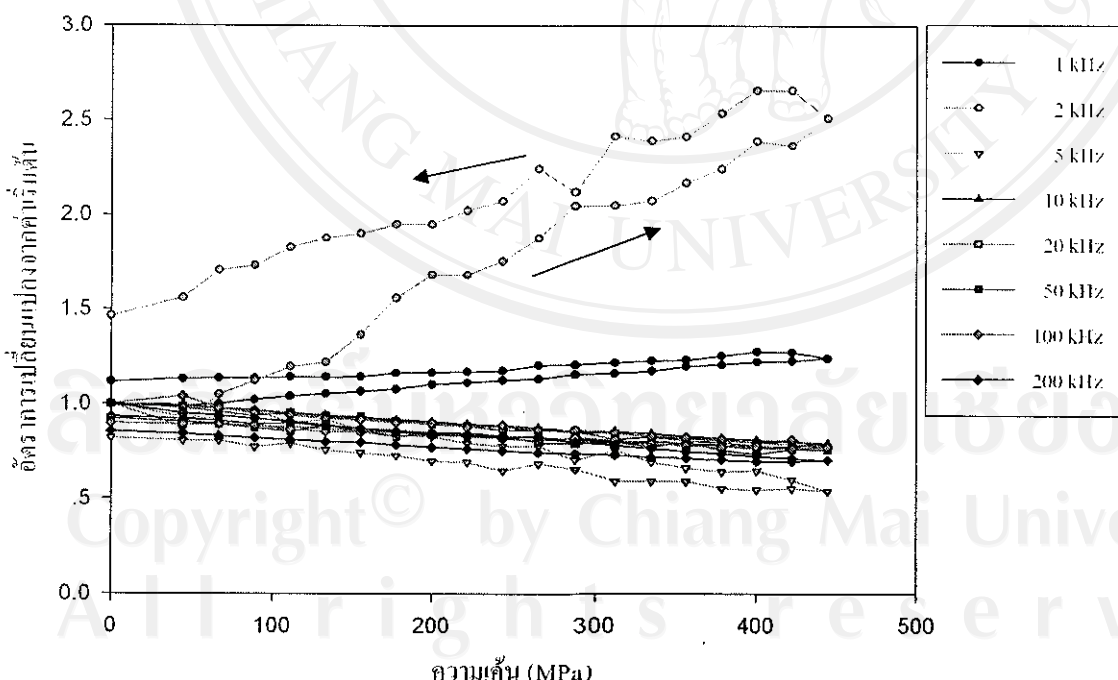
รูป 4.117 กราฟแสดงความสัมพันธ์ระหว่างค่าการสูญเสียทางไดอิเล็กทริกกับความเดินของเซรามิก 0.7PZT-0.3PZN ที่ยังไม่ผ่านการทำข้าว



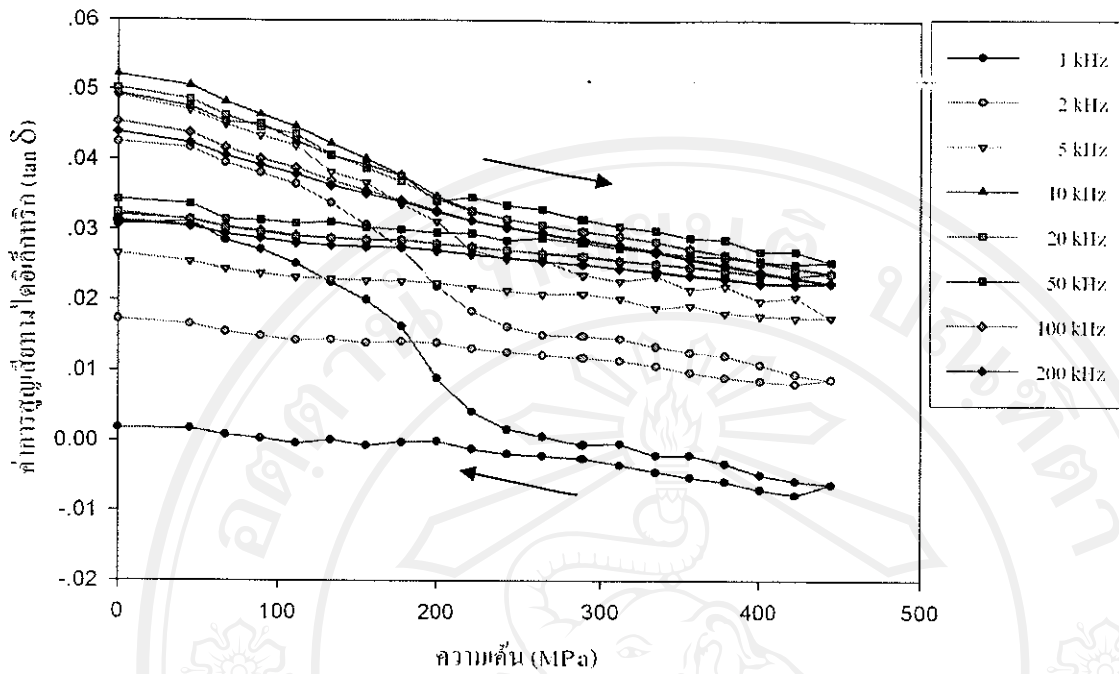
รูป 4.118 กราฟแสดงความสัมพันธ์ระหว่างอัตราการเปลี่ยนแปลงจากค่าเริ่มต้นของการสูญเสียทางไดอิเล็กทริกกับความเดินของเซรามิก 0.7PZT-0.3PZN ที่ยังไม่ผ่านการทำข้าว



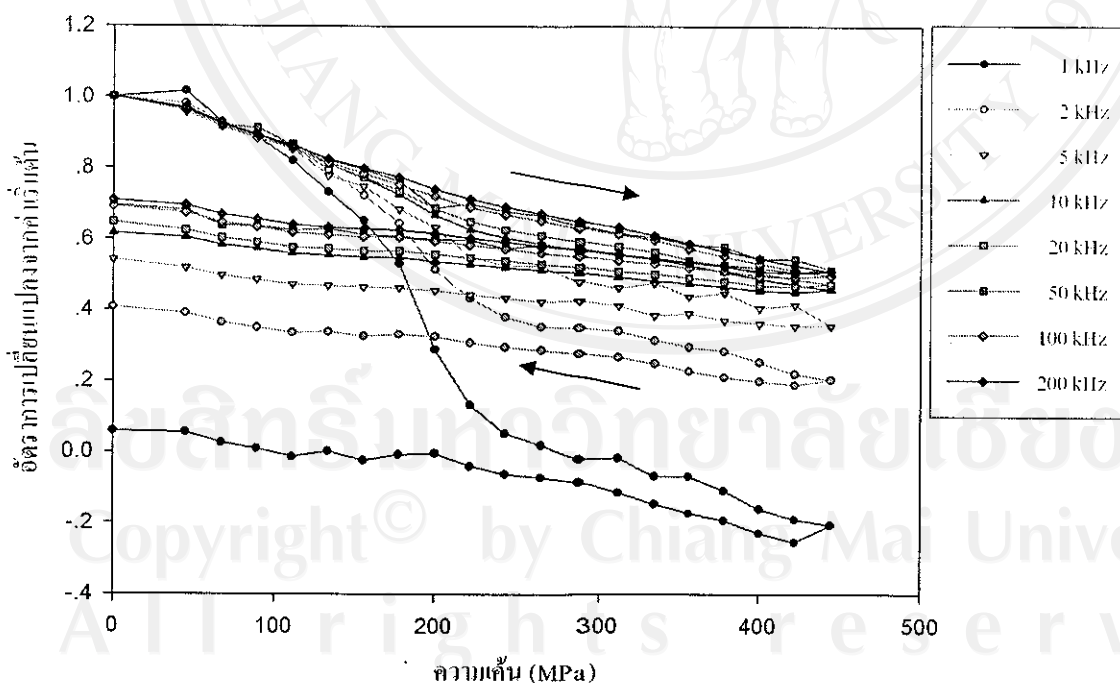
รูป 4.119 กราฟแสดงความสัมพันธ์ระหว่างค่าการสูญเสียทางไดอิเล็กทริกกับความดันของเซรามิก 0.8PZT-0.2PZN ที่ยังไม่ผ่านการทำข้าว



รูป 4.120 กราฟแสดงความสัมพันธ์ระหว่างอัตราการเปลี่ยนแปลงจากค่าเริ่มต้นของค่าการสูญเสียทางไดอิเล็กทริกกับความดันของเซรามิก 0.8PZT-0.2PZN ที่ยังไม่ผ่านการทำข้าว



รูป 4.121 กราฟแสดงความสัมพันธ์ระหว่างค่าการสูญเสียทางไดอิเล็กทริกกับความดันของเซรามิก 0.9PZT-0.1PZN ที่ยังไม่ผ่านการทำข้าว



รูป 4.122 กราฟแสดงความสัมพันธ์ระหว่างอัตราการเปลี่ยนแปลงจากค่าเริ่มต้นของค่าการสูญเสียทางไดอิเล็กทริกกับความดันของเซรามิก 0.9PZT-0.1PZN ที่ยังไม่ผ่านการทำข้าว

#### 4.8.2 กรณีสารเซรามิก PZT-PZN ที่ผ่านการทำข้าวแสล็ว

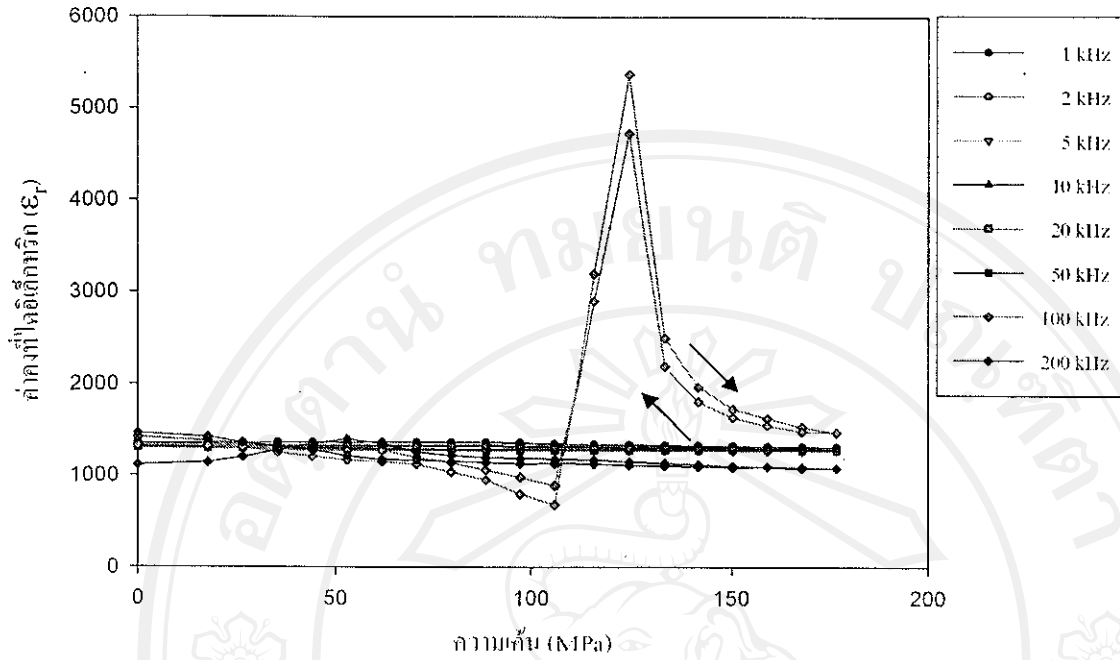
เมื่อนำเซรามิกในระบบ PZT-PZN ที่ผ่านการทำข้าวแสล็วมาศึกษาสมบัติไดอิเล็กทริกภายใต้ความเค้น (0-450 MPa) พบร้าค่าคงที่ไดอิเล็กทริกมีแนวโน้มลดลงอย่างชัดเจนเมื่อความเค้นเพิ่มขึ้น ในทุกของค์ประกอบ ดังรูป 4.123-4.132 โดยจะพบว่าสำหรับเซรามิก 0.9PZT-0.1PZN แสดงการลดลงของค่าคงที่ไดอิเล็กทริกอย่างมากและชัดเจนที่สุด นอกจากนี้ยังพบว่าที่ความถี่ 100 Hz ในเซรามิก 0.5PZT-0.5PZN ,0.6PZT-0.4PZN และ 0.8PZT-0.2PZN จะมีการเปลี่ยนแปลงของค่าคงที่ไดอิเล็กทริกที่ไม่แน่นอน โดยมีการเพิ่มขึ้นและลดลงของค่าคงที่ไดอิเล็กทริกอย่างรวดเร็วมากเมื่อเพิ่มความเค้นจนถึงค่าๆหนึ่งคล้ายกับเกิดการสั่นพ้องของโพลาไรซ์เช่นนี้ภายในเซรามิกซึ่งไม่เกยพนพลดาราลดลงในลักษณะนี้มาก่อน โดยที่ 0.5PZT-0.5PZN เริ่มเกิดปรากฏการณ์นี้ที่ความเค้น 130 MPa ในขณะที่ 0.6PZT-0.4PZN เริ่มเกิดขึ้นที่ความเค้น 110 MPa และ 0.8PZT-0.2PZN จะเริ่มเกิดขึ้นที่ความเค้น 100 MPa ซึ่งการที่ส่วนใหญ่ค่าคงที่ไดอิเล็กทริกลดลงเมื่อให้ความเค้นแบบแทนเดียวเข้าไปในเซรามิก โดยมีทิศทางที่ขานานกับทิศทางในการทำข้าวเซรามิก PZT-PZN นั้น อาจจะเป็นผลจากการที่ความเค้นที่ให้เข้าไปไปทำให้เกิดการเปลี่ยนแปลงโครงสร้างของโดเมน และบีบบังคับไม่ให้ผนังโดเมนเกิดการเคลื่อนที่ จึงทำให้ค่าคงที่ไดอิเล็กทริกมีค่าลดลงเมื่อความเค้นเพิ่มขึ้น [21] ส่วนในกรณีที่ความถี่ 100 Hz นั้นคงต้องมีการศึกษาต่อไปเกิดอะไรขึ้นภายในเซรามิก PZT-PZN ทั้งนี้อาจจะเป็น เพราะที่ช่วงความเค้นที่ทำให้เกิดปรากฏการณ์ข้างต้นนี้ อาจจะไปทำให้เกิดการเปลี่ยนแปลงของโครงสร้างของโดเมนและมีการเคลื่อนที่ของผนังโดเมน บางโดเมนอาจมีขนาดใหญ่ขึ้น และบางโดเมนอาจมีขนาดที่เล็กลง ซึ่งคาดว่าการเคลื่อนที่ของผนังโดเมนนี้อาจทำให้โดเมนมีขนาดที่พอติดกับการสั่นพ้องที่ความถี่ 100 Hz ก็เป็นได้ โพลาไรซ์เช่นภายในจึงเกิดการเปลี่ยนแปลงทิศทางและสั่นพร้อมกัน จึงทำให้ค่าคงที่ไดอิเล็กทริกเพิ่มขึ้นและลดลงอย่างกระหันหันได้

ในกรณีของการลดความเค้นพบว่าค่าคงที่ไดอิเล็กทริกมีแนวโน้มเพิ่มขึ้นเมื่อความเค้นเพิ่มขึ้นในทุกของค์ประกอบ โดยเฉพาะในเซรามิก 0.9PZT-0.1PZN ที่สามารถสังเกตได้อย่างชัดเจนที่สุด นอกจากนี้ยังพบว่าที่ความถี่ 100 Hz ในเซรามิก 0.5PZT-0.5PZN และ 0.6PZT-0.4PZN จะมีการเปลี่ยนแปลงของค่าคงที่ไดอิเล็กทริกที่ไม่แน่นอน เช่นเดียวกับในการเพิ่มความเค้น กล่าวคือมีการเพิ่มขึ้นและลดลงของค่าคงที่ไดอิเล็กทริกอย่างรวดเร็วมากคล้ายกับเกิดการสั่นพ้อง ซึ่งน่าจะมีสาเหตุจากการเปลี่ยนแปลงของขนาด โดเมนจนพอติดกับการสั่นพ้องที่ความถี่ 100 Hz ในเซรามิกที่มีองค์ประกอบต่างกัน จะมีลักษณะการเปลี่ยนแปลงของค่าคงที่ไดอิเล็กทริกที่ความเค้นแตกต่างกันสำหรับเซรามิก 0.5PZT-0.5PZN นั้นพบว่าค่าคงที่ไดอิเล็กทริกเกิดการเปลี่ยนแปลงนี้เมื่อความเค้นลดลงถึง 130 MPa และสำหรับเซรามิก 0.6PZT-0.4PZN นั้นพบว่าค่าคงที่ไดอิเล็กทริกมีการ

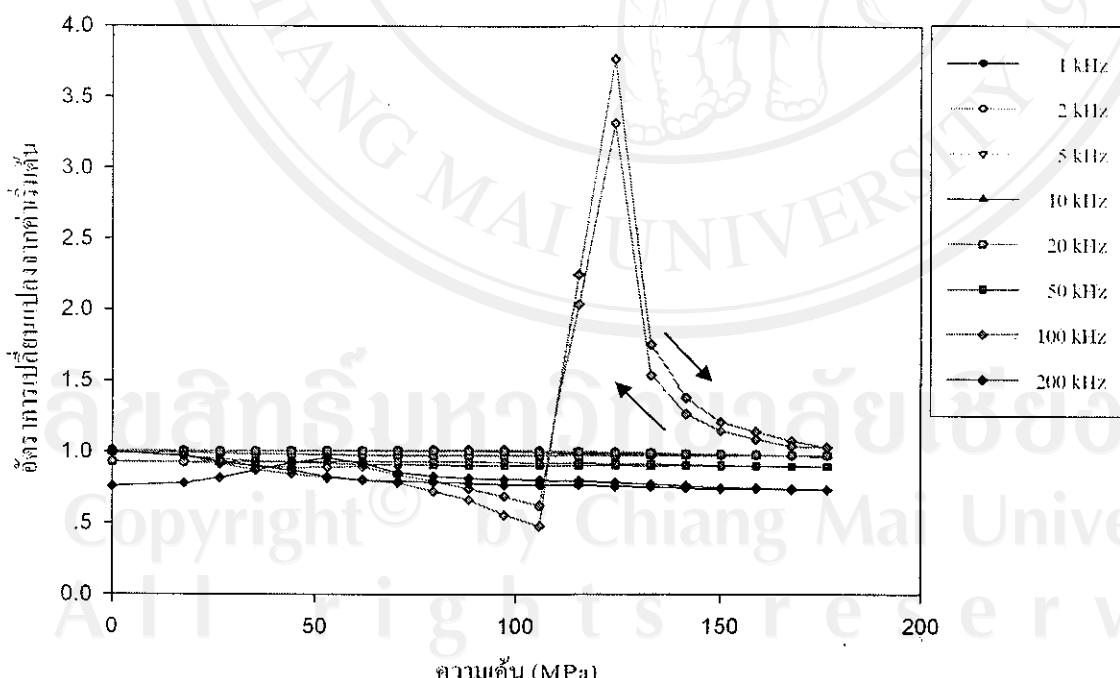
เปลี่ยนแปลงที่ความเค้น 125 MPa ซึ่งการเปลี่ยนแปลงของค่าคงที่ไดอิเล็กทริกของเซรามิก PZT-PZN ทุกองค์ประกอบในกรณีการลดความเค้นลงนี้ ค่าคงที่ไดอิเล็กทริกมีความแตกต่างจากช่วงที่เพิ่มความเค้นมาก ซึ่งแสดงให้เห็นว่าการให้ความเค้นในระดับนี้ (0-200 MPa) แก่เซรามิก PZT-PZN ก่อให้เกิดการเปลี่ยนแปลงอย่างถาวรต่อโดเมน หรือ โครงสร้างภายในของเซรามิกที่ผ่านการทำขีดแล้ว ทำให้มีผลกระทบความเค้นลงค่าคงที่ไดอิเล็กทริกซึ่งมีค่าแตกต่างจากค่าเริ่มต้นก่อนการเพิ่มความเค้นมาก โดยเฉพาะอย่างยิ่งในเซรามิก 0.9PZT-0.1PZN ที่มีค่าคงที่ไดอิเล็กทริกลดลงอย่างชัดเจน



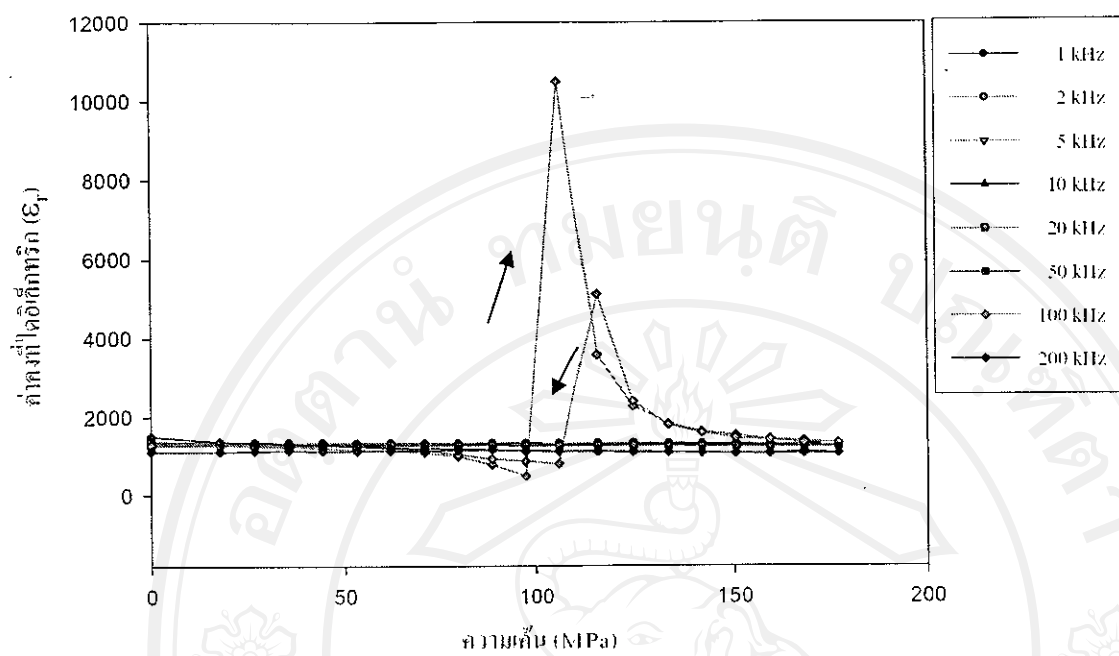
ลิขสิทธิ์มหาวิทยาลัยเชียงใหม่  
Copyright © by Chiang Mai University  
All rights reserved



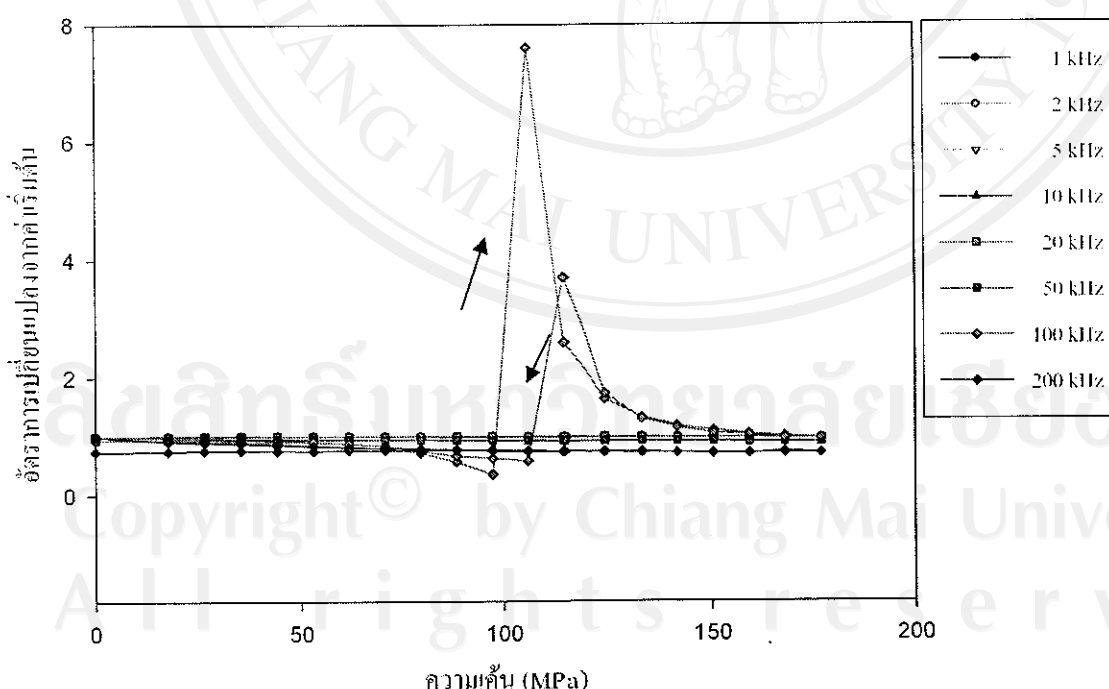
รูป 4.123 กราฟแสดงความสัมพันธ์ระหว่างค่าคงที่ไดอิเล็กทริกกับความเค็นของเซรามิก 0.5PZT-0.5PZN ที่ผ่านการทำขี้วแล้ว



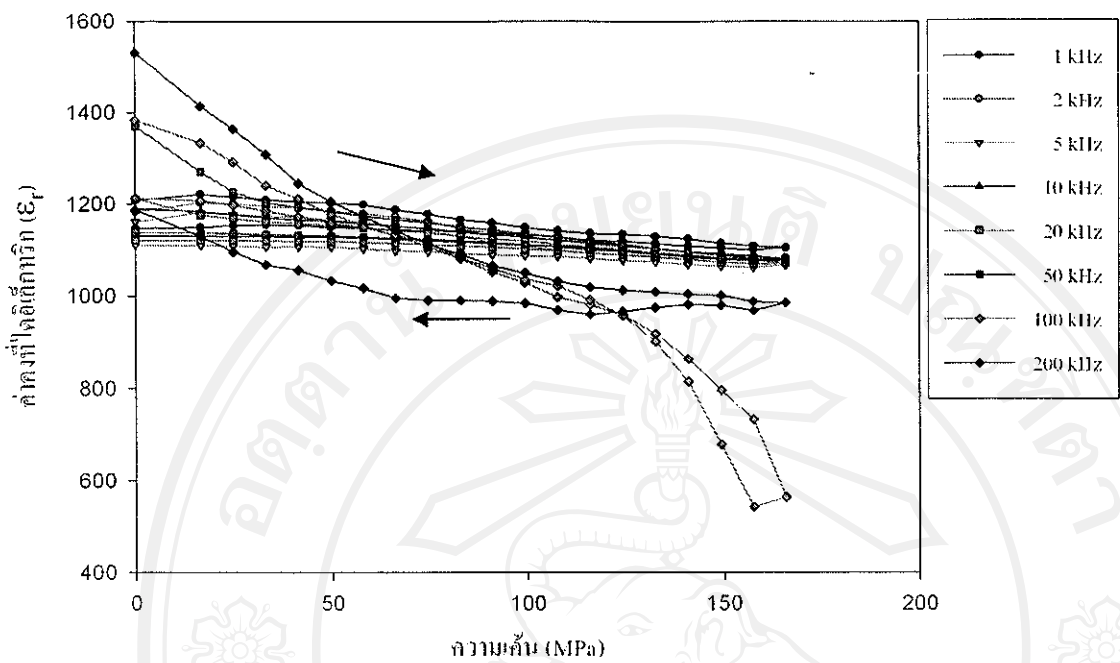
รูป 4.124 กราฟแสดงความสัมพันธ์ระหว่างอัตราการเปลี่ยนแปลงจากค่าเริ่มต้นของค่าคงที่ไดอิเล็กทริกกับความเค็นของเซรามิก 0.5PZT-0.5PZN ที่ผ่านการทำขี้วแล้ว



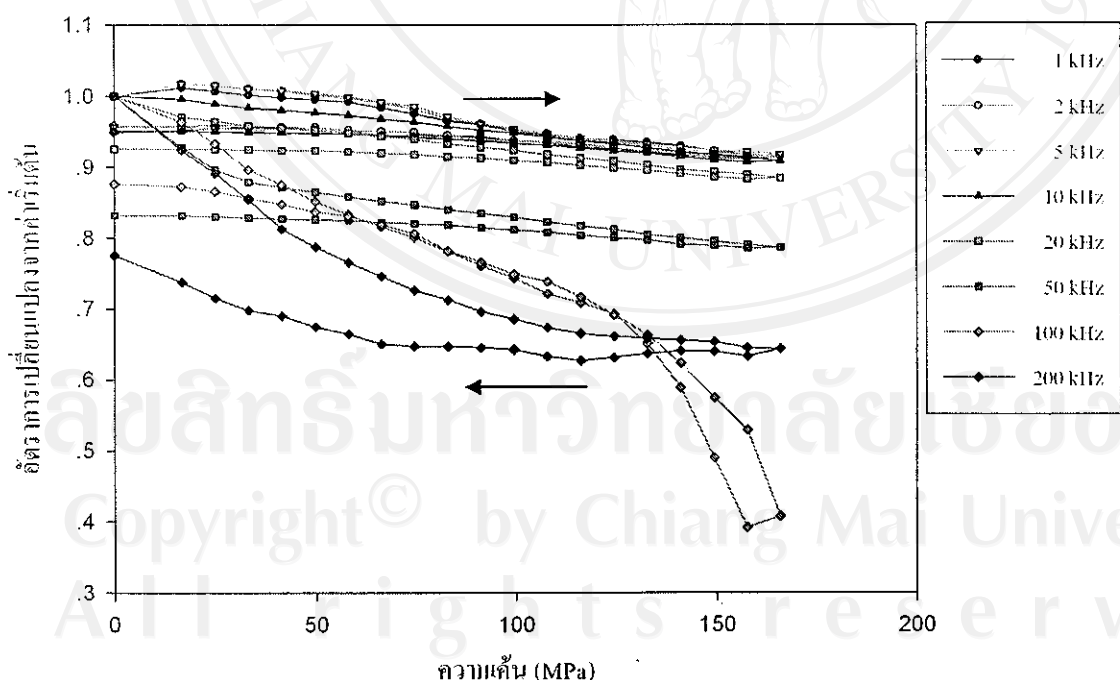
รูป 4.125 กราฟแสดงความสัมพันธ์ระหว่างค่าคงที่ไดอิเล็กทริกกับความเค้นของเซรามิก 0.6PZT-0.4PZN ที่ผ่านการทำข้าวแล้ว



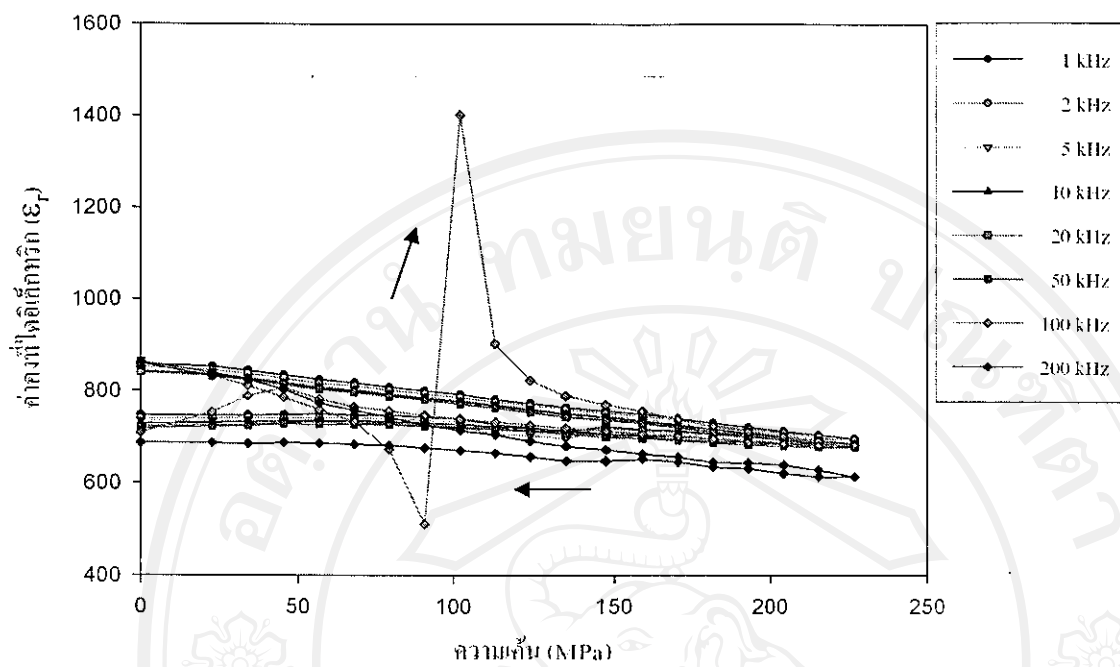
รูป 4.126 กราฟแสดงความสัมพันธ์ระหว่างอัตราการเปลี่ยนแปลงจากค่าเริ่มต้นของค่าคงที่ไดอิเล็กทริกกับความเค้นของเซรามิก 0.6PZT-0.4PZN ที่ผ่านการทำข้าวแล้ว



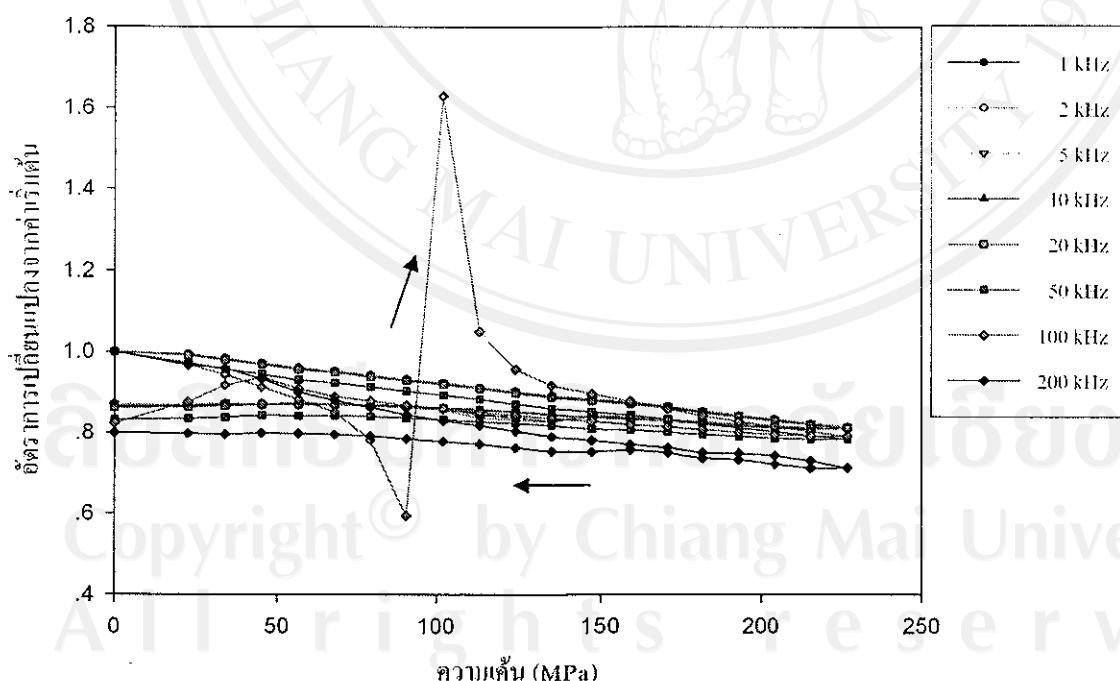
รูป 4.127 กราฟแสดงความสัมพันธ์ระหว่างค่าคงที่ไคลอเล็กทริกกับความเค้นของเซรามิก 0.7PZT-0.3PZN ที่ผ่านการทำขี้วแล้ว



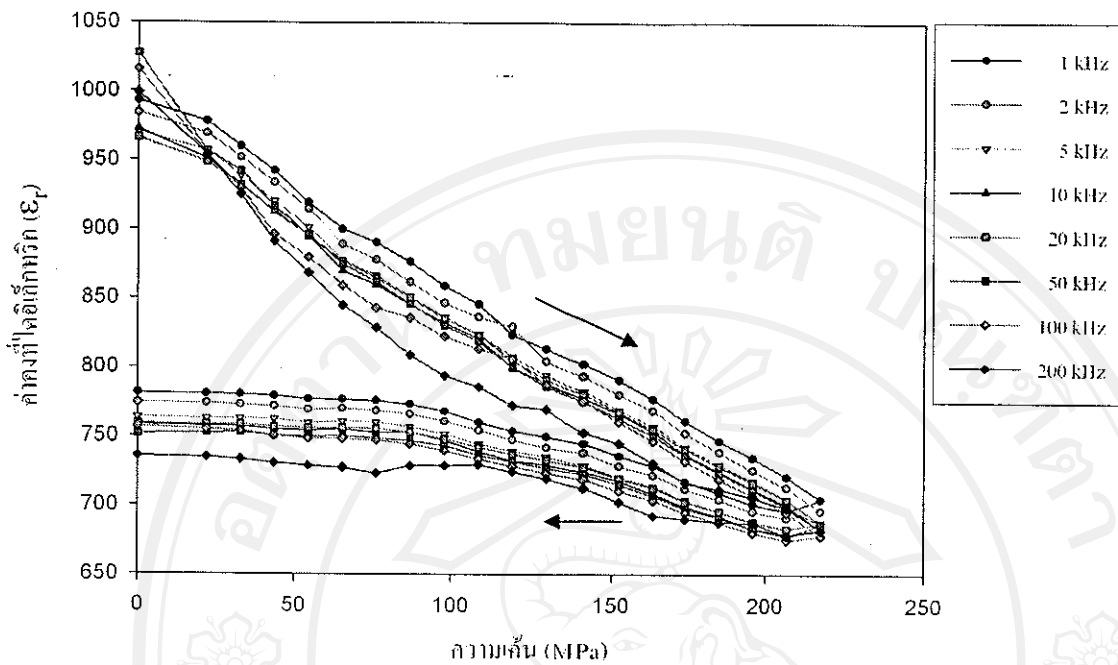
รูป 4.128 กราฟแสดงความสัมพันธ์ระหว่างอัตราการเปลี่ยนแปลงจากค่าเริ่มต้นของค่าคงที่ไคลอเล็กทริกกับความเค้นของเซรามิก 0.7PZT-0.3PZN ที่ผ่านการทำขี้วแล้ว



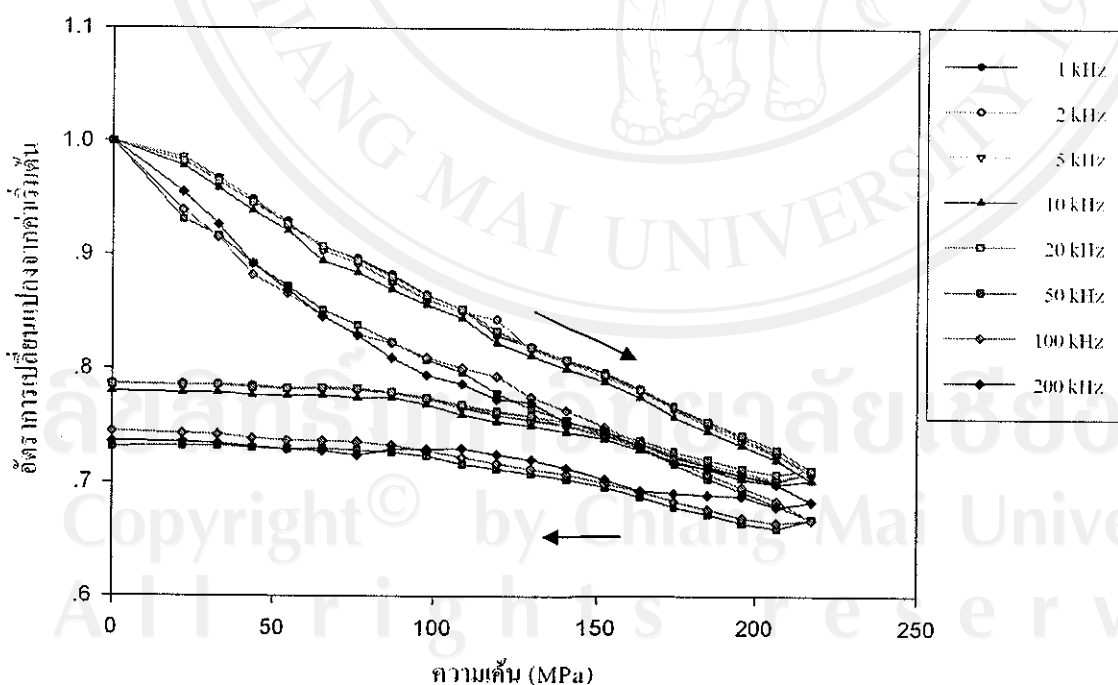
รูป 4.129 กราฟแสดงความสัมพันธ์ระหว่างค่าคงที่ไดอิเล็กทริกกับความดันของเซรามิก 0.8PZT-0.2PZN ที่ผ่านการทำขี้วแล้ว



รูป 4.130 กราฟแสดงความสัมพันธ์ระหว่างอัตราการเปลี่ยนแปลงจากค่าเริ่มต้นของค่าคงที่ไดอิเล็กทริกกับความดันของเซรามิก 0.8PZT-0.2PZN ที่ผ่านการทำขี้วแล้ว



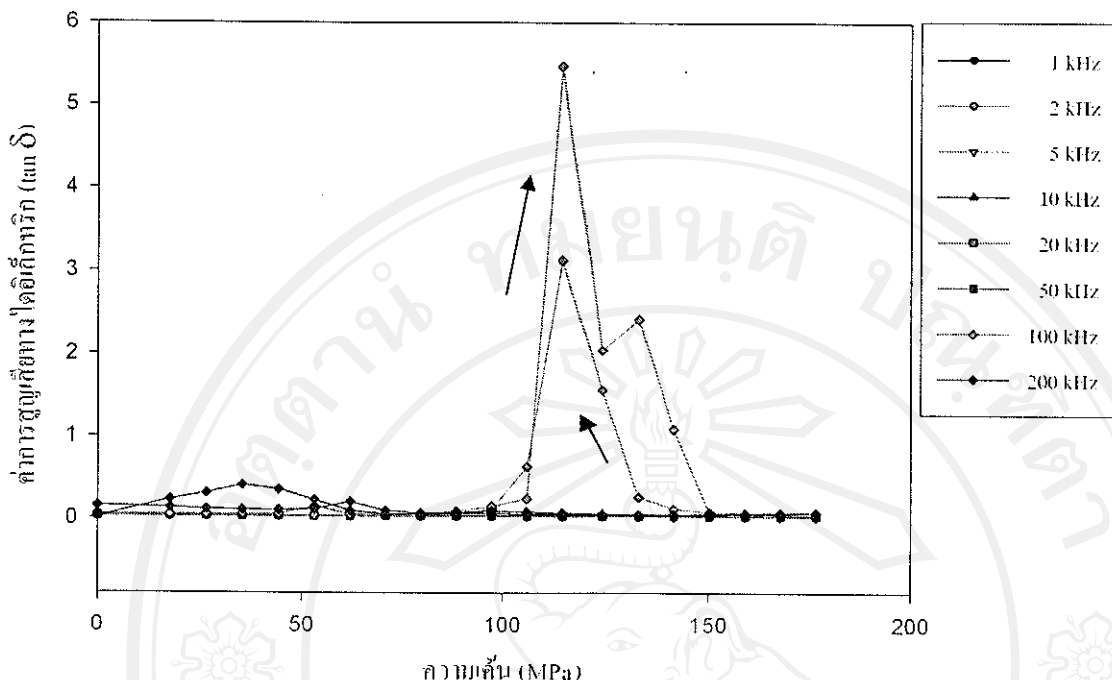
รูป 4.131 กราฟแสดงความสัมพันธ์ระหว่างค่าคงที่ไดอิเล็กทริกกับความเค้นของเซรามิก 0.9PZT-0.1PZN ที่ผ่านการทำข้าวแล้ว



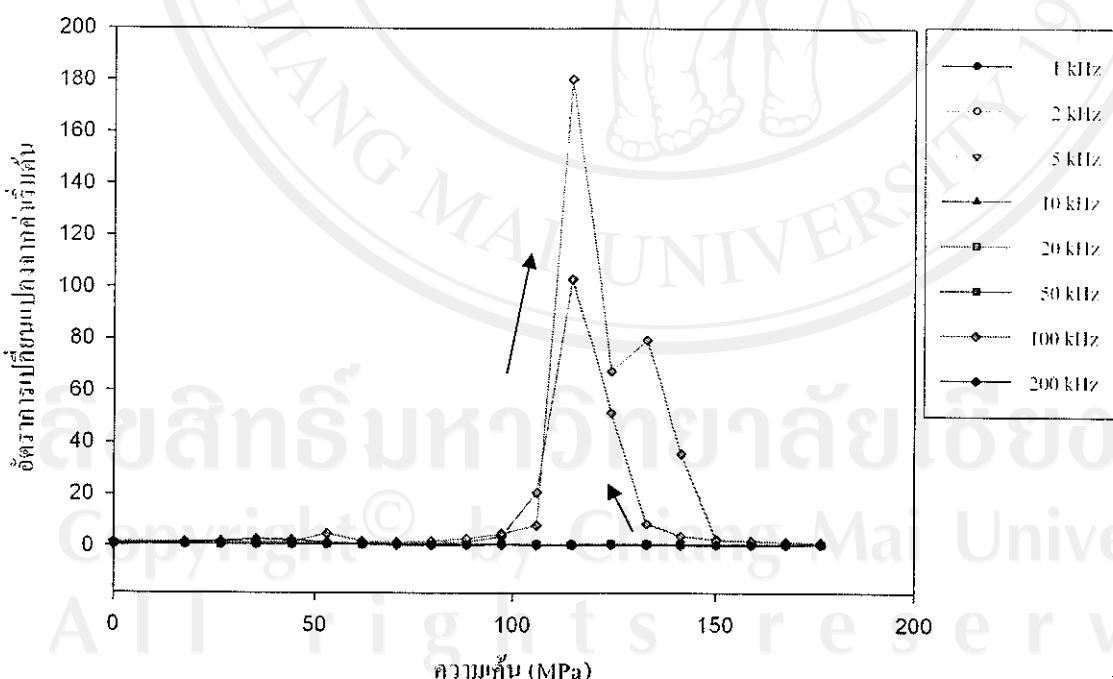
รูป 4.132 กราฟแสดงความสัมพันธ์ระหว่างอัตราการเปลี่ยนแปลงจากค่าเริ่มต้นของค่าคงที่ไดอิเล็กทริกกับความเค้นของเซรามิก 0.9PZT-0.1PZN ที่ผ่านการทำข้าวแล้ว

สำหรับในส่วนของการสูญเสียทางไอดิเล็กทริกซ์เคมีก PZT-PZN ที่ผ่านการทำข้าว  
แล้ว พนบว่า การเปลี่ยนแปลงค่าการสูญเสียทางไอดิเล็กทริกมีการเปลี่ยนแปลงที่ไม่แน่นอน แต่มี  
แนวโน้มส่วนใหญ่เพิ่มขึ้น โดยเฉพาะในเซรามิก 0.8PZT-0.2PZN ที่มีแนวโน้มเพิ่มขึ้นอย่างชัดเจน  
เมื่อความเค้นเพิ่มขึ้น (รูป 4.133-4.142) แต่ในเซรามิก 0.9PZT-0.1PZN มีแนวโน้มของค่าคงที่ไอดิ  
เล็กทริกลดลง อย่างไรก็ตาม พนบว่าที่ความถี่ 100 Hz มีการเปลี่ยนแปลงของค่าการสูญเสียทางไอดิ  
เล็กทริกที่สัมพันธ์กับการเปลี่ยนแปลงของค่าคงที่ไอดิเล็กทริกด้วย คือมีการเพิ่มขึ้นอย่างรวดเร็วที่  
ความเค้นที่ค่าคงที่ไอดิเล็กทริกเกิดการเปลี่ยนแปลง และในระหว่างการลดความเค้นลงนั้นพบว่าค่า  
การสูญเสียทางไอดิเล็กทริกมีแนวโน้มลดลงโดยส่วนใหญ่ ยกเว้นในเซรามิก 0.9PZT-0.1PZN ที่มี  
แนวโน้มเพิ่มขึ้น โดยที่ความแตกต่างของค่าการสูญเสียไอดิเล็กทริกระหว่างที่เพิ่มความเค้นและลด  
ความเค้นมีค่าที่ค่อนข้างมาก ซึ่งแสดงว่าความเค้นในระดับ 0-200 MPa สามารถทำให้เกิดการ  
เปลี่ยนแปลงอย่างถาวรต่อโครงสร้างหรือโครงสร้างภายในของสาร PZT-PZN ได้

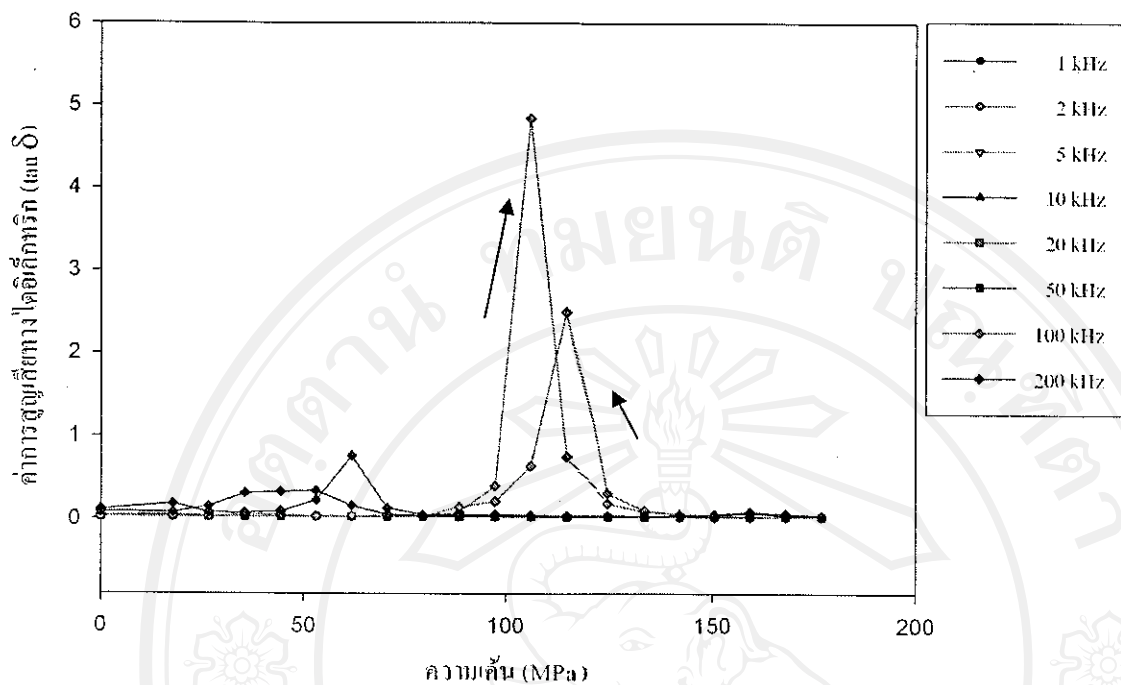
จิรศิทธิ์มหาวิทยาลัยเชียงใหม่  
Copyright<sup>©</sup> by Chiang Mai University  
All rights reserved



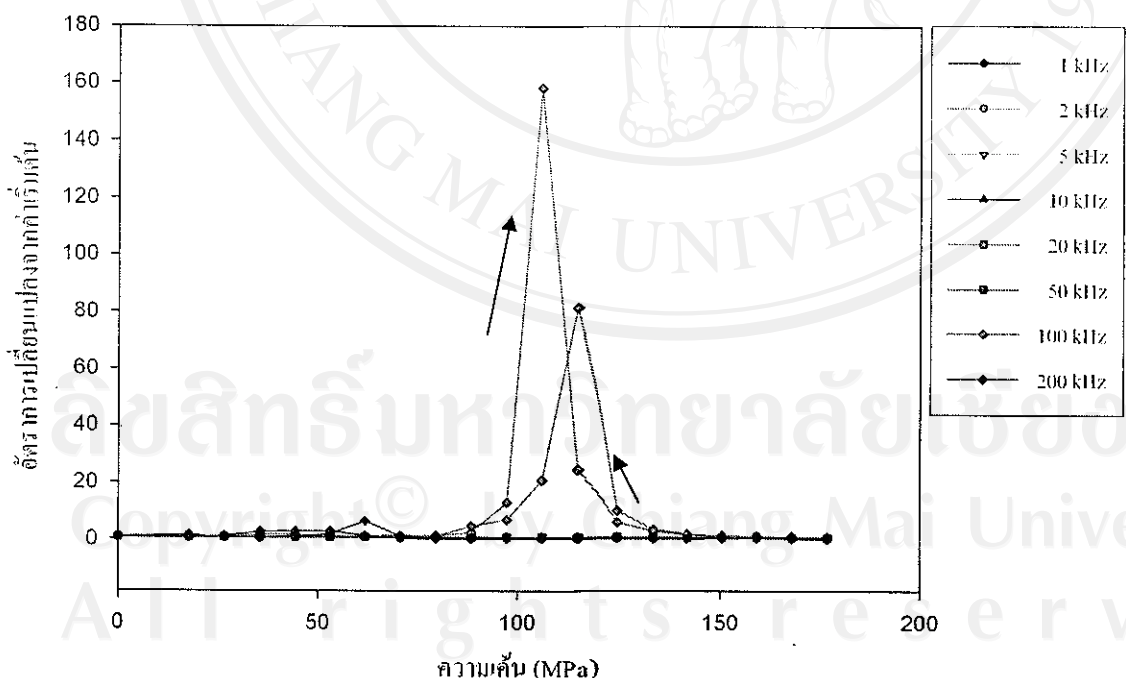
รูป 4.133 กราฟแสดงความสัมพันธ์ระหว่างค่าการสูญเสียทางไคลอเล็กทริกกับความดันของเซรามิก 0.5PZT-0.5PZN ที่ผ่านการทำข้าวแಡ้ว



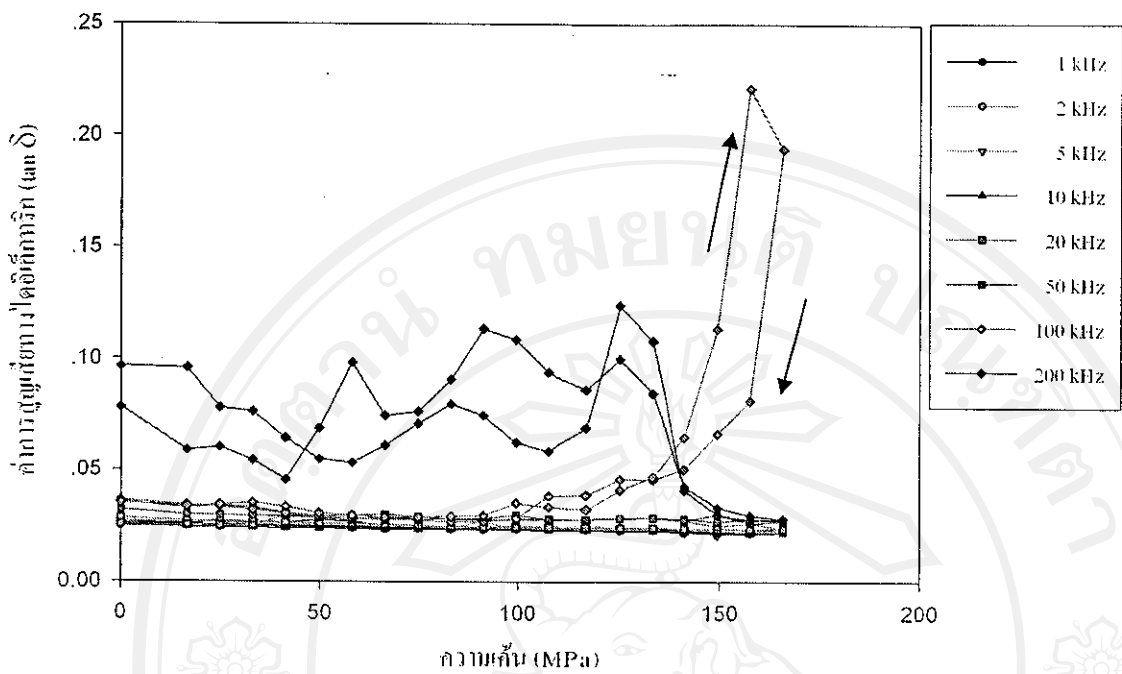
รูป 4.134 กราฟแสดงความสัมพันธ์ระหว่างอัตราการเปลี่ยนแปลงจากค่าเริ่มต้นของค่าการสูญเสียทางไคลอเล็กทริกกับความดันของเซรามิก 0.5PZT-0.5PZN ที่ผ่านการทำข้าวแಡ้ว



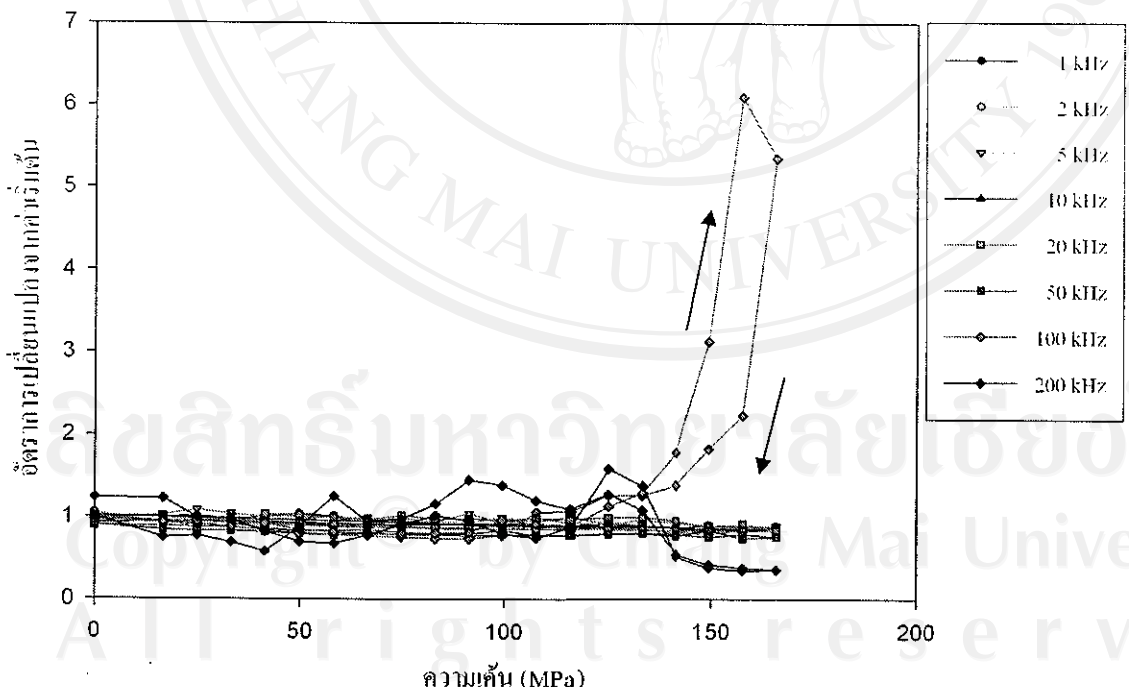
รูป 4.135 กราฟแสดงความสัมพันธ์ระหว่างค่าการสูญเสียทางไดอิเล็กทริกกับความดันของเซรามิก 0.6PZT-0.4PZN ที่ผ่านการทำขี้วแล้ว



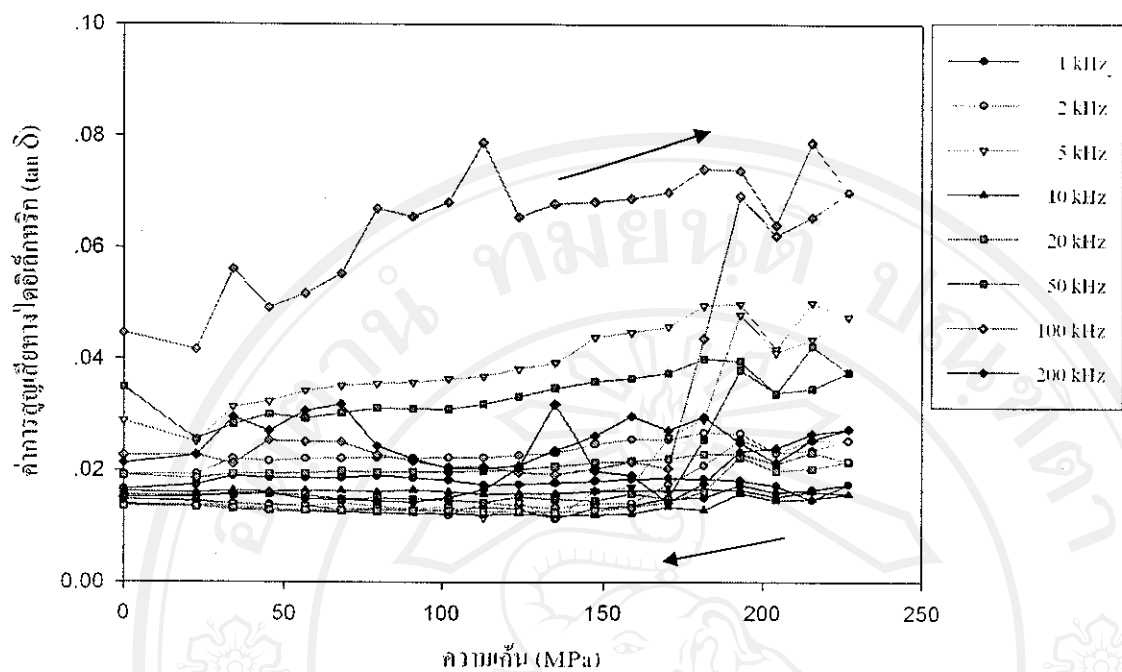
รูป 4.136 กราฟแสดงความสัมพันธ์ระหว่างอัตราการเปลี่ยนแปลงจากค่าเริ่มต้นของค่าการสูญเสียทางไดอิเล็กทริกกับความดันของเซรามิก 0.6PZT-0.4PZN ที่ผ่านการทำขี้วแล้ว



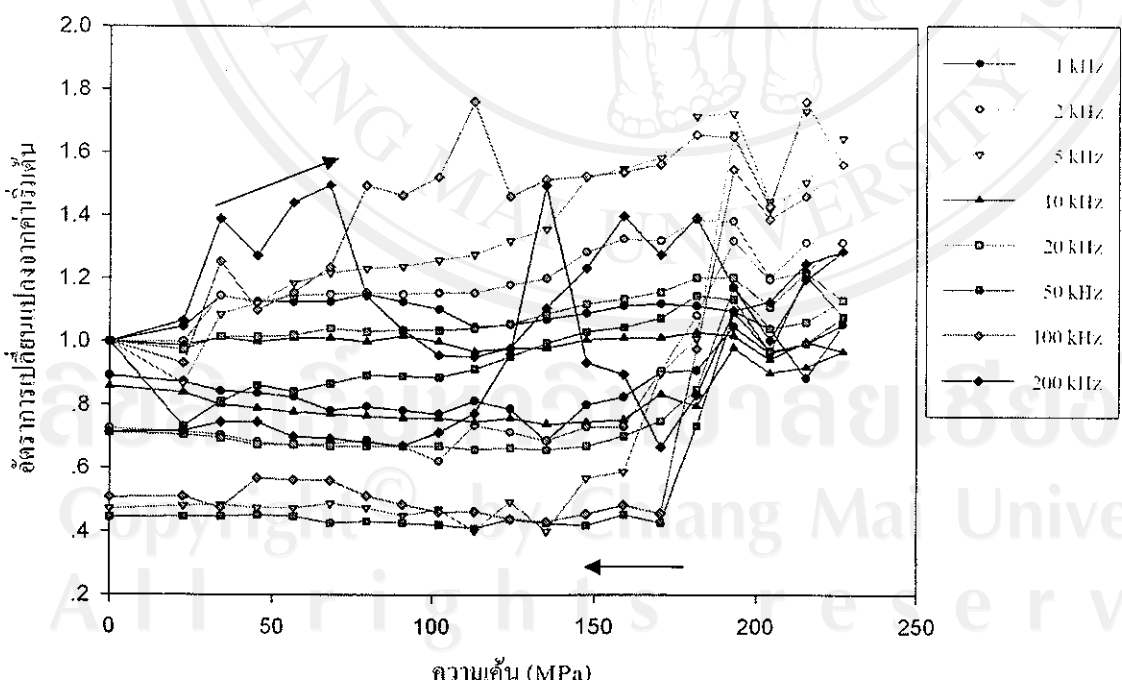
รูป 4.137 กราฟแสดงความสัมพันธ์ระหว่างค่าการสูญเสียทางไดอิเล็กทริกกับความดันของเซรามิก 0.7PZT-0.3PZN ที่ผ่านการทำข้าวแล้ว



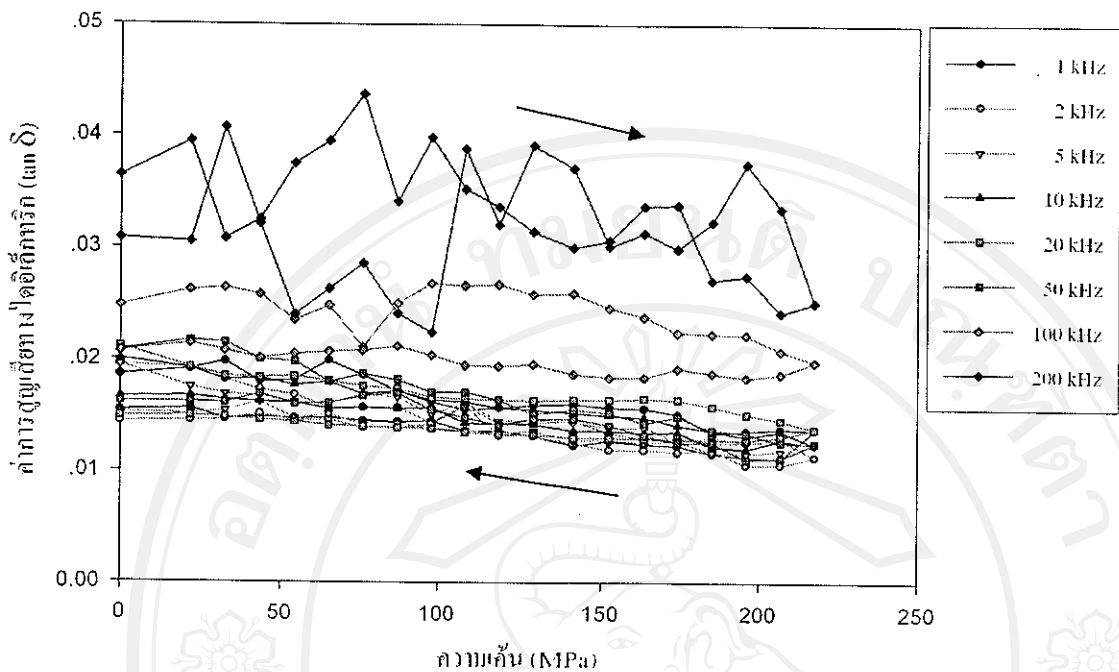
รูป 4.138 กราฟแสดงความสัมพันธ์ระหว่างอัตราการเปลี่ยนแปลงจากค่าเริ่มต้นของค่าการสูญเสียทางไดอิเล็กทริกกับความดันของเซรามิก 0.7PZT-0.3PZN ที่ผ่านการทำข้าวแล้ว



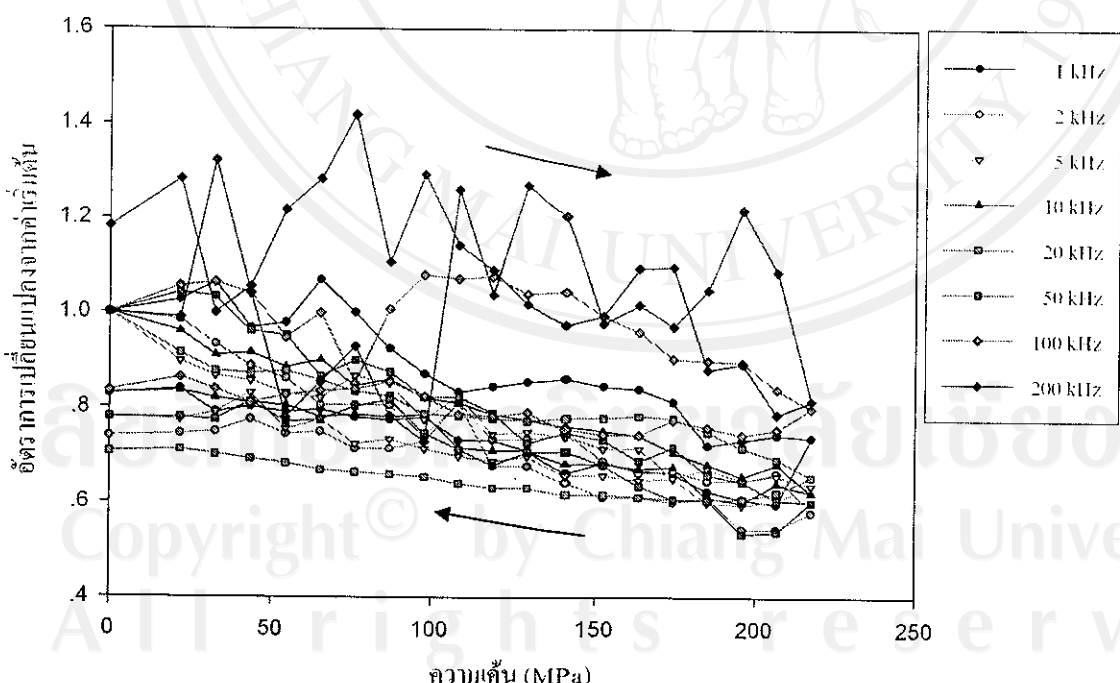
รูป 4.139 กราฟแสดงความสัมพันธ์ระหว่างค่าการสูญเสียทางไคลอเล็กทริกกับความเค้นของเซรามิก 0.8PZT-0.2PZN ที่ผ่านการทำข้าวแล้ว



รูป 4.140 กราฟแสดงความสัมพันธ์ระหว่างอัตราการเปลี่ยนแปลงจากค่าเริ่มต้นของค่าการสูญเสียทางไคลอเล็กทริกกับความเค้นของเซรามิก 0.8PZT-0.2PZN ที่ผ่านการทำข้าวแล้ว



รูป 4.141 กราฟแสดงความสัมพันธ์ระหว่างค่าการสูญเสียทางไคโอลีกทริกกับความดันของเซรามิก 0.9PZT-0.1PZN ที่ผ่านการทำข้าวแಡ้ว



รูป 4.142 กราฟแสดงความสัมพันธ์ระหว่างอัตราการเปลี่ยนแปลงจากค่าเริ่มต้นของค่าการสูญเสียทางไคโอลีกทริกกับความดันของเซรามิก 0.9PZT-0.1PZN ที่ผ่านการทำข้าวแಡ้ว

โดยสรุปแล้วจากผลการทดลองจะพบว่า การเปลี่ยนแปลงของค่าคงที่ไดอิเล็กทริกภายใต้ความเค้นของเซรามิก PMN-PT ,PIN-PT และ PZT-PZN ที่ยังไม่ผ่านการทำขีวนั้น สามารถแบ่งได้เป็นสองกลุ่ม คือ กลุ่มที่มีแนวโน้มการเปลี่ยนแปลงของค่าคงที่ไดอิเล็กทริกลดลงเมื่อความเค้นเพิ่มขึ้น ซึ่งได้แก่  $0.5\text{PMN}-0.5\text{PT}$  , $0.9\text{PMN}-0.1\text{PT}$  , $0.6\text{PIN}-0.4\text{PT}$  , $0.9\text{PIN}-0.1\text{PT}$  และ  $0.8\text{PZT}-0.2\text{PZN}$  และกลุ่มที่มีแนวโน้มการเปลี่ยนแปลงของค่าคงที่ไดอิเล็กทริกไม่แน่นอนเมื่อความเค้นเพิ่มขึ้น ซึ่งได้แก่  $0.6\text{PMN}-0.4\text{PT}$  , $0.7\text{PMN}-0.3\text{PT}$  , $0.8\text{PMN}-0.2\text{PT}$  , $0.5\text{PIN}-0.5\text{PT}$  , $0.7\text{PIN}-0.3\text{PT}$  , $0.8\text{PIN}-0.2\text{PT}$  , $0.5\text{PZT}-0.5\text{PZN}$   $0.6\text{PZT}-0.4\text{PZN}$  , $0.7\text{PZT}-0.3\text{PZN}$  และ  $0.9\text{PZT}-0.1\text{PZN}$  โดยการเปลี่ยนแปลงที่พบในกลุ่มแรกนั้น น่าจะเป็นผลมาจากการที่ผนังโดเมน เกิดการยึดจับกันเมื่อให้ความเค้นเข้าไปทำให้ค่าคงที่ไดอิเล็กทริกนิการเปลี่ยนแปลงในแนวโน้มที่ลดลง ซึ่งการเปลี่ยนแปลงในกลุ่มนี้มีลักษณะคล้ายกับผลการทดลองในงานวิจัยของ Zhao และคณะ[16] ที่ค่าคงที่ไดอิเล็กทริกของเซรามิก  $0.9\text{PMN}-0.1\text{PT}$  มีค่าลดลงเมื่อความเค้นเพิ่มขึ้น ส่วนการเปลี่ยนแปลงในกลุ่มหลังนั้นอาจจะเป็นผลมาจากการจัดเรียงตัวของโดเมนที่เป็นแบบสุ่ม ซึ่งโดเมนบางส่วนอาจจะอยู่ในแนวที่ทำมุนกัน  $180^\circ$  แต่บางส่วนอาจจะไม่ จึงทำให้มีการเปลี่ยนแปลงที่ไม่แน่นอน ซึ่งเป็นผลมาจากการที่สารรังไม่ได้ผ่านการทำขีว โดยการเปลี่ยนแปลงในกลุ่มนี้มีลักษณะคล้ายกับการทดลองจากงานวิจัยของ Zhou และคณะ[20] ที่มีการเปลี่ยนแปลงของค่าคงที่ไดอิเล็กทริกที่ไม่แน่นอนคือ ค่าคงที่ไดอิเล็กทริกมีค่าเพิ่มขึ้นในช่วงแรก ( $0$  ถึง  $-35 \text{ MPa}$ ) จากนั้นก็จะมีค่าลดลงเมื่อความเค้นเพิ่มขึ้นอีก ( $-35$  ถึง  $-400 \text{ MPa}$ )

สำหรับการเปลี่ยนแปลงของค่าการสูญเสียทางไดอิเล็กทริกภายใต้ความเค้นแบบแกนเดียวของเซรามิก PMN-PT ,PIN-PT และ PZT-PZN ที่ยังไม่ผ่านการทำขีวนั้น ถึงแม้จะมีค่าที่ไม่แน่นอนแต่โดยรวมแล้วค่าการสูญเสียทางไดอิเล็กทริกมีแนวโน้มลดลงเมื่อความเค้นเพิ่มขึ้น และในการณีของการลดความเค้นนั้นพบว่าค่าการสูญเสียทางไดอิเล็กทริกมีค่าเพิ่มขึ้นเมื่อความเค้นลดลง

จากผลการทดลอง ทั้งการเปลี่ยนแปลงของค่าคงที่ไดอิเล็กทริกและค่าการสูญเสียทาง ไดอิเล็กทริกภายใต้ความเค้น พ布ว่าสมบัติไดอิเล็กทริกมีการเปลี่ยนแปลงที่แตกต่างกันมากในช่วงเพิ่มและลดความเค้น แสดงให้เห็นว่าความเค้นในระดับนี้ก่อให้เกิดการเปลี่ยนแปลงอย่างถาวรสตอร์โดเมนหรือโครงสร้างภายใน

สำหรับผลการทดลองของเซรามิก PMN-PT ,PIN-PT และ PZT-PZN ที่ผ่านการทำขีวแล้วนั้นทั้งการเปลี่ยนแปลงของค่าคงที่ไดอิเล็กทริกและค่าการสูญเสียทางไดอิเล็กทริกภายใต้ความเค้น แบบแกนเดียว สามารถแบ่งได้เป็น 3 กลุ่ม คือ กลุ่มแรกคือกลุ่มที่มีการเปลี่ยนแปลงของค่าคงที่ไดอิเล็กทริกลดลงเมื่อความเค้นเพิ่มขึ้น ซึ่งได้แก่ เซรามิก  $0.9\text{PMN}-0.1\text{PT}$  , $0.9\text{PIN}-0.1\text{PT}$  และ  $\text{PZT}-\text{PZN}$  ทุกองค์ประกอบโดยยกเว้นที่ความถี่  $100 \text{ Hz}$  ในบางองค์ประกอบ ซึ่งผลการทดลองนี้คล้ายกับ

ผลการทดลองที่พับในงานวิจัยของ Zhao และคณะ[16] กลุ่มที่สองคือ กลุ่มที่มีการเปลี่ยนแปลงของค่าคงที่โดยอิเล็กทริกแบบไม่แน่นอน โดยค่าคงที่โดยอิเล็กทริกมีค่าเพิ่มขึ้นในช่วงแรก จากนั้นค่าคงที่โดยอิเล็กทริกจะลดลงเมื่อความเค้นเพิ่มขึ้น ซึ่งได้แก่ เซรามิก  $0.5\text{PMN}-0.5\text{PT}$ ,  $0.6\text{PMN}-0.4\text{PT}$ ,  $0.7\text{PMN}-0.3\text{PT}$ ,  $0.8\text{PMN}-0.2\text{PT}$ ,  $0.6\text{PIN}-0.4\text{PT}$ ,  $0.7\text{PIN}-0.3\text{PT}$  และ  $0.8\text{PIN}-0.2\text{PT}$  และกลุ่มสุดท้ายคือกลุ่มที่มีการเปลี่ยนแปลงของค่าคงที่โดยอิเล็กทริกเพิ่มขึ้นเมื่อความเค้นเพิ่มขึ้น ซึ่งได้แก่  $0.5\text{PIN}-0.5\text{PT}$  นอกจากนี้จากผลการทดลองพบว่าค่าคงที่โดยอิเล็กทริกของเซรามิก PZT-PZN เมื่อวัดที่ความถี่  $100 \text{ Hz}$  มีการเปลี่ยนแปลงที่ไม่แน่นอน คือมีค่าลดลงและเพิ่มขึ้นอย่างรวดเร็วคล้ายกับเกิดการสั่นพ้องขึ้นภายในเซรามิก ซึ่งควรที่จะศึกษาต่อไปถึงสาเหตุที่ทำให้เกิดปรากฏการณ์นี้ขึ้น

จากผลการทดลองทั้งหมดที่กล่าวมานี้ สามารถอธิบายลึกของการเปลี่ยนแปลงที่เกิดขึ้นได้ว่า สมบัติต่างๆ ของสารเฟอร์โรอิเล็กทริกจะเกิดจากคลาไกที่มีภายใน (intrinsic contribution) ซึ่งเกิดจากโคล เมนเดี่ยว (single domain) และเกิดจากผลจากภายนอก (extrinsic contribution) คือการเคลื่อนที่ของผนังโคล เมน (domain wall motions)[5,17,24] โดยเมื่อให้ความเค้นเชิงกลภายนอกเข้าไปแล้ว โครงสร้างของโคล เมนจะเกิดการเปลี่ยนแปลงเพื่อให้พังงานโคล เมนมีค่าน้อยที่สุด ระหว่างที่เกิดกระบวนการนี้ โคล เมนบางอันจะถูกรวบเข้ากับโคล เมนอื่น หรืออาจจะมีการเปลี่ยนแปลงรูปร่างไปสำหรับภายในที่ความเค้นแบบแคนเดี่ยว โครงสร้างของโคล เมนจะเกิดการเปลี่ยนแปลงทิศทางของโคล เมน (domain switching) การจับกันของผนัง โคล เมน (clamping of domain walls) การลดการเสื่อมสภาพ (de-aging) และการทำให้หมดสภาพความเป็นขี้ว (de-poling)[17,24] ทำให้เกิดการเปลี่ยนแปลงของค่าคงที่โดยอิเล็กทริก

ในกรณีของเซรามิกที่ผ่านการทำขี้วแล้ว เมื่อให้ความเค้นแบบแคนเดี่ยวในทิศทางที่ขนานกับทิศทางในการทำขี้ว ซึ่งความเค้นที่ให้เข้าไปจะไปเปลี่ยนแปลงทิศทางของโพลาไรเซชันให้เคลื่อนที่ออกจากทิศทางที่ทำขี้ว โดยที่การเปลี่ยนแปลงนี้เป็นผลมาจากการเปลี่ยนแปลงโครงสร้างของโคล เมน ทำให้มีความหนาแน่นของผนัง โคล เมนที่ไม่ได้ทำมุกกัน  $180^\circ$  เพิ่มขึ้น ดังนั้นจึงทำให้ค่าคงที่โดยอิเล็กทริกเพิ่มขึ้นเมื่อความเค้นเพิ่มขึ้น แต่จากผลการทดลองในงานวิจัยนี้พบว่าค่าคงที่โดยอิเล็กทริกจะเพิ่มขึ้นเฉพาะช่วงแรกที่มีการให้ความเค้น และต่อจากนั้นค่าคงที่โดยอิเล็กทริกจะลดลงเมื่อความเค้นเพิ่มมากขึ้น อาจจะเนื่องมาจากเกิดการหมดสภาพความเป็นขี้ว (de-poling) เนื่องจากความเค้นที่ให้เข้าไปก็เป็นได้ จึงทำให้สมบัติโดยอิเล็กทริกของเซรามิก PMN-PT ที่ผ่านการทำขี้วแล้วมีลักษณะคล้ายคลึงกับเซรามิก PMN-PT ที่ยังไม่ผ่านการทำขี้ว สำหรับค่าการสูญเสียทางโดยอิเล็กทริกนั้น พบร่วมกันที่มีแนวโน้มลดลงเมื่อความเค้นเพิ่มขึ้นทั้งในกรณีที่เซรามิกผ่านการทำขี้วและ

ไม่ผ่านการทำข้าว โดยที่การลดลงของค่าการสูญเสียทางไดอิเล็กทริกอาจจะเนื่องมาจากการลดการเตือนสภาพของวัสดุก็เป็นได้[13,17,24]



ลิขสิทธิ์มหาวิทยาลัยเชียงใหม่  
Copyright © by Chiang Mai University  
All rights reserved